

12•2005

www.radio.ru

РАДИО

АУДИО • ВИДЕО • СВЯЗЬ • ЭЛЕКТРОНИКА • КОМПЬЮТЕРЫ



ДИАГНОСТИЧЕСКИЙ ПРИБОР - БОРТОВОЙ КОМПЬЮТЕР



- Ремонт видеотехники
- Схемотехника усилителей напряжения
- Программатор FLASH-памяти
- Таймер — регулятор мощности



...и еще 28 конструкций

12
2005



Руководитель Федерального агентства связи А. В. Бескоровайный зачитал участникам фестиваля приветствие министра информационных технологий и связи РФ Л. Д. Реймана.



Самый юный участник фестивального УКВ минитеста Илья Перваков (UA9XLC, ему 9 лет) был отмечен памятными призами — футбольным мячом и антенным коммутатором.

Праздник называется "Домодедово"

(см. статью на с. 64)



На молодежном форуме фестиваля в обсуждении актуальных проблем "омолаживания" радиолюбительского движения приняли участие представители десяти регионов России.

Не эфиром единым сильны радиолюбители. Мощнейший удар по мячу наносит участник товарищеского футбольного матча DX-CONTEST ЮТА Николай Куприн (UA9KM).



В молодежных соревнованиях на призы журнала "Радио" победил Павел Гостев (R3E-42). Приз для Павла вручен представителю Орловской области Анатолию Медову (UA3ECA).

	НАШИМ ЧИТАТЕЛЯМ	4
РЕТРО 6	А. Витушкин, В. Телеснин. УСТОЙЧИВОСТЬ УСИЛИТЕЛЯ И ЕСТЕСТВЕННОСТЬ ЗВУЧАНИЯ	6
ВИДЕОТЕХНИКА 8	А. Пескин, А. Спорняк. ОДНОКРИСТАЛЬНЫЕ ТВ ПРОЦЕССОРЫ VST48/49ху1 8 Ю. Петропавловский. ПРОБЛЕМЫ РЕМОНТА ВИДЕОТЕХНИКИ И ИСПОЛЬЗОВАНИЕ ЕЕ УЗЛОВ РАДИОЛЮБИТЕЛЯМИ	11
	В. Куприн. ПОДЪЕМНОЕ УСТРОЙСТВО ДЛЯ ТВ АНТЕННЫ	14
	А. Шаронов. ПОДКЛЮЧЕНИЕ ДИНАМИЧЕСКИХ МИКРОФОНОВ К БЫТОВЫМ ВИДЕОКАМЕРАМ	15
ЗВУКОТЕХНИКА 16	М. Кулиш. ЛИНЕАРИЗАЦИЯ КАСКАДОВ УСИЛЕНИЯ НАПРЯЖЕНИЯ БЕЗ ООС .. 16 С. Комаров. УМЗЧ НА "ТЕЛЕВИЗИОННЫХ" ЛАМПАХ С ТРАНСФОРМАТОРАМИ ТН	20
РАДИОПРИЕМ 23	М. Озолин. СИНТЕЗАТОР ЧАСТОТЫ ДЛЯ УКВ РАДИОПРИЕМНИКА	23
	П. Михайлов. НОВОСТИ ЭФИРА	24
ИЗМЕРЕНИЯ 25	И. Нечаев. ОЦЕНКА ЭКВИВАЛЕНТНОГО ПОСЛЕДОВАТЕЛЬНОГО СОПРОТИВЛЕНИЯ КОНДЕНСАТОРА	25
МИКРОПРОЦЕССОРНАЯ ТЕХНИКА 26	С. Дмитриев. СОТОВЫЙ ТЕЛЕФОН — "ЭЛЕКТРОННАЯ КНИГА"	26
	В. Мельник. ПРОГРАММАТОР FLASH-ПАМЯТИ 28F256A	29
ИСТОЧНИКИ ПИТАНИЯ 31	ИТОГИ МИНИ-КОНКУРСА НА ЗАМЕНУ МИКРОСХЕМЫ TDA4718A	31
	И. Коротков. ИМПУЛЬСНЫЙ СТАБИЛИЗИРОВАННЫЙ БЛОК ПИТАНИЯ МОЩНОСТЬЮ 1 кВт	33
РАДИОЛЮБИТЕЛЮ-КОНСТРУКТОРУ 36	Э. Мамедов. РЕГУЛЯТОР НАПРЯЖЕНИЯ С ЦИФРОВЫМ УПРАВЛЕНИЕМ	36
ПРИКЛАДНАЯ ЭЛЕКТРОНИКА 38	М. Потапчук. ДИСТАНЦИОННЫЙ ИК ВЫКЛЮЧАТЕЛЬ	38
	К. Мовсум-заде. СТУПЕНЧАТЫЙ РЕГУЛЯТОР МОЩНОСТИ	39
	В. Секриеру, Е. Мунтяну. ЭЛЕКТРОПРИВОД С ШАГОВЫМ ДВИГАТЕЛЕМ ДШ-5Д1МУЗ	40
	Б. Соколов. ТАЙМЕР-РЕГУЛЯТОР МОЩНОСТИ	42
	С. Овсянников. БЛОК УПРАВЛЕНИЯ "ВИДЕОГЛАЗКОМ"	44
ЭЛЕКТРОНИКА ЗА РУЛЕМ 45	А. Лавренов. ЧТО ПОКАЗЫВАЕТ АМПЕРМЕТР?	45
	А. Алевин. МОДЕРНИЗИРОВАННЫЙ БОРТОВОЙ КОМПЬЮТЕР	46
"РАДИО" — НАЧИНАЮЩИМ 49	М. Озолин. ИМИТАТОР КАЧАНИЯ МАЯТНИКА	49
	О. Сидорович. ЭЛЕКТРОННЫЕ ПРЕДОХРАНИТЕЛИ С ПРИМЕНЕНИЕМ ГЕРКОНОВ	50
	А. Патрин. БЛОК ПИТАНИЯ ДЛЯ ДОМАШНЕЙ ЛАБОРАТОРИИ	52
	И. Федоров. ПРОСТОЙ УМЗЧ НА МИКРОСХЕМЕ КР174УН31	54
	Д. Мамичев. ШАР: КРАСНЫЙ ИЛИ ЗЕЛЕНый?	55
	В. Васильев. ПРИБОР ДЛЯ ПРОВЕРКИ МОЩНЫХ ПОЛЕВЫХ ТРАНЗИСТОРОВ	56
"РАДИО" — О СВЯЗИ 57	РЕЛИКВИИ — 80 ЛЕТ	57
	ГЛАВНЫЙ КОНТЕСТ УЛЬТРАКОРОТКОВОЛНОВИКОВ	58
	И. Могилевский. ФОРМИРОВАТЕЛЬ КОДА ДЛЯ СИНТЕЗАТОРА РАДИОСТАНЦИИ "МАЯК"	60
	ПРОСТОЙ SSB-ТРАНСИВЕР НА ДИАПАЗОН 80 МЕТРОВ	62
	ПРАЗДНИК НАЗЫВАЕТСЯ "ДОМОДЕДОВО"	64
	В. Жалнераускас. СОГЛАСОВАНИЕ КВАРЦЕВЫХ ФИЛЬТРОВ	66
	В. Рубцов. УСИЛИТЕЛЬ ПРОМЕЖУТОЧНОЙ ЧАСТОТЫ С УЛУЧШЕННОЙ СИММЕТРИЕЙ	67
	ПАРТНЕРСКИЙ ФОРУМ КОМПАНИИ RAINBOW TECHNOLOGIES	67
	НА ЛЮБИТЕЛЬСКИХ ДИАПАЗОНАХ	68
	ICOM IC-7000 — ВСЕВОЛНОВЫЙ ТРАНСИВЕР НОВОГО ПОКОЛЕНИЯ	69
	СОДЕРЖАНИЕ ЖУРНАЛА ЗА 2005 г.	70
	ОСЦИЛЛОГРАФ-МУЛЬТИМЕТР ОМЦ-20	75

НАША КОНСУЛЬТАЦИЯ (с. 47). ОБМЕН ОПЫТОМ (с. 22).

ДОСКА ОБЪЯВЛЕНИЙ (с. 1, 3, 10, 13, 19, 22, 28, 35, 45, 46, 76—80).

На нашей обложке. Диагностический прибор — бортовой компьютер (см. статью на с. 46).

**ЧИТАЙТЕ
В СЛЕДУЮЩЕМ
НОМЕРЕ:**

**АВТОМАТИЧЕСКИЙ БАЛАНС ЦВЕТОВ В ТЕЛЕВИЗОРАХ
ИЗГОТОВЛЕНИЕ ЭЛЕКТРОСТАТИЧЕСКИХ
ГРОМКОГОВОРТЕЛЕЙ
КОРРЕКТОР КОЭФФИЦИЕНТА МОЩНОСТИ
ДИКТОФОН ДЛЯ ОБУЧЕНИЯ ПЕРНАТЫХ
УКВ ЧМ РАДИОСТАНЦИЯ**



Издаётся с 1924 года

РАДИО

"Радиоприёмник" — "Радиопрогресс" — "Радио"

12·2005

МАССОВЫЙ
ЕЖЕМЕСЯЧНЫЙ
НАУЧНО-ТЕХНИЧЕСКИЙ
ЖУРНАЛ

"Radio" is monthly publication on audio, video, computers, home electronics and telecommunication

УЧРЕДИТЕЛЬ И ИЗДАТЕЛЬ: РЕДАКЦИЯ ЖУРНАЛА «РАДИО»

Зарегистрирован Комитетом РФ по печати 21 марта 1995 г.

Регистрационный № 01331

Главный редактор Ю. И. КРЫЛОВ

Редакционная коллегия:

В. В. АЛЕКСАНДРОВ, В. И. ВЕРЮТИН, А. В. ГОЛЫШКО, А. С. ЖУРАВЛЕВ,
Б. С. ИВАНОВ, Е. А. КАРНАУХОВ (ОТВ. СЕКРЕТАРЬ), С. Н. КОМАРОВ,
А. Н. КОРОТКОШКО, В. Г. МАКОВЕЕВ, С. Л. МИШЕНКОВ, А. Л. МСТИСЛАВСКИЙ,
В. Т. ПОЛЯКОВ, А. Н. ПОПОВ, Б. Г. СТЕПАНОВ (ПЕРВЫЙ ЗАМ. ГЛ. РЕДАКТОРА),
Р. Р. ТОМАС, В. В. ФРОЛОВ, В. К. ЧУДНОВ (ЗАМ. ГЛ. РЕДАКТОРА)

Выпускающие редакторы: А. С. ДОЛГИЙ, В. К. ЧУДНОВ

Обложка: С. В. ЛАЗАРЕНКО

Верстка: Е. А. ГЕРАСИМОВА, В. П. ОБЪЕДКОВ

Корректор: Т. А. ВАСИЛЬЕВА

Адрес редакции:

107045, Москва, Селиверстов пер., 10

Тел.: (095) 207-31-18. Факс: (095) 208-77-13

E-mail: ref@radio.ru

Группа работы с письмами — (095) 207-08-48

Отдел рекламы — (095) 208-99-45, e-mail: advert@radio.ru

Распространение — (095) 208-81-79; e-mail: sale@radio.ru

Подписка и продажа — (095) 207-77-28

Бухгалтерия — (095) 207-87-39

Наши платёжные реквизиты:

получатель — ЗАО "Журнал "Радио", ИНН 7708023424,

р/сч. 40702810438090103159 в Межбанком ОСБ № 7811, г. Москва

Банк получателя — Сбербанк России, г. Москва

корр. счет 30101810400000000225 БИК 044525225

Подписано к печати 17.11.2005 г. Формат 84×108/16. Печать офсетная.

Объем 10 физ. печ. л., 5 бум. л., 13,5 уч.-изд. л.

В розницу — цена договорная

Подписной индекс:

по каталогу «Роспечати» — 70772;

по каталогу Управления федеральной почтовой связи — 89032.

За содержание рекламного объявления ответственность несет рекламодатель.

За оригинальность и содержание статьи ответственность несет автор.

Редакция не несет ответственности за возможные негативные последствия использования опубликованных материалов, но принимает меры по исключению ошибок и опечаток.

В случае приема рукописи к публикации редакция ставит об этом в известность автора. При этом редакция получает исключительное право на распространение принятого произведения, включая его публикации в журнале «Радио», на интернет-страницах журнала, CD или иным образом.

Авторское вознаграждение (гонорар) выплачивается в течение одного месяца после первой публикации в размере, определяемом внутренним справочником тарифов.

По истечении одного года с момента первой публикации автор имеет право опубликовать авторский вариант своего произведения в другом месте без предварительного письменного согласия редакции.

© Радио®, 1924—2005. Воспроизведение материалов журнала «Радио», их коммерческое использование в любом виде, полностью или частично, допускается только с письменного разрешения редакции.

Отпечатано в ООО «ИД Медиа-Пресса», 127137, Москва, ул. «Правды», д. 24, стр. 1. Зак. 52733.



Компьютерная сеть редакции журнала «Радио» находится под защитой антивирусной программы Dr.WEB И. Данилова. Техническая поддержка ООО «СалД» (Санкт-Петербургская антивирусная лаборатория И. Данилова)
<http://www.drweb.ru> Тел.: (812) 294-6408



КОМПАНИЯ МТУ-ИНФОРМ

Полный комплекс услуг связи

- цифровая телефонная связь -
- аренда цифровых каналов -
- услуги сети передачи данных -
- подключение к сети Интернет -
- услуги Интеллектуальной платформы -

119121, Москва, Смоленская-Сенная пл., 27-29, стр. 2

тел. (095) 258 78 78, факс (095) 258-78-70

<http://www.mtu.ru>, e-mail: office@mtu.ru



Нашим читателям

ДРУЗЬЯ!



Вы держите в руках двенадцатый номер журнала, последний в 2005 году. В течение года мы общались с вами непосредственно, на страницах журнала, по переписке. Тем не менее к концу года накопилось немало вопросов, на некоторые из них мы постараемся вкратце ответить сейчас.

Поговорим о стоимости журнала. В редакционной почте встречаются письма, авторы которых сетуют на высокую, по их мнению, цену журнала. Попробуем разобраться. Прежде всего, условимся, о какой цене идет речь. Читатели чаще всего имеют дело с тремя ценами на журнал: каталожной, подписной и розничной. Начнем с первой. Это цена одного экземпляра по подписному каталогу агентства "Роспечать", основного российского агентства, занимающегося распространением СМИ по подписке. Она складывается из себестоимости журнала с накладными расходами и прочими расходами редакции и стоимости услуг "Роспечати" по организации и проведению подписной кампании и доставке подписной части тиража до крупных узлов связи. Каталожная цена определяется редакцией СМИ на предстоящий подписной период примерно за полгода до его начала. То есть каталожную цену журнала "Радио" на второе полугодие 2006 года мы будем определять в январе. Нам предстоит спрогнозировать все доходы и расходы практически на год вперед, учесть инфляцию, колебания цен и еще множество факторов, влияющих на доходы и расходы.

Подписная цена превышает каталожную на стоимость местной доставки (от узла связи до почтового ящика подписчика). Стоимость полугодовой подписки на журнал "Радио" по каталогу "Роспечати" равна 210 руб. Стоимость местной доставки устанавливается местными властями, и поэтому все, что вы платите свыше 210 руб., — это стоимость местной доставки. Снизить ее могут только местные власти, к которым и следует обращаться по этому поводу.

В киосках и магазинах журнал продается по розничным ценам. Они устанавливаются фирмами-продавцами путем добавления к оптовой цене торговой наценки. О величине этой наценки можно судить, зная, что оптовая цена на журнал менее 30 руб. за экземпляр.

Напрямую влиять на стоимость местной доставки и величину торговой наценки мы не можем. Но в тех случаях, когда они выходят за разумные пределы, готовы рассказать об этом на страницах журнала. Для этого нам понадобятся соответствующие документы и ваше разрешение на их использование в публикациях и в переписке.

Некоторые читатели получают журнал из редакции. В этом случае стоимость образуется из цены в редакционном киоске (35 руб.) и стоимости почтовой пересылки.

Итак, остановимся на каталожной цене — 35 руб. Иногда нам говорят: "А вот раньше...". Да, раньше журнал можно было купить за 65 коп. Но что теперь вспоминать об этом, если мы с вами живем в другой стране, с другой экономикой и с другой структурой цен... Но если очень хочется, вспомним. Тем более, что и в те времена все было не так уж однозначно. Желаящие могут сравнить стоимость журнала с ценами из повседневной жизни. Напомним, что одна поездка на московском метро тогда стоила 5 коп. Во сколько раз подорожал журнал и во сколько поездка на метро? Вы не пользуетесь метро? Что ж, можно попытаться использовать и "мировой эквивалент" — цены на алкогольные напитки или столь любимую некоторыми "докторскую" колбасу. Сравните рост цен на эти товары и выводы делайте сами. Иллюстрацией редакционной политики может служить такой факт. По заявлению правительства инфляция в 2005 году со-

ставила 12 %, рост цен — еще больше, а каталожная цена на "Радио" осталась неизменной.

Впрочем, когда речь заходит о ценах "сегодня" и "тогда" — логика отдыхает. Давайте сравним цены на "Радио" с ценами на другие журналы, которые сами позиционируют себя как "аналогичные". Данные возьмем из каталога агентства "Роспечать" "Газеты и журналы" на первое полугодие 2006 года. Журналы пронумеруем, не указывая названия, дабы не делать им рекламы.

Вот что получится.

Журнал	Стоимость 1 шт., руб.	Число страниц в номере
"Радио"	35	80
№ 2	48	56
№ 3	38	32
№ 4	37	56
№ 5	37	48
№ 6	45	68
№ 7	65	80
№ 8	60	64
№ 9	45	56

Перечень можно продолжить, можно включить издания международных концернов, суть от этого не изменится. Можете проделать это сами. Дополнительную информацию можно взять в упомянутом каталоге. "Радио" там — на с. 365.

В общем, вопрос стоимости полагаем исчерпанным.

О статьях. Время от времени поднимается вопрос об актуальности публикаций, ошибках. Чуть позже коснемся порядка отбора материалов для публикаций, тогда и поговорим об их актуальности. Теперь об ошибках. Ошибки есть в любом СМИ. Но было бы, по меньшей мере, несправедливо обвинять во всем редакцию. Прежде всего, отметим, что подавляющее большинство статей, со всеми их достоинствами, недостатками и ошибками, присылаете вы, дорогие читатели. И ошибки всех сортов делаете в основном вы, наши уважаемые. Конечно, и работники редакции (художники, графики и редакторы) вносят свою лепту, но без того, но соотношение явно не в пользу авторов-читателей. Кстати, вот уже несколько лет в конце статьи указываются фамилии редактора и автора иллюстраций. Страна должна знать своих героев и отдавать им должное. А задача редакции — максимально отлавливать и устранять ошибки и опечатки на всем пути подготовки статей к публикации.

Путь статьи начинается с регистрации. Затем производится первичный отбор. Уже на этом этапе отсеивается значительная часть полученных материалов. Оставшиеся поступают в так называемый "редакционный портфель", за каждым закрепляется редактор, а авторы извещаются об этом. И первые проблемы возникают сразу. То автор неправильно указал свой адрес, то письма почему-то не приходят, а то и просто нет ответа. Бывает и такое. В необходимых случаях к работе над статьей

привлекаются рецензенты из актива редакции. Замечания и вопросы редакторов и рецензентов посылаются авторам для ответа. Одни отвечают быстро и по существу, а другие ... В итоге нередко возникает вялотекущая переписка, длящаяся месяцами, а то и годами. Но вот, наконец, текст отредактирован, иллюстрации подготовлены. В дело вступает редакционная коллегия журнала. Она собирается раз в месяц и критически рассматривает уже вышедшие номера журнала и проект содержания очередных. Анализируется содержание редакционного портфеля, качество и актуальность намеченных к публикации материалов. Происходит это за два-три месяца до выхода номера. Например, план январского номера "Радио" рассматривался в октябре. После заседания редколлегии секретариатом журнала готовится макет очередного номера. Статьи размещаются на соответствующих страницах (полосах, как говорят журналисты), уточняется их объем, подбираются вспомогательные материалы. Одновременно начинается устранение замечаний, полученных на редколлегии. И оно не всегда бывает оперативным. Случается, что автора одолевает гордыня (меня! и править?) и он настаивает на своей редакции того или иного фрагмента. Или, наоборот, одолевает самокритика и начинается правка уже готовой статьи. Совсем недавно был случай, когда автор (не будем называть его фамилию) уже после того, как номер был сдан в печать, прислал совершенно новый вариант статьи с требованием учесть все изменения. Все это увеличивает сроки прохождения статей. Иногда намного. После утряски и согласования макета начинается верстка журнала, перевод всех компонентов в электронный вид. Сверстаный номер вычитывается редакторами, корректором, рецензентами, выпускающими редакторами и поступает на подпись "в печать" главному редактору. Подписанный номер отправляется в типографию. И только теперь можно сказать, что именно будет опубликовано в этом номере журнала. Начинающие авторы нередко требуют назвать точные сроки публикации. А они зависят от многих факторов, зачастую не связанных со статьей конкретного автора. Мы просим с пониманием относиться к этому и не требовать от редакции невозможного. Кстати, при определении очередности публикаций мы учитываем и ваши письма, дорогие читатели. Пишите нам, что бы вы хотели увидеть на страницах журнала, или, еще лучше, пишите статьи на актуальные темы. Журнал мы делаем вместе, активнее участвуйте в его судьбе.

О переписке. С обычной почтовой перепиской все понятно. Адрес редакции публикуется в каждом номере журнала, корреспонденты уже привыкли к неторопливости почтовых отправлений, к потере некоторых писем. А вот электронная поч-

та — дело относительно новое, еще непривычное. Для начала напомним адреса, по которым следует вести переписку с редакцией. По всем вопросам, связанным с публикациями новых статей, включая предложение материалов и переписку с редакторами, следует обращаться по единому адресу mail@radio.ru. Ваши письма обязательно попадут по назначению. Вопросы по опубликованным статьям задавайте по адресу consult@radio.ru. Мы постараемся вам помочь. Не нужно путать эти два адреса или посылать письма сразу на оба. Тем более не стоит пользоваться старыми адресами. Когда ваши вопросы связаны не с публикациями, а с другими сторонами деятельности редакции, пишите на ref@radio.ru. Если вы уверены, что вашим адресатом должен быть лично главный редактор, пользуйтесь адресом editor@radio.ru. Письма электронной почты теряются чаще обычных. И дело здесь не в чем-то злом умысле или разгильдяйстве, а в специфике этой почты. Что делать, чтобы письма доходили до адресата? Прежде всего, не ошибаться в написании адреса (увы, бывает), не посылать письма в несколько адресов (антиспамовый фильтр может не пропустить). В графе "Кому" должен быть только один адресат (фамилия редактора или наименование подразделения редакции). Аккуратно заполняйте графу "Тема" — должно быть понятно, что это письмо адресовано в редакцию, а не спам. В своих письмах отметьте галочкой "подтверждение доставки". И наконец, если подозрительно долго нет ответа, полезно отправить письмо повторно. Помните, что на своем пути электронное письмо обычно проходит несколько почтовых серверов, на каждом из которых письмо проверяется в соответствии с принятыми правилами, и при подозрении на спам или вирус безжалостно уничтожается.

Жесткие журнальные рамки не позволяют продолжить ответы, но у нас еще будут возможности для дальнейшего диалога.

*Желаем успехов в творчестве.
До встречи в будущем году!*

Редакция





А. ВИТУШКИН, В. ТЕЛЕСНИН

Иногда бывает так, что хороший, с точки зрения привычных параметров, усилитель (с широким диапазоном воспроизводимых частот, малым коэффициентом гармоник и т. д.) звучит неестественно: звук кажется «жестким», «сухим», «металлическим». Одной из причин этого может быть самовозбуждение на высоких частотах (мы имеем в виду паразитные колебания с малой — иногда доли милливольта — амплитудой и любой — вплоть до многих мегагерц — частотой), возникающее в каких-либо режимах работы усилителя. Возникает оно чаще всего в выходных каскадах в моменты открывания или закрывания одного из транзисторов. Причина этого явления — плохо скорректированная отрицательная обратная связь (ООС).

Мы хотим обратить внимание читателей на связь «жесткости» звучания с такого рода самовозбуждением усилителей мощности и предложить схему усилителя, продуманную с этой точки зрения. На примере усилителя мы расскажем также о некоторых способах повышения стабильности подобных устройств.

Механизм взаимосвязи паразитного самовозбуждения с качеством звучания выглядит следующим образом: паразитные колебания детектируются на нелинейных элементах усилителя, и их огибающая в той или иной форме проникает в нагрузку. Кроме того, протектированный сигнал изменяет режим работы транзисторов, что в конечном счете также приводит к искажению воспроизводимого сигнала. Возникающие при самовозбуждении искажения могут быть малыми, поэтому их трудно обнаружить при наблюдении выходного сигнала на экране осциллографа. Однако, если из выходного сигнала вычесть входной, скорректированный по амплитуде и фазе таким образом, чтобы разность оказалась по возможности малой, и подать разностный сигнал на осциллограф, то искажения, вызванные паразитными колебаниями, будут хорошо видны. Осциллограммы разностного сигнала с искажениями могут иметь вид, показанный на рис. 1 (частота

сигнала — 400 Гц, частота паразитных колебаний — несколько мегагерц). На первой осциллограмме (рис. 1, а) самовозбуждение проявляется в виде размытого пятна, на второй (рис. 1, б) — виден лишь вызванный им выброс, так как составляющие с частотой самовозбуждения отфильтрованы. Из рис. 1, б видно также, что искаженный сигнал содержит высокочастотные гармоники, а они, как известно, в большей степени, чем низкочастотные, снижают естественность звучания. Именно поэтому вносимые паразитными колебаниями искажения заметны на слух даже в тех случаях, когда их вклад в общий коэффициент гармоник мал. Этим можно объяснить тот факт, что иногда после устранения самовозбуждения уменьшением глубины ООС звучание, по субъективным оценкам, становится более естественным, несмотря на увеличение коэффициента гармоник.

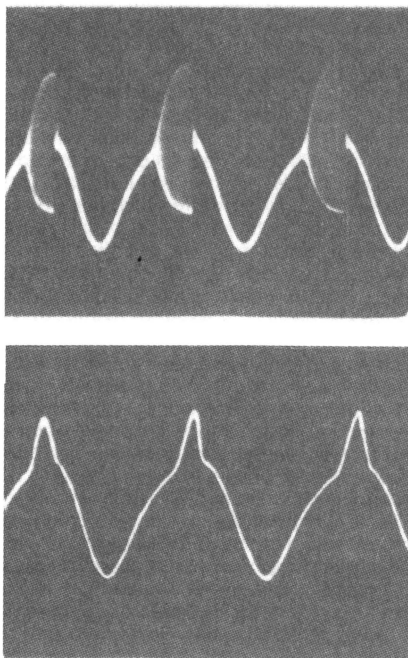


Рис. 1

Часто бывает так, что самовозбуждение возникает лишь в некоторых режимах работы усилителя, и поиск их требует различных методов проверки. Рассмотрим еще один способ выявления самовозбуждения (им, кстати, часто пользуются для измерения выходного сопротивления усилителей). На выход проверяемого усилителя через резистор сопротивлением 5... 10 Ом подают синусоидальный ток большой амплитуды (допустимой по тепловому режиму усилителя). Вход усилителя во избежание

наводок лучше всего замкнуть накоротко. Поскольку напряжение на выходе усилителя равно произведению выходного сопротивления на подаваемый ток, то при достаточно малом выходном сопротивлении сигнал на выходе усилителя оказывается значительно меньше, чем в обычном режиме, и на его фоне хорошо видны следы самовозбуждения. Этот сигнал выглядит почти так же, как и сигнал ошибки, полученный методом компенсации (см. рис. 1).

Рассмотрим теперь на примере конкретного усилителя (рис. 2), какими средствами можно предотвратить самовозбуждение. Как уже указывалось, оно чаще всего возникает в выходном каскаде. Происходит это потому, что выходной каскад, будучи самой нелинейной частью усилителя, охватывается обычно глубокими ООС. В данном случае, например, суммарная глубина ООС, охватывающих выходной каскад, на звуковых частотах составляет 65... 70 дБ. При столь большой глубине ООС наиболее существенным обстоятельством, определяющим стабильность усилителя, является правильное распределение их глубины по каскадам и согласование АЧХ каскадов. Местные ООС расширяют полосу пропускания отдельных каскадов усилителя, а это позволяет ввести ООС, охватывающую весь усилитель и имеющую необходимую глубину в нужном (более узком) диапазоне частот.

Выходной каскад охвачен местной параллельной ООС, осуществляемой через транзистор $V13$. Ее глубина определяется делителем напряжения $R25R26$. Цепи $L4R48$ и $C12R49$ выравнивают нагрузку выходного каскада на высоких частотах и позволяют сделать местную ООС достаточно глубокой. Этому способствует также большой ток покоя транзисторов выходного каскада (40... 50 мА для транзисторов $V15$, $V16$ и 220... 250 мА для транзисторов $V17$, $V18$). Ток покоя транзисторов $V17$, $V18$ выбран столь большим еще и с целью снижения нелинейных искажений на малых сигналах.

Введение местной ООС расширило полосу пропускания выходного каскада до 1... 2 МГц. При увеличении глубины этой ООС на 10... 15 дБ выходной каскад становится склонным к самовозбуждению. Выражается это в том, что на его АЧХ в диапазоне 5... 20 МГц появляются локальные максимумы. Поэтому остальная часть усилителя построена с таким расчетом, чтобы глубина всех других ООС, охватывающих выходной каскад, на этих частотах была малой.

На вход второго каскада (транзисторы $V7$, $V8$) с выхода усилителя через резистор $R23$ подано напряжение ООС, глубина которой составляет около 15 дБ. Цепь $C8R27C9$ ослабляет эту

Декабрь • 2005 год

Для участия в лотерее
надо собрать любые пять
из шести купонов полугодия.

Фамилия И. О. _____

Город _____

ООС на высоких частотах. В области критических для выходного каскада частот (5... 20 МГц) она практически не работает, и охваченные ею каскады не могут самовозбуждаться. Цепь $C8R27C9$ сужает общую полосу пропускания второго и выходного каскадов до 300... 350 кГц. Критический интервал частот для второго и выходного каскадов — $V1$... 7 МГц, а это значит,

полосы пропускания удобен тем, что входной каскад, а следовательно, и весь усилитель оказываются защищенными от перегрузок при быстром изменении входного сигнала.

Малые нелинейные искажения и стабильность усилителя получены в основном благодаря введению несколько необычной ООС, охватывающей выходной каскад. Обычно местную ООС в вы-

ток покоя транзисторов $V17$, $V18$ устанавливают подбором резистора $R35$. Соответствующим выбором сопротивления резистора $R13$ можно получить любой коэффициент усиления напряжения K_u в пределах от 2 до 300. При $K_u < 1.5$ усилитель может самовозбуждаться.

В заключение приводим основные технические характеристики усилителя:

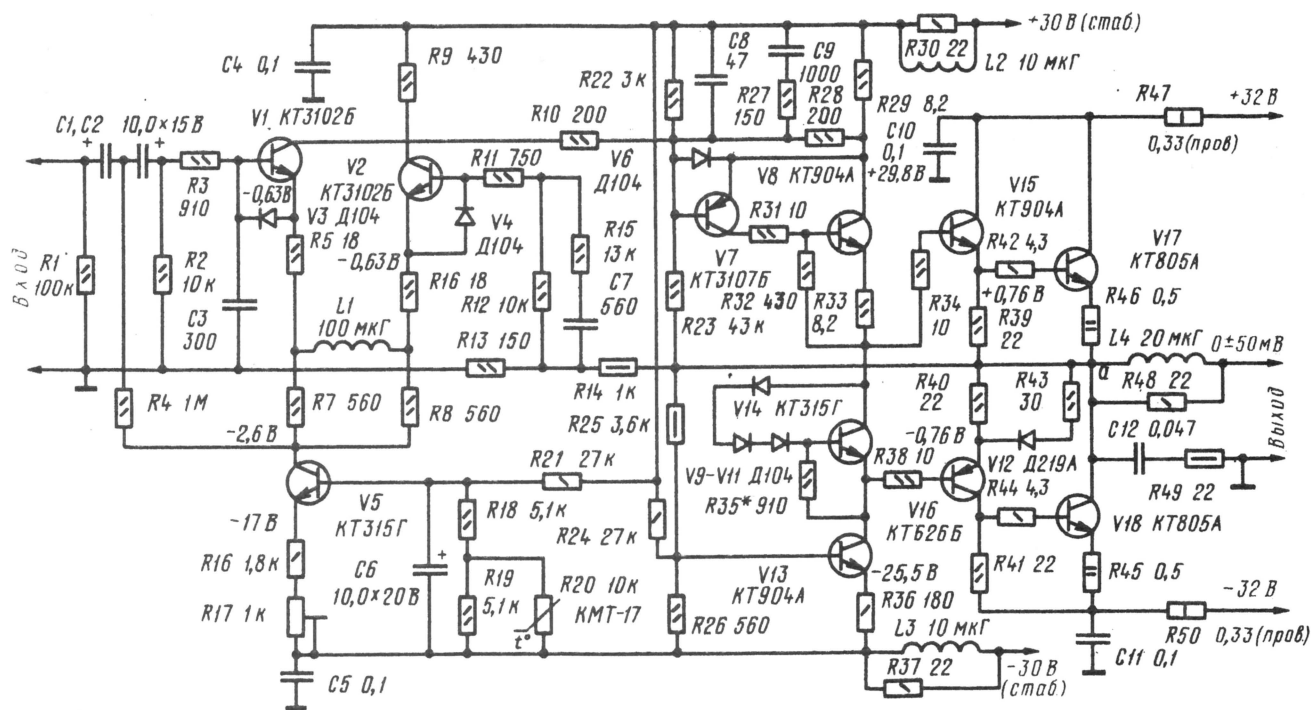


Рис. 2

что при большей глубине ООС через резистор $R23$ они могут самовозбуждаться на этих частотах. Исходя из этого, полоса пропускания первого каскада (транзисторы $V1$, $V2$, $V5$) и глубина ООС по общей петле (через делитель напряжения $R13R14$) выбраны с таким расчетом, чтобы общая ООС на частотах выше 1 МГц не работала. Полоса пропускания первого каскада выбрана равной 30 кГц, а глубина ООС в диапазоне звуковых частот — около 30 дБ. Сужение полосы пропускания первого каскада достигнуто включением в эмиттерную цепь транзисторов $V1$, $V2$ катушки $L1$ и отделением базы транзистора $V2$ от выхода усилителя резисторами $R12$, $R15$. Резисторы в цепи базы $V2$ увеличивают спад АЧХ первого каскада. Выбранный способ суже-

ходном каскаде осуществляют с помощью эмиттерного повторителя, включенного между предоконечным и оконечным каскадами. Лучшие результаты по линейности и стабильности дала параллельная ООС, однако она потребовала увеличения тока покоя транзистора $V8$. В описываемом усилителе ток покоя транзисторов $V8$, $V13$ выбран равным 25 мА, поэтому они так же, как и транзисторы выходного каскада, установлены на теплоотводе.

Цепь $C7R15$ осуществляет фазовую коррекцию в области высших частот звукового диапазона. Терморезистор $R20$ (KMT-17) введен для термокомпенсации дрейфа нуля выходного напряжения. Постоянную составляющую выходного напряжения устраняют подстроечным резистором $R17$, требуемый

выходная мощность на нагрузке 8 Ом — 35 Вт; коэффициент усиления напряжения — 8; относительный уровень шума и фона при замкнутом накоротко входе — 104 дБ; Коэффициент гармоник в диапазоне 20 Гц... 20 кГц — не более 0,002% (при выходном напряжении до 2 В); 0,005% (при выходном напряжении 3 В); 0,007% (4 В); 0,02% (8 В); 0,05% (17 В); выходное сопротивление в точке a — 0,002... 0,003 Ом; полоса воспроизводимых частот при замкнутой накоротко катушке $L4$ — 5... 500 000 Гц.

Устойчивость усилителя характеризуется тем, что при увеличении на 10 дБ глубины любой из ООС, идущих с выхода, он не самовозбуждается.

г. Москва.

Однокристальные ТВ процессоры VCT48/49ху1

Каналы дисплейной обработки и разверток.

Микроконтроллер управления

А. ПЕСКИН, А. СПОРНЯК, г. Москва

Каналы дисплейной обработки и разверток (Display & Deflection) выполнены на основе микросхемы DDP3315C. Этот процессор разработан так, что может управлять как обычным кинескопом, так и жидкокристаллическим (ЖК) экраном.

Отклонение лучей в обычном кинескопе происходит благодаря магнитному полю расположенной на его горловине отклоняющей системы (ОС). Управляющие сигналы отклонения вырабатываются специальным имеющимся в микросхеме RISC-процессором, реализующим необходимый алгоритм в реальном масштабе времени. Сигналы строчной (SVM) и кадровой (VERT+ и VERT-) разверток через специальные ЦАП поступают на оконечные каскады. Через катушки ОС протекают большие токи, и они обладают большой индуктивностью, мешающей точно следовать изменению управляющего сигнала. Поэтому процессор устанавливает точное соответствие отклоняющих токов с сигналом изображения, чем обеспечивается отсутствие дрожания картинки.

Важнейшей частью узлов разверток следует назвать систему защиты, которая устраняет прожигание экрана или перегрузку выходного каскада строчной развертки. Процессор контролирует несколько сигналов, приходящих из различных узлов телевизора, и при неисправности гасит экран или выключает всю развертку.

Канал дисплейной обработки обеспечивает:

- динамическое улучшение контрастности (Dynamic Contrast Improvement — DCI);
- динамическое экспандирование (расширение) уровня черного (Dynamic Black Level Expander — BLE);
- динамическое расширение (вытягивание) черного (Dynamic Black Stretch — DBS) с пиковым уровнем черного и активным детектированием адаптивной контрастности;
- повышение четкости в сигнале яркости (Luma Sharpness Enhancer — LSE);
- улучшение цветовых переходов (Color Transient Improvement — CTI);
- коррекцию телесного цвета посредством селективного улучшения цветов (Selective Color Enhancer — SCE);
- регулировку яркости, контрастности, насыщенности и цветового тона;
- программирование коэффициентов сигналов Y, C_R, C_B для создания матрицы RGB;

- статическое расширение черного, гамма-коррекцию в программируемом нелинейном апертурном цветовом пространстве (Non-Linear Colorspace Enhancer — NCE), воздействующую на сигналы RGB;
- работу одного внешнего аналогового RGB входа быстрого гашения (Fast Blank — FBL);
- работу одного внутреннего аналогового RGB входа FBL для вставки

сигналов OSD с уменьшенной контрастностью (25, 50 и 75 %);

- ограничение среднего тока лучей (Average Beam Current Limit — BCL);
- ограничение пикового тока лучей (Peak Beam Current Limit — PBL);
- автоматическую регулировку параметров изображения кинескопа (уровни черного и белого);
- генерацию испытательных сигналов;

- генерацию кадров изображения;
- формирование строчных (H) и кадровых (V) синхроимпульсов для внешней синхронизации аналоговых сигналов RGB.

Процессор разверток позволяет получить:

- кадровый пилообразный сигнал с регулируемой амплитудой, линейностью, S-коррекцией и масштабом (ZOOM);
- параболу восток/запад (East/West);

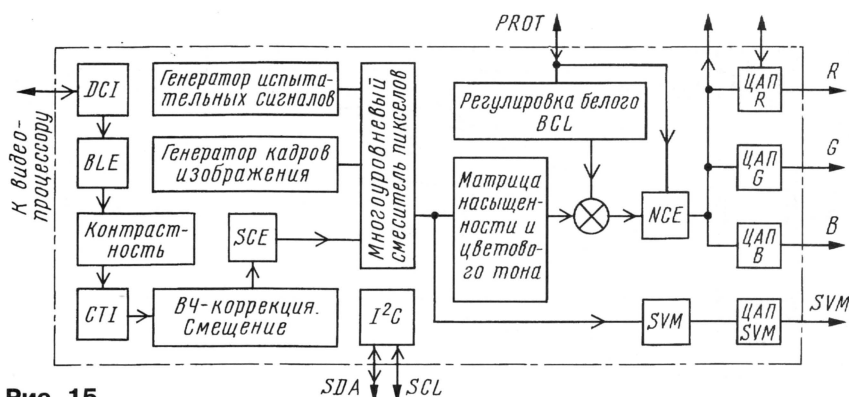


Рис. 15

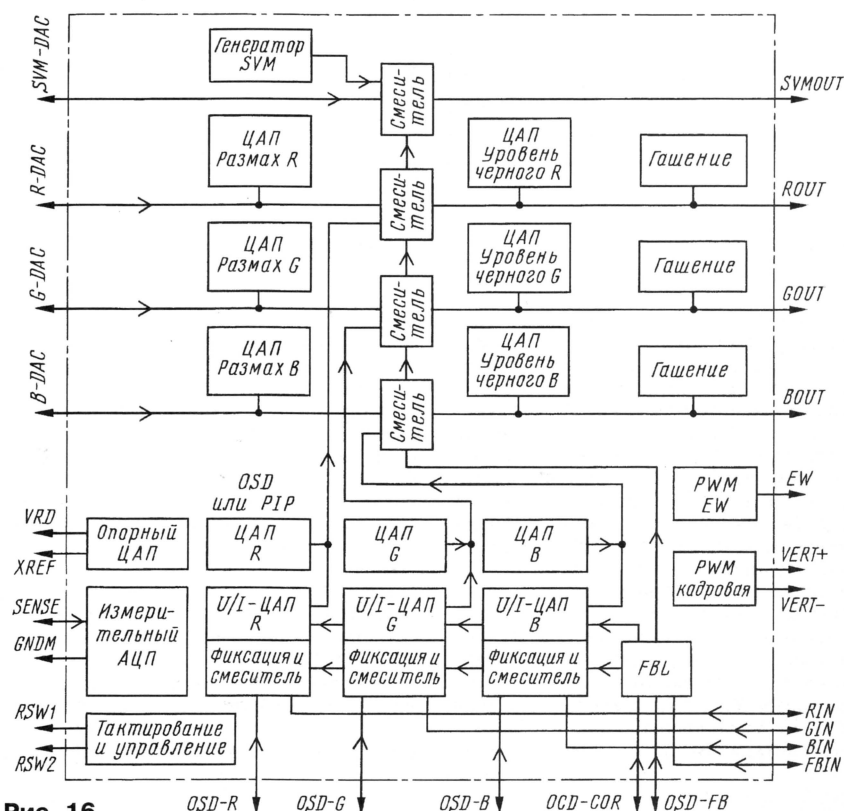


Рис. 16

Окончание.

Начало см. в "Радио", 2005, № 10, 11

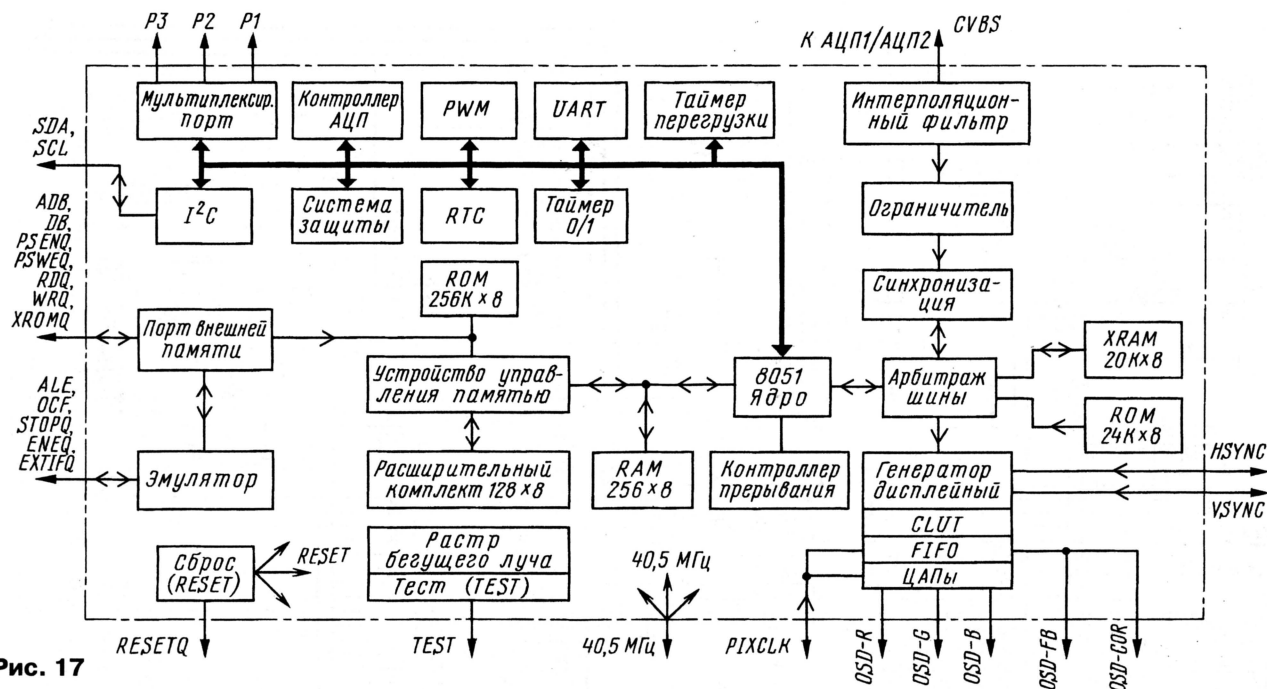


Рис. 17

— модуляцию скорости строчной развертки (Scan Velocity Modulation — SVM);

— нелинейный сигнал высокого напряжения для компенсации кадровой параболы East/West;

— динамическую горизонтальную стабилизацию высокого напряжения;

— кадровую коррекцию угла и наклона;

— дифференциальные выходы кадровой развертки;

— регулировку масштаба (ZOOM) через кадровую развертку;

— строчную и кадровую системы защиты;

— возможность выключения черного (Black Switch-off — BSO);

— "мягкий" старт/стоп строчной развертки;

— горизонтальную и вертикальную динамические фокусировки.

В выходных каскадах видеосигналов имеются:

— внешний аналоговый вход (SCART) для подачи сигналов RGB;

— внутренний аналоговый вход для сигналов OSD или PIP;

— сигнал быстрого гашения FBL;

— регулировка размахов и режимов выходных токов аналоговых сигналов RGB;

— регулировка уровня (яркости) основных и внешних сигналов RGB;

— регулировка контрастности аналоговых сигналов вставки RGB;

— формирователь дифференциальной кадровой "пили";

— формирователь параболы East/West;

— возможность выбора АЦП для измерения тока лучей.

Структурная схема, на которой показаны связи между узлами канала дисплейной обработки, представлена на рис. 15. В канал входят все упомянутые выше узлы, а также многоуровневый смеситель сигналов элементов

изображения (пикселей), который позволяет вставлять дополнительные слои изображения, такие как картинная рамка, шторка от генератора кадров изображения или контрольные тестовые сигналы от генератора испытательных сигналов. Канал дисплейной обработки работает на тактовой частоте 20,25 МГц, синхронной с частотой строк, обеспечивая минимальную разность между максимальными и допустимыми значениями сигналов.

На рис. 16 изображена структурная схема выходных каскадов видеосигналов, из которой видно, что в каждом канале имеются по два ЦАП. Один из них преобразует размах сигнала (40 % полного диапазона), а другой — уровень черного (60 % полного диапазона). Для гашения используются специальные узлы фиксации.

Выходные каскады обеспечивают вставку двух внешних сигналов — OSD или PIP. Сигналы RGB этих источников поданы на главные тракты через смесители. В каждом дополнительном канале также имеются по два ЦАП.

Все сформированные выходными каскадами сигналы проходят на кинескоп и отклоняющие катушки ОС.

Микроконтроллер управления (Controller, OSD, Text) выполнен (см. рис. 1 и 2) на основе одной из микросхем серии SDA55xx. В контроллер записывают такое программное обеспечение, что он управляет всеми функциональными узлами телевизора. Ядром контроллера служит микропроцессор CPU семейства 8051 (см. рис. 2) с максимальным объемом памяти 1 Мбайт. В нем размещают сложные программы всех многочисленных меню с описанием функций для потребителя.

На основании вышесказанного фирма предлагает свои процессоры с базовой программой, которая послужит производителям телевизоров исходной основой для разработки собственного

программного обеспечения. Она состоит из программы-компилятора, компонирующей программы, промежуточного и внутреннего системных эмуляторов.

Микроконтроллер имеет следующие основные характеристики и узлы:

— внешнюю рабочую частоту — 20,25 МГц;

— рабочую частоту CPU — 40,5 МГц;

— частоту CPU в режиме энергосбережения — 10,125 МГц;

— внутрикристалльное ПЗУ программы (ROM) объемом 256 Кбайт;

— внутрикристалльное ПЗУ символов (ROM) объемом 24 Кбайт;

— внутрикристалльное ЗУ с произвольным доступом (XRAM) объемом 20 Кбайт;

— четырехуровневый 24-входовый контроллер прерывания;

— немультимплексированную 8-битовую шину данных и 20-битовую адресную шину;

— восемь 16-битовых регистров данных;

— два 16-битовых таймера перегрузки;

— контролирующий таймер и систему защиты;

— универсальный асинхронный приемопередатчик (Universal Asynchronous Receiver-Transmitter — UART);

— таймер реального времени (Real Time Clock — RTC);

— двухканальный 14-битовый и шестиканальный 8-битовый широтно-импульсный модулятор (Pulse Width Modulator — PWM);

— четыре 8-битовых АЦП;

— внутрикристалльную FLASH-память;

— внешнюю и внутреннюю память данных;

— программируемые мультимплексированные порты ввода/вывода;

— справочную таблицу цветов (Color Look-Up Table — CLUT);

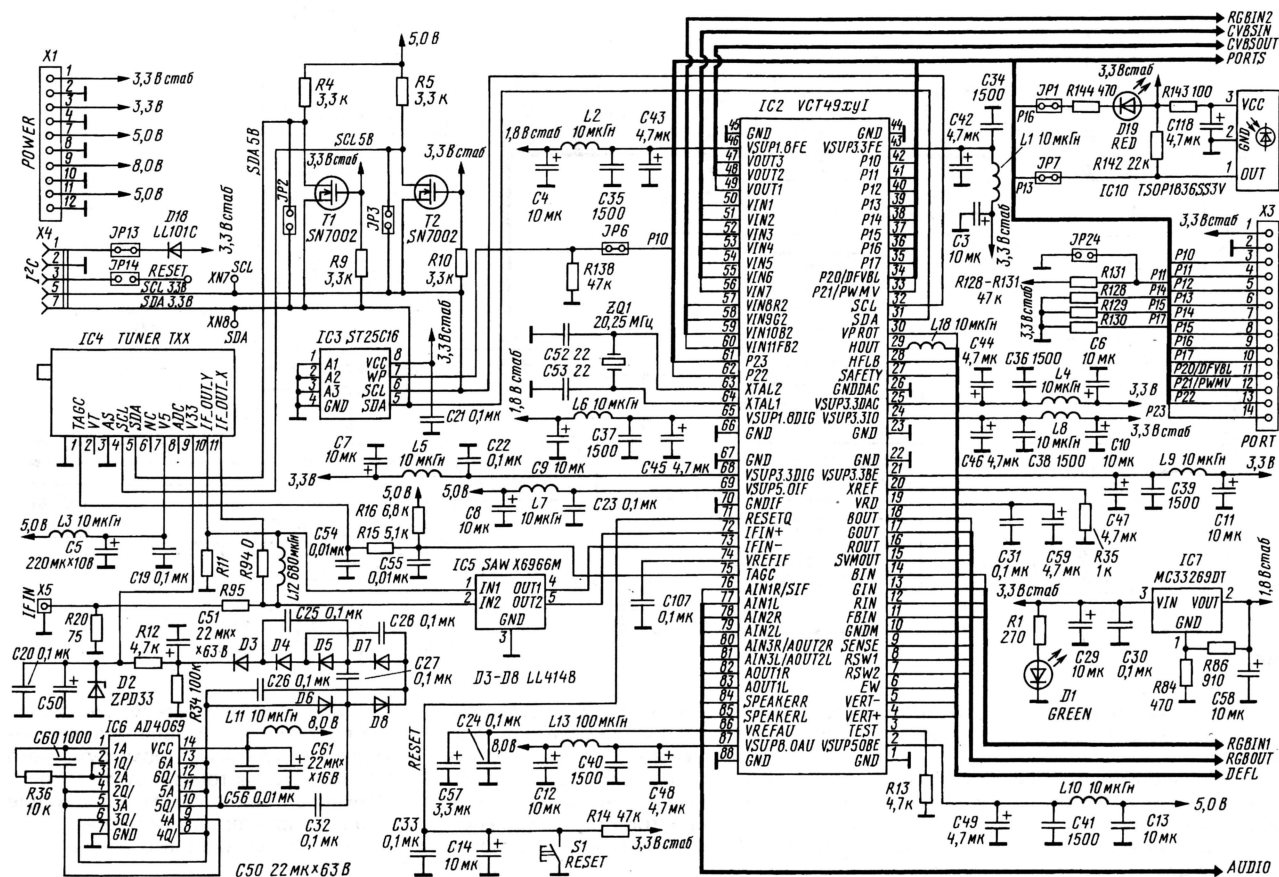


Рис. 18

— буферную память для обслуживания запросов в порядке их поступления (First-In, First-Out — FIFO);
— управление по цифровой шине I²C.

Система отображения символов на экране (On Screen Display — OSD) имеет следующие основные характеристики и узлы:

- внутрикристалльное ЗУ (RAM) объемом 20 Кбайт;
- внутрикристалльное ПЗУ (ROM) объемом 24 Кбайт для работы с таблицей знаковгенерации восточных и западноевропейских языков (латинский, кириллица, арабский и др.);
- поддержку работы с параллельными дисплейными атрибутами;
- поддержку работы с символами настройки вывода изображения на экран: тень, ширина/высота, подчеркивание и т. д.;
- 12 программируемых цветных таблиц;
- один из восьми цветов переднего и заднего планов;
- 1024 воспроизводимых символа на экране;
- комбинированные символьные режимы;
- горизонтальное экранное разрешение 33—64 столбца;
- вертикальное экранное разрешение 25 рядов символов;
- горизонтальное символьное разрешение 12 пикселей;
- вертикальное символьное разрешение 9—12 пикселей;

— программируемые частоты пикселей 10...32 МГц;

— программируемый курсор;

— четырехбитовые встроенные ЦАП сигналов RGB.

Система телетекста (Teletext) имеет следующие основные характеристики:

- до 11 программируемых видеовходов;
- обработку телетекстовых сигналов стандартов WST (World System Teletext), PDC (Programm Delivery Control), VPS (Video Programming System) и WSS (Wide Screen Signalling);
- независимое от основного изображения использование экрана;
- синхронизацию данных, ограниченную только имеющейся памятью;
- измерение шумов и управление их компенсацией;
- возможность просмотра до 10 страниц с внутренней памятью;
- возможность просмотра до 1000 страниц с внешней памятью;
- возможность измерения ослабления сигнала и его автоматической компенсации;
- возможность измерения групповой задержки и ее автоматической компенсации;
- точную отстройку от мешающих сигналов;
- обработку информации 23-й строки системы PALplus.

Упрощенная структурная схема микроконтроллера управления с системами OSD и Teletext показана на рис. 17.

Эта часть процессоров питается от источников напряжения 1,8 и 3,3 В (совместимы с элементами структуры TTL).

Принципиальная схема включения процессора VCT49ху1 представлена на рис. 18. Как уже упоминалось, для построения полного телевизора к показанному узлу необходимо добавить только выходные мощные каскады (УЗЧ, строчной и кадровой разверток), и источник питания.

Статья подготовлена по материалам, предоставленным фирмой "ИНТЕХ Электроникс":
<www.intech-ec.ru>,
тел./факс.: (095) 797-55-35.

Редактор — А. Михайлов, графика — Ю. Андреев

Проблемы ремонта видеотехники и использование ее узлов радиолюбителями

Ю. ПЕТРОПАВЛОВСКИЙ, г. Таганрог

Бытовая видеотехника (видеомагнитофоны и видеокамеры, DVD-проигрыватели и рекордеры, комбайны DVD+VHS) — сложная аппаратура, ремонт которой связан с рядом особенностей, появившихся в последние годы. Рассказывая о них, автор дает не только некоторые рекомендации по ремонту этой техники, но и предлагает использовать ее блоки, в частности, в этой статье — импульсные источники питания, в радиолюбительской практике.

Ситуация в сервисе бытовой аппаратуры, в частности видеотехники, в последние годы существенно изменилась. К основным факторам, повлиявшим на это, можно отнести: существенное снижение цен на модели массового спроса; появление на рынках множества новых производителей аппаратов, рассчитанных на небогатых пользователей; широкое распространение потребительского кредита; увеличение гарантийных сроков до двух и даже трех лет; становление сетей авторизованного сервиса; значительный рост цен на запасные части для послегарантийного ремонта у ряда ведущих производителей; проводимая многими фирмами "политика" ограничения доступа к сервисной документации для неавторизованных мастерских. Все перечисленные факторы привели к тому, что владельцы неисправной техники, отработавшей гарантийный срок, те же производители "подталкивают" к покупке новых моделей, так как послегарантийный ремонт во многих случаях оказывается очень дорогим.

Проанализируем перечисленные факторы в приложении к традиционным видам видеотехники: DVD-проигрывателям и рекордерам, комбайнам DVD+VHS, видеомагнитофонам и видеокамерам.

На лето 2005 г. цены на двухголовочные видеомагнитофоны установились ориентировочно в пределах 2500...3000 руб. (LG — L425 — 2600 руб., JVC — HR-V215 — 2700 руб., PANASONIC — NV-MV21 — 3000 руб.); а на шестиголовочные — 3500...12000 руб. (JVC — HR-V615 — 3700 руб., PANASONIC — NV-HV61 — 4600 руб., LOEWE — VV8106 — 11000 руб.); на видеокамеры аналоговых форматов — 5000...8000 руб. (JVC — GR-FX16E — 6000 руб.), а цифровых форматов miniDV, digital 8 — 12000...40000 руб. (miniDV: PANASONIC — NV-GS6EE — 12000 руб., SONY — DCR-HC22E — 21000 руб., SONY — DCR-HC85E — 32000 руб., и digital 8: SONY — DCR-TRV285E — 14000 руб., SONY — DCR-TRV460E — 16000 руб.); на комбайны DVD+VHS — 4500...9000 руб. (LG — DC476X — 5500 руб., TOSHIBA — SD34VLSL — 7000 руб., SONY — SLV-D970PR — 8600 руб.). Все цены взяты из прайс-листа одного из крупных российских дистрибьюторов бытовой аудио- и видеотехники — "М-видео".

Основная часть бытовой аппаратуры массового спроса, продаваемой в России, в настоящее время производится в Китае или Корее под самыми разными торговыми марками (TM). Кроме хорошо известных, появилось много совершенно новых производителей и продавцов, определить "национальную" принадлежность продукции которых весьма сложно. Из хорошо известных "новых" TM можно отметить: VITEK (производство аппаратуры самых различных видов под этой TM было организовано отечественной дистрибьюторской компанией "Голдер-электроник" в содружестве с австрийской An-Der Products GMBH), TECKTON (зарегистрирована в Англии, фирма производит ЖК телевизоры и DVD аппаратуру на заводах в Корее), DVDTECH (DVD-проигрыватели в ценовой категории 2000...3000 руб.), VESTEL (телевизоры этой фирмы собирают на построенном ею в Александровском заводе), XORO (торговая марка немецкой компании MAS Elektronik AG, хорошо известна своими недорогими мультимедийными DVD проигрывателями, производство в Китае) и многие другие.

Рядом известных производителей бытовой аппаратуры созданы широкие сети авторизованных сервисных центров, охватывающие десятки и даже сотни городов России и СНГ. Наиболее развитые сервисные сети имеют фирмы LG, MATSUSHITA (PANASONIC), SAMSUNG, JVC. Стараясь не отстать от них и другие производители. Давно и успешно работающая на рынке России и СНГ фирма LG закрепила свои позиции, начав строительство крупного завода в подмосковном городе Руза, закладка которого произошла 20 апреля 2005 г. Уже в 2006 г. в корпусах завода площадью 50 га начнется производство продукции — телевизоров FLATRON, холодильников, стиральных машин и аудиотехники. В 2008 г. планируется открыть линию по выпуску ЖК телевизоров.

Широкое распространение потребительского кредита примерно с 2003 г. в сочетании с увеличением гарантийных сроков многими производителями аппаратуры привело к значительному увеличению продаж всех видов бытовой техники, ремонт которой в основном проводится и будет еще несколько лет проводиться в авторизованных сервисных центрах. Ремонт аппаратуры последних лет

выпуска в обычных мастерских затруднен в связи с отсутствием сервисной документации на нее, каналов доступа к оригинальным запасным частям и электронным компонентам, а также в связи с недостаточной квалификацией персонала по обслуживанию новейших моделей и видов бытовой техники.

Цены на запасные части и электронные комплектующие в авторизованных мастерских всегда были значительно выше цен на аналогичные товары в торговле (радиорынки, специализированные фирмы и магазины). К тому же в последнее время некоторые производители существенно их подняли, например, фирма LG почти вдвое. Это обстоятельство имеет существенное значение для "сторонних" покупателей (индивидуальных ремонтников, радиолюбителей) и для клиентов с послегарантийной аппаратурой. Поэтому ремонтники заказывают комплектующие в авторизованных сервисных центрах в исключительных случаях, предпочитая другие пути, в том числе выкупленную на "запчасти" неисправную аппаратуру.

Для радиолюбителей в сложившихся условиях есть и положительные моменты, так как все вышеперечисленные факторы привели к обесцениванию бывшей в употреблении, а тем более неисправной аппаратуры, ведь продать ее владельцы в большинстве случаев не могут. А вот приобрести на "запчасти" вполне реально не только массовую технику, но и довольно "серьезную" и даже эксклюзивную аппаратуру. Приобретая неисправную бытовую видеотехнику, можно иметь в виду не только ее последующий ремонт или восстановление, но и использование отдельных узлов и блоков в радиолюбительских конструкциях и разработках. В приложении к аппаратуре видеозаписи это может быть разработка специализированных систем наблюдения за медленно протекающими процессами и охранных систем с записью на видеокассеты больших объемов информации от видеокамер на небольших скоростях протяжки ленты или в старт-стопных режимах, специализированных тюнеров (не только телевизионных сигналов), построенных на основе видеомагнитофонов с неремонтопригодными ЛПМ, построенные на основе видеомагнитофонов головных "домашних" станций для многоквартирных систем, использование импульсных источников питания, бесконтактных двигателей постоянного тока и различных датчиков видеомагнитофонов в радиолюбительских конструкциях и т. п.

Одной из проблем при ремонте и использовании промышленной видеоаппаратуры радиолюбителями можно назвать отсутствие технической документации и информации о параметрах и возможностях конкретных моделей. Поэтому при приобретении использованной (в том числе неисправной) аппаратуры в первую очередь следует обратить внимание на возможность получения технической документации (схем, сервисных инструкций, чертежей и т. п.). Источников такой информации в настоящее время довольно много: альбомы схем и CD-ROM с сервисными инструк-

циями, продаваемые на радиорынках и в специализированных магазинах, интернет-магазины фирм-дистрибьюторов электронных компонентов, специализированные сервисные журналы, различные издательства, специализированные сайты Интернета и др.

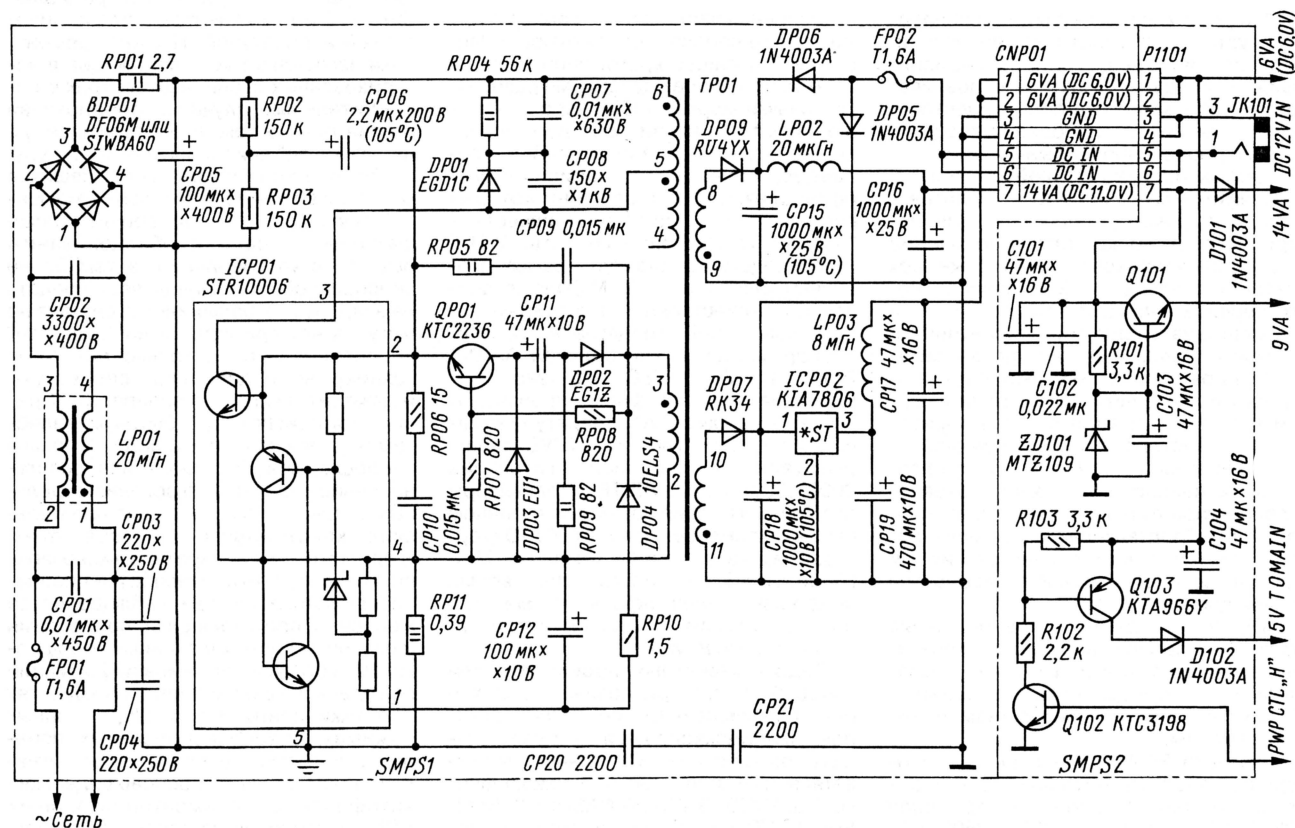
К сожалению, совсем не на каждую модель видеомагнитофона, видеокамеры, DVD-проигрывателя и других видов бытовой видеоаппаратуры техническая документация доступна. Особенно это касается малораспространенных ТМ, а также всей номенклатуры видеотехники последних лет выпуска. Некоторые производители предпринимают существенные усилия по ограничению доступа к технической информации, причем не только касающейся "ноу-хау",

Америку) и PANASONIC (во многие регионы мира). Очень часто оказывается закрытым доступ к PDF-файлам сервисной документации моделей марки PANASONIC на CD-ROM или сайтах Интернета. В результате они не могут быть открыты без знания кодов доступа, скопированы или распечатаны.

Тем не менее отремонтировать или модернизировать промышленную бытовую технику можно и без наличия документации на конкретный аппарат, имеющийся в распоряжении радиолюбителя. Для этого потребуются провести определенный "исследовательский" этап по составлению принципиальных схем, выявлению типов используемых электронных компонентов, определению вариантов проверки исправности эле-

новом из собственно источника питания, выполненного в виде отдельной конструкции или компактно расположенного на какой-нибудь из печатных плат аппарата, и вторичных узлов (стабилизаторы, ключевые устройства, фильтры, предохранители и др.), входящих в состав различных функциональных блоков.

ИИП видеокамер при сетевом питании состоит, как правило, из выносного сетевого адаптера, импульсного преобразователя напряжения (ИПН) и вторичных узлов, входящих в состав блоков видеокамер. В совокупности все устройства, обеспечивающие работу различных функциональных блоков аппаратуры, можно назвать системой электропитания (СЭ).



но и сервисной документации на крупносерийную аппаратуру.

Например, фирма MATSUSHITA при разработке новой техники придерживается концепции "черный ящик" (Black Box), суть которой сводится к следующему: чтобы обезопасить себя от недобросовестных конкурентов, высокотехнологичные узлы делают так, что понять, как они устроены, ничуть не легче, чем сконструировать их самостоятельно. К таким узлам относятся оптические стабилизаторы изображения для фото- и видеокамер, микросхемы высокой степени интеграции для цифровых телевизоров, лазерные головки DVD-рекордеров и некоторые другие. В настоящее время фирма выпускает аппаратуру под тремя ТМ: NATIONAL (техника для японского рынка), QUASAR (телевизоры и видеокамеры для Северной

Америку) и PANASONIC (во многие регионы мира). Очень часто оказывается закрытым доступ к PDF-файлам сервисной документации моделей марки PANASONIC на CD-ROM или сайтах Интернета. В результате они не могут быть открыты без знания кодов доступа, скопированы или распечатаны.

Одним из важнейших блоков любого прибора можно назвать источник питания. От его качественных характеристик и надежности во многом зависит безотказная работа всего аппарата. Уже довольно долго в видеомагнитофонах, видеокамерах, DVD-проигрывателях и в других видах бытовой видеотехники применяются импульсные источники питания (ИИП), обладающие высоким КПД и небольшими габаритами. ИИП видеомагнитофонов, видеоплееров и DVD-проигрывателей состоят в ос-

Рассмотрим устройство, способы проведения диагностики неисправностей, ремонта и модернизации СЭ на примере распространенных у нас видеомагнитофонов и видеоплееров фирмы LG. Одними из первых моделей видеоплееров фирмы с ИИП, выпускавшихся еще под маркой GOLD STAR, были P-R500AW (1993 г.), P-RN510AW (1994 г.), P-RN800AW, P-RN830AW (1995 г.). Во всех перечисленных моделях СЭ выполнены практически по одной и той же схеме на основе микросхемы STR10006 фирмы SANKEN (иногда ALPS). ИПН и линейный стабилизатор на напряжение +6 В конструктивно собраны в отдельном экранном корпусе. Часть вторичных источников (линейных стабилизаторов) расположена на платах видеоплееров.

В состав другой линейки видеомагнитофонов фирмы, в основном с мар-

кой GOLD STAR и с практически одинаковыми схемами ИИП, входят модели P22W, P23W, T29HW, P43W, T49HW (1996 г.). ИИП в них сделаны на основе микросхемы FA5311P фирмы FUJI с внешним ключом на полевом транзисторе 2SK903M этой же фирмы.

Примерно с 1996 г. все изделия фирмы выпускают с маркой LG. К одной из первых линеек видеомagneтофонов с этой ТМ относятся модели W20Y, W23Y, W43Y (1997 г.). ИИП в них выполнен на основе микросхемы KA7552 фирмы SAMSUNG (функциональный аналог FA5311P) с внешним полевым транзистором 2SK903MR.

В видеомagneтофонах моделей AL122W, AL152W, AL182W (1999 г.) ИИП построен на мощной микросхеме STR6153T фирмы SANKEN. ИИП стереофонических видеоплейеров моделей BH759KW, BH762W, BH769KW (2000 г.) собраны на уже упомянутой микросхеме KA7552 с внешним полевым транзистором SSS3N80 (80A) фирмы SAMSUNG.

ИИП довольно большого числа современных моделей видеомagneтофонов и видеоплейеров фирмы выполнены на микросхеме STRA6351 или STRG6351 фирмы SANKEN: видеоплейеры CL112TW, CL172TW, CL182TW, стереофонические видеоплейеры L274R, L277R, видеомagneтофоны BL162W, BL182W, L328 и др. (2001 г.). Везде в скобках указаны годы разработки моделей по сервисной документации. Как правило, все модели выпускают в течение двух-трех лет после указанных дат.

Выпуск видеомagneтофонов, видеоплейеров и комбайнов DVD+VHS фирма продолжает и в настоящее время. Из моделей, продававшихся в 2005 г., можно отметить видеомagneтофоны L425 (две головки, 2600 руб.), L495 (шесть головок, 3300 руб.), комбайны DC476X (5500 руб.), DC488X (6600 руб.), DC489X (7000 руб.).

Принципиальная схема СЭ видеоплейера GOLD STAR — P-R500AW показана на **рисунке**. Она состоит из двух частей — ИПН (SMPS1) и блока линейных стабилизаторов (SMPS2). СЭ видеоплейеров моделей P-RN510AW, P-RN800AW, P-RN830AW отличаются от представленной только в части блока SMPS2: в него добавлен стабилизатор напряжения +12 В на транзисторе Q104 (на схеме отсутствует). ИПН построен на микросхеме ICP01 по схеме ШИ регулятора с обратной связью со специальной обмотки (выводы 2, 3) импульсного трансформатора. Недостатком такого решения можно назвать зависимость напряжений на выходах выпрямителей (DP07, CP18, DP09, CP15, CP16, LP02) от тока, снимаемого с них в нагрузку. При незначительных изменениях потребляемого тока выходное напряжение довольно стабильно. Однако для устройств, чувствительных к фону или помехам, проникающим по цепям питания, используют дополнительные линейные стабилизаторы.

Напряжение +6 В на выходе стабилизатора на микросхеме ICP02 не коммутируемое. Оно присутствует и в дежурном режиме при подключенной к сети вилке видеоплейера и служит для питания его систем управления и авторегу-

лирования. При полной неработоспособности аппарата следует проверить поступление напряжения на вывод 30 микропроцессора IC501 (SM8203) через диод D503 (1N4003) и дроссель L502 (100 мкГн). Элементы схем с номерами, начинающимися с цифры 5, расположены на главной плате видеоплейера и на рисунке не показаны. Напряжение на выводе 30 микропроцессора должно быть равно +5,3 В.

Напряжение +14 В (11...13 В при подключении внешнего источника постоянного тока через терминал JK101) служит для питания систем электропривода БВГ, ведущего вала и серводвигателя ЛПМ. При заклинивании последнего необходимо проверить прохождение этого напряжения через дроссель L501 (100 мкГн) на вывод 7 микросхемы управления двигателем запорки IC504 (GL7445).

Напряжение +9 В на выходе стабилизатора на транзисторе Q101 служит для питания генератора стирания и подмагничивания канала звука. При отсутствии записи звука следует проверить прохождение этого напряжения через дроссель L451 (100 мкГн) и обмотку трансформатора T451 на коллектор транзистора Q451 (KTC3205).

Напряжение +5 В на коллекторе транзистора Q103 коммутируемое. Оно включается при подаче напряжения +5 В на базу транзистора Q102 с вывода 60 микропроцессора IC501 через резистор R5H9 (1,2 кОм). Это напряжение поступает на устройства видеоплейера через дроссели фильтров, расположенные в различных блоках или на главной печатной плате, например, в канале изображения — через дроссель L311 (100 мкГн) на вывод 35 видеопроцессора IC302 (LA7391A).

При отсутствии напряжений на выходах выпрямителей даже на холостом ходу (при отключенном разъеме P1101) в первую очередь необходимо проверить прозвонкой все полупроводниковые диоды ИПН, выпрямительные диоды DP07, DP09 и резисторы RP06—RP11. Исправность диодов и соответствие номиналов резисторов указанным на схеме, как правило, свидетельствует о выходе из строя микросхемы ICP01.

Микросхема STR10006 недефицитна. Однако следует иметь в виду, что, кроме фирмы SANKEN, эту популярную микросхему, используемую в ИИП многочисленных моделей телевизоров и видеомagneтофонов, выпускали и другие фирмы. На радиорынках такие микросхемы "неопознанных" производителей продают обычно существенно дешевле "фирменных" (30...50 руб. вместо 70...90 руб. летом 2005 г.). Но среди них попадает много неисправных, поэтому лучше отдавать предпочтение "фирменным" исполнениям (SANKEN, ALPS).

В рассматриваемом ИИП нет каких-нибудь дефицитных элементов, кроме, пожалуй, импульсного трансформатора. Однако надежность этих трансформаторов очень высока. Они очень редко выходят из строя при обычной эксплуатации. К сожалению, это не скажешь о долговечности оксидных конденсаторов. У многих из них после 7...10 лет работы параметры ухудшаются (растут

потери и уменьшается емкость). Если нет возможности их измерить, можно оценить качество, измеряя размах пульсаций на конденсаторах CP15, CP18. Их уровень не должен превышать 10...15 % от значения напряжения на них при токе в нагрузке не менее 0,5 А. При больших уровнях пульсаций конденсаторы следует заменить.

Рассматриваемый ИИП удобно использовать в радиолюбительской практике, так как конструктивно он выполнен в легкосъемном металлическом корпусе с закрепленным шнуром питания. При его использовании, например, в качестве адаптера для питания видеокамер, достаточно подпаять к контактам 3 и 7 разъема CNP01 кабель питания с нужным для подключения к видеокамере разъемом. Изменить в некоторых пределах значение выходного напряжения на выходах выпрямителей можно подбором резистора RP08, причем при проведении работ и измерений для обеспечения электробезопасности обязательно применение переходного трансформатора (220 В/180...230 В).

Использовать этот ИИП можно и в качестве лабораторного источника питания на два напряжения. При этом стабилизатором ICP02 вполне может служить любая микросхема с фиксированным напряжением в интервале 3...12 В в трехвыводном корпусе, подобном TO-220, без какой-нибудь переделки.

По цепи +14 В можно снять ток до 1,5 А. Однако генератор на микросхеме STR10006 способен развивать мощность, по крайней мере, до 40...50 Вт. Поэтому можно обеспечить максимальный ток в нагрузке по этой цепи до 3...4 А, для чего нужно установить дополнительный теплоотвод на микросхему ICP01, а диод RU4YX (DP09) заменить на более мощный "быстрый" диод или диод Шотки. Из доступных — это, например, 31DQ04, 31DQ06, 31DQ10, 50SQ080 фирмы International Rectifier и т. п.

Редактор — А. Михайлов, графика — Ю. Андреев

Подъемное устройство для ТВ антенны

В. КУПРИН, г. Злынка Брянской обл.

Сельские жители и горожане на дачах для приема телевизионных часто используют "польские" антенны, оборудованные усилителями SWA. К сожалению, они часто выходят из строя и замена их связана с большими трудностями. Свой путь решения этой проблемы предлагает автор публикуемой здесь статьи. Его устройство может быть полезно и тем радиолюбителям, которые экспериментируют с приемными антеннами.

Для уверенного приема телевизионных программ дачники и жители отдаленных сел и деревень вынуждены применять высокие мачты, на которых размещают приемные антенны. Среди последних большое число составляют "синфазные решетки" — "польские" антенны с усилителями SWA. А "горят" они, особенно в грозу, очень часто. При этом замена неработающего усилителя превращается в непростую задачу, особенно по причине преклонного возраста или проблем со здоровьем, да если еще и погодные условия (дождь или снег) делают крышу дома неприступной. Справиться с такой проблемой даже одному можно, если сделать не очень сложное подъемное устройство антенны, которое и рекомендуется радиолюбителям после неоднократного применения.

Конструкция одного из вариантов предлагаемого подъемного устройства представлена на рис. 1 (антенна на рисунке показана условно без решетки-рефлектора). Как можно видеть, для его изготовления понадобятся две металлические трубы разного диаметра, одна входящая в другую, две металлические пластины, витой капроновый шнур, металлический прут и крепежные материалы (винты с гайками или заклепки, хомуты, резиновая лента, изоляционная лента, провод).

Труба большего диаметра (у автора: наружный — 22, внутренний — 16 мм) имеет длину примерно 100...120 см. Ее нужно согнуть посередине в дугу с внутренним радиусом 150 мм, оставив прямые концы длиной 25...35 см в соответствии с рис. 2,а. В одном из концов этой дуги в тисках выпиливают четыре острых зубца в виде треугольников длиной около 50 мм (рис. 1 и 2,а) и немного отгибают их. Они образуют раструб-фиксатор. Все острые края и заусенцы у трубы опиливают и обрабатывают наждачной бумагой.

Вторым концом дугу крепят к вершине мачты раструбом первого конца вниз. Если мачта металлическая, то лучше всего применить электросварку, как у автора. Однако, если мачта неметаллическая или нет возможности прибегнуть к электросварке, дугу можно закрепить хомутами подходящего диаметра (например, применяемыми в автомобилях). Лучше использовать пять хомутов для надежности (по мнению автора). В месте крепе-

ния мачту нужно обмотать полосой тонкой резины, например, от велосипедной камеры, или смазать все эпоксидной смолой. Это необходимо для того, чтобы дуга не вращалась. Для такой же цели предлагается использовать металлический пруток длиной примерно 25 см и диаметром 8...10 мм. В плоскости, касательной к верхней точке дуги крепления, в мачте сверлят сквозное отверстие

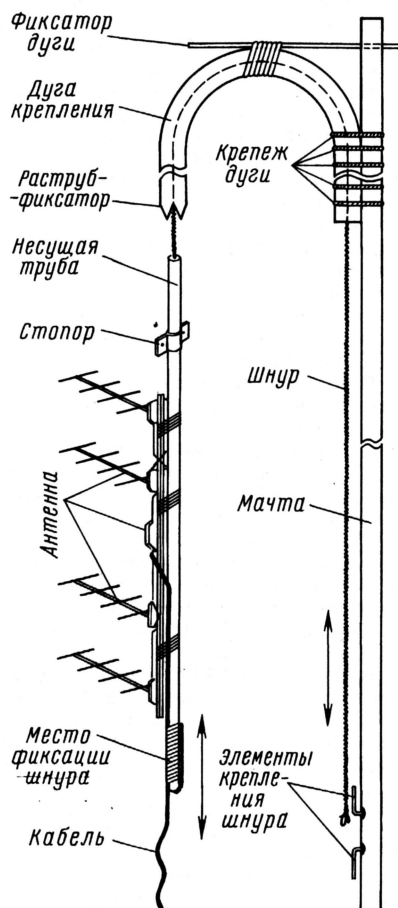


Рис. 1

того же диаметра, вставляют в него прут и в месте его касания с дугой фиксируют проводом или изоляционной лентой так, как на рис. 1.

Вторая труба (несущая) меньшего диаметра (у автора: наружный — 13 мм, внутренний — не существенно, но больше диаметра капронового

шнура) должна иметь длину 32 см плюс высота антенны (около 1 м), т. е. 132 см. Все острые края обрабатывают от заусенцев. У автора использована труба от оконного карниза.

Затем изготавливают стопор, который не позволит антенне вращаться и, тем самым, изменять рабочее положение от ветра. Для изготовления нужны две металлические пластины размерами 70×70 мм и толщиной 0,5...1 мм. Расположив вторую трубу посередине между пластинами и зажав их в тисках, обжимают свободные края пластин плоскогубцами, чтобы пластины плотно облегли трубу по рис. 2,б. В сжатых пластинах слева и справа от трубы нужно просверлить отверстия диаметром 5 мм (точное положение не существенно) под винты или заклепки. Для надежности две половины стопора с облегающей трубу стороны смазывают эпоксидной

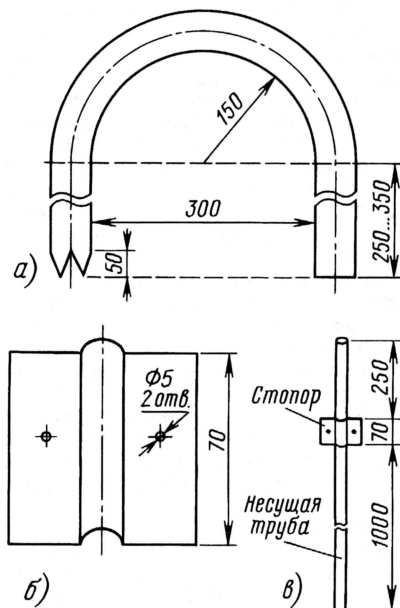


Рис. 2

смолой и скрепляют их заклепками или винтами с гайками, расположив на расстоянии 25 см от верхнего конца несущей трубы по рис. 2,в и 1.

Несущую трубу крепят к антенне (с подключенным кабелем) позади рефлектора изоляционной лентой или (и) хомутами так, чтобы антенна находилась снизу стопора по рис. 1. Желательно, чтобы плоскость, в которой находится несущая труба и стопор, была параллельна или перпендикулярна плоскости рефлектора.

Витой капроновый шнур диаметром 5...10 мм должен иметь длину, равную примерно двум высотам мачты. Шнур пропускают через дугу крепления и несущую трубу, надежно закрепив его снизу антенны и заматыв изоляционной лентой.

Теперь можно установить и закрепить мачту, а затем, потянув за шнур, поднять антенну так, чтобы конец несущей трубы вошел в дугу крепления,

Подключение динамических микрофонов к бытовым видеокамерам

А. ШАРОНОВ, г. Чита

Для улучшения работы динамических микрофонов с видеокамерами автор публикуемой статьи предлагает дополнить микрофон предусилителем с коррекцией АЧХ.

Довольно часто при работе с бытовой видеокамерой возникает необходимость подключения выносного микрофона, например, для записи интервью, конференций и т. п. Конечно, наилучшим решением по качеству звукозаписи будет использование конденсаторного (электретного) микрофона. Но такие приборы на открытом воздухе работают не очень надежно. Кроме того, многие профессиональные модели конденсаторных микрофонов довольно дороги и рассчитаны на симметричное подключение с использованием напряжения питания 48 В.

В то же время в широкой продаже имеются недорогие динамические микрофоны для систем "караоке". К тому же у многих радиолюбителей сохранились работоспособные микрофоны МД51Б, МД85 и др. Однако при практическом использовании динамических микрофонов совместно с видеокамерой выяснилось, что почти все опробованные модели обладают двумя существенными недостатками. Во-первых, у них меньше (в 2...4 раза) чувствительность по сравнению с конденсаторными моделями. К тому же в недорогих видеокамерах нет ручной регулировки уровня записываемого звука и его невозможно "поднять" при записи. Во-вторых, при их применении возникает бубнение на нижних частотах и "завал" на верхних, что снижает качество записи.

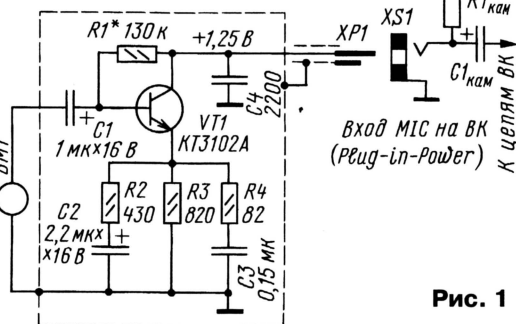
В связи с вышеизложенным был разработан предусилитель — устройство согласования динамических микрофонов с микрофонным входом бытовой видеокамеры. Принципиальная схема устройства показана на рис. 1. Следует иметь в виду, что микрофонный вход в большинстве видеокамер стереофонический, но при записи интервью обычно левый и правый каналы объединяют.

Примененное решение обусловлено тем, что многие модели видеокамер имеют вход XS1 для внешнего микрофона "Plug-in-Power", т. е. на микрофон через резистор R1_{кам}, находящийся внутри камеры, на напряжение питания +3,5 В. Конденсатор C1_{кам} служит

для развязки входа микрофонного усилителя камеры по постоянному току. Указанное обстоятельство позволяет питать согласующий предусилитель непосредственно от камеры.

В устройстве резистор R1_{кам} служит коллекторной нагрузкой предусилителя на транзисторе VT1. Сигнал с микрофона BM1 через конденсатор C1 поступает на базу транзистора VT1. Резистор R1 устройства определяет ее ток смещения. Цепи R2C2 и R4C3 корректируют АЧХ предусилителя. Резистор R3 задает его коэффициент передачи.

На частоте 1000 Гц предусилитель имеет коэффициент усиления по на-



пряжению около 3, "завал" — 6 дБ на частоте 100 Гц и "подъем" +4 дБ на частоте 8000 Гц.

Конденсатор C4 устанавливают в случае использования микрофона в составе радиомикрофонной системы, где шнур микрофона служит антенной передатчика.

Транзистор VT1 может быть любой маломощный кремниевый с коэффициентом передачи тока базы не менее 50. Конденсаторы C3, C4 — малогабаритные пленочные или керамические. Оксидные конденсаторы — на напряжение не менее 4 В.

Налаживание устройства сводится к подбору резистора R1 по уровню постоянного напряжения на коллекторе транзистора VT1 относительно общего провода в пределах +1,2...+1,3 В. Изме-

ряют его, подключив устройство к микрофонному гнезду видеокамеры.

Собранный предусилитель необходимо заключить в экран из медной или латунной фольги, который соединяют с общим проводом. В авторском варианте устройство собрано навесным монтажом на макетной плате размерами 20×30 мм. Плата в экране размещена в пустотелой пластмассовой рукоятке отечественного микрофона МД85. Вилка XP1 — "мини-джек", контакты правого и левого каналов соединены вместе. Длина экранированного провода от микрофона до вилки увеличена до 4 м.

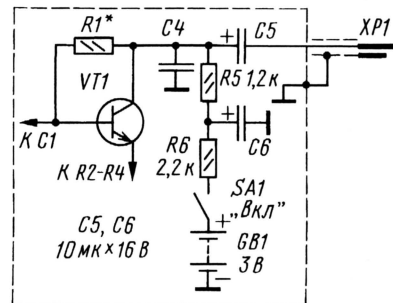


Рис. 2

Для работы устройства с камерами, не имеющими на микрофонном гнезде напряжения питания, возможен второй вариант устройства с питанием от встроенной батареи, включенной по схеме на рис. 2. Батарея состоит из двух миниатюрных ("пуговичных") аккумуляторов по 1,5 В. Сигнал на вилку XP1 поступает через разделительный конденсатор C5.

При наличии маломощных германиевых транзисторов структуры п-р-п (например, серии ГТ311) из устройства можно исключить резистор R6 и один из аккумуляторов. В устройстве можно использовать германиевые транзисторы структуры р-п-р, изменив полярность включения источника питания и оксидных конденсаторов. Применение германиевых транзисторов серий МП35 — МП42 нежелательно, так как они сильно "шумят". Удовлетворительно работают германиевые транзисторы МП27, МП28 структуры р-п-р.

Налаживание устройства на германиевом транзисторе при напряжении питания 1,5 В сводится к подбору резистора R1 по напряжению на коллекторе в пределах 0,7...0,8 В.

При использовании в конструкции компонентов для поверхностного монтажа можно получить очень малые размеры устройства, что позволит разместить его в корпусе практически любой доступной модели динамического микрофона.

Редактор — А. Михайлов, графика — Ю. Андреев

а стопор на несущей трубе зафиксировался между зубцами раструба дуги. Конец шнура крепко привязывают к элементам крепления, предусмотренным на мачте внизу.

Стопор с растробом-фиксатором не только не дают вращаться антенне, но и за счет наличия четырех зубьев

в растробе при необходимости позволяют повернуть антенну на 90° в одну или другую сторону от начального положения. В связи с этим как раз и был выбран радиус дуги, равный 15 см, для того чтобы при таком повороте рефлектор (при ширине 56 см) антенной решетки не касался мачты. При боль-

шем радиусе может повыситься парусность антенны.

Теперь при необходимости замены антенного усилителя или даже всей антенны достаточно отвязать шнур, опустить антенну, заменить, поднять и снова завязать.

Редактор — А. Михайлов, графика — Ю. Андреев

Линеаризация каскадов усиления напряжения без ООС

М. КУЛИШ, г. Черноголовка Московской обл.

Предлагаемый вниманию читателей материал можно рассматривать как полезный пример построения высоколинейных каскадов, в том числе и для усилителей с ООС. Активная компенсация нелинейности усилительного прибора (биполярного или полевого транзистора) достигается выделением сигнала ошибки с последующим преобразованием в ток, суммируемым в противофазе с током выходной цепи каскада.

В развитии схемотехники усилителей, в поисках путей улучшения параметров устройств долгое время сосуществуют два подхода. Улучшение характеристик каскадов усилителя достигается либо применением отрицательной обратной связи, либо за счет коррекции искажений. Оба подхода предложены одним автором — Харальдом Блэком, изобретателем отрицательной обратной связи.

Линеаризация амплитудных характеристик усилителей введением отрицательной обратной связи (ООС) — это действенный метод схемотехники, применимый в большинстве практических задач. ООС очень эффективно снижает искажения усилителя в целом, но с ее помощью не всегда удается контролировать распределение гармонических составляющих искажений усиленного сигнала. ООС, являясь нелинейным преобразованием амплитудной характеристики усилителя, приводит к расширению спектра гармоник.

В обоих направлениях схемотехнического проектирования необходимо учитывать свойства применяемых компонентов. Например, для каскадов усиления с биполярными транзисторами "слабой стороной" чаще всего оказываются нелинейная зависимость тока коллектора от падения напряжения на эмиттерном переходе и тепловая обратная связь, которая модулирует напряжение база—эмиттер усиленным сигналом. Элементы схемы инвертирующего усилителя с обратной связью, содержащего входной дифференциальный каскад, показаны на рис. 1, а. Обычно предполагается, что собственные искажения усилителя всегда стремятся к нулю при уменьшении сигнала. Но предположим, что транзистор неидеален и обладает, например, описанным в литературе "эффектом памяти" [1, 2], своего рода гистерезисом. Усилитель поведет себя по-разному для тональных (периодических) и музыкальных сигналов. Гармонический состав искажений сигнала определяется передаточной характеристикой усилителя, не охваченного ООС, и тепловая модуляция транзисторных каскадов будет вызывать значительное изменение спектра искажений. Добавив во входную цепь усилителя генератор U_e (error — ошибка) как дополнительный сигнал ошибки, приведенной

ко входу. На выходе усилителя помимо усиленного сигнала появится сигнал $(K_y + 1) \cdot U_e$, который зависит от вида усиленных сигналов и неоднозначно связан с изменением глубины общей ООС.

Для каскада усилителя напряжения без обратной связи (рис. 1, б) добавление генератора ошибки U_e приведет к появлению аналогичного сигнала искажений $K_y \cdot U_e$ на выходе.

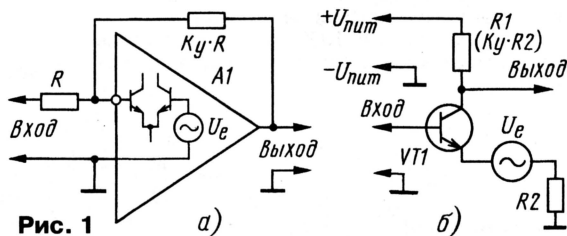


Рис. 1

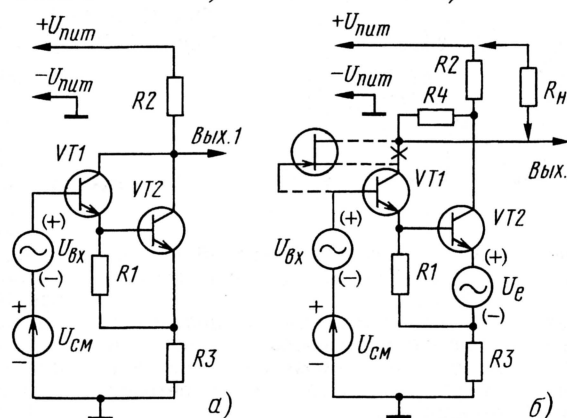


Рис. 2

Во многих применяемых и разрабатываемых усилителях сигналов для высококачественного звуковоспроизведения огромное внимание уделяют качеству усилительных элементов (приборов). Причем критерии отбора и требования к параметрам неопределенны и чаще всего основаны на впечатлении от прослушивания готового усилителя. В то же время представляется разумным обратить внимание на свойства приборов на этапе проектирования и устранить их влияние на конечный результат схемотехнически. Так, улучшение свойств усилительных элементов достигается в узлах коррекции искажений нередко весьма просто.

В этой статье предложено несколько вариантов построения высоколинейных транзисторных каскадов усиления напряжения, основанных на принципе преобразования входного напряжения

в выходной ток (ИТУН) без применения обратной связи. Широкополосность таких каскадов позволяет использовать их и в усилителях с общей ООС.

Варианты линеаризации характеристик

Схемотехника каскадов усиления с коррекцией ошибки может быть неожиданно простой. Например, рассмотрим каскад на составном транзисторе, включенном по схеме с общим эмиттером, на рис. 2, а и его модификацию на рис. 2, б. Изменение минимально и сводится к установке одного дополнительного резистора R_4 .

Первоначально свойства исходного и модифицированного каскадов были проверены в симуляторе. При их моделировании использованы транзисторы BC547C, сопротивление резисторов $R_3 = R_2 = 332 \text{ Ом}$, $R_1 = 100 \text{ Ом}$, $R_4 = 104 \text{ Ом}$. Падение напряжения на резисторе R_3 установлено равным 3,5 В, амплитуда входного сигнала — 1 В, глубина модуляции тока VT2 — около 30 %.

В таблице показаны расчетные значения коэффициента нелинейных (гармонических) искажений синусоидального сигнала на выходах Вых. 1 и Вых. 2. Искажения на выходе Вых. 2 меньше почти в сто(!) раз по сравнению с искажениями на выходе Вых. 1.

Транзистор VT1 в каскаде с коррекцией выполняет две функции одновременно: эмиттерного повторителя и компенсатора нелинейности транзистора VT2. Происходит это следующим образом. Изменение напряжения $U_{БЭ}$ транзистора VT2 (оно же напряжение ошибки U_e) приложено через резистор R_1 к эмиттеру транзистора VT1, который для этого напряжения включен по схеме с общей базой. При этом ток коллекторов транзисторов VT1 и VT2, создаваемые генератором U_e , оказываются противофазными. При выполнении условий $R_2/R_3 = R_4/R_1 = K_{yc}$ нелинейность транзистора VT2 будет компенсирована. Ток коллектора транзистора VT1 создает дополнительное падение напряжения на резисторе R_4 , которое ком-

Номер гармоники	Относительная амплитуда	
	на вых. 1	на вых. 2
1	1	1
2	$1,634 \cdot 10^{-3}$	$1,014 \cdot 10^{-5}$
3	$2,537 \cdot 10^{-4}$	$9,075 \cdot 10^{-7}$
4	$4,296 \cdot 10^{-6}$	$2,930 \cdot 10^{-7}$
5	$7,551 \cdot 10^{-6}$	$1,097 \cdot 10^{-7}$
Коэффициент гармонических искажений, %	0,1654	0,001

пенсует искажения выходного сигнала, наблюдаемые на Вых. 1.

Для определения номинала R_4 необходимо учесть дифференциальное сопротивление эмиттера R_3 транзистора VT1, у которого ток эмиттера задан напряжением $U_{БЭ}$ транзистора VT2 и резистором R_1 и примерно равен 6,7 мА. С достаточной степенью точности R_3 (VT1) = $(26 \text{ мВ}) / (6,7 \text{ мА}) \approx 4 \text{ Ом}$.

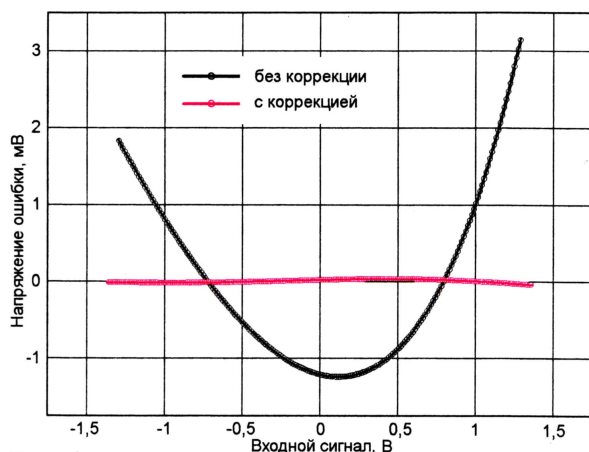


Рис. 3

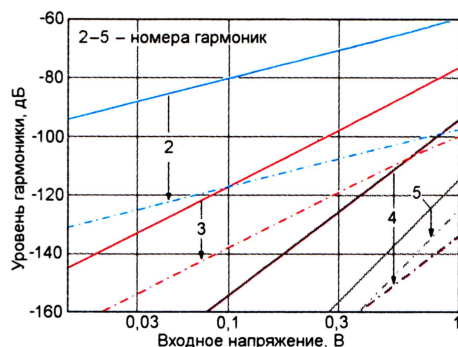


Рис. 4

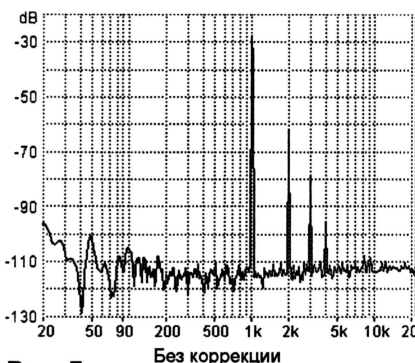


Рис. 5

Одновременно с уменьшением искажений в той же степени происходит подавление напряжения генератора ошибки $U_{\text{б}}$, т. е. к линейности транзистора VT2 с большой глубиной модуляции коллекторного тока предъявляются гораздо меньшие требования. Даже значительное изменение параметров транзистора VT2 слабо скажется на выходном сигнале.

Изменения тока эмиттера транзистора VT1 обусловлены небольшими изменениями $U_{\text{бз}}$ VT2, и режим работы компенсатора можно считать малосигнальным, не вносящим заметных искажений.

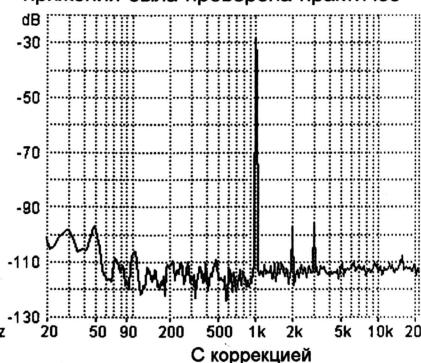
Работу узла компенсации можно представить и по-другому. Полагая, что ток базы пропорционален току эмиттера, пренебрежем им как линейной поправкой. Весь ток, протекающий через резистор R3, протекает и через резистор R2. Аналогично ток, протекающий через резистор R1, равен току резистора R4 (рис. 2,б). Поэтому сумма падений

напряжений на резисторах R2, R4 (Вых. 2) совпадает с суммой падений напряжений на резисторах R3, R1 (эмиттер VT1) с множителем ($K_{\text{кэ}}$). Так как напряжение на эмиттере VT1 много точнее следует за входным напряжением по сравнению с напряжением на эмиттере VT2, то и искажения с Вых. 2 много меньше искажений на Вых. 1. Это следует из того, что ток эмиттера VT1 изменяется менее чем на 2 % при изменении тока через VT2 в пределах 30 %.

До тех пор пока сохраняется малосигнальный режим работы VT1, расширение спектра искажений выходного сигнала не прослеживается и спектр остается на уровне искажений биполярного транзистора с низкой глубиной модуляции тока.

Для снижения возможного проявления эффекта Эрли в транзисторе VT1 напряжение коллектор—база этого транзистора можно стабилизировать включением в цепь коллектора VT1 полевого транзистора КП307Ж (с начальным током стока не менее 12 мА), как показано на рис. 2,б.

Предложенная схема усилителя напряжения была проверена практически



ки с транзисторами серии КТ3102 без отбора по характеристикам. Измерения параметров каскада проведены для соотношения резисторов, обеспечивших усиление по напряжению $K_{\text{кэ}} = 1$ (т. е. фактически инвертора), а на рис. 3 показаны результаты измерения нелинейности передаточной характеристики. Измерения подтверждают высокую степень линейности каскада с цепью активной компенсации и снижение искажений на два порядка по сравнению с усилителем по обычной схеме, с 0,11 до 0,0017 % для сигнала с амплитудой 1 В.

Продукты нелинейных искажений тонального сигнала для четырехполюсника с заданным нелинейным коэффициентом передачи определены в работе [3]. Если передаточная характеристика известна, возможен расчет гармонических компонент тонального сигнала любой амплитуды. На рис. 4 показано изменение гармоник, вплоть до пятой, в зависимости от

входного напряжения. Стрелки отмечают уменьшение соответствующих гармоник при введении активной компенсации.

В подтверждение правильности оценки искажений по передаточной характеристике каскада на рис. 5 показаны спектрограммы сигнала с амплитудой 1,1 В. Первая гармоника частотой 1 кГц при измерении частично подавлена.

Интересно, что активная компенсация искажений на Вых. 2 происходит при любом(!) сопротивлении нагрузки $R_{\text{н}}$. Это означает, что выход каскада оказывается токовым при подключении его к последующему каскаду с низким входным сопротивлением. Резисторы R2, R4 отвечают за часть тока транзистора VT2 в цепь питания + $U_{\text{пит}}$ для выполнения условия согласования с компенсирующей компонентой тока VT1 по амплитуде.

Эффективное снижение искажений по описанному принципу достигается и в аналоговом каскаде, выполненном на полевых транзисторах.

В предложенной выше простой схеме прослеживаются общие принципы построения усилителей с компенсацией искажений. Основной усилитель напряжения выполнен узлом сравнения входного и выходного сигналов для выделения сигнала ошибки. На выходе усилителя присутствует сумматор основного и компенсирующего сигналов в соответствующей пропорции для нейтрализации ошибки. Обобщенные структурные схемы возможных вариантов построения таких каскадов показаны на рис. 6 (без цепей смещения).

В схеме на рис. 6,а один из выходов основной усилительной цепи — эмиттер транзистора, а второй — коллектор. Эмиттерное напряжение сравнивается с входным, и их разность преобразуется в ток, который суммируется с током коллектора в выходной цепи. Построение каскада со структурой по схеме на рис. 6,а подробно рассмотрено в [4]. Выход сравнения и сигнальный выход в такой схеме не эквивалентны. В усилителе с "развернутым" дифференциальным каскадом на транзисторах разной структуры (рис. 6,б и 6,в) сигналы двух токовых выходов совпадают практически точно в сравнении с первым вариантом на этом рисунке. Как прямой, так и инверсный выходы этого каскада применимы для формирования сигнала сравнения с использованием суммирующих резисторов $r, r-R2$ как узла сравнения (рис. 6,в).

Как следует из статьи [5], каскады с коррекцией искажений, в отличие от усилителей с обратной связью, теоретически могут полностью исключить нелинейные искажения. Для достижения минимальных искажений корректирующая часть устройства и сумматоры должны быть предельно линейными, так как они выполняют исправление ошибок второго порядка, поэтому должны быть хорошо защищены от нестационарных воздействий.

В самом деле, представим, что нелинейные искажения основного усилителя каскада очень малы. На примере схемы на рис. 6,а это означает, что напряжение на эмиттере транзистора повторяет входное, приложенное к базе. К входу дифференциального сумматора

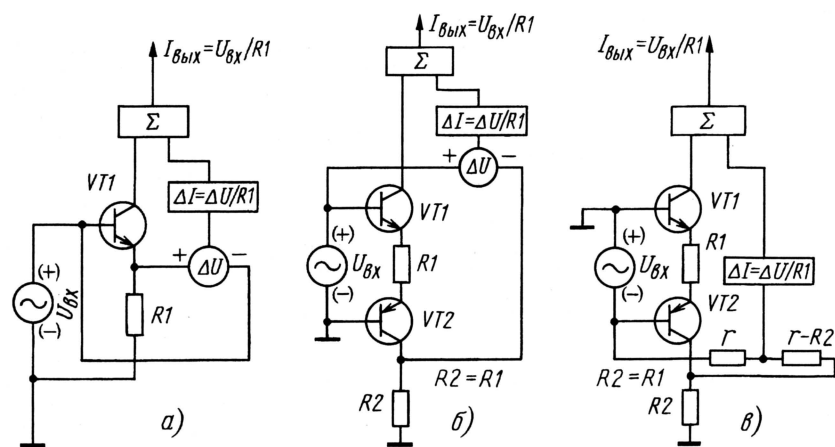


Рис. 6

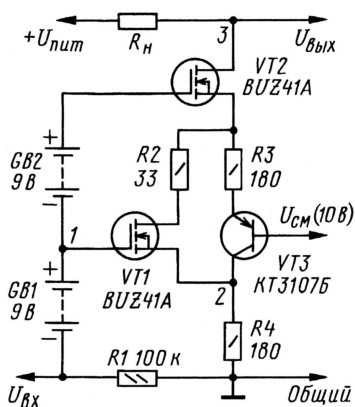


Рис. 7

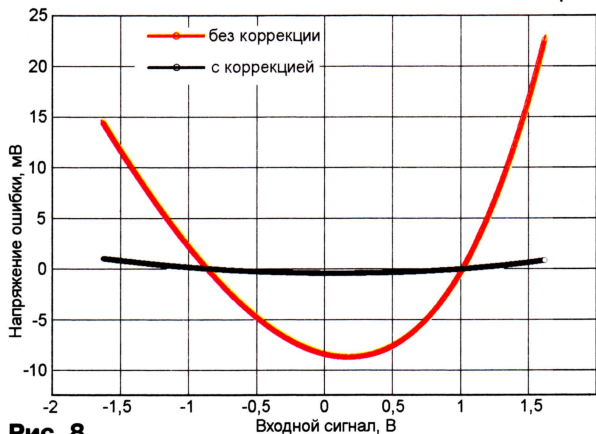


Рис. 8

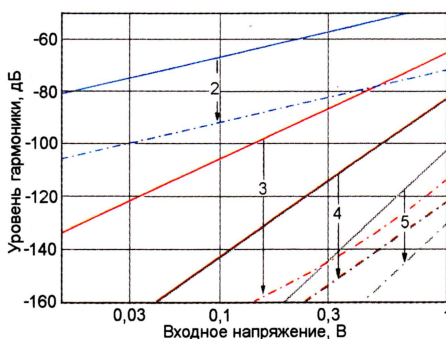


Рис. 9

ра ("вычитателя"), выполняемого, например, по схеме из [4], будет приложен синфазный сигнал, который при недостаточном коэффициенте подавления синфазной составляющей появится в виде ошибки на его выходе. В каскаде по схеме на рис. 6, в синфазное напряжение для компенсатора исключено, но суммирующий резистор r снижает входное сопротивление, что повышает требования к предыдущему каскаду.

В усилительной аппаратуре звуковоспроизведения нередко стремятся к "минимизации" тракта. В схемах с компенсацией искажений основная часть каскада усиления чаще всего состоит из одного-двух транзисторов. Компенсирующая цепь, как малосигнальная часть каскада, также должна быть "короткой" для оптимального фазового согласования с основ-

новым усилительным прибором. Вариант каскада усилителя по структуре рис. 6, б был собран по схеме, показанной на рис. 7, и испытан.

Основная часть каскада усиления состоит из транзисторов VT2, VT3. Коллектор транзистора VT3 и сток VT2 образуют два симметричных токовых выхода. Входной сигнал поступает на затвор транзистора VT2 по цепи GB1, GB2 (из двух гальванических батарей напряжением по 9 В). Падение напряжения на резисторе R4, создаваемое током коллектора VT3, сравнивается с входным напряжением на затворе транзистора VT1. Отклоне-

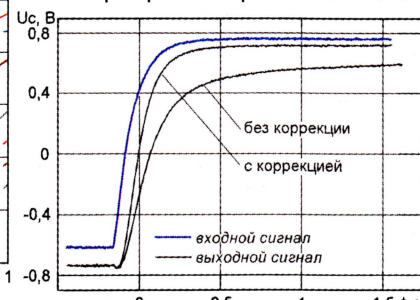


Рис. 10

ние выходного сигнала в узле 2 от входного (узел 1) вызывает изменение тока стока VT1, который подведен к истоку VT2, и компенсирует ошибку передаточной характеристики каскада в стоке VT2. Компенсирующий транзистор VT1 работает при малых изменениях тока стока и напряжений сток—исток и сток—затвор, обеспечивая высокую точность узла компенсации.

В этом каскаде не требуется налаживания компенсатора, глубина действия которого связана отношением дифференциального сопротивления истока VT1 к сопротивлению резистора R4.

Так как ток в резисторе R4 с большой точностью равен току стока VT2, происходит компенсация искажений напряжения и на резисторе R4. Рассматривая свойства трехполосника, заключенного в узлах 1-2-3, можно обнаружить его аналогию с "идеальным" транзистором, где узел 1 — затвор и высокоомный вход (совместно с GB2), 2 — исток и низкоомный выход (по напряжению), 3 — сток и высокоомный (токовый) выход.

Из-за подавления искажений основной цепи сигнала (GB1, GB2, VT2, VT3) каскад обладает очень высокой термостабильностью, зависящей только от влияния температуры окружающей среды на транзистор VT1. Изменения же температуры переходов VT2, VT3 практически не влияют на режим каскада. По этой же причине подавлены и тепловые искажения в транзисторах каскада. Обладая высокой линейностью и отсутствием тепловой "памяти", этот трехполосник может служить "полупроводниковой лампой" и использоваться вместо ламповых каскадов усиления напряжения.

На рис. 8 приведены результаты измерения нелинейности передаточной характеристики этого каскада.

Введение активной компенсации нелинейности каскада резко снижает, как видно из графиков на рис. 9, гармонические искажения высокого порядка (выше второй гармоники), сужая спектр искажений до спектра искажений в транзисторе VT1, действующем в малосигнальном режиме. Без учета вклада второй гармоники коррекция уменьшает искажения с 0,053 до 0,0002 % для сигнала с амплитудой 1 В. В спектре искажений преобладает вторая гармоника, которая тоже значительно подавляется (с 0,47 до 0,025 %).

Каскады усиления с активной компенсацией нелинейности, подобные приведенным, обладают хорошими частотными характеристиками и их можно использовать в усилителях, охваченных общей обратной связью. На рис. 10 показаны осциллограммы переходного процесса в каскаде (по схеме на рис. 7) при подаче импульсного сигнала. Усилитель с цепью компенсации точнее воспроизводит форму входного сигнала, не создавая переходных процессов в микросекундном диапазоне, которые возможны в усилителях с обратной связью.

Применение гальванических батарей как источников смещения в каскаде по схеме, приведенной выше, не обязательно. По описанному принципу осуществима инвариантная схемотехника как на биполярных, так и на полевых транзисторах с подходящими цепями смещения.

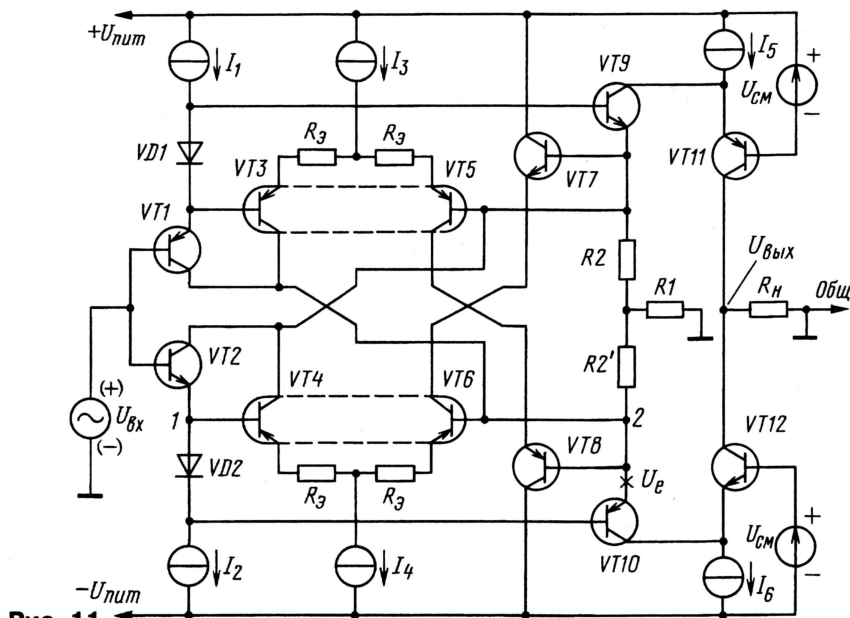


Рис. 11

Вариант каскада по схеме, близкий по построению к показанной на рис. 6,а, возможно применить в симметричной структуре усилителя напряжения без обратной связи (рис. 11). За основу взят симметричный каскад: параллельная структура на транзисторах VT1, VT2, VT9, VT10 с резисторами R1, R2', R2 в цепях эмиттеров для преобразования входного сигнала в коллекторные токи транзисторов VT9, VT10 и выходной ток от транзисторов VT11, VT12. Транзисторы VT4, VT6 сравнивают напряжения в узлах 1 и 2. Напряжение в узле 1 с большой точностью повторяет входное, так как ток эмиттера VT2 стабилизирован, а напряжение на его коллекторе практически следует за входным. Отличие сигнала узла 2 от 1 приведет к возникновению искажений на выходе усилителя. Транзисторы VT4, VT6 с резисторами R3 преобразуют разность напряжений в узлах 1 и 2 в ток компенсации (в коллекторе VT4), который, в отличие от схем в [4], подведен к эмиттеру VT9. Этим достигается одновременно и стабилизация напряжения коллектор-база VT4 для повышения точности компенсации. Транзистор VT6 подключен коллектором к эмиттеру VT7 и, следовательно, его режим также полностью стабилизирован.

В усилителе по такой схеме выходные токи коллекторов транзисторов VT9, VT10 по отдельности могут быть искажены, но эти искажения взаимно уничтожаются в выходном сигнале. При включении в разрыв цепи эмиттера транзистора VT10 генератора ошибки (как вводимое в цепь напряжение U_0), имитирующего искажения транзистора (аналогичное возможно и для транзистора VT9), условие компенсации искажений в выходном сигнале выражается равенством $2R_2 + R_1 = 2R_3$. Это условие возникает из равенства тока ошибки $I_0 = U_0 / (2R_2 + R_1)$, вытекающего через резистор R1 в общий провод, и компенсирующего тока коллектора транзистора VT4 величиной $U_0 / (2R_3)$. Усиление каскада по напряжению определяется соотношением $K_v = 2R_{н1} / (R_2 + 2R_1)$.

Выводы

Рассмотренные варианты построения усилителей напряжения с применением активной компенсации искажений при простоте исполнения совмещают несколько положительных качеств:

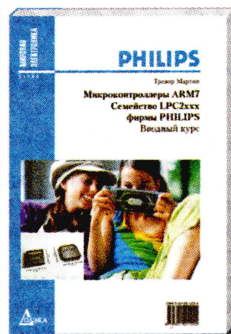
- снижение в значительной степени нелинейных искажений простых каскадов усиления;
- устранение специфических искажений, приписываемых транзисторам, к которым можно отнести эффект "памяти", тепловые искажения;
- повышение термостабильности каскада в целом;
- увеличение допустимой глубины модуляции тока каскада при низком уровне искажений;
- использование относительно низкоомных резисторов позволяет снизить влияние паразитных емкостей и расширить рабочий диапазон частот.

ЛИТЕРАТУРА

1. Perrot Gerard. Measurement of a Neglected Circuit Characteristic, Preprint № 4282, AES.
2. Данилов А. А. Мощный масштабный усилитель постоянного тока. — ПТЭ, 1988, № 6, с. 105—108.
3. Соловьев Н. Н. Основы измерительной техники проводной связи (Часть 3, глава 5. Измерение параметров, характеризующих нелинейные искажения). — М.: Госэнергиздат, 1959.
4. Hawksford M. O. J. Distortion Correction Circuits for Audio Amplifiers. — JAES, vol. 29, 1981, July/August, pp. 503—510.
5. Vanderkooy J. and Lipshitz S. P. Feedforward Error Correction in Power Amplifiers. — JAES, 1980, vol. 28, January/February № 1/2, pp. 2—15.

От редакции. Рассмотренные в статье каскады с активной компенсацией, называемые также каскадами с коррекцией "вперед" (очень условное название, как это нередко бывает в английском), можно рассматривать как структуры двухканального усиления, когда быстросействующий канал компенсирует комплексную нелинейность, возникающую в основном канале усиления.

Редактор — А. Соколов,
графика — Ю. Андреев, автор



Микроконтроллеры ARM7 Семейство LPC2000 компании PHILIPS Вводный курс

Семейство микроконтроллеров LPC2000 компании Philips — первый представитель нового поколения микроконтроллеров, построенных на базе 16/32-битного RISC-процессора ARM7-TDMI.

Эта книга — введение в архитектуру процессора ARM7-TDMI и микроконтроллеров семейства LPC2000. Она основана на материалах однодневных семинаров, которые проводятся для профессиональных инженеров, заинтересованных в быстром изучении микроконтроллеров семейства LPC2000.

Рассматриваются вопросы:

- Введение в процессор ARM7
- Средства разработки ПО
- Системная архитектура LPC2000
- Периферийные устройства LPC2000

Кроме того, в книгу включено полное учебное пособие, где на практических примерах закрепляются вопросы, изложенные в основном тексте. Изучая теоретический материал и выполняя сопутствующие упражнения, вы быстро освоите процессор ARM7 и микроконтроллеры семейства LPC2000.

На компакт-диске, прилагающемся к книге, имеются ознакомительные версии популярной интегральной среды разработки μ VISION и компилятора Си от компании Keil Elektronik, а также исходный код для всех упражнений как в версии для компилятора Keil, так и в версии для компилятора GCC. На диске также содержится руководство пользователя по ядру ARM7, микроконтроллерам LPC 2106/2105/2104, различные спецификации и другие материалы.

**Продажа технической литературы
БОЛЕЕ 1500 наименований
ОТ 50 издательств**

Заказать книги можно:

- сайт: www.dodoca.ru
- e-mail: books@dodoca.ru
- почта: 105318, Москва, а/я 70
- тел./факс: (095) 366-8145, 366-2429, 366-0922

Всю литературу и бесплатный аннотированный каталог вы можете получить по почте наложенным платежом на территории РФ



Тревор Мартин

Издательский дом
«Додэка-XXI»,
2006

Пер. с англ.

УМЗЧ на "телевизионных" лампах с трансформаторами ТН

С. КОМАРОВ, г. Москва

Практически все сетевые трансформаторы серии ТН пригодны для использования их в качестве выходных в двухтактных ламповых усилителях с относительно низковольтными, так называемыми "токовыми" лампами. А наличие у этих трансформаторов четырех выходных обмоток на напряжение 6,3 В (накальных) открывает возможность для реализации интересных схемных решений в недорогих и легко повторяемых УМЗЧ.

Эта статья фактически продолжает тему, начатую автором в недавней статье в майском номере журнала [1], — использование унифицированных сетевых трансформаторов промышленного производства в качестве выходных в конструкциях ламповых УМЗЧ.

Унифицированные накальные трансформаторы ТНхх-127/220-50 из высоковольтных обмоток имеют лишь две сетевые на напряжение 127 В каждая с отводами на 110 В. Допустимая амплитуда переменного напряжения на каждой из

На триодах с небольшой крутизной, применяемых в выходных каскадах УМЗЧ, в открытом состоянии падает напряжение значительно больше, приблизительно 100...140 В. Стало быть, если использовать трансформаторы из серии ТН в таком каскаде, следует ориентироваться на напряжение анодного источника питания:

$$180 + (100 \dots 140) = 280 \dots 320 \text{ В.}$$

Это очень близко к типовому режиму лампы 6С4С. Такое значение оптимально и для распространенных пентодов

выполнив ограничения, связанные с приведенными выше расчетами, можно обеспечить вполне приемлемое качество звучания с таким усилителем.

Теперь посчитаем, какую максимальную мощность УМЗЧ можно получить с трансформатором серии ТН и какие параметры он обеспечит, если использовать его как выходной в двухтактном усилителе.

У большинства таких трансформаторов имеются четыре выходных обмотки на напряжение по 6,3 В, две из которых имеют отводы для получения и 5 В. Увы, не все они одинаковы по току нагрузки. У некоторых из трансформаторов мощными оказываются лишь три обмотки, а то и две. Справочные сведения о параметрах унифицированных трансформаторов серий ТАН и ТН приведены в [2, 3].

В табл. 1 представлены важные для использования в УМЗЧ параметры трансформаторов серии ТН при различном соединении их вторичных обмоток, соответствующих различному выходному напряжению и приведенному к первичной обмотке сопротивлению нагрузки $R_{\text{на}}$. При этом первичная обмотка пол-

Таблица 1

Номер комбинации	U _{вых} , В (эфф.)	Напряжение обмоток, В (эфф.)	Кэфф. трансф. K _{тр}	R _{ан} , Ом, при нагрузке		Макс. выходная мощность, Вт		Ток выходной обмотки, А	
				8 Ом	4 Ом	8 Ом	4 Ом	8 Ом	4 Ом
1	5	5	50,8	20645	10323	3,13	6,25	0,625	1,25
2	6,3	6,3	40,32	13006	6503	5	10	0,8	1,6
3	7,6	6,3 + 1,3	33,42	8935	4467	7,2	14,5	0,95	1,9
4	8,9	6,3 + 1,3 + 1,3	28,54	6516	3258	10	20	1,1	2,2
5	10	5 + 5	25,4	5161	2580	12,5	25	1,25	2,5
6	11,3	6,3 + 5	22,48	4043	2021	16	32	1,4	2,8
7	12,6	6,3 + 6,3	20,16	3251	1626	20	40	1,6	3,2
8	13,9	6,3 + 6,3 + 1,3	18,27	2670	1335	24	48	1,75	3,5
9	15,2	6,3 + 6,3 + 1,3 + 1,3	16,71	2234	1117	29	58	1,9	3,8
10	16,3	6,3 + 5 + 5	15,58	1942	971	33	66	2	4,1
11	17,6	6,3 + 6,3 + 5	14,43	1666	833	39	77	2,2	4,4
12	18,9	6,3 + 6,3 + 6,3	13,44	1445	723	45	89	2,4	4,7
13	20,2	6,3 + 6,3 + 6,3 + 1,3	12,57	1264	632	51	102	2,5	5,1
14	22,6	6,3 + 6,3 + 5 + 5	11,24	1011	505	64	128	2,8	5,7
15	23,9	6,3 + 6,3 + 6,3 + 5	10,63	904	452	71	143	3	6
16	25,2	6,3 + 6,3 + 6,3 + 6,3	10,08	813	406	80	160	3,2	6,3

этих обмоток окажется в 1,4 раза больше, чем эффективное значение 127 В, — по расчету почти 180 В. Поскольку это напряжение при максимальной мощности УМЗЧ превышать нельзя (во избежание введения материала магнитопровода в насыщение), то и анодное напряжение питания ламп выходного каскада следует ограничить в соответствии с приведенными ниже расчетами.

На лампе, если она пентод или лучевой тетрод, при наибольшей амплитуде тока минимальное падение напряжения — примерно 40...60 В. Стало быть, имеет смысл использовать трансформаторы ТН в двухтактных УМЗЧ лишь на пентодах, типовой режим которых нормирован при напряжении $180 + (40 \dots 60) = 220 \dots 240 \text{ В.}$

Такие лампы отечественного производства есть: это пентодные части комбинированных 6Ф3П и 6Ф5П, а также лампы 6П18П, 6П41С, 6П43П, предназначенные для работы в выходном каскаде кадровой развертки телевизоров, и более мощные лампы 6П36С, 6П42С, 6П44С, 6П45С из блоков строчной развертки.

и лучевых тетродов в триодном включении, таких как 6П14П, 6П3С, 6В50; в этом случае их анодное напряжение фактически ограничено допустимым напряжением на экранной сетке.

Увеличение анодного напряжения сверх указанных значений приведет лишь к увеличению рассеиваемой мощности на анодах ламп, но не даст прироста выходной мощности усилителя. Лампы с большим номинальным током анода предпочтительнее использовать при более низком анодном напряжении.

Приведенный выше расчет соответствует номинальной рабочей частоте трансформаторов — 50 Гц, на которой достигается максимальная мощность.

Для домашнего любительского усилителя это вполне приемлемая нижняя граничная частота полосы звуковоспроизведения. Хотя далеко не всегда усилитель используется до своей максимальной мощности, а при меньших уровнях сигнала нижняя граница частотного диапазона трансформатора снижается линейно! Будем считать, что

Таблица 2

Тип трансформатора	Габаритная мощность на частоте 50 Гц, Вт	Индуктивность L _{ан} всей первичной обмотки, Гн
ТН33-127/220-50	20	21,2
ТН36-127/220-50	30	37,4
ТН51-127/220-50	77	18,6
ТН61-127/220-50	190	7,1

ностью включена в анодную цепь выходных ламп двухтактного усилителя и амплитуда напряжения на ней (разумеется, на частоте 50 Гц) $U_{\text{ан}} = 360 \text{ В}$, что соответствует эффективному значению 254 В ($2 \times 127 \text{ В}$).

Это расчетные параметры, которые можно получить при номинальных значениях напряжения на частоте 50 Гц. Разумеется, чтобы обеспечивать в своих выходных обмотках указанные значения тока нагрузки, выбранный трансформатор должен быть в полтора-два раза мощнее, поскольку через провод первичной обмотки еще протекает и постоянный ток покоя ламп. На более низких частотах возможно насыщение ма-

Таблица 3

Пентод	P_a , Вт	$I_{a \max}$, mA	$U_{a \min}$, В	I_{a0} , mA	E_a , В	R_{aa} , Ом	$P_{\text{вых}}$, Вт	$-E_{c1}$, В
6Ф3П	8	152	70	32	220	5000	9	15
6Ф5П	9	210	50	42	220	4050	14	15
6П18П	12	165	50	55	200	5600	8	11
6П43П	12	240	50	60	200	3333	14	16
6П41С	14	440	50	70	200	1620	28	27
6П36С	12 (17)	500	50	70	200	1400	32	24
6П44С	21	650	50	70	200	1040	43	33
6П42С	24	750	50	100	200	920	49	33
6П45С	35	900	50	150	200	800	56	37

териала магнитопровода, тогда трансформатор будет вносить искажения.

Автор измерил индуктивность первичных обмоток имеющихся у него трансформаторов при их последовательном включении (127+127 В), соединив выводы 3 и 4, а на выводы 1 и 6 подав напряжение 220 В 50 Гц. Результаты измерений приведены в табл. 2.

Разброс значений индуктивности для трансформаторов одного типа оказался весьма невелик; с некоторой долей приближения можно считать эти значения типовыми, вполне достаточными для выходных трансформаторов. Например, для нижней частоты 50 Гц (длительный рабочий режим трансформатора) при выходной мощности 80 Вт и $R_{aa} = 813$ Ом (строка 16 табл. 1), при спаде АЧХ 3 дБ требуемая индуктивность L_{aa} составит: $813 / (2\pi \cdot 50) = 2,6$ Гн, что с огромным запасом обеспечивает самый мощный трансформатор ТН61.

При меньшей мощности, например, для режима с максимальной выходной мощностью 16 Вт и приведенным сопротивлением нагрузки в анодной цепи $R_{aa} = 4043$ Ом (строка 6 табл. 1), минимальное значение индуктивности L_{aa} составит $4043 / (2\pi \cdot 50) = 12,9$ Гн, что также обеспечивают все трансформаторы меньшей мощности (ТН33—ТН51).

Реально трансформаторы серии ТН, включенные двумя половинами своей сетевой обмотки между анодами ламп двухтактного каскада, смогут работать на звуковых частотах не ниже 40 Гц. При амплитуде напряжения U_{aa} примерно 360 В (полное использование по напряжению первичной обмотки трансформатора) и частоте сигнала менее 40 Гц возникают искажения, обусловленные насыщением магнитопровода.

Ну и конечно, лампы должны обеспечить соответствующую мощность выходного каскада! Применять здесь нужно исключительно "токовые" лампы, характеризующиеся относительно низким номинальным анодным напряжением, поскольку поднимать его выше рассчитанного значения просто нецелесообразно.

В табл. 3 представлены результаты расчета режимов выходных каскадов УМЗЧ на "токовых" лампах. Несколько замечаний к этой таблице по параметрам некоторых ламп.

В справочниках представлены весьма противоречивые сведения о лампе 6П36С. При токе накала 2 А (почти как у 6П42С) она обеспечивает импульс анодного тока до 700 мА. Имея гораздо больше, чем у 6П44С, поверхность анода и крупнее баллон, она должна рассеивать и большую мощность. Однако лишь в одном справочнике было найдено для нее значение $P_a = 17$ Вт (почти везде —

12, как и у 6П18П, что очень странно). Похоже, что в лампе остались какие-то технологические недоработки и ее разработчики ввели эти ограничения.

Лампа 6П44С выполнена наиболее оптимально из всех перечисленных. Имея небольшой размер баллона (такой же, как и у 6П41С), она позволяет рассеивать на аноде в полтора раза большую мощность и обеспечивает в полтора ра-

за больший импульс анодного тока при токе накала, всего на 23 % больше, чем у 6П41С. Вероятно, это достоинство привело к появлению варианта 6П44СМ специально для УМЗЧ — без верхнего анодного вывода, с октальным цоколем и цоколевкой, аналогичной лампе 6П3С.

Лампа 6П45С может обеспечить импульс анодного тока до 1,4 А (при $U_{a \min} = 50$ В и $E_{c2} = 200$ В) на громких пиках музыкального сигнала, но не синусоидального. Однако такой режим не оговорен в справочниках и опробовать его в реальной конструкции предоставляется самим радиолюбителям. Для этого режима можно ориентироваться на расчетное значение $R_{aa} = 480$ Ом и ожидаемую пиковую выходную мощность двухтактного усилителя $P_{\text{вых}} = 94$ Вт. При использовании трансформатора ТН61-127/220-50 подключить нагрузку сопротивлением 4 Ом

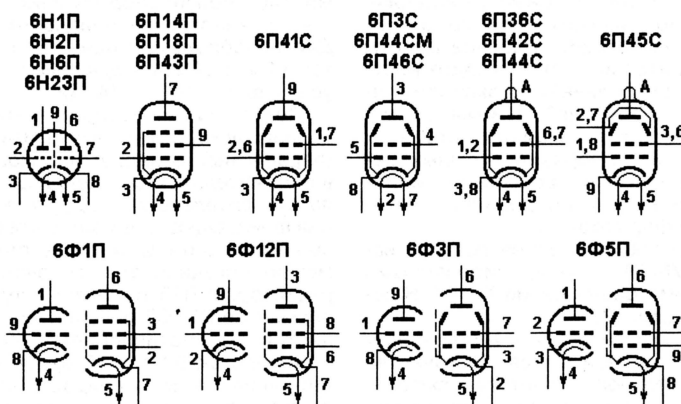
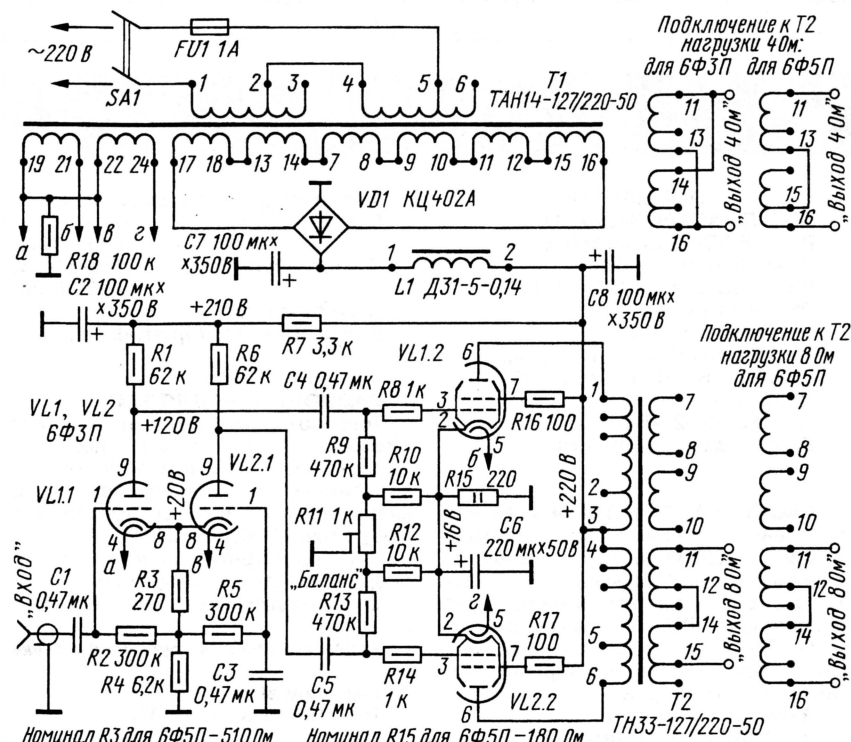


Рис. 1



можно, соединив вторичные обмотки в соответствии с комбинацией 14 из табл. 1. Разумеется, источник анодного питания должен обеспечивать постоянство питающего напряжения 200 В при кратковременных всплесках потребления до 1 А и емкости конденсатора RC-фильтра не менее 1400 мкФ.

"Токовые" лампы категорически не рекомендуются использовать при более высоком напряжении, поскольку из-за ограничения мощности рассеяния на аноде они не смогут полностью реализовать свои токовые возможности.

Цоколевки упомянутых здесь телевизионных "токовых" и некоторых усилительных ламп приведены на **рис. 1**.

В качестве иллюстрации к использованию трансформаторов серии ТН в двухтактных ламповых УМЗЧ ниже представлено три различных варианта схемных решений. Хотя все эти устройства могут быть выполнены как вполне работоспособные моноблоки, их не надо рассматривать как законченные конструкции. Рабочие макеты этих усилителей — прекрасные инструменты для дальнейших экспериментов радиолюбителей и инженеров-разработчиков. Главная цель статьи — показать многообразие схемных решений и широкие возможности использования унифицированных сетевых трансформаторов.

Принципиальная схема первого варианта УМЗЧ с унифицированными трансформаторами серий ТН и ТАН показана на **рис. 2**.

Схема классическая и в подробном описании не нуждается. В качестве предварительного усилителя и фазоинвертора использован дифференциальный каскад, в котором один из входов соединен с общим проводом. Ток анода каждого триода — 1,45 мА. Коэффици-

Лампы	Выходной трансформатор	Сетевой трансформатор	$P_{вых}$ Вт	$R_{ант}$ Ом	$E_{ант}$ В	$I_{ант}$ мА	$-E_{с1}$ В	$R_{с1}$ Ом	$R_{с2}$ Ом
6Ф3П	ТН33, 36	ТАН2, 14, 28, 42	9	5000	220	2×32	16	470	220
6Ф5П	ТН36, 39	ТАН2, 14, 28, 42	14	4050	220	2×42	16	750	180
6П18П	ТН36, 39	ТАН4, 17, 31, 45	9	5600	200	2×60	11	1500	75
6П43П	ТН36, 39	ТАН4, 17, 31, 45	15	3333	200	2×60	16	1500	130

ент усиления каскада от входа до каждого из двух выходов — 25. Лампы выходного каскада работают с автоматическим смещением в режиме класса АВ; баланс тока в плечах устанавливают за счет небольшого ($\pm 1,5$ В) изменения сеточного смещения. Чувствительность усилителя при максимальной выходной мощности — 0,45 В (эфф.).

Блок питания выполнен на трансформаторе серии ТАН с мостовым полупроводниковым выпрямителем и П-образным LC-фильтром. Для низковольтных "токовых" ламп использование в выпрямителе полупроводниковых диодов вместо кенотронов предпочтительнее. Для моноблока пригодны трансформаторы ТАН2, ТАН14, а для двухканального усилителя — ТАН28, ТАН42.

Поскольку и предварительный и выходной каскады по схеме симметричны (парафазны), отпадает необходимость в положительном смещении цепи накала относительно катода для уменьшения фона. Однако при желании еще более уменьшить фон такое смещение можно организовать, включив между резистором R18 и точкой соединения элементов R7, C2 дополнительный резистор сопротивлением 300 кОм и мощностью 0,5 Вт. Образованный делитель напряжения придаст цепи накала ламп потенциал около +52 В. Таким образом, паразитные диоды между подогревателями и катодами, через которые переменная составляющая тока

фона попадает в катодную цепь лампы, будут закрыты в предварительном каскаде смещением -32 В, а в выходном — -36 В.

Параметры усилителя по этой схеме приведены в первых двух строчках **табл. 4**.

При замене ламп 6Ф3П на 6Ф5П следует иметь в виду различие в цоколевке этих ламп и соединении обмоток выходного трансформатора. Надо заметить, что оставшиеся не подключенными обмотки 7-8 и 9-10 могут оказаться полезными для оптимального согласования выхода УМЗЧ с головками СЧ и ВЧ, нередко отличающимися по сопротивлению и мощности, а также для четырехпроводного подключения головок двух- или трехполосного громкоговорителя.

ЛИТЕРАТУРА

1. **Комаров С.** Ламповые УМЗЧ с трансформаторами ТАН. — Радио, 2005, № 5, с. 16—20.
2. **Сидоров И. Н.** и др. Малогабаритные трансформаторы и дроссели. — М.: Радио и связь, 1985.
3. <<http://www.radiostation.ru/home/usilitel-tanapp.html>>.

(Окончание следует)

Редактор — А. Соколов,
графика — автор, Ю. Андреев

ПО СЛЕДАМ НАШИХ ПУБЛИКАЦИЙ

Способ подсчета числа витков

В. ЗАХАРОВ,
г. Днепропетровск, Украина

Для подсчета числа витков катушек индуктивности, обмоток трансформаторов на намоточном станке удобно пользоваться карманным калькулятором по методике, предложенной в заметке М. Губанова "Микрокалькулятор — счетчик витков" в "Радио", 2001, № 10, с. 57.

Однако, если возникает необходимость изменить вращение катушки для сматывания части витков, подсчет нарушится. Поэтому предлагаю перед выполнением такой операции нажать на кнопки "-" и "1" микрокалькулятора. После этого можно вращать бал станка в обратную сторону.

Редактор — Б. Иванов

Синтезатор частоты для УКВ радиоприемника

М. ОЗОЛИН, с. Красный Яр Томской обл.

Детали и конструкция

Синтезатор собран на печатной плате из односторонне фольгированного стеклотекстолита, а блок управления —

ментов И—НЕ как КМОП, так и ТТЛ серий. Однако в случае применения на месте DD5 других микросхем нужно будет изменить трассировку платы. Микросхему LM358 можно заменить на КР1040УД1 (полный аналог). Вместо интегрального стабилизатора КР142ЕН5А можно применить его импортный аналог 7805. Вместо КТ3102А можно применить транзисторы серий КТ315, КТ316, КТ325, КТ368, КТ3102. А вместо КТ363АМ — КТ326, КТ363, КТ3127, КТ3128. Замена КТ368А — КТ316, КТ325, КТ368, КТ399. Диоды серий КД503, КД509, КД522. Все транзисторы и диоды — с любыми буквенными индексами. Резисторы ВС-0,125 или МЛТ-0,125. Конденсаторы С1, С2, С5, С11, С12, С14 — КД-1; С13 — КТ4-24; С17 — К50-35, остальные — КМ. Дроссель L2 — ДПМ-0,1 индуктивностью 10...100 мкГн. В крайнем случае его можно заменить перемычкой. Катушка L1 — бескаркасная. Она намотана на оправке диаметром 5 мм проводом ПЭЛ 0,8 и содержит 4 витка. Варикап KB121A (применяется в селекторах ТВ каналов СКМ-24) заменять другим не рекомендуется, так как с ним генератор имеет наиболее линейную вольт-частотную характеристику в диапазоне 98,5—119 МГц.

К561IE14. Однако их выводы 9 должны быть подключены к шине +5 В. Транзисторы в этом блоке — любые малоомощные структуры п-р-п с коэффициентом передачи тока не менее 150 и обратным током коллектора не более 10 мкА. Резисторы МЛТ-0,125 или ВС-0,125, конденсаторы С3 и С5 — любые оксидные, остальные — КМ.

Налаживание

При исправных деталях и отсутствии ошибок в монтаже в налаживании нуждается только блок синтезатора (см. рис. 1). Начинают с установки (подборкой резистора R14) напряжения +2,5 В на коллекторе транзистора VT3. Далее к выходу устройства (к правому по схеме выводу конденсатора С16) подключают цифровой частотомер с верхней границей измерения не менее 120 МГц, а к выходу (выв. 1) ОУ DA2 — вольтметр постоянного тока. Конденсатор С13 устанавливают в положение, соответствующее средней емкости. Если генератор не возбуждается, проверяют исправность транзистора VT2 и режим его работы. Сжатием или растягиванием витков катушки L1 устанавливают частоту 98,5 МГц. При этом постоянное напряжение на выходе DA2 должно быть в пределах 0,5...1 В. Если напряжение больше, его корректируют подстройкой конденсатора С13. Далее осуществляют сканирование вверх до максимального значения частоты ГУН (119 МГц). При этом напряжение на выходе ОУ должно быть около 10,5 В. В случае необходимости его корректируют подборкой конденсатора С13. Затем нажимают на кнопку SB1 блока управления. Частотомер должен показать 98,5 МГц, а вольтметр — на выходе ОУ — не более 1 В. При необходимости напряжения на выходе ОУ устанавливают в пределах 0,5...0,9 В сжатием витков катушки L1. На этом налаживание можно считать законченным. Синтезатор готов к работе.

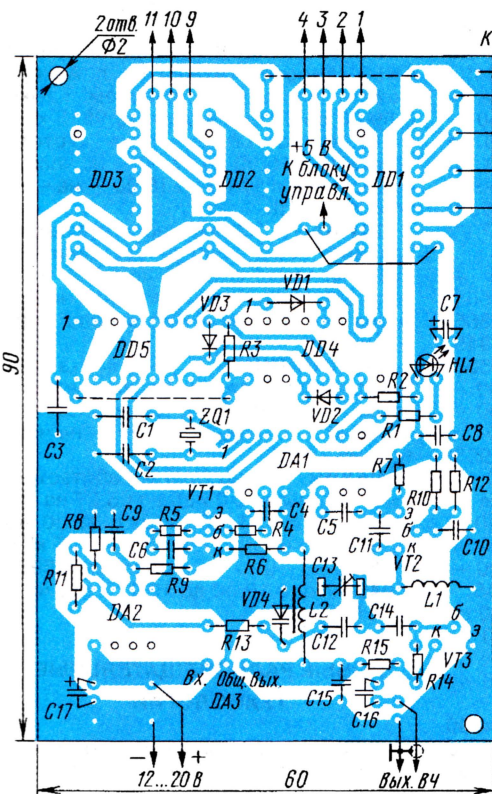


Рис. 3

из двустороннего. Трассировка платы и расположение деталей на плате синтезатора показаны на рис. 3. Трассировка платы блока управления и расположение деталей показаны на рис. 4.

В синтезаторе (см. рис. 1) вместо регистров КР1533ИР9 можно применить аналогичные регистры серий К555, КР1564, а также их импортные аналоги 74LS165N, 74ALS165, 74AC165, 74HC165. Вместо счетчика К561IE16 можно применить КР1561IE20, CD4020, на месте DD5 — любую микросхему, содержащую не менее трех логических эле-

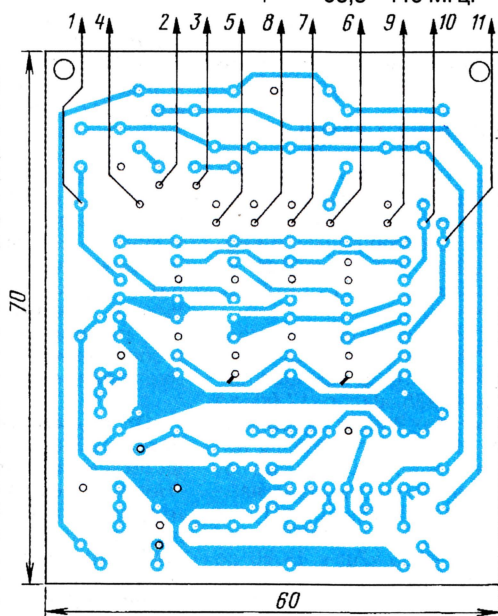
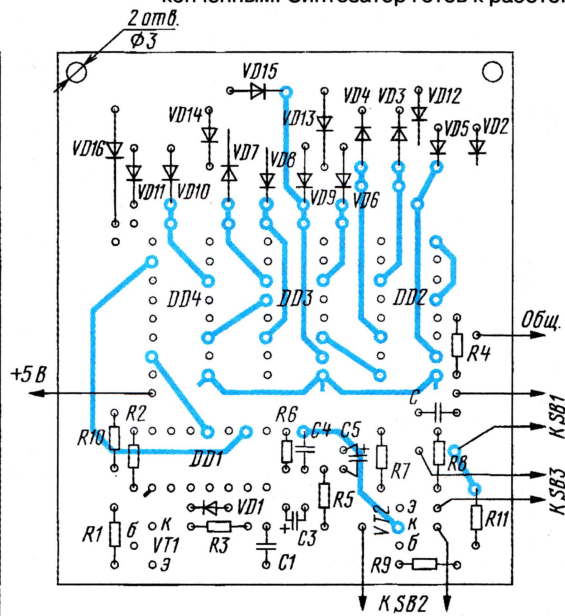


Рис. 4

В блоке управления (см. рис. 2) микросхемы К561IE11 можно заменить на



Окончание.

Начало см. в "Радио", 2005, № 11

Редактор — В. Поляков, графика — Ю. Андреев

Раздел ведет сотрудник радиокompании "Голос России"
П. МИХАЙЛОВ (RV3ACC), г. Москва

РОССИЯ

МОСКВА. Стало известно частотное расписание вещания Всемирной Русской службы радиокompании "Голос России" на зимний период 2005—2006 гг. (указаны время передач и частота в килогерцах).

Для стран Европы: с 02.00 до 03.00 — 603, 936; с 03.00 до 04.00 — 936; с 13.00 до 14.00 — 936, 972, 999, 1431, 1548; с 14.00 до 15.00 — 558, 5810; с 17.00 до 18.00 — 603, 630, 693, 9480*; с 18.00 до 19.00 — 603, 630, 693, 7390; с 21.00 до 22.00 — 1215.

Для Москвы и Московского региона: с 20.00 до 21.00 — 612.

Для стран Балтии: с 20.00 до 21.00 — 7390.

Для Ближнего и Среднего Востока: с 02.00 до 03.00 — 648, 972, 1503, 5995; с 13.00 до 14.00 — 1143; с 14.00 до 15.00 — 7315; с 16.00 до 17.00 — 1251, 1314, 7305, 7315; с 18.00 до 19.00 — 5985; с 20.00 до 21.00 — 6170, 7445; с 21.00 до 22.00 — 7445.

Для Австралии, Новой Зеландии и акватории Тихого океана: с 13.00 до 15.00 — 9770.

Для Северной Америки: с 02.00 до 03.00 — 7150, 7240, 7350, 12010, 13665; с 03.00 до 04.00 — 7150, 7240, 12010, 13665.

Для Латинской Америки: с 02.00 до 03.00 — 6195, 7260; с 03.00 до 04.00 — 7260, 7330.

Для стран Юго-Восточной Азии: с 13.00 до 14.00 — 7260, 9495, 9770, 9885, 15460*, 17570**; с 14.00 до 15.00 — 6205, 7260, 9495, 9770, 9885, 11500, 15460*, 17570**; с 16.00 до 17.00 — 9885.

Для стран Азии (включая Дальний Восток): с 13.00 до 14.00 — 1143, 5920, 6145, 9770, 9885, 15460*; с 14.00 до 15.00 — 5995, 7220, 7315, 9770, 9885, 11500, 12055, 15460*, 17570**; с 16.00 до 17.00 — 1251, 7315, 9885.

Для Кавказа и Закавказья: с 21.00 до 24.00 — 7445.

Для Украины и Молдавии: с 02.00 до 04.00 — 936; с 13.00 до 14.00 — 936, 972, 999, 1431, 1548.

Для Центральной Азии: с 02.00 до 03.00 — 648, 972, 1503; с 13.00 до 14.00 — 1143, 15460*, 17570**; с 14.00 до 15.00 — 1251, 15460*, 17570**; с 16.00 до 17.00 — 1251.

ПРОГРАММА ДЛЯ ЛЮБИТЕЛЕЙ ДАЛЬНОГО РАДИОПРИЕМА "Клуб DX" на волнах Всемирной Русской службы "Голоса России" в текущем сезоне передается по воскресеньям в 21.40, по понедельникам — в 02.40, по средам — в 13.40.

*) По 4 марта 2005 г. **) С 5 марта 2005 г.

***) Кроме среды и четверга.

Время всюду — UTC.

МОСКВА. Радиовещательная служба "Голоса России" "СОДРУЖЕСТВО" (вещание на русском языке для бывших союзных республик и некоторых стран Европы) в наступившем сезоне работает:

— **для Белоруссии** — с 03.00 до 04.00, с 09.00 до 10.00, с 11.00 до 16.00 — 1170; с 15.00 до 0.00 — 5940;

— **для Украины и Молдавии** — с 03.00 до 04.00 и с 13.00 до 14.00 — 1170; с 09.00 до 10.00 и с 11.00 до 13.00 — 936, 972, 1170; с 10.00 до 11.00 — 936, 972; с 14.00 до 16.00 — 936, 972, 999, 1170, 1431, 1548; с 16.00 до 17.00 — 936, 1431; с 17.00 до 18.00 — 936;

— **для Центральной Азии** — с 03.00 до 04.00 — 648, 972, 1503; с 13.00 до 14.00 — 1503, 6185, 7365; с 14.00 до 15.00 — 1143, 1503, 5945, 6185, 7365; с 15.00 до 16.00 — 1503, 5995, 6185, 7365; с 16.00 до 17.00 — 1503, 5995, 6185; с 17.00 до 18.00 — 972, 1026, 1503, 5995; с 18.00 до 19.00 — 648, 972, 1026, 1503, 5995; с 19.00 до 20.00 — 648, 1026, 1503;

— **для Кавказа и Закавказья** — с 03.00 до 04.00 и с 22.00 до 23.00 — 1089, 1314; с 05.00 до 07.00 и с 16.00 до 17.00 — 1089; с 15.00 до 18.00 — 1377, 7445; с 18.00 до 20.00 — 7445;

— **для стран Балтии** — с 03.00 до 04.00, с 09.00 до 10.00 и с 11.00 до 16.00 — 1170; с 10.00 до 14.00 — 612; с 15.00 до 20.00 — 5940; с 19.00 до 20.00 — 1494;

— **для Европы** — с 03.00 до 04.00 и с 22.00 до 23.00 — 603; с 03.00 до 04.00, с 09.00 до 10.00 и с 11.00 до 16.00 — 1170; с 14.00 до 16.00 — 1548; с 19.00 до 20.00 — 1494; с 22.00 до 23.00 — 630, 693, 1323***;

— **для Москвы и Московского региона** — с 22.00 до 23.00 — 612.

ЗАРУБЕЖНЫЕ СТРАНЫ

ВЕНГРИЯ. "Радио Будапешт" на русском языке работает в текущем вещательном сезоне только на частотах 3975 и 6025 кГц с 04.00 до 04.28 ежедневно; с 16.30 до 16.58 и с 20.30 до 20.58 по воскресеньям; с 18.00 до 18.28, кроме воскресений.

КАНАДА. "Международное Канадское радио" ("RCI") вещает на русском языке с 16.00 до 16.29 на частотах 5840, 9555 и 11935 кГц; с 17.00 до 17.29 — на частотах 9555 и 11935 кГц.

ПОЛЬША. "Радио Полония" в наступившем сезоне вещает по следующему расписанию: на русском языке — с 12.00 до 12.25 на частотах 6180, 7285 кГц; с 14.00 до 14.29 — на частотах 7275 и 6035 кГц; с 15.30 до 15.55 — на частоте 7180; с 19.00 до 19.29 — на частоте 6095 кГц; с 20.00 до 20.55 — на частотах 6200 и 7180 кГц; на белорусском языке — с 14.30 до 15.30 — на частотах 7180 и 6035 кГц; с 17.30 до 17.59 — на час-

тоте 6050 кГц; на украинском языке — с 15.30 до 15.59 на частоте 6000 кГц; с 19.30 до 19.59 — на частотах 7210 и 6095 кГц. "Радио Полония" вещает также на польском, английском, немецком и испанском языках.

СЛОВАКИЯ. "Radio Slovakia International" — "Голос Словакии" вещает в текущем сезоне на русском языке с 14.00 до 14.30 на частотах 9440 и 11990 кГц; с 16.00 до 16.30 — на частотах 5915 и 6055 кГц; с 18.30 до 19.00 — на частотах 5915 и 9485 кГц.

США, АЛЯСКА. Радиостанция KNLS ("Новая Жизнь") из г. Анкор-Пойнта вещает на русском языке с 09.00 до 10.00 на частоте 9615 кГц; с 11.00 до 12.00 — на частоте 9655 кГц; с 15.00 до 17.00 — на частоте 9655 кГц; с 17.00 до 18.00 — на частоте 7355 кГц.

ТАЙВАНЬ. "Международное радио Тайваня" использует для вещания на русском языке с 17.00 до 18.00 частоту 6060 кГц (ретрансляцию ведут через передатчик в Вертахале, Германия).

ФИЛИППИНЫ. Радиостанция "Veritas Asia" передает на русском языке с 01.30 до 02.27 на частоте 17830 кГц; с 15.00 до 16.00 — на частоте 9570 кГц.

ЧЕХИЯ. "Радио Прага" работает на русском языке: с 05.00 до 05.27 на частотах 6055 и 11600 кГц; с 12.30 до 12.57 — на частотах 6055 и 21745 кГц; с 15.30 до 15.57 — на частотах 5930 и 9450 кГц; с 19.00 до 19.27 — на частоте 5830 кГц.

НОВЫЕ РАДИОВЕЩАТЕЛЬНЫЕ ТЕХНОЛОГИИ

РОССИЯ. "Дорожное Радио" вещает в г. Санкт-Петербурге и девяти населенных пунктах Ленинградской области, а также в городах Пскове и Валдае (Новгородская обл.) на частоте 102,2 МГц. Следующий шаг — г. Рязань (частота 101,5 МГц) плюс еще четыре пункта Рязанской области, а также г. Ярославль (н. п. Дубки) — все на частоте 103,8 МГц. В перспективе — Карелия и новые ретрансляторы в Новгородской и Псковской областях. Во время движения автомобиля система RDS перестраивает приемник на ближайший ретранслятор автоматически, не отвлекая водителя. Помимо оперативной дорожной информации, кратких новостей и сообщений о погоде, станция передает приятную музыку.

От редакции. Мы просим наших читателей сообщить нам, какую информацию вы хотите видеть в разделе "Новости эфира". Свои предложения направляйте в редакцию журнала "Радио" по адресу: 107045, Москва, Селиверстов пер., д. 10, стр. 1 или по электронной почте на адрес журнала: <mail@radio.ru>.

Хорошего приема и 73!

Редактор — В. Поляков

Оценка эквивалентного последовательного сопротивления конденсатора

И. НЕЧАЕВ, г. Курск

При наличии осциллографа с помощью описываемого в статье устройства несложно определить активную составляющую полного сопротивления конденсатора. Этот параметр важен при использовании конденсаторов большой емкости в зарядно-разрядных цепях с большими токами, а также в ряде других случаев.

При изготовлении блоков питания, аудиоаппаратуры и других узлов РЭА широко применяют оксидные конденсаторы большой емкости (100 мкФ и более). Чаще всего они предназначены для сглаживания пульсаций питающего напряжения, разделения постоянной и переменной составляющих и т. д. Способность конденсатора выполнять указанные выше функции определяется не только его емкостью, но и эквивалентным последовательным активным сопротивлением (ЭПС или в англоязычной терминологии ESR — equivalent series resistance). Чем меньше ЭПС и больше емкость, тем лучше конденсатор выполняет свои функции. Это сопротивление характеризует способность конденсатора быстро отдавать накопленный заряд.

В справочниках такой параметр приводится для некоторых типов конденсаторов. Для других указывают полное со-

противление на частоте 10 или 100 кГц. В частности, для конденсаторов К50-38 большой емкости (1000...10000 мкФ) ЭПС обычно находится в интервале 0,05...0,1 Ом; при меньшей емкости полное сопротивление несколько больше — 0,15...0,8 Ом. Поэтому при измерении активной составляющей полного сопротивления следует ориентироваться на этот интервал значений.

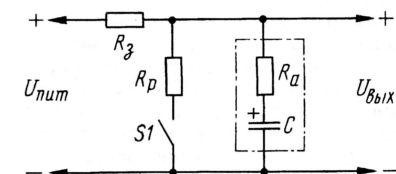


Рис. 1

противление на частоте 10 или 100 кГц. В частности, для конденсаторов К50-38 большой емкости (1000...10000 мкФ) ЭПС обычно находится в интервале 0,05...0,1 Ом; при меньшей емкости полное сопротивление несколько больше — 0,15...0,8 Ом. Поэтому при измерении активной составляющей полного сопротивления следует ориентироваться на этот интервал значений.

Для определения активной составляющей полного сопротивления (далее просто сопротивления) в указанном интервале можно использовать описываемое здесь устройство с осциллографом. Принцип его работы поясняет рис. 1. Он основан на периодической, относительно медленной зарядке конденсатора, обладающего емкостью C и сопротивлением R_a , через резистор

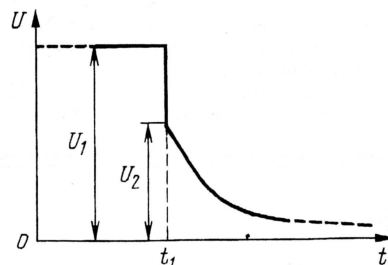


Рис. 2

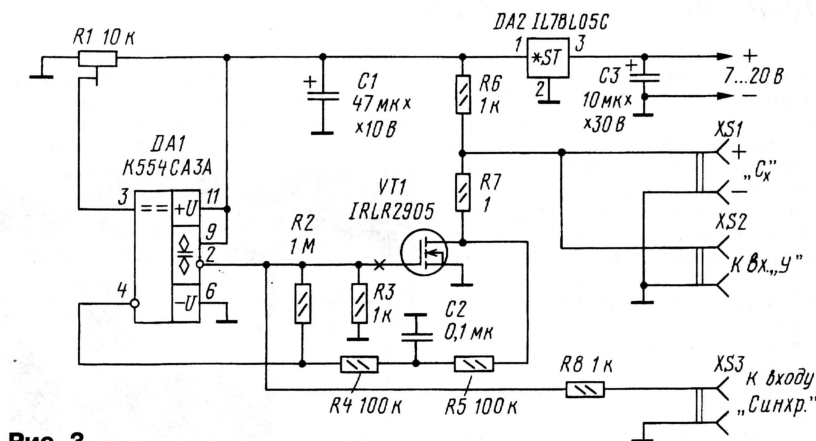


Рис. 3

ключ замыкается. Наличие у конденсатора сопротивления приводит к тому, что в этот момент выходное напряжение резко уменьшается до U_2 , а потом начинается плавная разрядка конденсатора. Именно по глубине "просадки" напряжения и можно определить значение этого сопротивления:

$$R_a = (U_1/U_2 - 1)R_p.$$

Принципиальная электрическая схема устройства показана на рис. 3. В него входят компаратор напряжения на микросхеме DA1, стабилизатор напряжения на транзисторе VT1. Питание устройства — от любого источника напряжением

7...20 В. К гнездам XS1 подключают контролируемый конденсатор, к гнездам XS2 — вход "Y" осциллографа, а к гнездам XS3, при необходимости, — вход синхронизации.

После подключения конденсатора начинается его зарядка через резистор R6. Одновременно нарастающее напряжение на конденсаторе через цепь R7R5C2R4 поступает на один из входов компаратора, а на второй — подается образцовое напряжение с движка подстроечного резистора R1. Выходное напряжение компаратора будет близким к нулю, поэтому транзистор закрыт. Когда напряжения на входах компаратора сравняются, он переключится, на затворе транзистора появится напряжение, достаточное для открывания. Конденсатор будет быстро разряжаться через канал полевого транзистора и резистор R7, а напряжение на нем — уменьшаться. Компаратор при этом переключится, транзистор закроется и опять начнется зарядка конденсатора. За этим процессом наблюдают с помощью осциллографа и определяют значения U_1 и U_2 .

Для упрощения определения значения U_2 в устройство введены небольшая временная задержка переключения компаратора, которая образуется интегрирующей цепью R5C2, и гистерезис за счет включения резистора R2. Чтобы добиться устойчивого изображения процесса на экране осциллографа, можно использовать синхросигнал (с выхода компаратора), который через резистор R8 подают на вход синхронизации осциллографа.

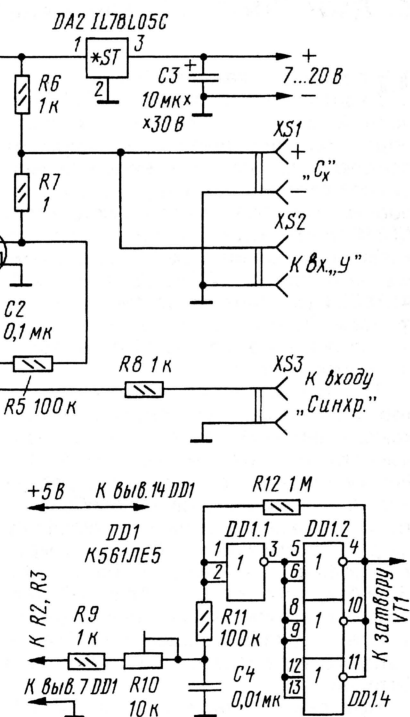


Рис. 4

Для того чтобы более четко наблюдать начало процесса разрядки, в устройство полезно ввести формирователь управляющего импульса с временной

выход и поддерживая на входе SCE индикатора высокий уровень напряжения, запрещающий прием команд.

Обособности конструкции ЭК видны на рис. 4 (увеличено). Все используемые детали — для поверхностного монтажа. Они размещены на печатной плате из тонкого односторонне фольгированного стеклотекстолита. Исключение — резисторы R3—R6, находящиеся рядом с выводами индикатора слева от динамической головки телефона на вставке из двухсторонне фольгированного стеклотекстолита. Она введена между выводами индикатора и соответствующими контактными площадками на плате телефона. Идентичные им по размерам и расположению площадки вырезаны или вытравлены из фольги на обеих сторонах вставки. Площадки 1 и 6—9 (нумерация согласно выводам индикатора) на одной стороне вставки соединены с такими же на другой ее стороне непосредственно, а площадки 2—5 — через резисторы.

Есть и другой вариант — припаять провода к контактам индикатора и к контактными площадкам на плате телефона, предварительно отделив выводы 2—5 от контактных площадок прокладкой из тонкого изоляционного материала. При пайке соблюдайте особую осторожность, чтобы не повредить телефон.

Все необходимые соединения с элементами телефона выполнены проводом ПЭЛШО (одножильный в эмалированной шелковой изоляции) диаметром 0,18 мм, причем провода, идущие к индикатору и кнопкам, для надежности припаяны непосредственно к выводам микроконтроллера DD1. Контакты разъема X1 изготовлены из упругой посеребренной бронзы или латуни и припаяны к печатным проводникам. FLASH-карту прижимает к контактам аккумуляторная батарея телефона.

В корпусе телефона пропилено окно для FLASH-карты и печатной платы. Чтобы плата уместилась под аккумуляторной батареей, по контуру корпуса микроконтроллера в плате вырезано окно, в котором и размещена эта микросхема с отогнутыми соответствующим образом выводами. При установленных в телефон плате ЭК и FLASH-карте батарея должна входить в защелку без излишних усилий. Возможно, ее корпус придется подпилить надфилем.

Подключаясь к кнопкам телефона, припайвайте провода к их внешним кольцевым контактам. В этом случае нажатие на кнопку микроконтроллер DD1 воспримет как соединение соответствующего вывода с общим проводом. При необходимости вместо кнопок "*", "#", "2" и "3" можно использовать и другие, имеющиеся на клавиатуре телефона. Выбирая их, нужно лишь позаботиться о том, чтобы нажатия на эти кнопки во время чтения ЭК не приводили к нежелательному изменению состояния самого телефона.

Собрать ЭК можно и без сотового телефона, используя лишь его индикатор и подключив к микроконтроллеру DD1 любые подходящие кнопки вместо телефонных. Кроме того, придется соединить вывод RES индикатора с одним

из свободных выводов микроконтроллера и дополнить его программу процедурой инициализации индикатора. Она заключается в подаче на вход RES импульса установки в исходное состояние (низкого уровня) и передаче последовательности команд 21H, 90H, 20H и 0CH.

Работа с ЭК

При включении телефона на микроконтроллер DD1 поступает напряжение питания. Выполнив инициализацию карты памяти, микроконтроллер переходит в дежурный режим, в котором телефоном можно пользоваться как обычно — звонить, принимать звонки, заряжать аккумуляторную батарею. Чтобы привести ЭК в действие, необходимо нажать на кнопку "*" и затем, не отпуская ее, нажать на кнопку "#". Удерживайте нажатыми обе кнопки до появления на экране индикатора заставки, после чего одновременно отпустите их. Такая процедура практически полностью исключает возможность запустить ЭК случайно.

Получив команду активизации, микроконтроллер DD1 инициализирует микросхему DS1, выводит карту памяти из спящего режима, перехватывает управление индикатором телефона и открывает файл, на котором было прервано чтение в предыдущем сеансе. Нужная для этого информация находится в EEPROM микроконтроллера и, следовательно, сохраняется и при выключенном питании.

Для перемещения по тексту и пунктам меню служат кнопки "2" и "3". Нажатием на первую из них перемещаются по тексту вперед на один экран. Нажатием на вторую — назад на один блок памяти (приблизительно шесть экранов). Кнопкой "*" вызывают меню и перебирают его пункты. Выходят из меню нажатием на кнопку "#", с ее же помощью ЭК выключают.

В главном меню четыре пункта:

Файлы — вывод на индикатор перечня текстовых файлов, имеющихся в карте памяти.

Перейт — переход на любую из трех ранее сделанных "закладок". Они хранятся в EEPROM микроконтроллера и содержат информацию о файле и о позиции в его тексте. Так что переход возможен и за пределы файла, читаемого в данный момент. В этом пункте меню есть подпункт **Проц**, выбор которого дает возможность перемещаться по читаемому файлу с шагом в 10 % его объема. Подпункт предназначен для файлов объемом более 500 Кбайт, с файлами меньшего размера он иногда работает некорректно.

Сохран — запись в "закладку" информации о читаемом файле и позиции в нем.

Настр — управление выводом текста на экран. Здесь имеется несколько подпунктов. **Авт-пр** — включение и выключение автопросмотра текста (листания вперед без нажатий на кнопки). **Скор-т** — установка скорости смены экранов при автопросмотре (выдержку между сменами можно изменять от 0,5 с до приблизительно 5 с).

Инверт — включение и выключение негативного изображения. **Обрбтк** — включение и выключение предвари-

тельной обработки текста (устранения разрывов слов, удаления лишних пробелов).

Так как процессоры ЭК и собственно телефона работают независимо, следует избегать их конфликта, не пользуясь телефоном по прямому назначению во время чтения текста. Чтобы избежать случайностей, рекомендую переводить телефон на это время в режим блокировки клавиатуры. Если во время чтения поступит входящий звонок, немедленно нажимите на кнопку "#". Это не приведет к ответу на вызов или отказу от него, а лишь выключит ЭК. На экране телефона появится обычная информация о звонящем.

Эту задачу можно было бы возложить на микроконтроллер DD1, подключив один из его свободных выводов через резистор к вибровозвонку телефона и немного изменив программу, но автору это показалось лишним.

Если внешнего освещения недостаточно для комфортного чтения, можно снять блокировку клавиатуры телефона и, не пользуясь функцией автопросмотра, "листать" текст, нажатиями на кнопку "2". Первым нажатием будет включена предусмотренная в телефоне подсветка индикатора, а каждое последующее продлит ее действие на время, достаточное, чтобы, не торопясь, прочитать выведенный на экран текст. Но не увлекайтесь. Постоянно включенная подсветка быстро разрядит аккумуляторную батарею телефона.

Подготовка FLASH-карты

Чтобы занести на FLASH-карту текстовые файлы, необходимы компьютер и адаптер, с помощью которого карту подключают к порту LPT компьютера. Схема адаптера — на рис. 5. Он получает питание от линий DATA5—DATA8 порта компьютера. Конденсатор HL1 сглаживает пульсации. Светодиод CL1 включен, когда карта активна (на ее входе CS установлен низкий уровень). Усилитель на транзисторах VT2 и VT3 служит для передачи информации из карты в компьютер. Делители напряжения на резисторах R3—R6, R8, R11 согласуют уровни сигналов, передаваемых из компьютера в карту.

Внешний вид адаптера показан на рис. 6. Его монтаж — навесной на контактах вилки X1. Указанные на схеме диоды и транзисторы можно заменить любыми другими маломощными кремниевыми (транзисторы — соответствующей структуры). Разъем X2 изготовлен из трех слоев стеклотекстолита. К нижнему, фольгированному слою припаяны контакты от малогабаритного реле.

Для обмена информацией между FLASH-картой и компьютером разработан программа MMC, представляющая собой упрощенный файловый менеджер. Она позволяет записывать файлы в карту, читать файлы из карты и форматировать карту, удаляя из нее всю информацию.

Доступ к порту LPT производится с помощью драйвера LPTwdmIO, аналогичного использованному в [6]. При работе под ОС Windows 9X/ME этот драйвер необходимо установить вручную: запустить **Мастер Установки Оборудо-**

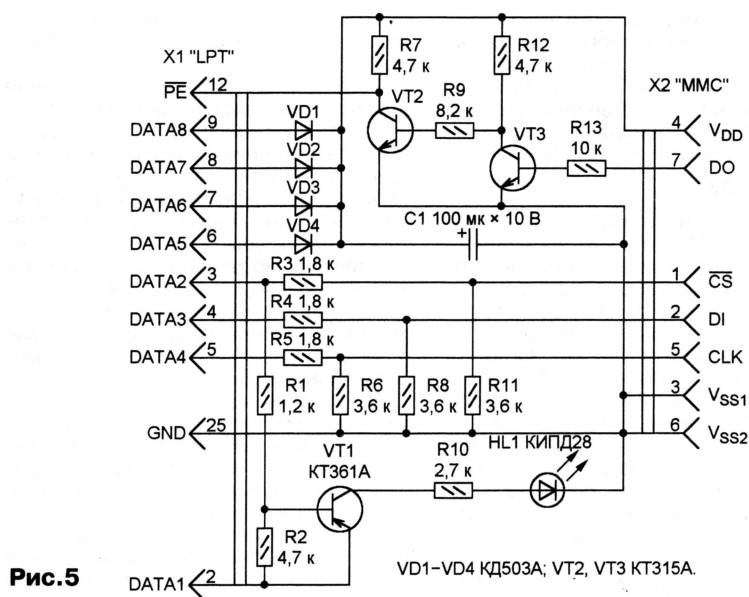


Рис. 5

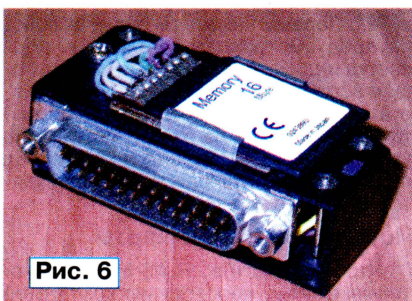


Рис. 6

вания, выбрать в списке **Другие Устройства** и указать папку, в которой находятся файлы lptwdmio.sys и lptwdmio.inf, после чего перезагрузить компьютер. При запуске программы под ОС Windows

При запуске программы MMC будет открыто окно, изображенное на рис. 7. В нем иконками обозначены файлы, уже находящиеся в карте памяти, а иконками — те, что только подготовлены к записи. Показаны имя (до восьми символов) и объем в байтах каждого файла. В строке статуса выведены сведения об имени порта, к которому подключен адаптер, объеме свободной памяти карты и ее общем объеме, числе файлов.

Имя порта (LPT1 или LPT2) можно указать с помощью пункта меню **Опции—Порт**, а с помощью пункта **Опции—Память** задать информационную емкость карты (16, 32 или 64 Мбайт). При выборе пункта меню **Опции—Сохранить** эти параметры будут записаны в файл

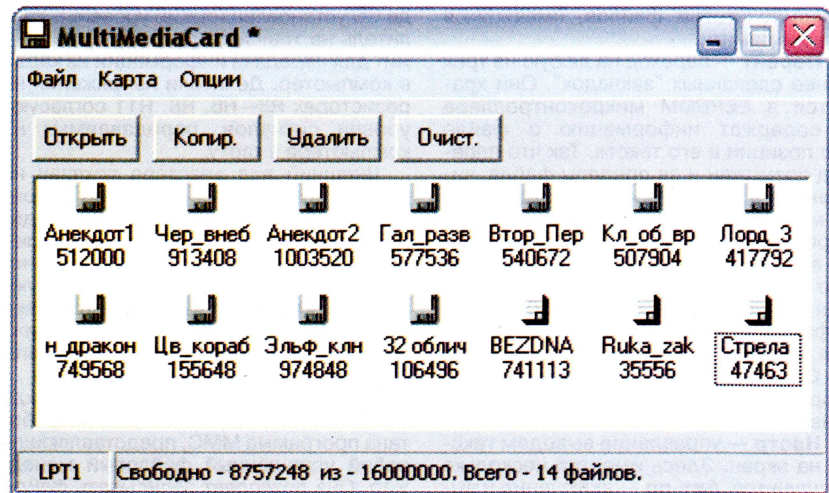


Рис. 7

2000/XP драйвер должен установиться автоматически. Если этого не произошло, придется установить его вручную, после чего он начнет работу без перезагрузки компьютера. Файл lptwdmio.sys должен находиться в одной папке с исполняемым файлом программы.

Windows\temp\MMC_temp.txt. При запуске программа ищет этот файл и читает из него номер порта и размер памяти. Если файл не найден, программа создаст его с параметрами по умолчанию.

Предназначенный для записи в карту текстовый файл заносят в отображае-

мый в окне список с помощью пункта меню **Файл—Открыть**. Текст должен быть записан в кодировке ANSI (кодировка страницы 1251). Программа копирует его в буфер, где создается образ FLASH-карты. Буфер необходим, чтобы избежать многократной перезаписи одних и тех же блоков памяти карты. Ее ресурс хоть и велик, но все-таки ограничен.

Занеся в список все нужные файлы и удалив из него ненужные, можно перенести созданный образ в карту. Это делают с помощью пункта меню **Карта—Запись**. Воспользовавшись пунктом **Файл—Сохранить**, можно скопировать выбранный файл из FLASH-карты в компьютер.

ЛИТЕРАТУРА

5. Долгий А. Микросхемы памяти с интерфейсом I²C. Особенности и применение. — Радио, 2001, № 2, с. 24—26; № 3, с. 25, 26.
6. Вакуленко А. Программа LPTtest. — Радио, 2004, № 8, с. 23, 24.

От редакции. Программа MMC находится на нашем FTP-сервере по адресу <ftp://ftp.radio.ru/pub/2005/12/MMC.zip>.

Редактор — А. Долгий, графика — А. Долгий, иллюстрации — автора

Программатор FLASH-памяти 28F256A

В. МЕЛЬНИК, г. Днепродзержинск, Украина

Предлагаемое устройство разработано как приставка к компьютеру на базе микропроцессора серии Z80, однако его с успехом можно подключить и к порту LPT обычного персонального компьютера.

Имеющийся у автора компьютер "SCHNEIDER CPC464" с процессором Z80A, ОЗУ объемом 64 Кбайт и встроенным кассетным лентопрограммным механизмом имеет разъем расширения, предназначенный для соединения с дисководом и другими дополнительными внешними устройствами. Именно к этому разъему было решено подключить адаптер программирования микросхем FLASH-памяти 28F256A, собранный по схеме, изображенной на рис. 1. У контактов разъема XS2 адаптера указаны в скобках номера выводов программируемой микросхемы в корпусе PLCC-32.

На микросхемах DD1, DD2, DD4, DD5 собран дешифратор адреса и сигналов управления. Для упрощения устройства анализируется состояние не всей шины адреса, выведенной на разъем расширения, а только линий A0, A1, A5 и A7. В данном случае этого достаточно для исключения ложной дешифрации. Сигналы с выходов элементов DD5.2—DD5.4 разрешают соответственно работу программируемой микросхемы (CE), запись в нее (WE) и чтение (OE). На выходе элемента DD4.4 формируется импульс записи в регистр DD3 информации, выведенной компьютером

на шину данных разъема расширения. Импульс с выхода элемента DD1.3 управляет перезаписью информации из регистра DD3 в регистр DD6.

Запись-чтение состояния шины данных программируемой микросхемы выполняется при обращении программы соответственно к порту вывода или ввода по адресу 0F8F8H. Текущий адрес ячейки памяти программа заносит в регистры DD3 (младший байт) и DD6 (старший байт). Для записи в регистр DD3 достаточно обратиться к порту вывода по адресу 0F8F9H. В регистр DD6 информацию заносят в два приема: сначала ее записывают в регистр DD3, а затем, обратившись к порту по адресу 0F8FAH, переносят в регистр DD6. Имеется возможность совместить операции переноса старого содержимого регистра DD3 в регистр DD6 с новой записью

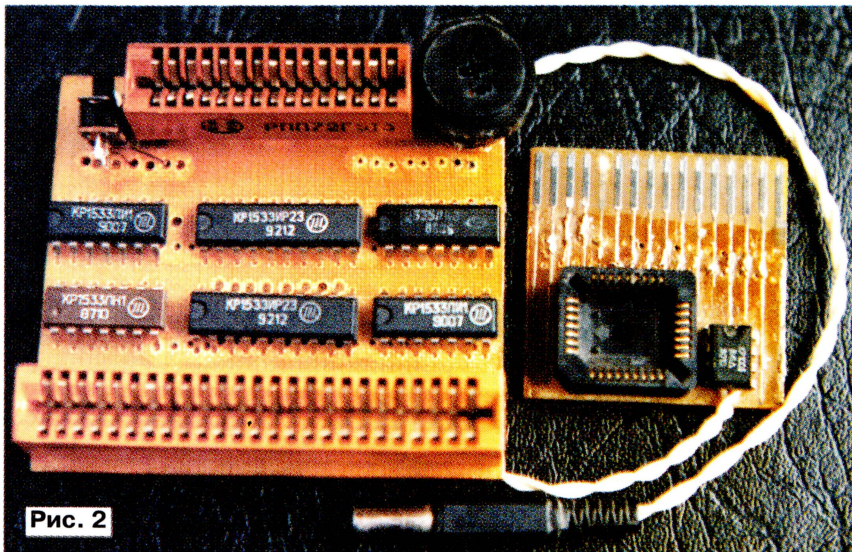


Рис. 2

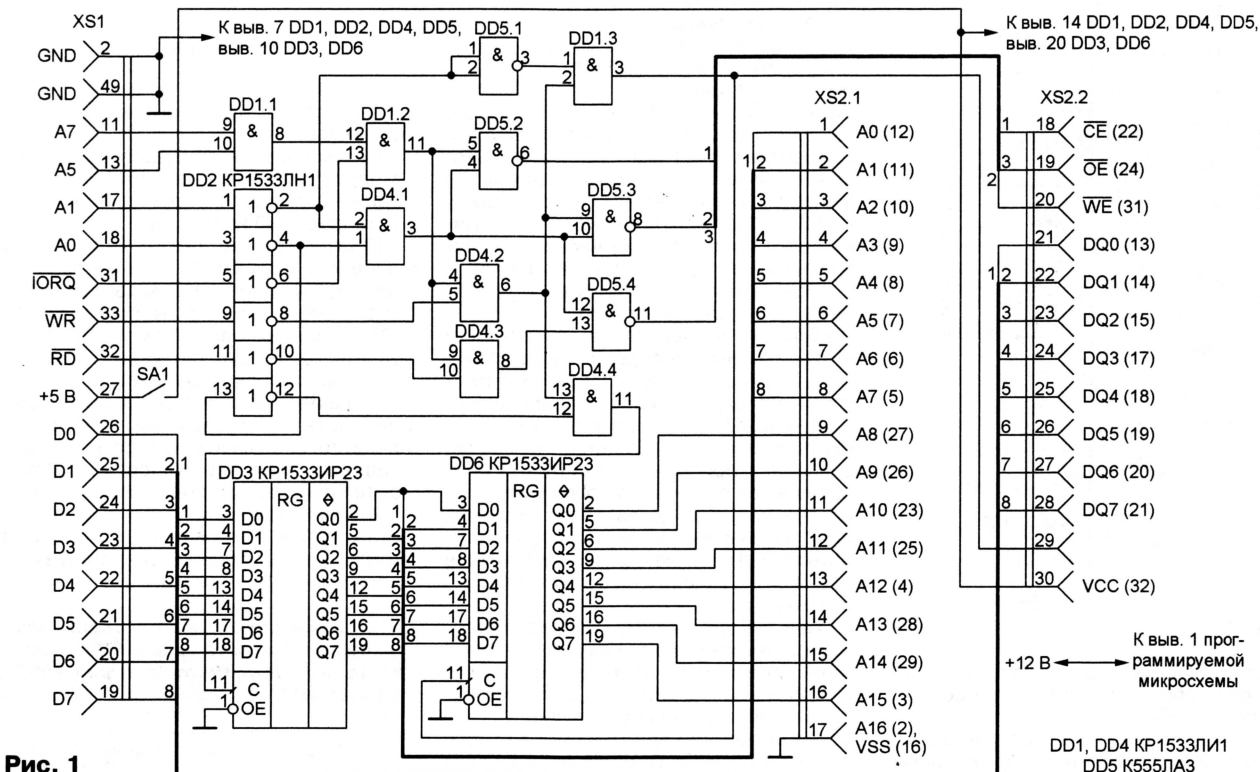


Рис. 1

1 REM ПРОГРАММА ДЛЯ Z80A
 10 MEMORY 9000
 20 CLS
 30 PRINT "1 - СТИРАНИЕ"
 40 PRINT "2 - ПРОГРАММИРОВАНИЕ"
 50 PRINT "3 - ЧТЕНИЕ"
 60 INPUT "ВВЕДИТЕ ЦИФРУ ПОДПРОГРАММЫ"; L: ON L GOTO 70, 200, 350
 70 REM СТИРАНИЕ
 80 OUT &F8F9,0:OUT &F8FB,0
 90 OUT &F8F8,&20:OUT &F8FB,&20
 100 FOR W = 1 TO 10: NEXT W: REM ЗАДЕРЖКА 10 МС
 110 FOR S = 0 TO 127: REM СТАРШАЯ ЧАСТЬ АДРЕСА СТИРАНИЯ FLASH
 120 FOR M = 0 TO 255: REM МОЛАДШАЯ ЧАСТЬ АДРЕСА СТИРАНИЯ FLASH
 130 OUT &F8F9,(S):OUT &F8FB,(M):OUT &F8F8,&A0:Z=INP(&F8F8)
 140 IF Z = 255 GOTO 170
 150 PRINT "АДРЕС &"; : PRINT HEX\$(S); : PRINT " "; : PRINT HEX\$(M)
 160 PRINT "ДАННЫЕ В ЯЧЕЙКЕ &"; : PRINT HEX\$(Z): STOP
 170 NEXT M
 180 NEXT S
 190 OUT &F8F9,0:OUT &F8FB,0:GOTO 20
 200 REM ПРОГРАММИРОВАНИЕ
 210 N = 10000: N1 = N: REM НАЧАЛЬНЫЙ АДРЕС РС
 220 FOR S = 0 TO 127: REM СТАРШАЯ ЧАСТЬ АДРЕСА ЗАПИСИ ВО FLASH
 230 FOR M = 0 TO 255: REM МОЛАДШАЯ ЧАСТЬ АДРЕСА ЗАПИСИ ВО FLASH
 240 OUT &F8F8,&40:OUT &F8F9,(S):OUT &F8FB,(M)
 250 P=PEEK(N1):OUT &F8F8,(P)
 260 OUT &F8F8,&C0:P1=INP(&F8F8):
 270 IF P1 = P GOTO 310
 280 PRINT "АДРЕС &"; : PRINT HEX\$(S); : PRINT " "; : PRINT HEX\$(M)
 290 PRINT "ДАННЫЕ ДЛЯ ЗАПИСИ &"; : PRINT HEX\$(P)
 300 PRINT "ДАННЫЕ В ЯЧЕЙКЕ &"; : PRINT HEX\$(P1): : STOP
 310 N1 = N1 + 1
 320 NEXT M
 330 NEXT S
 340 OUT &F8F9,0:OUT &F8FB,0:GOTO 20
 350 REM ЧТЕНИЕ
 360 A = 10000: A1 = A: REM НАЧАЛЬНЫЙ АДРЕС РС
 370 FOR S = 0 TO 127: REM СТАРШАЯ ЧАСТЬ АДРЕСА ЧТЕНИЯ ИЗ FLASH
 380 FOR M = 0 TO 255: REM МОЛАДШАЯ ЧАСТЬ АДРЕСА ЧТЕНИЯ ИЗ FLASH
 390 OUT &F8F9,(S):OUT &F8FB,(M)
 400 Z=INP(&F8F8)
 410 POKE (A1), (Z)
 420 A1 = A1 + 1
 430 NEXT M
 440 NEXT S
 450 OUT &F8F9,0:OUT &F8FB,0:GOTO 20

Таблица 1

1 REM ПРОГРАММА ДЛЯ IBM PC
 10 R1 = &H378: R2 = R1 + 2
 20 CLS
 30 PRINT "1 - СТИРАНИЕ"
 40 PRINT "2 - ПРОГРАММИРОВАНИЕ"
 50 PRINT "3 - ЧТЕНИЕ"
 60 INPUT "ВВЕДИТЕ ЦИФРУ "; L: ON L GOTO 70, 250, 450
 70 REM СТИРАНИЕ
 80 OUT R2, 4: OUT R1, 0: OUT R2, 1: OUT R2, 5: OUT R2, 0: OUT R2, 4
 90 OUT R2, 7: OUT R2, 3: OUT R1, &H20: OUT R2, 7: OUT R2, 4
 100 OUT R2, 7: OUT R2, 3: OUT R1, &H20: OUT R2, 7: OUT R2, 4
 110 FOR W = 1 TO 22700: NEXT W: REM ЗАДЕРЖКА 10 МС
 120 FOR S = 0 TO 127: REM СТАРШАЯ ЧАСТЬ АДРЕСА СТИРАНИЯ FLASH
 130 FOR M = 0 TO 255: REM МОЛАДШАЯ ЧАСТЬ АДРЕСА СТИРАНИЯ FLASH
 140 OUT R1, S: OUT R2, 1: OUT R2, 5: OUT R1, M: OUT R2, 0
 150 OUT R2, 4: OUT R2, 7: OUT R2, 3: OUT R1, &H40: OUT R2, 7: OUT R2, 4
 160 FOR W = 1 TO 23: NEXT W: REM ЗАДЕРЖКА 10 МКС
 170 OUT R1, &HFF: OUT R2, 7: OUT R2, &HF: Z = INP(R1): OUT R2, 4
 180 IF Z = 255 GOTO 210
 190 PRINT "АДРЕС &"; : PRINT HEX\$(S); : PRINT " "; : PRINT HEX\$(M)
 200 PRINT "ДАННЫЕ В ЯЧЕЙКЕ &"; : PRINT HEX\$(Z): STOP
 210 NEXT M
 220 NEXT S
 230 OUT R2, 4: OUT R1, 0: OUT R2, 1: OUT R2, 5: OUT R2, 0: OUT R2, 4
 240 GOTO 20
 250 REM ПРОГРАММИРОВАНИЕ
 260 N = 30000: N1 = N: REM НАЧАЛЬНЫЙ АДРЕС ПАМЯТИ РС
 270 FOR S = 0 TO 127: REM СТАРШАЯ ЧАСТЬ АДРЕСА ЗАПИСИ ВО FLASH
 280 FOR M = 0 TO 255: REM МОЛАДШАЯ ЧАСТЬ АДРЕСА ЗАПИСИ ВО FLASH
 290 OUT R2, 7: OUT R2, 3: OUT R1, &H40: OUT R2, 7: OUT R2, 4
 300 OUT R1, S: OUT R2, 1: OUT R2, 5: OUT R1, M: OUT R2, 0: OUT R2, 4
 310 P = PEEK(N1): OUT R2, 7: OUT R2, 3: OUT R1, P: OUT R2, 7: OUT R2, 4
 320 FOR W = 1 TO 23: NEXT W: REM ЗАДЕРЖКА 10 МКС
 330 OUT R2, 7: OUT R2, 3: OUT R1, &H0: OUT R2, 7: OUT R2, 4
 340 FOR W = 1 TO 23: NEXT W: REM ЗАДЕРЖКА 10 МКС
 350 OUT R1, FF: OUT R2, 7: OUT R2, &HF: P1 = INP(R1): OUT R2, 4
 360 IF P1 = P GOTO 400
 370 PRINT "АДРЕС &"; : PRINT HEX\$(S); : PRINT " "; : PRINT HEX\$(M)
 380 PRINT "ДАННЫЕ ДЛЯ ЗАПИСИ &"; : PRINT HEX\$(P)
 390 PRINT "ДАННЫЕ В ЯЧЕЙКЕ &"; : PRINT HEX\$(P1): STOP
 400 N1 = N1 + 1
 410 NEXT M
 420 NEXT S
 430 OUT R2, 4: OUT R1, 0: OUT R2, 1: OUT R2, 5: OUT R2, 0: OUT R2, 4
 440 GOTO 20
 450 REM ЧТЕНИЕ
 460 A = 30000: A1 = A: REM НАЧАЛЬНЫЙ АДРЕС РС ДЛЯ ЧТЕНИЯ ИЗ FLASH 32К
 470 FOR S = 0 TO 127: REM СТАРШАЯ ЧАСТЬ АДРЕСА ЧТЕНИЯ ИЗ FLASH
 480 FOR M = 0 TO 255: REM МОЛАДШАЯ ЧАСТЬ АДРЕСА ЧТЕНИЯ ИЗ FLASH
 490 OUT R1, (S): OUT R2, 1: OUT R2, 5: OUT R1, (M): OUT R2, 0: OUT R2, 4
 500 OUT R1, &HFF: OUT R2, 7: OUT R2, &HF: Z = INP(R1): OUT R2, 4
 510 POKE A1, Z
 520 A1 = A1 + 1
 530 NEXT M
 540 NEXT S
 550 OUT R2, 4: OUT R1, 0: OUT R2, 1: OUT R2, 5: OUT R2, 0: OUT R2, 4
 560 GOTO 20

Таблица 2

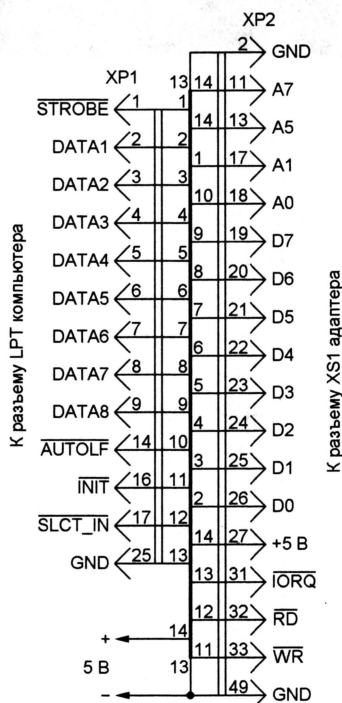


Рис. 3

в регистр DD3. Для этого программе достаточно обратиться к порту вывода по адресу 0F8FBH.

Изготовленный адаптер изображен на рис. 2. Рядом с ним находится пере-

ходная плата с панелью для программируемой микросхемы. Выводы установленной рядом с панелью микросхемы служат лишь опорными стойками для проводов питания. Монтаж адаптера — навесной, выполнен эмалированными проводами диаметром 0,51 мм, проложенными кратчайшим путем. После проверки монтаж залит бесцветным лаком. Розетки XS1 и XS2 изготовлены из подходящих разъемов с другим числом контактов путем их обрезания и склеивания.

Программа управления программированием для компьютера CPC464 (табл. 1) написана на встроенной в этот компьютер версии языка BASIC. Предназначенную для загрузки в программируемую микросхему информацию необходимо предварительно занести в буфер, начинающийся с ячейки, значение адреса которой (10000) присваивается переменной N в строке 210 программы. Перед началом стирания или программирования необходимо подать на FLASH-микросхему напряжение +12 В, а по завершении этих операций выключить его.

При выборе режима "Чтение" содержимое памяти запрограммированной (или подлежащей программированию) микросхемы переносится в буфер, начинающийся с адреса, значение которого присвоено переменной A в строке 360 программы. В рассматриваемом

случае адреса буферов записи и чтения одинаковы.

Чтобы подключить адаптер к разъему порта LPT компьютера IBM PC, необходимо изготовить переходник по схеме, показанной на рис. 3.

Программа для второго компьютера приведена в табл. 2. Для ее запуска подойдут интерпретаторы языка BASIC, входившие в комплекты поставки MS DOS и ранних версий Windows. Программа несколько сложнее предыдущей, так как некоторые действия, выполнявшиеся аппаратно, пришлось реализовать программным способом. Кроме того, в связи с излишне высокой в данной ситуации скоростью работы компьютера пришлось ввести программные задержки, чтобы обеспечить достаточные интервалы времени для завершения внутренних операций в микросхеме FLASH-памяти.

От редакции. Упомянутые в статье программы находятся на нашем FTP-сервере по адресу <ftp://ftp.radio.ru/pub/2005/12/flash.zip>.

Редактор — А. Долгий, графика — А. Долгий, фото — автора

("Радио", 2005, № 3, с. 42)

В 2003 г. в нашем журнале было опубликовано описание инверторного источника сварочного тока (ИИСТ) RytmArc фирмы Castolin Eutectic [1]. В марте 2005 г. оно было дополнено чертежами печатной платы блока управления ИИСТ [2], разработанной радиолюбителем из г. Волгодонска Ростовской обл. А. Мокосеевым. К тому времени выяснилось, что повторение источника затруднено дефицитностью одного из главных компонентов — ШИ контроллера TDA4718A фирмы Siemens (Infineon).

Ю. ЗАПОЛЬНОВА из г. Полярные Зори Мурманской обл., **Н. САВЧЕНКО** и **А. ДЕРЕВЯНКО** из ст. Канеловская Краснодарского края и **В. ВОЛОДИНА** из г. Одесса, Украина поощрительными денежными призами (по 1000 руб.) и опубликовать схемы и краткие описания вариантов замены.

Позиционные обозначения "старых" элементов соответствуют приведенным в [1] на рис. 13, если не оговорено иное. Будьте внимательны, номиналы некоторых из них изменены. ШИ контроллер везде обозначен DA5. Нумерация вновь

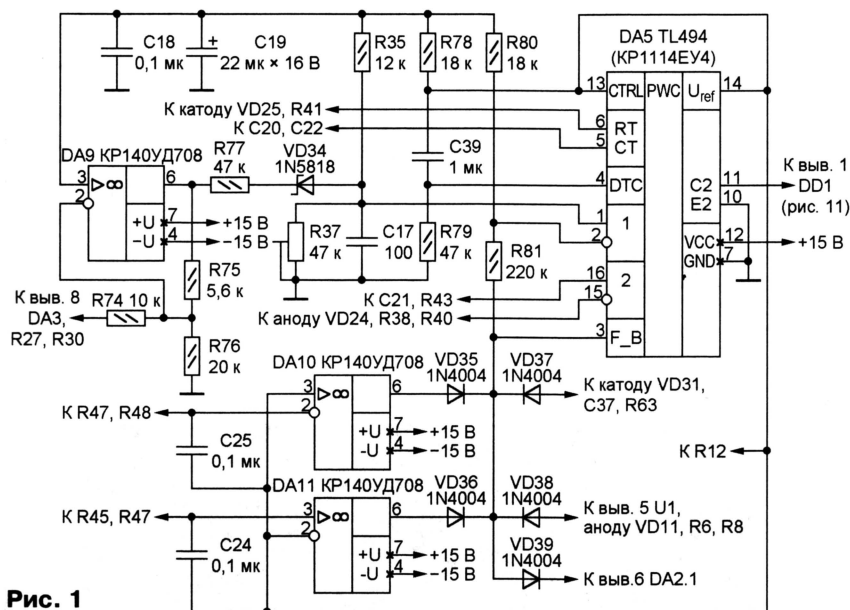


Рис. 1

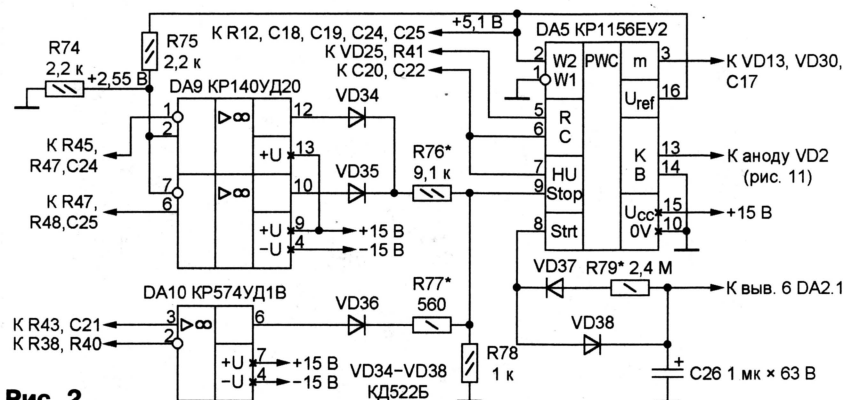


Рис. 2

По этой причине одновременно с публикацией печатной платы редакция объявила мини-конкурс на лучшую замену контроллера более распространенным.

Рассмотрев поступившие материалы, жюри конкурса решило наградить

введенных элементов продолжает имеющуюся, начинаясь с DA9 (микросхемы), VT5 (транзистор), VD34 (диоды), R74 (резисторы), С39 (конденсаторы).

На ШИ контроллере KP1114EY4, в котором есть большинство узлов, имеющих в TDA4718A, остановил свой вы-

бор Ю. Запольнов. Принцип работы этого контроллера и его зарубежного прототипа TL494 был неоднократно описан как на страницах журнала "Радио" [3], так и в других изданиях. Предложенная схема замены изображена на **рис. 1**.

Переключением контроллера в двухтактный режим при использовании только одного выхода коэффициент заполнения выходных импульсов ограничен допустимым для однотактного инвертора максимальным значением 0,5. Управляющий длительностью генерируемых импульсов сигнал обратной связи пришлось проинвертировать с помощью ОУ DA9, а сигналы динамического ограничения тока подать на входы второго компаратора контроллера (выв. 15 и 16), срабатывание которого приводит к немедленному закрыванию открытого в данный момент выходного транзистора.

К блокировке ШИ контроллера приводит и подача напряжения высокого логического уровня на его выв. 35. Через развязывающие диоды VD35—VD38 сюда подключены несколько источников сигналов контроля и защиты. В их числе — узел контроля сетевого напряжения на ОУ DA10 и DA11, заменяющий внутренние компараторы контроллера TDA4718A.

Особого внимания заслуживает узел, уменьшающий частоту инвертора при снижении сварочного тока. Источником сигнала, управляющего частотой, служит, как и прежде, ОУ DA4.1, выход которого через стабилитрон VD23, резистор R39 (его номинал увеличен до 82...91 к) и диод VD25 соединен с выв. 6 контроллера DA5.

После предлагаемой переделки логика работы узла сигнализации, вход которого через диод VD39 подключен к выв. 3 контроллера, отличается от исходной. Светодиод HL1 выключен на холостом ходу ИИСТ, а во время сварки — включен. Включение светодиода на холостом ходу свидетельствует о срабатывании одной из блокировок.

Необходимо отметить, что в исходном варианте узел ограничения выходной мощности (на элементах U1, VD11—VD13, VT2, R8—R10, C9—C11) имеет порог срабатывания, определяемый напряжением стабилизации стабилитрона VD12. Теперь явно выраженный порог отсутствует, в результате чего в систему регулирования, по существу, лишь вносятся дополнительная отрицательная обратная связь по напряжению, делающая нагрузочную характеристику источника более жесткой. Это явление нельзя признать благоприятным для ручной сварки. Еще один недостаток — сниженный приблизительно в четыре раза коэффициент усиления в основной петле обратной связи, следствием чего может быть заметное уменьшение стабильности сварочного тока.

Много усилий на создание собственного сварочного аппарата на основе ИИСТ затратили за последние годы *Н. Савченко* и *А. Деревянко*. Хотя он существует пока только в виде действующего макета, им удалось разработать показанный на **рис. 2** вполне работоспособный узел, заменяющий ШИ контроллер TDA4718A отечественным KP1156EY2 [4, 5].

При подаче на выв. 3 этого контроллера положительного напряжения 2,45...4,1 В коэффициент заполнения выходных импульсов изменяется от минимального (вплоть до отсутствия импульсов) до максимального, не превышающего 0,425. Минимальный коэффициент заполнения регулируют подстроечным резистором R37.

Чтобы устранить различия в значении образцового напряжения (2,5 В на выв. 10 TDA4718A и 5,1 В на выв. 16 KP1156EY2), введен резистивный делитель R74R75. Это позволило оставить прежними номиналы значительного числа резисторов.

Подача дополнительного тока в цепь выв. 5 контроллера KP1156EY2, уменьшая частоту повторения выходных импульсов, в отличие от прототипа, оставляет неизменным их коэффициент заполнения, а не длительность. При чрезмерном снижении частоты импульсы могут стать слишком длинными, что приведет к насыщению магнитопровода трансформатора ТЗ ([1], рис. 1) и неконтролируемому росту тока транзисторов VT1 и VT2 (там же). По этой причине резистор R39 и стабилитрон VD23 нужно тщательно подбирать.

Если рассчитать дроссель L1 ([1], рис. 1) на минимальный сварочный ток 5, а не 30 А (как в исходном промышленном приборе), от регулировки рабочей частоты инвертора можно отказаться, удалив узел на ОУ DA4.1 и на связанных с ним элементах.

Цепь плавного пуска инвертора переработана с учетом различий в работе заменяемого и заменяющего контроллеров. Конденсатор C26 заряжается приблизительно до 5,1 В — образцового напряжения, формируемого контроллером. Нужной продолжительности процесса пуска инвертора добиваются подборкой резистора R79.

Выходной каскад микросхемы KP1156EY2 значительно мощнее имеющегося в TDA4718A и может без дополнительного усиления управлять коммутирующими транзисторами инвертора. Поэтому микросхема DD1 ([1], рис. 11) из устройства исключена, а выход контроллера соединен непосредственно с концом обмотки I трансформатора Т1 и анодом диода VD2 (там же).

Два ОУ микросхемы DA9 образуют двухпороговый компаратор узла контроля сетевого напряжения. Необходимо подобрать резистор R76 так, чтобы при срабатывании компаратора (высоком уровне в точке соединения катодов диодов VD34 и VD35 с резистором R76) напряжение на выв. 9 контроллера превысило 1,4 В.

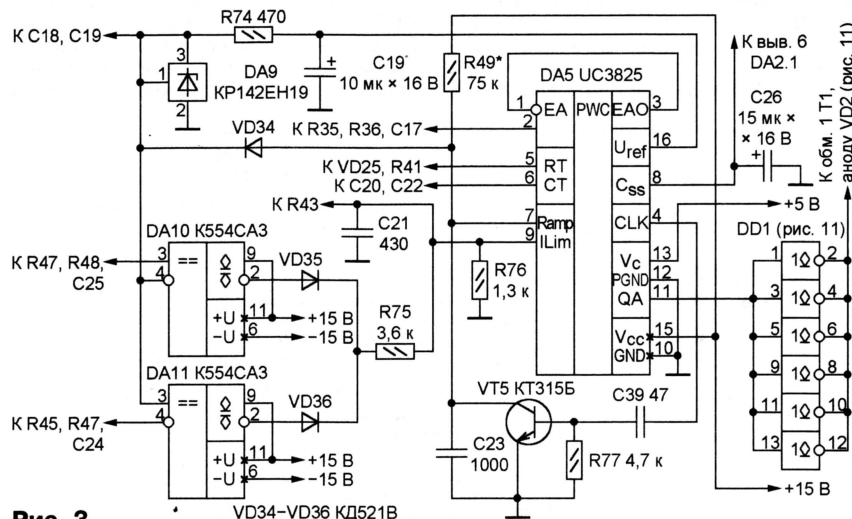
Компаратор DA10 служит для организации динамической токовой защиты и должен иметь максимальное быстродействие. С указанным на схеме ОУ KP574UD1B удалось добиться задержки срабатывания менее 600 нс. Резистор R77 выбирают таким, чтобы при высоком уровне напряжения в точке соединения этого резистора с катодом диода VD36 напряжение на выв. 9 контроллера было больше 1, но меньше 1,4 В.

Принял участие в конкурсе и автор исходной статьи [1] В. Володин. Первое его предложение — заменить ШИ кон-

TDA4718A	TDA4714C	TDA4716C
1	14	16
2	8	8
3	9	9
4	10	12
5	—	—
6	—	—
7	11	13
8	12	14
9	13	15
10	1	1
11	2	2
12	4	4
13	3	3
14	—	—
15	5	5
16	6	6
17	—	—
18	7	7

троллер TDA4718A одним из его упрощенных вариантов TDA4714C или TDA4716C [6], выпускаемых той же фирмой. В отличие от "старшего брата", они не имеют входа внешней синхронизации, которая в данном случае и не требуется. Нет в этих контроллерах и компаратора контроля понижения напряжения. Недостаток легко исправить, подключив к входу OV контроллера внешний сдвоенный компаратор подобно тому, как это сделано в рассмотренных схемах. В таблице приведено соответствие выводов контроллеров TDA4714C, TDA4716C и TDA4718A, причем выводы 10 и 11 контроллера TDA4716C необходимо соединить.

Второе предложение В. Володина — еще один вариант замены контроллера



TDA4718A на UC3825 (прототип отечественного KP1156EY2, примененного в предыдущей разработке). Основное внимание при разработке схемы, показанной на рис. 3, уделено сохранению неизменной длительности генерируемых импульсов при снижении их частоты подачей смещения на выв. 5 контроллера.

Проблема решена с помощью узла на транзисторе VT5. При закрытом транзисторе конденсатор C23 заряжается через резистор R49. Тактовый импульс, снимаемый с выв. 4 контроллера, открывает транзистор, что приводит к быстрой разрядке конденсатора. Так как скорость нарастания пилообразного напряжения на выв. 7 контроллера, поступающего на его ШИ модулятор, не зависит от частоты повторения выходных импульсов, от нее не зависят и их длительность. Процессы, происходящие в устройстве, иллюстрируют изображенные на рис. 4 осциллограммы сигналов на различных выводах ШИ контроллера, снятые при двух значениях частоты повторения импульсов. Увеличенная до 7 В амплитуда импульсов на выв. 11 контроллера объясняется тем, что именно таким было напряжение на его выв. 13 во время эксперимента. В действующем ИИСТ сюда подано напряжение 5 В, используемое для питания логических микросхем. Это позволило непосредственно соединить выход контроллера со входами микросхемы DD1 ([1], рис. 11). Все шесть элементов этой микросхемы теперь включены параллельно.

Формируемое контроллером UC3825 образцовое напряжение 5,1 В понижено до 2,5 В (как у контроллера TDA4718A) с помощью параллельного стабилизатора DA9. Компараторы DA10 и DA11 работают в узле контроля сетевого напряжения. В случае его выхода за допустимые пределы на выв. 9 контроллера DA5 будет установлено напряжение более 1,4 В, что приведет к блокировке работы ИИСТ. После нормализации сетевого напряжения произойдет "мягкое" включение. Емкость конденсатора C26 увеличена, чтобы сохранить прежней продолжительность процесса включения.

ЛИТЕРАТУРА

1. **Володин В.** Инверторный источник сварочного тока. Опыт ремонта и расчет электромагнитных элементов. — Радио, 2003, № 8, с. 36—38; № 9, с. 32—34; № 10, с. 29—32.
2. Возвращаясь к напечатанному (В. Володин. Инверторный источник сварочного тока). — Радио, 2005, № 3, с. 42, 43.
3. **Александров Р.** Схемотехника блоков питания персональных компьютеров. — Радио, 2002, № 5, с. 21—23; № 6, с. 22, 23; № 8, с. 23, 24.
4. **Егоров С.** Широотно-импульсные контроллеры серий KP1156EY2 и KP1156EY3 — Радио, 2003, № 6, с. 47—50.
5. Схемы ШИМ контроллеров 1156EY2, 1156EY3. — <<http://www.sitsemi.ru/kat/1156eu23.zip>>.
6. Микросхемы для импульсных источников питания и их применение. Справочник. — М.: Додэка-XXI, 2001, с. 239—246.

Редактор — А. Долгий, графика — А. Долгий

Импульсный стабилизированный блок питания мощностью 1 кВт

И. КОРОТКОВ, п. Буча Киевской области, Украина

Для питания мощных УМЗЧ необходимы источники, удовлетворяющие жестким требованиям: они должны не только вырабатывать стабильное напряжение и обеспечивать необходимый ток нагрузки, но и защищать нагрузку, чтобы предотвратить выход из строя дорогостоящих оконечных каскадов. Всем этим требованиям удовлетворяет предлагаемый блок питания.

Для конструкторов усилителей в последние годы открылись новые возможности. Появились полевые транзисторы с изолированным затвором, позволяющие собирать усилители класса D мощностью более 1 кВт. Для питания таких усилителей необходимы соответствующие источники. В литературе не часто можно встретить схему импульсного источника питания мощностью более 500 Вт. Одно из таких устройств, заслуживающих внимания, описано в [1]. Однако его выходное напряжение не стабилизировано. Предлагаемый блок питания вырабатывает стабилизированное напряжение на выходе.

Основные технические характеристики

Мощность, отдаваемая в нагрузку, Вт1000
Выходное напряжение, В2×50
Максимальный ток нагрузки, А10
Ток срабатывания защиты, А14
Частота преобразования, кГц50

Схема импульсного блока питания (ИБП) показана на рисунке. Основа устройства — ШИ контроллер TL494CN. Эта микросхема, подробно описанная в [2, 3], хорошо себя зарекомендовала в ИБП компьютеров.

Конденсатор C3 обеспечивает плавный запуск преобразователя. После отключения питания этот конденсатор быстро разряжается через резистор R1, коллекторный переход транзистора VT2 и диод VD3. Перед каждым включением ИБП конденсатор C3 должен быть разряжен.

На транзисторах VT1 и VT2 собран узел триггерной защиты от перегрузки, в случае срабатывания которого на базе транзистора VT1 появляется открывающее напряжение. Одновременно открывается и транзистор VT2, который шунтирует конденсатор C3 и тем самым блокирует преобразователь. Напряжение на коллекторе транзистора VT2 через цепь положительной обратной связи R3VD2 удерживает в открытом состоянии транзистор VT1. Возврат триггерной защиты в исходное состояние происходит только после отключения и повторного включения напряжения питания.

Коммутирующие транзисторы VT9, VT10 — мощные полевые с довольно большой емкостью затвор—исток. Для управления этими транзисторами

применены два усилителя на транзисторах VT3, VT4, VT7 и VT5, VT6, VT8. Рассмотрим работу одного из них. Когда на выводе 8 микросхемы DA2 высокий уровень, открыты транзисторы VT3 и VT4. Последний шунтирует емкость затвор—исток транзистора VT9, быстро разряжая ее. Транзистор VT7 закрыт. Как только на выводе 8 микросхемы появится низкий уровень, транзисторы VT3 и VT4 закроются, а VT7 откроется и подает на затвор транзистора VT9 открывающее напряжение. Резистор R16 предотвращает выход из строя транзисторов VT4 и VT7 от сквозного тока.

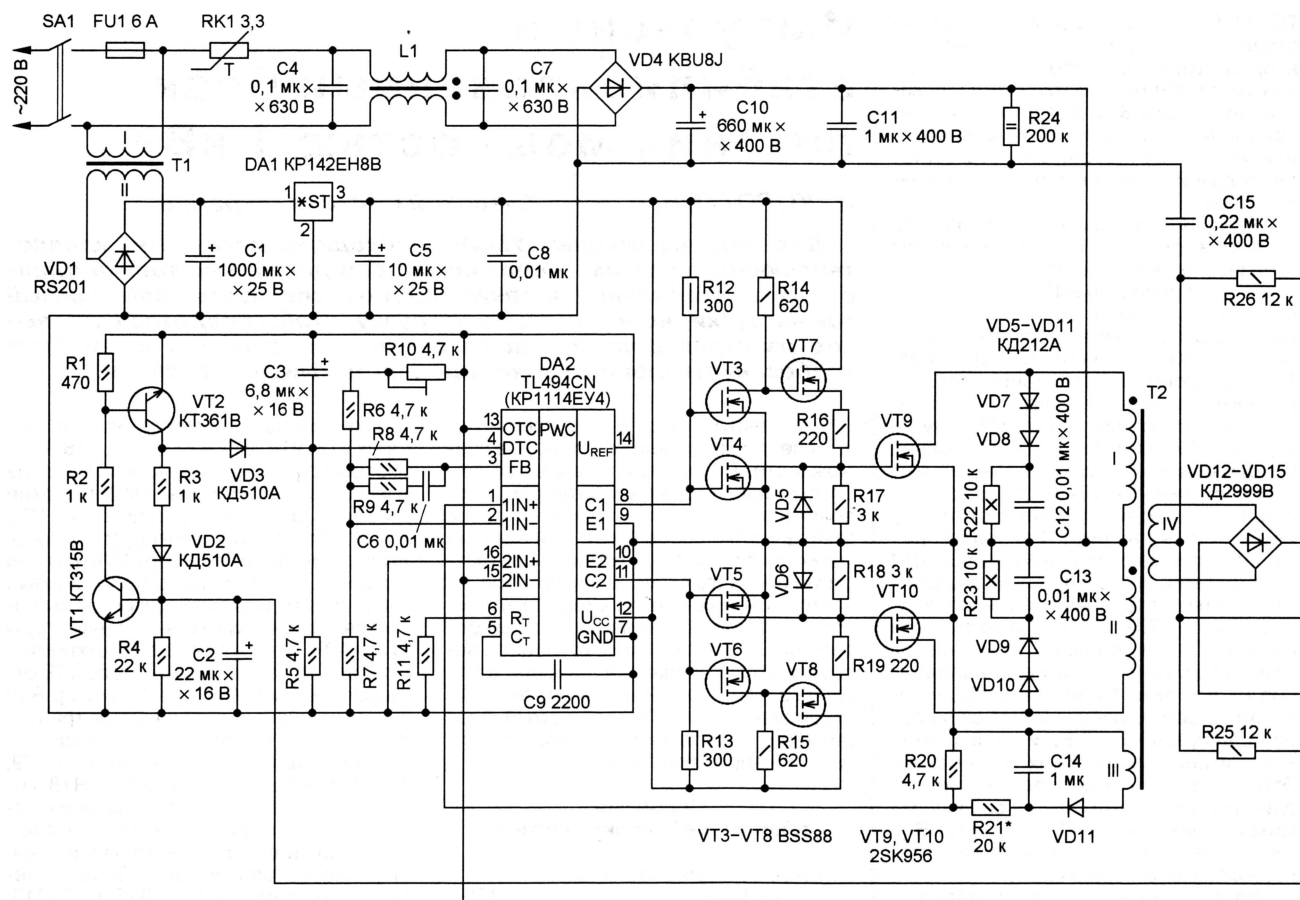
В цепи затворов транзисторов VT9, VT10 включены резисторы R17, R18, которые вместе с емкостью затвор—исток образуют фильтр нижних частот, уменьшающий уровень гармоник при открытии транзисторов. Этой же цели служат элементы R22, R23, C12, C13, VD7—VD10.

Обмотки I и II трансформатора T2 включены в цепи стоков транзисторов VT9, VT10. Напряжение обратной связи для стабилизации напряжения преобразователя снимают с обмотки III трансформатора. Его выпрямляет диод VD11 и сглаживает конденсатор C14. Далее через делитель на резисторах R20, R21 оно поступает на вывод 1 микросхемы DA2. Подбором резистора R21 можно немного регулировать выходное напряжение ИБП.

Элементы R11, C9 определяют частоту работы внутреннего генератора пилообразного напряжения микросхемы DA2. При указанных на схеме номиналах частота преобразования примерно равна 50 кГц. Выбирая другие номиналы элементов R11 и C9, можно, при необходимости, изменять частоту преобразования напряжения.

Сильноточная часть ИБП получает питание через сетевой фильтр C4L1C7 выпрямитель VD4 и сглаживающие конденсаторы C10, C11. Резистор R24 разряжает конденсаторы C10 и C11 после отключения питания. Микросхему DA2 и усилители на транзисторах VT3—VT8 питают стабилизированным напряжением от стабилизатора DA1. Термистор RK1 уменьшает бросок тока в момент включения ИБП в сеть.

Выпрямитель выходного напряжения преобразователя выполнен по мостовой схеме на диодах VD12—VD15. Плавный запуск преобразователя напряжения позволяет использовать во вторичных цепях конденсаторы филь-



ров C18, C19 большой емкости, необходимые для питания УМЗЧ. Дроссели L2, L3 и конденсаторы фильтра сглаживают пульсации выходного напряжения ИБП.

Узел защиты преобразователя напряжения по току собран на транзисторах VT11, VT12. При увеличении тока через резисторы R31—R34 транзисторы VT11, VT12 открываются, включают излучающие диоды оптронов U1.1, U1.2. Фототранзисторы оптронов U1.1, U1.2 также открываются и подают на базу транзистора VT1 открывающее напряжение, что приводит к срабатыванию триггерной защиты. Конденсатор C2 предотвращает срабатывание защиты от случайных импульсных помех.

Конструкция и детали. Почти все элементы ИБП установлены на печатной плате из односторонне фольгированного стеклотекстолита. На отдельной плате размещены резисторы R22, R23 и конденсаторы C12, C13. Резисторы R22 и R23 сильно нагреваются во время работы, поэтому плату с ними следует располагать так, чтобы эти резисторы не нагревали остальные элементы. Диоды VD12—VD15 через изолирующие прокладки прикреплены к отдельному игольчатому теплоотводу размерами 10×12 см и соединены с основной платой проводами сечением не менее 1 мм².

К теплоотводу длиной 17 и высотой 10 см через изолирующие прокладки крепят элементы DA1, VD4, VT9, VT10. С противоположной стороны к теплоотводу крепят вентилятор с таким расчетом, чтобы поток воздуха от него хорошо

обдувал теплоотвод. Можно использовать вентилятор от компьютерного блока питания. Питание на него подают с выхода +50 В преобразователя через резистор ПЭВ сопротивлением 320 Ом и мощностью 7,5 Вт. Допустимо для питания вентилятора намотать в трансформаторе T2 дополнительную обмотку так, как это описано в [1]. Для этого потребуется намотать два витка провода диаметром 0,4 мм. К дополнительной обмотке вентилятора подключают через резистор сопротивлением 18 Ом мощностью 1 Вт.

Трансформатор T2 преобразователя намотан на четырех сложенных вместе кольцах из феррита 2000НМ типоразмера K45×28×12. Обмотки I и II содержат по 32 витка провода диаметром 0,8 мм. Обмотка III содержит два витка провода диаметром 0,4 мм. Обмотка IV содержит 2×7 витков, намотанных в два провода диаметром по 1,2 мм. Обмотки I и II трансформатора отделяют от остальных двумя-тремя слоями лакоткани.

Трансформатор T1 — промышленного изготовления с переменным напряжением на вторичной обмотке около 16 В. Дроссель L1 содержит 2×20 витков, намотанных на ферритовом кольце из феррита 2000НМ типоразмера K31×18×7, в два провода диаметром 1 мм. Дроссели L2, L3 проводом диаметром 1,2 мм намотаны на ферритовых стержнях диаметром 8—10 мм и длиной около 25 мм в один слой по всей длине.

Оксидные конденсаторы желательно использовать импортные, рассчитан-

ные на работу при температуре до 105 °С. В крайнем случае допустимо применение других конденсаторов, подходящих по размерам. Конденсатор C10 составлен из трех параллельно соединенных конденсаторов емкостью по 220 мкФ. Остальные конденсаторы — любые пленочные, например K73-17.

Термистор RK1 состоит из трех параллельно соединенных термисторов SCK-105 или аналогичных, используемых в компьютерных блоках питания. Резисторы R22, R23 — С5-5 мощностью 10 Вт, R31—R34 — С5-16В мощностью 5 Вт. Подстроечный резистор R10 — СПЗ-19АВ или другой малогабаритный.

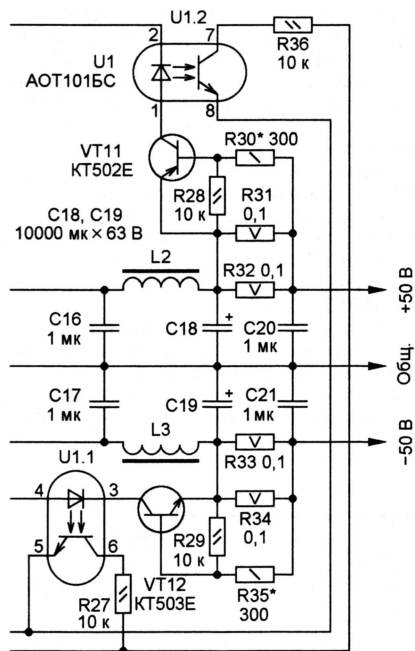
Диоды VD2 и VD3 — любые импульсные маломощные, например, из серий КД503, КД510, КД522.

Диодный мост VD4 можно заменить другим с максимальным значением среднего выпрямленного тока не менее 8 А и максимальным обратным напряжением не менее 400 В. Для диодного моста VD1 соответствующие параметры 0,5 А и 20 В.

Транзисторы BSS88 (VT3—VT8) можно заменить аналогичными п-канальными полевыми транзисторами с изолированным затвором, напряжением стока — исток не менее 50 В, током стока 0,15...0,5 А. Это могут быть транзисторы BSS123, BS108, 2SK1336 и т. д. Мощные полевые транзисторы 2SK956 (VT9 и VT10) можно заменить на 2SK787, IRFPE50. Транзистор KT502E (VT11) заменим на KT502Г, а KT503E (VT12) — на KT503Г. Оптод АОТ101БС

(U1) допустимо заменить на AOT101AC или PS2501-2.

Микросхема TL494CN работоспособна только при температуре выше 0 °С. Ее можно заменить на TL494LN, что позволит использовать блок питания при низких температурах окружающей среды, вплоть до -25 °С. Микросхему KP142EH8B (DA1) можно заменить на



KP142EH8E или 7815. В случае использования микросхемы 7815 в изолированном корпусе ее устанавливают на теплоотвод без изолирующей прокладки.

Налаживание. Перед первым включением преобразователя в сеть следует снять сетевое напряжение с силовых цепей и подать питание только на трансформатор T1. В первую очередь проверяют напряжение +15 В на выходе DA1. Затем с помощью осциллографа убеждаются в наличии импульсов на затворах полевых транзисторов VT9, VT10. При замыкании конденсатора С3 импульсы должны исчезать, а напряжение на затворах транзисторов VT9 и VT10 должно быть равно нулю.

Далее, установив движок резистора R10 в среднее положение, подают напряжение питания на остальную часть ИБП. Вольтметром контролируют напряжение на выводе 1 DA2. Подбирая резистор R21, устанавливают на этом выводе напряжение 2,5 В.

Подстроечным резистором R10 можно в незначительной степени изменять выходное напряжение преобразователя, однако необходимо контролировать импульсы на затворах полевых транзисторов VT9, VT10, чтобы их длительность не приближалась к крайним пределам (слишком короткие или слишком длинные). В противном случае, при возрастании нагрузки или изменении напряжения питающей сети, стабилизация выходного напряжения ухудшится.

Для того чтобы не перегружать преобразователь напряжения и не допустить выход из строя мощных полевых транзисторов, токовую защиту лучше наладить при уменьшенном токе срабатывания. Временно впаивают резисторы R31—R34 сопротивлением 1 Ом и мощностью 2 Вт. К выходу преобразователя подключают нагрузку и амперметр. Устанавливают ток нагрузки 1,3...1,4 А и подбором резисторов R30, R35 добиваются срабатывания токовой защиты. Затем устанавливают резисторы R31—R34 указанной на схеме мощности и сопротивления.

Другое выходное напряжение блока питания получают изменением числа витков обмотки IV трансформатора T2 (одному витку соответствует напряжение около 7 В) и подбором резистора R21.

ЛИТЕРАТУРА

1. Колганов А. Импульсный блок питания мощного УМЗЧ. — Радио, 2000, № 2, с. 36—38.
2. Александров Р. Схемотехника блоков питания персональных компьютеров. — Радио, 2002, № 5, с. 21—23; № 6, с. 22, 23; № 8, с. 23, 24.
3. Головкин А. В., Любичский В. Б. Блоки питания для системных модулей типа IBM PC-XT/AT. — М.: Лад и Н, 1995.

От редакции. Файлы рисунка печатной платы ИБП размещены на сайте редакции по адресу <ftp://ftp.radio.ru/pub/2005/12/kwt.zip>.

Редактор — М. Евсиков, графика — М. Евсиков

DD1, DD2, далее — счетчика DD1DD2) отношение частоты на выходе (вывод 6) микросхемы DD4 к частоте на ее входе (вывод 9) равно 15/4096. После прохождения каждых десяти импульсов с выхода микросхемы DD4 через элемент DD6.1 на вход счетчика DD8 на его выходе формируется импульс, увеличивающий код счетчика DD1DD2 на единицу, что приводит к нарастающему изменению частоты импульсов на выходе DD4. Такой способ соединения счетчика и управляемого делителя частоты описан в [2].

При нажатии на кнопку SB1 происходит аналогичные процессы, но счетчик DD10—DD13 работает в режиме вычитания.

При нажатии на кнопки SB4 "+грубо" или SB2 "-грубо" устройство работает аналогично, но высокий уровень на выходе элемента DD6.2 останавливает счетчики DD10 и DD12 (по входу EP) и формирует низкий уровень на выходе элемента DD7.4, разрешающий работу только счетчиков DD11 и DD13 (также по входу EP).

Если в процессе счета код счетчика DD1DD2 достиг значения 0FFH, то счет останавливается из-за действия обратной связи с вывода 12 микросхемы DD2 на входы L микросхем DD1 и DD2.

Если при нажатой кнопке SB3 "+точно" или SB1 "-точно" код счетчика DD10—DD13 достиг значения 0FFFH или соответственно 0000H, то на выходе переноса P микросхемы DD13 устанавливается низкий уровень, поступающий на входы элемента DD6.3. На его выходе формируется высокий уровень, поступающий на выводы 10—12 микросхемы DD5, что предотвращает "скачок" кода счетчика DD10—DD13.

Аналогично при нажатой кнопке SB4 "+грубо" или SB2 "-грубо" происходит

венно сокращает время перестройки кода/напряжения.

Код счетчика DD10—DD13 поступает на 16-разрядный ЦАП, составленный из двух микросхем ЦАП DA1 и DA2. Входы микросхемы DA1 подключены к выходам счетчиков DD10, DD12 (младшие разряды). Входы микросхемы DA2 подключены к выходам счетчиков DD11, DD13 (старшие разряды). Выходные сигналы обоих ЦАП суммируются на резисторах R13, R15, R16. Сопротивление резисторов R15+R16 должно быть точно в 256 раз больше сопротивления резистора R13. Этот способ каскадирования ЦАП описан в [3]. Его нецелесообразно применять в измерительных приборах из-за недопустимо большой погрешности и дифференциальной нелинейности. Однако, как отмечено в [3], в нашем случае важно лишь уменьшение выходного напряжения, а не точностные параметры ЦАП. Элементы C12, R17 и C15 предназначены для уменьшения шумов и коммутационных помех, возникающих при переключении ЦАП.

Устройство смонтировано на макетной плате. Для питания необходим источник напряжений +5, +15 и -15 В. Размах пульсаций напряжения +5 В не должен превышать 50 мВ, остальных — 10 мВ. Диод VD1 защищает микросхемы ЦАП в случае отсутствия напряжения питания +15 В.

В устройстве можно применить микросхемы других серий ТТЛ и ТТЛШ, предпочтительнее КР1533. Но микросхема К155ИЕ8 (DD4; DD5) не имеет аналогов в других сериях.

Микросхемы ЦАП К572ПА1 (DA1, DA2) лучше всего заменить с буквенным индексом А. Желательно установить их на панели, чтобы иметь возможность подбора. Стабилитрон VD2 должен быть прецизионным, термокомпенсированным, например, КС190Д, КС191Р, КС191Ф. Резисторы R13, R15, R16 должны быть высокостабильными. Подстроечные резисторы R11 и R12 лучше применить многооборотные из серий СП5-2, СП5-3, СП3-39.

Линия задержки DT1 может быть любой с временем задержки не менее 0,5 мкс и характеристическим сопротивлением не ниже 1200 Ом. Сопротивление нагрузки линии задержки — параллельно включенные резистор R9 и сопротивление входа логического элемента (около 20 кОм для серии К555) — должно быть примерно равно ее характеристическому сопротивлению. В крайнем случае линию задержки можно заменить интегрирующей RC-цепью: выход элемента DD6.4 соединяют с верхним по схеме входом (вывод 8) элемента DD7.1 через резистор сопротивлением 130 Ом, а параллельно резистору R9 подключают конденсатор, емкость которого подбирают при налаживании в пределах 0,04...0,1 мкФ так, чтобы переключение режимов сложения и вычитания происходило без сбоев.

Цифровая часть устройства, правильно собранная из исправных деталей, работает без налаживания. Если микросхема DD9 применена из других серий, может возникнуть необходимость подбора элементов C2, R8, определяющих частоту тактового генератора, которую желательно установить около 1 кГц.

Налаживание аналоговой части начинают с установки кода 0000H счетчика DD10—DD13 и балансировки ОУ DA3 и DA4 подстроечными резисторами R11 и R12 так, чтобы выходное напряжение было равно нулю. Далее выполняются одиночные нажатия на кнопку SB3 "+точно", нужно убедиться, что приращения выходного напряжения примерно равны 0,14 мВ (1/65536 часть образцового напряжения, которое равно $9,1 \pm 0,45$ В). При одиночных нажатиях на кнопку SB4 "+грубо" приращения выходного напряжения должны быть примерно 35 мВ (1/256 часть образцового).

ЛИТЕРАТУРА

1. Пухальский Г. И., Новосельцева Т. Я. Проектирование дискретных устройств на интегральных микросхемах. — М.: Радио и связь, 1990.
2. Распов В. Электронный регулятор громкости. — Радио, 1989, № 4, с. 41—43.
3. Пузаков А. Цифроаналоговый узел перестройки частоты. — Радио, 1987, № 1, с. 22—25.

От редакции. Зависимость код—напряжение 16-разрядного ЦАП, собранного из двух восьмизарядных, состоит из 256-ти линейных участков, на стыках которых неизбежны перекрытия и мертвые зоны, размеры которых могут достигать в данном случае 1/2048 максимального значения выходного напряжения. Причина этого — неизбежная погрешность высоты ступеней напряжения, формируемых "грубым" ЦАП DA2 — может быть устранена только заменой примененного ЦАП К572ПА1А на более точный, а следовательно, дорогой прибор.

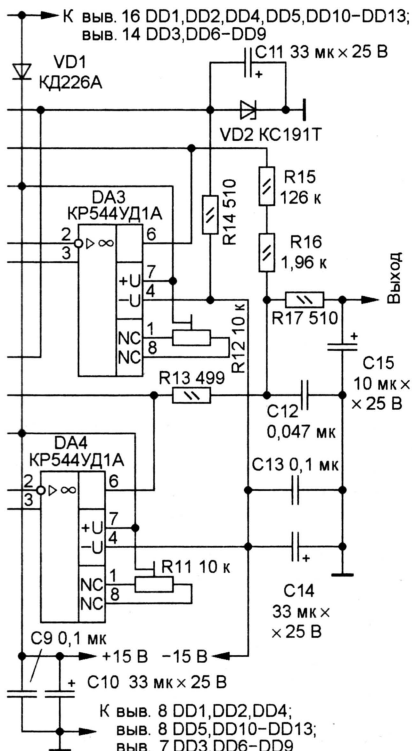
Если в зонах, где участки перекрываются, нужно выходное напряжение все-таки удастся установить, манипулируя органами управления, то значения напряжения, лежащие в разрывах характеристики, остаются недоступными. Разрывы можно устранить ценой небольшого нарушения масштаба преобразования и увеличения размеров зон перекрытия участков. Для этого достаточно уменьшить отношение суммарного сопротивления резисторов R15 и R16 к R13 приблизительно на 1/8 "теоретического" значения 256, т. е. до 224. Точное значение этого отношения придется подбирать экспериментально для каждого экземпляра микросхемы К572ПА1А (DA2).

Существует возможность уменьшить четверть число "пораженных точек" характеристики, использовав полностью все десять разрядов "точного" ЦАП DA1. Для этого достаточно отключить от общего провода его выводы 12 и 13 и перенести провода, шедшие ранее к выводам 4—11, на выводы с номерами на две единицы больше (с 11 на 13, с 10 на 12 и т. д.). На выводы 4 и 5 микросхемы DA1 переносит провода, шедшие ранее к выводам 10 и 11 микросхемы DA2, освободившиеся выводы соединяют с общим проводом.

После описанной переделки отношение $(R15+R16)/R13$ нужно уменьшить до 64, а с учетом необходимости устранения мертвых зон — приблизительно до 62. Логика работы регулятора напряжения переделка не изменяет.

И конечно, радикальным способом устранения дефектов может быть только замена двух ЦАП одним полноценным 16-разрядным (например, AD669 фирмы Analog Device), в котором приняты все меры, обеспечивающие монотонность характеристики преобразования.

Редактор — М. Евсиков, графика — М. Евсиков



остановка счета при достижении кода 0FFH или 00H в микросхемах DD11 и DD13, состояние счетчиков DD10 и DD12 при этом безразлично.

Удобство управления устройством состоит в том, что фиксация состояния кода счетчика DD10—DD13 происходит только при нажатой кнопке (одной из SB1—SB4). Если по достижении фиксации кнопку отпустить и нажать снова, блокировка счета снимается, в результате чего возможен переход от максимального кода к минимальному и наоборот, что во многих случаях существ-

Дистанционный ИК выключатель

М. ПОТАПЧУК, г. Ровно, Украина

Пульты дистанционного управления (ПДУ), работающие в ИК диапазоне, стали принадлежностью почти любого бытового прибора. Изготовив несложный приемник сигналов, подаваемых с помощью ПДУ, радиолюбитель может с успехом применить его для дистанционного включения и выключения любого устройства. Важно лишь, чтобы излучение ПДУ при таком использовании не попадало на датчик "родного" прибора.

Дистанционный выключатель, схема которого представлена на **рис. 1**, состоит всего из нескольких элементов: модуля ИК приемника В1, микроконтроллера DD1, усилителя мощности на транзисторе VT1, исполнительного реле К1 (его контакты, включенные в цепь нагрузки, на схеме не показаны) и индикатора на светодиоде

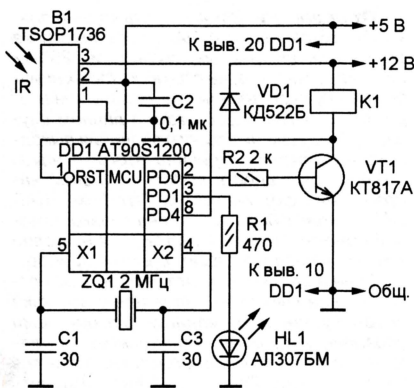


Рис. 1

Таблица 1

```
:1000000004C01895189518951895E9E040E050E05F
:1000100060E070E080E090E0A0E02FC0BF2DCE2D2A
:10002000F82E2C2ED1E0FD1AF0E0E0FAD0E0B0306C
:10003000CD07A1F708950895F894B7E0B1B8C0E0EB
:10004000C2B8FEBF7B8C8B8C0E8C8B9B0E2B5B6F1
:10005000C2E0C9BF0895B0E0B2FC4EDFC2E0E36A
:10006000EB2EDCD0F02B7CAE0C01728F4023318F425
:10007000B1E0FB2E01C0FF24089500E011E021E073
:10008000083EA951083EA952083EA95C0E0FC2E65
:10009000B4E0EB2C3DFE3952081E3951081E39577
:1000A0000810083EA951083EA952083EA95C4DF6
:1000B000E3952081E3951081E39500814DC0C5E073
:1000C000C3BF0E082BFCFEFC8BF78948895F894B3
:1000D000C3BF0083EA951083EA952083EA95B8DFCE
:1000E000E3952081E3951081E3950081B1E0FB1653
:1000F00029F5013031F49198909A21E011E000E067
:1001000004C0919A09810E001E030E015C000839F
:10011000EA951083EA952083EA953083EA95CFEF3C
:10012000FC2E2C2E7BDFE3953081E3952081E39577
:100130001081E39500813395323048F3113061F43A
:100140002A95222349F4B083B170B13019F49098D4
:0C0150002CE002C090A22E0B2CFFCF5A
:00000001FF
```

HL1. Микроконтроллер выбран самый дешевый из семейства AVR фирмы Atmel — AT90S1200. Частота его тактового генератора задана кварцевым резонатором ZQ1.

Коды программы микроконтроллера приведены в **табл. 1**. Она написана на языке Си и откомпилирована в среде ImageCraft C Compiler. Это практически единственный компилятор, пригодный для разработки программ микроконтроллера AT90S1200, не имеющего в своем составе ОЗУ, на обязательное использование которого ориентированы другие компиляторы.

Алгоритм работы программы основан на подсчете числа принятых ИК импульсов. Время счета, равное 0,1 с, подобрано опытным путем. Команда будет зафиксирована, если в течение этого интервала принято определенное число импульсов. Оно должно быть намного больше соответствующей частоте 100 Гц, что обеспечивает надежную защиту от ложных срабатываний, вызванных осветительными лампами. Верхний предел зависит от особенностей пульта, с помощью которого подают команду, и может быть

Таблица 2

```
:1000000004C01895189518951895E9E040E050E05F
:1000100060E070E080E090E0A0E031C0BF2DCE2D28
:10002000F82E2C2ED1E0FD1AF0E0E0FAD0E0B0306C
:10003000CD07A1F708950895F894B7E0B1B8C0E0EB
:10004000C2B8FEBF7B8C8B8C0E8C8B9B0E2B5B6F1
:10005000C2E0C9BF0895B0E0B2FC4EDFC2E0E36A
:10006000F82E2C2ED1E0FD1AF0E0E0FAD0E0B0306C
:10007000023318F4C1E0FC2E01C0FF24089500E013
:1000800011E021E00083EA951083EA952083EA9548
:10009000B0E0BFB2E4C0E0EC2C1DFE3952081E395AD
:1000A0001081E39500810083EA951083EA9520830F
:1000B000EA95C2DFE3952081E3951081E395008105
:1000C00043C00083EA951083EA952083EA95C5DF53
:1000D000E3952081E3951081E3950081B1E0FB1663
:1000E00029F5013031F49198909A21E011E000E077
:1000F00004C0919A09810E001E030E015C00083B0
:10010000EA951083EA952083EA953083EA95CFEF4C
:10011000FC2E2C2E83DFE3953081E3952081E3957F
:100120001081E39500813395323048F3113061F44A
:100130002A95222349F4B083B170B13019F49098E4
:0C0140002CE002C090A22E0B2CFFCF5A
:00000001FF
```

довольно большим. В рассматриваемом случае импульсов должно быть не более 50.

Установив, что результат счета лежит в допустимом интервале, программа инвертирует логический уровень на выв. 2 микроконтроллера, включая выключенное исполнительное устройство или выключая ранее включенное. Светодиод HL1 мигает, когда на выв. 2 микроконтроллера установлен низкий уровень (обмотка реле К1 обесточена), а когда этот уровень высокий (реле К1 сработало), светодиод погашен.

Закончив счет и анализ его результата, программа на 0,13 с переводит микроконтроллер в режим пониженно-

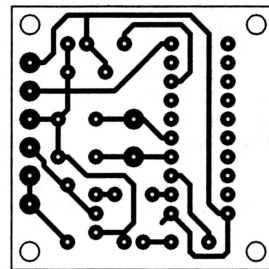


Рис. 2

го энергопотребления, что заметно повышает экономичность устройства. Далее цикл повторяется. Так как декодирование принятых команд программой не предусмотрено, нажатие на любую кнопку пульта будет воспринято одинаково.

Работа выключателя была проверена при подаче команд с помощью двух различных ПДУ. Первый — от телевизора "Philips" — при удержании кнопки в нажатом состоянии периодически повторяет соответствующую ей команду. Второй — от видеомэгафона "LG" — посылает команду однократно. При работе с ним наблюдались пропуски команд, поданных именно в те 0,13 с, когда микроконтроллер, находясь в экономичном режиме, не реагирует на внешние воздействия. Чтобы устранить пропуски, пришлось пожертвовать экономией электроэнергии и доработать программу, исключив из нее паузу. Коды этого варианта программы приведены в **табл. 2**.

Выключатель можно собрать на односторонней печатной плате, изготовленной по чертежу, изображенному на **рис. 2**. Реле К1 — импортное JQC-3FC (T73) с обмоткой на 12 В постоянного тока и с контактами, рассчитанными на

Ступенчатый регулятор мощности

К. МОВСУМ-ЗАДЕ, г. Тюмень

Предлагаемое устройство отличается доступными деталями при небольшом их числе и не критичности номиналов. Регулирование ступенчатое: 2/2, 2/3, 2/4, 3/7, 3/8, 3/9 и 3/10 полной мощности нагрузки.

Схема регулятора изображена на рис. 1. Он состоит из узла питания (диоды VD2, VD6, стабилитрон VD1, резис-

питать счетчик DD1, состояние которого не изменяется. Транзистор VT1 остается открытым, и ток через нагрузку продолжает течь.

С началом следующего положительного полупериода уровень на выходе 1 счетчика станет низким, а на выходе 2 — высоким. Транзистор VT2, напряжение затвор—исток которого стало нулевым,

выходе 3, поступит через переключатель SA1 на вход R счетчика, который немедленно перейдет в исходное состояние с высоким уровнем на выходе 0 и низким на всех остальных выходах. Напряжение, поступившее через диод VD3 и резистор R4 на затвор транзистора VT1, откроет его. По окончании этого периода цикл повторится. В других положениях переключателя SA1 прибор работает аналогично, изменяется лишь число периодов, в течение которых нагрузка подключена к сети и отключена от нее.

Регулятор почти не создает радиопомех, так как переключение счетчика, а с ним открывание и закрывание транзистора VT1 происходят в моменты, когда мгновенное значение сетевого напряжения очень близко к нулевому — оно не превышает напряжения стабилизации стабилитрона VD1. Резистор R6 подавляет выбросы напряжения, возникающие при коммутации индуктивной нагрузки, что уменьшает вероятность пробоя транзистора VT1.

Регулятор собран на печатной плате из односторонне фольгированного текстолита (рис. 2). Она рассчитана на резисторы МЛТ и им подобные указанной на схеме мощности, причем номиналы резисторов могут в несколько раз отличаться от указанных. Конденсатор C1 — K50-35 или другой оксидный. Стабилитрон KC515Г можно заменить KC515Ж или KC508Б, диоды КД257Б — импортными 1N5404, а транзистор КП740 — IRF740.

Переключатель SA1 — галетный П2Г-3 11П1Н, из одиннадцати положений которого использовано только семь. Выводы переключателя соединяют гибкими проводами с не имеющими обозначений контактами площадками, расположенными на печатной плате вокруг микросхемы DD1.

Собранный прибор желательно проверить, подключив к сети через разделительный трансформатор с напряжением на вторичной обмотке 20...30 В и заменив реальную нагрузку резистором 1,5...3 кОм. Только убедившись в правильной работе, подключайте его к сети напрямую. После этого прикасаться к каким-либо элементам устройства (кроме изолированной ручки переключателя) опасно — они находятся под сетевым напряжением.

Регулятор проверен с нагрузкой мощностью до 600 Вт. Полевой транзистор VT1 благодаря малому сопротивлению открытого канала нагревается очень незначительно, тем не менее желательно снабдить его небольшим теплоотводом.

Редактор — А. Долгий, графика — А. Долгий

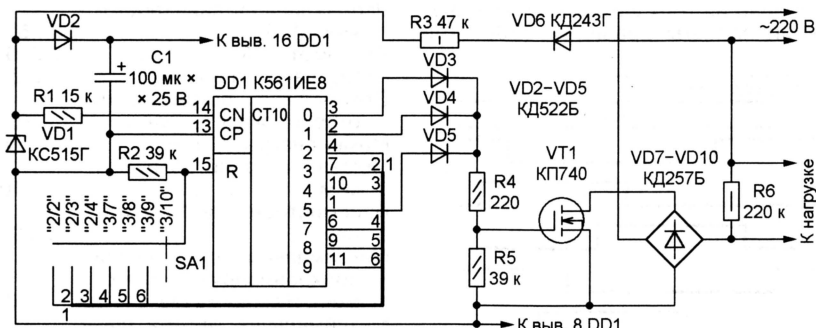


Рис. 1

тор R3, конденсатор C1), узла управления (резисторы R1, R2, R4, R5, переключатель SA1, десятичный счетчик DD1, диоды VD3—VD5) и силового узла на полевом транзисторе VT1 и диодном мосте VD7—VD10, в него же входит резистор R6.

Предположим, переключатель SA1 установлен в положение 2/3. Во время первого положительного полупериода сетевого напряжения диоды VD2 и VD6 открыты. Ток, протекающий через стабилитрон VD1, формирует на нем импульс амплитудой 15 В с крутыми фронтами и спадами. Этот импульс через диод VD2 заряжает конденсатор C1, а через резистор R1 поступает на вход CN счетчика DD1. По фронту этого импульса на выходе 1 счетчика будет установлен высокий уровень, который через диод VD4 и резистор R4 поступит на затвор полевого транзистора VT1 и откроет его. В результате через нагрузку протекает положительная полуволна тока.

Во время отрицательного полупериода диоды VD2 и VD6 закрыты, но на напряжение заряженного конденсатора C1 (далее его подзаряжает каждый положительный полупериод) продолжает

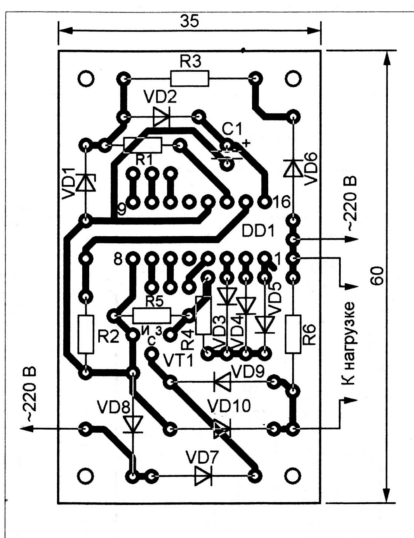


Рис. 2

быть закрыт, а нагрузка отключена от сети на весь период.

В третьем положительном полупериоде высокий уровень, установленный на

переменный ток 5 А при напряжении 250 В. Оно находится вне платы.

Если микроконтроллер AT90S1200 заменить на AT90S1200A, снабженный внутренним тактовым RC-генератором, отпадет необходимость устанавливать на плату кварцевый резонатор ZQ1 с конденсаторами C1 и C3. Но так как частота внутреннего генератора (1 МГц) вдвое меньше частоты кварца,

может потребоваться во столько же раз уменьшить значения программных констант, задающих длительность формируемых временных интервалов.

При небольшой адаптации программы можно применить в выключателе восьмивыводные микроконтроллеры семейства Attiny. Программу, реализующую описанный выше алгоритм, нетрудно написать и для микро-

контроллеров с другой системой команд, например, для приборов серии PICmicro.

От редакции. Исходные тексты и коды программ находятся на нашем FTP-сервере по адресу <ftp://ftp.radio.ru/pub/2005/12/pult.zip>.

Редактор — А. Долгий, графика — А. Долгий

Электропривод с шаговым двигателем ДШ-5Д1МУЗ

В. СЕКРИЕРУ, Е. МУНТЯНУ, г. Кишинев, Молдова

При автоматизации различных производственных процессов в системах привода станков и механизмов нередко используют шаговые электродвигатели. Управлять ими относительно просто, но если необходимо оперативно изменять режим работы двигателя, да еще регулировать несколько параметров одновременно, задача усложняется и без микроконтроллера уже не обойтись.

Предлагаемый блок предназначен для управления шаговым электродвигателем, установленным в станке для перемотки фольги с одного вала

на другой. Требуется вращать вал по часовой стрелке и против нее, выбирая одно из трех фиксированных значений частоты вращения (300, 400

и 500 мин⁻¹), и немедленно останавливать его при излишнем натяжении фольги. Для контроля натяжения в станке предусмотрены специальные штанги, оснащенные замыкающимися контактами.

Электродвигатель ДШ-5Д1МУЗ имеет шесть обмоток, ток в которых должен изменяться согласно графику, изображенному на рис. 1. Полный цикл состоит из 12 тактов, в каждом из которых вал двигателя поворачивается на 1,5 угл. град. в ту или иную сторону.

Основные технические характеристики двигателя

Напряжение питания (постоянное), В 40,8...52,6
Ток обмотки, А $3 \pm 0,1$
Число шагов на оборот 240
Статическая погрешность отработки шага, град $\pm 0,45$
Момент нагрузки, Н·м 0,1
Момент инерции нагрузки, кг·м² 10^{-6}
Приемистость, шаг/с, не менее 2000
Максимальный статический синхронизирующий момент, Н·м, не менее 0,4
Максимальная частота шагов, с⁻¹:
при резистивном форсировании 8000
при электронном форсировании 16000



Рис. 1

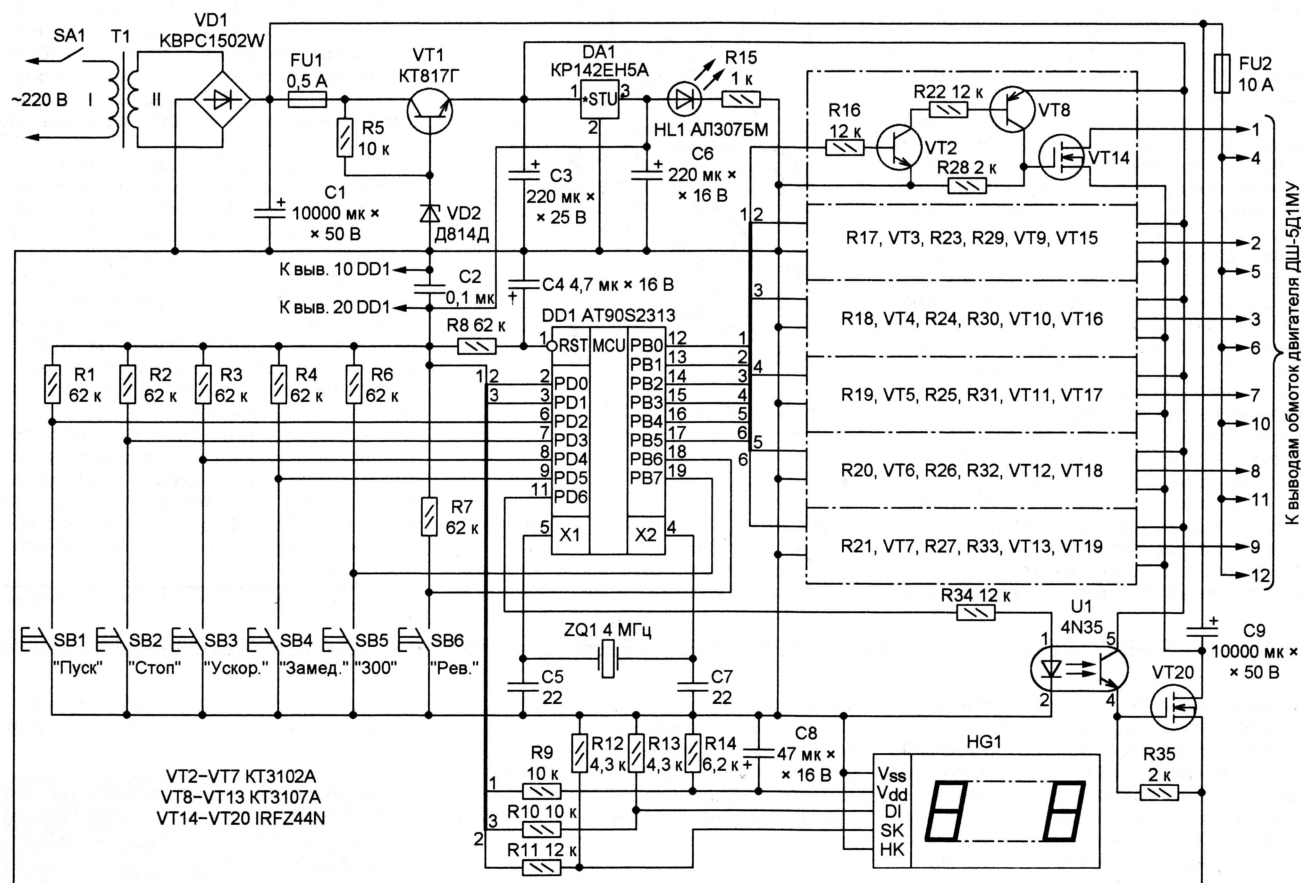


Рис. 2

Таймер-регулятор мощности

Б. СОКОЛОВ, г. Протвино Московской обл.

Предлагаемое устройство предназначено для регулирования рабочей температуры электропечей, электроплит и других подобных нагрузок с большой тепловой инерцией. Однако оно может выполнять и другую функцию — периодически с заданной частотой и скважностью включать световую рекламу, новогоднюю гирлянду или звуковую сигнализацию.

Регулирование производится изменением числа полупериодов сетевого напряжения, подаваемых на нагрузку в единицу времени. Включение происходит строго в моменты переходов мгновенного значения сетевого напряжения через ноль, что значительно снижает уровень помех по сравнению с фазоимпульсными регуляторами.

От аналогичных устройств, например, тех, описания которых имеются в статье С. Бирюкова "Симисторные регуляторы мощности" ("Радио", 1996, № 1, с. 44—46), прибор, изображенный на рис. 1, отличается схемным решением узла синхронизации с сетью, наличием дополнительного таймера, формирующего импульсы с регулируемым, но остающимся строго кратным периоду сетевого напряжения, периодом повторения. Время восстановления таймера по окончании импульса значительно уменьшено за счет введения в цепь разрядки времязадающего конденсатора дополнительного полевого транзистора. Выходным симистором управляет специализированный оптосимистор, включающий его строго в моменты близости к нулю мгновенного значения сетевого напряжения.

Схема таймера-регулятора изображена на рис. 2. Узел синхронизации таймера с сетью выполнен на двох транзисторном оптроне U1 и транзисторе VT3. Ток излучающих диодов оптрона ограничен резистором R5, от номинала которого зависит минимальное напряжение в сети, при котором узел синхронизации еще работает. При указанном на схеме номинале — это 140 В.

Благодаря встречно-параллельному соединению излучающих диодов один из фототранзисторов оптрона U1 открыт в положительных полупериодах сетевого напряжения, другой — в отрицательных. В результате на "стыках" полупериодов, когда отсутствует ток через оба излучающих диода и закрыты оба фототранзистора, на коллекторе транзистора VT3 образуются импульсы длительностью около 0,1 мс. При необходимости их длительность можно изменить, подбирая резистор R8.

Сформированные описанным образом синхрипульсы поступают на выв. 5 таймера DA1 и запускают собранный на нем одновибратор. Чувствительность таймера к запускающим импульсам зависит от напряжения на его выв. 2, заданного резистивным делителем R1R2. Конденсатор C1 подавляет импульсные помехи и наводки.

Зарядка времязадающего конденсатора (в зависимости от положения переключателя SA1 — это C2 или C3) идет по линейному закону благодаря стабилизатору тока, собранному на транзисторе VT1. Напряжение на базе этого транзистора задано резисторами R3 и R4. Значение тока стабилизации зависит от суммарного сопротивления постоянно резистора R6 и переменного R7 в цепи эмиттера транзистора. По окончании

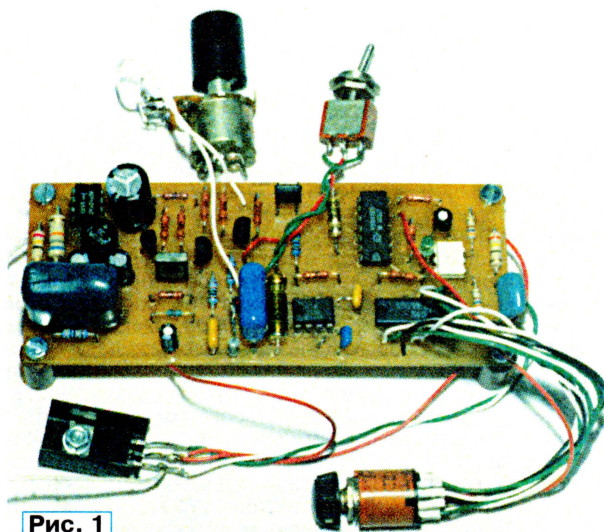


Рис. 1

сформированного одновибратором импульса очередной синхрипульс запускает одновибратор повторно. Поэтому период повторения его импульсов всегда равен целому числу полупериодов сетевого напряжения.

Для достаточно быстрой разрядки времязадающего конденсатора большой емкости (C3) возможностей внутреннего транзистора таймера DA1 не хватает. Более того, при емкости конденсатора более 22 мкФ этот транзистор может выйти из строя. По этим причинам в одновибратор добавлен р-канальный полевой транзистор VT2 с сопротивлением открытого канала не более 0,175 Ом при токе до 11 А. Это позволило с шагом 10 мс регулировать период повторения импульсов одновибратора от минимального (10 мс) до нескольких десятков секунд.

Логические элементы DD1.1 и DD1.2 формируют из импульсов одновибратора

ра и сетевых синхрипульсов короткие одиночные импульсы с регулируемым периодом повторения, которые поступают на вход счетчика DD2. Совместно с RS-триггером на элементах DD1.3 и DD1.4 счетчик служит генератором импульсов с периодом повторения, в десять раз большим периода повторения импульсов одновибратора.

Высокий уровень, установленный в одном из каждых десяти тактов работы счетчика на его выв. 3, переводит RS-триггер в состояние с высоким уровнем на выходе элемента DD1.4. Спустя несколько тактов, число которых зависит от положения переключателя SA2, высоким уровнем на входе (выв. 6) элемента DD1.4 триггер будет возвращен в состояние с низким уровнем на выходе.

Импульсы, сформированные триггером, поданы на базу транзистора VT5, служащего усилителем их мощности. В цепь коллектора этого транзистора включены последовательно излучающий диод симисторного оптрона U2, сигнальный светодиод HL1 (он позволяет визуально контролировать работу прибора при отключенной или недоступной для наблюдения нагрузке) и резистор R20, ограничивающий ток.

Оптрон МОС3083 отличается от обычных тем, что содержит внутренний узел, обеспечивающий открывание его фотосимистора в моменты перехода приложенного к нему переменного напряжения через ноль, так что в эти же моменты открывается и мощный симистор VS1, включенный в цепь нагрузки. Этим обеспечен низкий уровень импульсных помех, создаваемых таймером-регулятором в питающей сети. Демпфирующая цепь C12R23 защищает симистор от открывания бросками сетевого напряжения.

Переключатель SA2 позволяет изменять коэффициент заполнения (отношение длительности к периоду повторения) импульсов тока, текущего через излучающий диод оптрона U2 десятью ступенями по 10 %. Такими же ступенями изменяется и выделяющаяся на нагрузке мощность. В нижнем (по схеме) положении переключателя на выходе элемента DD1.4 установлен постоянный высокий уровень, что соответствует непрерывно включенной нагрузке.

Изменяя длительность цикла регулирования мощности переменным резистором R7, можно установить ее оптимальной для конкретной нагрузки. Если нагрузкой служат лампы накаливания, удастся наблюдать интересные световые эффекты.

Узел питания прибора выполнен по бестрансформаторной схеме с емкостным делителем сетевого напряжения, состоящим из пленочного конденсатора C8 и двух оксидных C4 и C5, включенных встречно-последовательно. Оксидные конденсаторы защищены от обратного напряжения подключенными параллельно им диодами моста VD1. Выпрямленное напряжение подано на

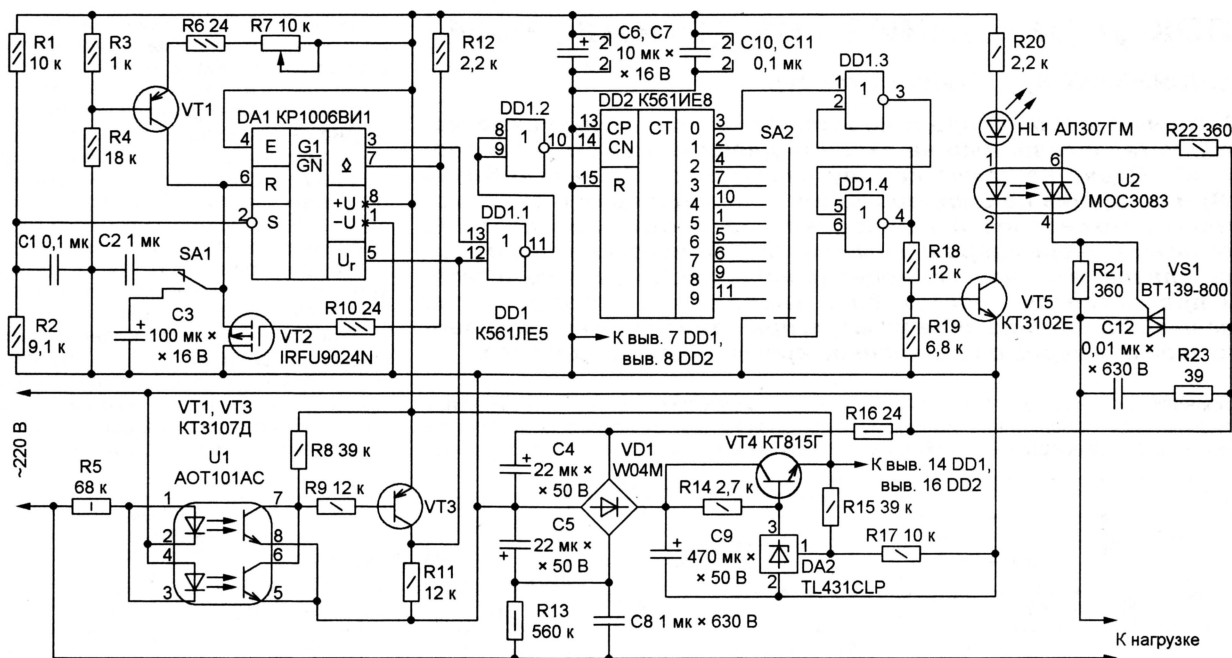


Рис. 2

стабилизатор, собранный на транзисторе VT4 и параллельном стабилизаторе DA2. Выходное напряжение (прибли-

зительно 12 В) задано соответствующим выбором отношения номиналов резисторов R15 и R17.

Резистор R13 служит для разрядки конденсатора C8 после отключения прибора от сети, а резистор R16 ограничивает пусковой ток при включении.

Печатная плата таймера-регулятора изображена на рис. 3. Особых требований к установленным на ней компонентам не предъявляется. Переключатель, изображенный штриховой линией, замыкает цепь общего провода устройства. Она потребовалась для устранения сбоя в работе таймера. Микросхему TL431CLP можно заменить аналогичной KP142EH19, а импортный симистор BT139-800 — отечественными TC-112-16, TC-122-25 класса по напряжению не ниже 8. Необходимость в отводе тепла от симистора зависит от мощности нагрузки. Диодный мост W04M также можно заменить другим на ток не менее 100 мА и напряжение 50 В и более.

Налаживая собранный таймер-регулятор, необходимо прежде всего убедиться в наличии напряжения 12 В на выводах питания микросхем DA1, DD1, DD2. Соблюдайте осторожность — цепи устройства имеют непосредственную связь с питающей сетью.

На экране осциллографа, вход которого подключен параллельно резистору R11, должны быть видны отрицательные импульсы длительностью около 0,1 мс и частотой повторения 100 Гц. Перенеся щуп осциллографа на выход элемента DD1.1, убедитесь, что переменным резистором R7 и переключателем SA1 период повторения наблюдаемых здесь положительных импульсов можно изменять от 10 мс до нескольких десятков секунд.

Остается проверить, что переключатель SA2 действительно изменяет коэффициент заполнения импульсов на коллекторе транзистора VT5 ступенями по 10 %. Во время налаживания очень удобно использовать в качестве нагрузки лампы накаливания мощностью не менее 60 Вт.

Редактор — А. Долгий, графика — А. Долгий

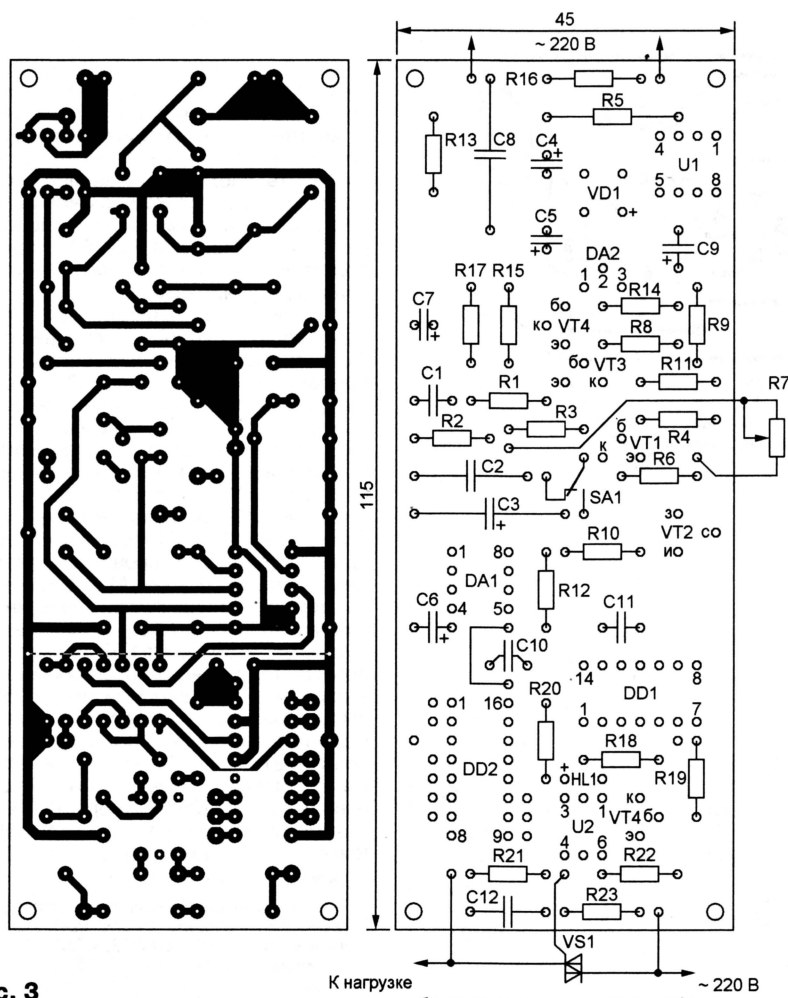


Рис. 3

Редактор — А. Долгий, графика — А. Долгий

Что показывает амперметр?

А. ЛАВРЕНОВ, г. Иркутск

Когда заряжают аккумулятор (или аккумуляторную батарею), зарядный ток устанавливается по показаниям амперметра. А что он показывает?

Электрохимические процессы в аккумуляторе протекают на поверхности его пластин, находящихся в электролите. Для увеличения емкости аккумулятора пластины выполняют пористыми. В толще пластины, в ее порах, перемешивание электролита происходит значительно медленнее, чем на ее поверхности и в прилегающем слое электролита.

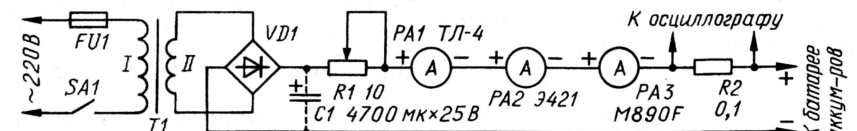


Рис. 1

Замечено, что чем больше зарядный ток, тем интенсивнее происходят нежелательные процессы в толще пластин, т. е. старение аккумулятора. Поэтому зарядный ток ограничивают, находя компромисс между быстротой зарядки и интенсивностью старения аккумулятора от большого тока. Общепринято заряжать свинцовые стартерные батареи аккумуляторов током, численно равным в амперах одной десятой емкости в ампер-часах. А инструкция по эксплуатации этих батарей [1] рекомендует, например, для батареи 6СТ55 ток зарядки и того меньше — 2,75 А, т. е. 0,05 емкости.

Много лет зарядные устройства изготавливают по одной структурной схеме: сетевой трансформатор—двуполупериодный выпрямитель (иногда мостовой)—реостат—амперметр. Добавим в зарядную цепь устройства измерительный резистор сопротивлением 0,1 Ом, а вместо одного амперметра включим последовательно три — магнитоэлектрический (авометр ТЛ-4), электромагнитный Э421 и мультиметр М890Ф (см. схему на рис. 1). Авометр и мультиметр установим на измерение постоянного тока.

Подключим к зарядному устройству аккумуляторную батарею и по магнитоэлектрическому амперметру PA1 установим реостатом R1 зарядный ток 1,9 А. Кому-то покажется странным, но при этом электромагнитный амперметр PA2 покажет 2,7 А, а электронный PA3 — 1,87 А. Все приборы проверены и при измерении постоянного тока давали одинаковые показания.

Незначительная разница в показаниях амперметров PA1 и PA3 объясняется только естественной погрешностью приборов, а вот причина существенного отличия показаний амперметра PA2 в том, что ток в цепи сильно отличается от постоянного. Известно, что амперметр электромагнитной системы измеряет эффективное значение переменного тока, а магнитоэлектрический и электронный — среднее. Именно среднее значение зарядного тока определяет электрический заряд, передаваемый аккумуляторной батарее.

Подадим напряжение, падающее на измерительном резисторе R2, на вход Y осциллографа (скорость развертки — 2 мс/дел., чувствительность — 0,2 В/дел.) и снимем ряд осциллограмм при значениях тока 1, 2 и 3 А, устанавливаемых по амперметру ТЛ-4.

Осциллограммы (рис. 2, а и в соответственно) сильно напоминают по форме напряжение на выходе однополупериодного выпрямителя, хотя каждая "полусинусоида" несколько искажена: ее вершина приплюснута сверху и на-

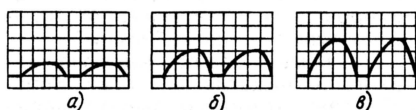


Рис. 2

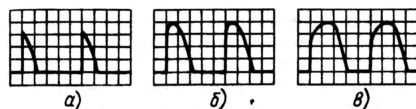


Рис. 3

клонена вправо. Зарядный ток возникает в момент, когда напряжение на выходе выпрямителя превышает ЭДС заряжаемой батареи, при этом электрохимические процессы имеют нелинейный характер. Подключение к выходу выпрямителя сглаживающего конденсатора C1 емкостью 4700 мкФ форму зарядного тока практически не изменило.

А вот и самое интересное: эти "полусинусоиды" на осциллограмме рис. 2, б, например, имеют высоту в точке максимума два деления шкалы осциллографа, а это соответствует 4 А. Вы помните, что показывали амперметры?

Давайте теперь поэкспериментируем с зарядным устройством на тринисторе. Такие устройства привлекательны тем, что благодаря отсутствию громоздкого мощного реостата малогабаритны, имеют значительно более высокий КПД и надежность. Для эксперимента я выбрал устройство, описанное в [2]. Напряжение вторичной обмотки — 27 В эф., амперметр оставил один — ТЛ-4, измерительный резистор сопротивлением 0,1 Ом тот же.

Осциллограмма на рис. 3, а соответствует показаниям амперметра 1 А; амплитуда тока достигает 3,2 деления шкалы осциллографа — 6,4 А. Осциллограммы рис. 3, б и 3, в — при показаниях амперметра также 2 и 3 А. Кривые 2, в и 3, в близки между собой по амплитуде, так как трансформатор использовался один и тот же, реостат в положении, когда сопротивление почти минимально, и тринистор открыт почти весь полупериод.

Я проводил эти опыты с целью рассказать радиолюбителям и автомобилистам, что при использовании сетевых зарядных устройств через аккумуляторную батарею протекает пульсирующий ток с пиковым значением, в 2...4 раза большим, чем показывают амперметры. Поэтому зарядный ток необходимо устанавливать только по амперметру, показывающему среднее значение тока, например, магнитоэлектрическому.

Согласно Инструкции прекращать зарядку следует после того, как в течение трех часов интенсивного "кипения" плотность электролита и напряжение на выводах батареи будут оставаться постоянными. И не надо пугаться, когда напряжение достигнет 2,7 В на один элемент. Это происходит вследствие того, что отрицательные пластины покрыты положительными ионами водорода, возникает дополнительная разность потенциалов, достигающая 0,33 В. Она исчезнет через 2...3 ч после отключения зарядного устройства.

Зарядкой "асимметричным" током [3] мне не удалось заметно увеличить емкость ни у одной из десятка послуживших батарей. Это дает повод поставить под сомнение целесообразность такого метода зарядки.

Имея точный вольтметр, ареометром можно не пользоваться, а плотность электролита вычислить по эмпирической формуле: $\gamma = E_1 - 0,84$, где E_1 — ЭДС аккумулятора (одного элемента); γ — плотность электролита, приведенная к температуре 15 °С.

ЛИТЕРАТУРА

1. Батареи аккумуляторные свинцовые стартерные необслуживаемые. Инструкция по эксплуатации ЖУИЦ. 563410.003.ИЭ. 1989 г.
2. Боевода В. Простое тринисторное зарядное устройство. — Радио, 2001, № 11, с. 35.
3. Зудов А. Зарядное устройство. — Радио, 1979, № 3, с. 44.

Редактор — Л. Ломакин, графика — Л. Ломакин

Модернизированный бортовой компьютер

А. АЛЕХИН, г. Москва

Описанный ниже прибор — бортовой компьютер автомобиля — предназначен для отображения на табло в режиме реального времени параметров движения на маршруте, текущего времени и даты, характеристик и кодов неисправностей электронного блока управления двигателем, для управления исполнительными механизмами блока. Этот бортовой компьютер — очередной этап развития приборов, представленных в статьях А. АЛЕХИНА "Диагностический прибор для автомобильного двигателя с контроллером "Bosch" ("Радио", 2000, № 8, с. 36–39, 44); "Диагностический прибор для автомобильного двигателя с контроллерами "Bosch" и "Январь-5" ("Радио", 2001, № 7, с. 42, 43); "Диагностический прибор — маршрутный компьютер" ("Радио", 2002, № 1, с. 33–36).

Модернизированный бортовой компьютер рассчитан на совместную работу с блоками управления инжекторным двигателем "Bosch M1.5.4", "Bosch M1.5.4N" и семейств "Январь-5" и VS5 (с "Bosch-7" программа не работает). Компьютер имеет пять основных режимов работы: 1 — "часы/календарь"; 2 — "маршрутный компьютер"; 3 — "считывание и стирание кодов неисправностей блока управления"; 4 — "просмотр переменных блока управления"; 5 — "управление исполнительными механизмами блока управления" и два вспомогательных: 6 — "настройка", 7 — "отображение информации".

Переход от одного основного режима к другому выполняют нажатием на кнопку "Режим". Если задержать отпускание кнопки, на табло появится заставка с названием режима, в который переключился компьютер. Если же кнопку "Режим" удерживать нажатой более 3 с, происходит автоматический переход к очередному режиму. Переход во вспомогательные режимы возможен только при включении компьютера.

В режиме "часы/календарь" на табло отображаются текущее время ЧЧ:ММ:СС (ЧЧ — часы, ММ — минуты, СС — секунды, по два знака в месте) в центре поля дисплея крупным шрифтом, дата в формате ЧЧ—МЕСЯЦ—ГГГГ (ЧЧ — число, МЕСЯЦ — месяц прописью, ГГГГ — год полностью) в верхней строке дисплея мелким шрифтом и день недели прописью в нижней строке дисплея мелким шрифтом. По окончании каждой минуты звучит короткий тональный сигнал.

Для корректировки текущего времени и даты нажимают на кнопку "Выбор" и удерживают ее нажатой до тех пор, пока на табло не появится заставка "корректировка часов/календаря" (примерно 1,5 с). Корректируемый параметр выделяется миганием. Перебор корректируемых параметров выполняют той же кнопкой "Выбор".

Значение секунд текущего времени не корректируется, а принудительно обнуляется. Изменение остальных параметров происходит при нажатии на кнопки "Вправо" (увеличение значе-

ния) и "Влево" (уменьшение). Если кнопку удерживать нажатой, изменение параметра ускоряется. Для выхода из коррекции и установки времени/даты нажимают на кнопку "Режим".

В режиме часов при выключенном зажигании нажатие на кнопку "Вправо" установит максимальную задержку выключения компьютера (при удержании кнопки на дисплее будет выведена заставка, сообщающая об установке максимальной задержки выключения), а нажатие на кнопку "Влево" выключит компьютер. Нажатия на любые другие кнопки вновь установят запрограммированную задержку выключения.

В режиме "маршрутный компьютер" накапливаются и отображаются на табло следующие параметры движения:

- пройденное расстояние от начала маршрута. Максимальное установленное значение пройденного расстояния — 9999,999 км. С превышением этого значения подсчет параметров маршрута автоматически останавливается;

- время нахождения на маршруте (включенное зажигание). Максимальное установленное значение времени нахождения на маршруте — 99 ч 59 мин 59 с. С превышением этого времени подсчет параметров маршрута автоматически останавливается;

- время нахождения в движении (скорость движения не равна нулю). Максимальное установленное значение этого времени — 99 ч 59 мин 59 с. Превышение этого значения ведет к остановке подсчета параметров маршрута;

- текущая скорость движения автомобиля (км/ч). Не является накапливаемым параметром маршрута;

- средняя скорость движения на маршруте (в км/ч). При пройденном расстоянии менее 1 км средняя скорость не отображается на табло;

- общий расход топлива на маршруте (в литрах). Максимальное установленное значение израсходованного топлива — 9999,999 литра. С превышением этого значения подсчет параметров маршрута автоматически останавливается;

- средний расход топлива на маршруте (в литрах на 100 км). При пройденном расстоянии менее 1 км средний расход не отображается на табло;
- мгновенный расход топлива (в литрах в час). Не является накапливаемым параметром маршрута.

Перебирают отображаемые параметры кнопками "Влево" и "Вправо". Для остановки подсчета параметров маршрута (без их обнуления) необходимо однократно нажать на кнопку "Выбор". На экране появится заставка "Маршрут приостановлен". Возобновить подсчет параметров можно повторным нажатием на кнопку "Выбор"; при этом на экране появится заставка "Маршрут продолжен". Контроль остановки запуска параметров можно реализовать, просматривая "время нахождения на маршруте". При остановленном подсчете счетчик секунд остановлен.

Для начала нового маршрута (обнуления параметров маршрута) необходимо нажать и удерживать нажатой кнопку "Выбор" до появления на экране заставки "Начат новый маршрут" (примерно 1,5 с). Новый маршрут может начинаться автоматически при включении прибора, если с момента выключения зажигания прошло установленное число часов. Время, по истечении которого будет начат новый маршрут, — от 1 до 9 ч. Эта функция может быть отключена.

При начале нового маршрута информация о предыдущих маршрутах сохраняется в энергонезависимой памяти микроконтроллера. По каждому маршруту фиксируются дата и время начала маршрута, пройденное на маршруте расстояние, время нахождения на маршруте, время нахождения в движении, количество израсходованного на маршруте топлива. Максимальное число сохраняемых маршрутов — 256. При превышении этого значения новые маршруты замещают самые старые (память маршрутов имеет кольцевую организацию). Сохраненные маршруты можно прочитать из компьютера в режиме настройки по интерфейсу RS-232C с помощью специальной утилиты.

(Продолжение следует)

Редактор — Л. Ломакин

НАША КОНСУЛЬТАЦИЯ

ЩЕРБАКОВ Н. Счетчик времени телефонных разговоров. — Радио, 2003, № 6, с. 40, 41.

Печатные платы.

Устройство смонтировано на трех печатных платах одинаковых размеров. На одной из них (рис. 1) размещены детали собственно счетчика времени, на другой (рис. 2) — индикаторного узла, на третьей (ввиду простоты ее чертеж не приводится) — все остальные. Платы рассчитаны на применение резисторов МЛТ, конденсаторов КМ-6 (C1—C4, C9), КТ-1 (C6—C8) и К50-35, К52-1, К53-1 (остальные).

цы загибают на противоположной стороне платы). Выводы индикаторов припаивают к запрессованным в плату отрезкам луженого провода такого же диаметра. Выходы счетчика DD5 подключают к входам RS-триггера (DD3.1, DD3.2) проводочными перемычками (на рис. 1 показано соединение, соответствующее шестизначному телефонному номеру).

Платы располагают перпендикулярно одна другой в виде буквы П (с таким расчетом, чтобы плата с индикаторами оказалась в середине) и закрепляют в корпусе подходящих размеров. Для устранения возможных наводок (при большой длине соединительных

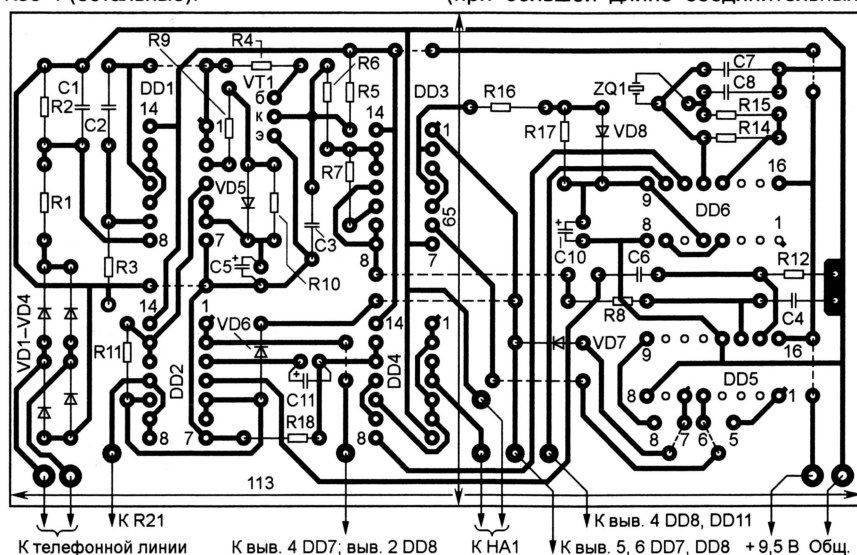


Рис. 1

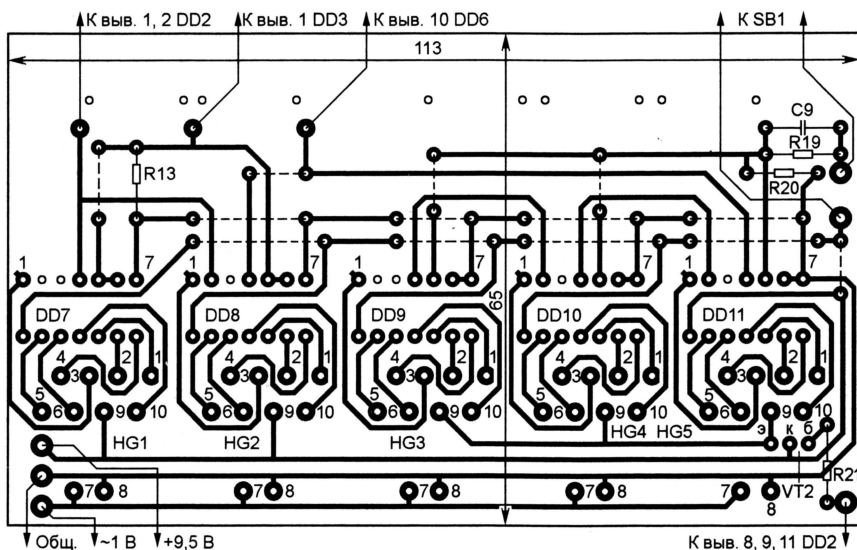


Рис. 2

Индикаторы HG1—HG5 устанавливаются на стороне печатных проводников и закрепляют на плате скобами из медного провода диаметром 0,8 мм (их кон-

проводов) входы (выводы 4) счетчиков DD8 и DD11 рекомендуется соединить с общим проводом через резистор сопротивлением 20...51 кОм.

КРАСНОВ В. Микроконтроллерный определитель выводов транзисторов. — Радио, 2005, № 8, с. 30, 31.

Печатная плата.

На плате (рис. 3) размещены все детали, кроме светодиодов. Впрочем, если применить светоизлучающие приборы в миниатюрном корпусе (напри-

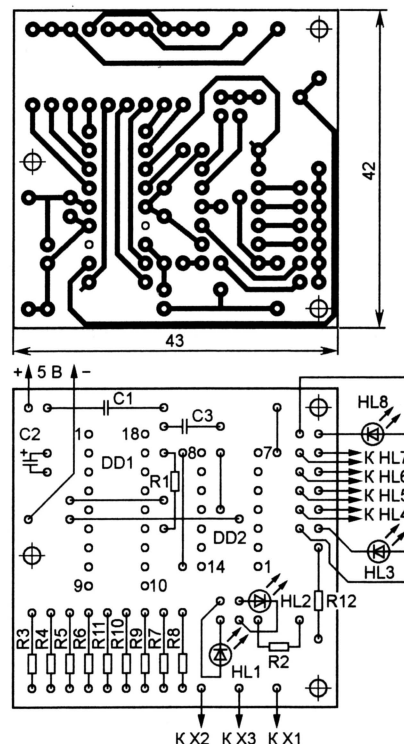


Рис. 3

мер, серий КИПД02, КИПД05, КИПМ01 или аналогичные им импортные), то их можно установить и на плате. Резисторы — МЛТ, конденсаторы — К50-35 (C2) и КМ (остальные). Резистор R2 монтируют перпендикулярно плате. Перемычки, соединяющие печатные проводники на противоположной стороне платы, изготавливают из тонкого монтажного провода в теплостойкой изоляции и впаявают до установки деталей на место.

БАЦУНОВ В. УМЗЧ в режиме класса В с комбинированной ООС. — Радио, 2003, № 12, с. 16—18.

Предварительный усилитель.

Поскольку номинальное входное напряжение УМЗЧ равно 2,5 В, а напряжение на линейном выходе магнитолы, музыкального мини-центра, компьютера обычно не превышает 0,7...0,8 В, для их совместного использования необходим предварительный усилитель сигнала. Схема возможного варианта такого усилителя на двохватном ОУ К157УД2 изображена на рис. 4. Монтируют его на небольшой плате, которую помещают в экран из латуни или луженой жести,

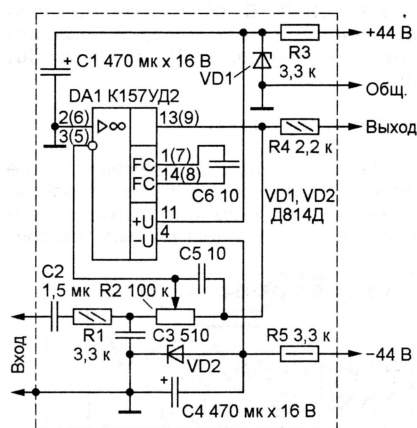


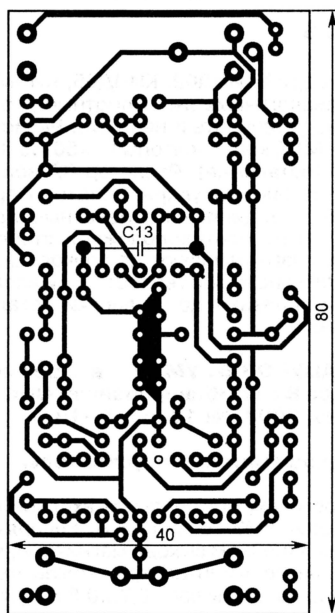
Рис. 4

для питания используют источник питания УМЗЧ. Громкость регулируют переменным резистором R2.

БУТОВ А. Автомат — регулятор громкости сигналов телефонного аппарата. — Радио, 2005, № 5, с. 46, 47.

Печатная плата.

Чертеж возможного варианта печатной платы устройства изображен на рис. 5. На ней размещены все детали, кроме микрофона, динамической головки и выключателя SA1. Плата рассчитана на монтаж постоянных резисторов СЗ-13, СЗ-14 (R14, R16), МЛТ (остальные), подстроечных СПЗ-386, конденсаторов К50-35 (C1), К52-1Б (C2, C4, C5, C15), К53-1А (C12, C14), К52-1 (C16) и КМ (остальные), транзисторов



начинающий

Имитатор качания маятника

М. ОЗОЛИН, с. Красный Яр Томской обл.

Это устройство создает эффект, имитирующий "качание маятника" часов. Оно было разработано для электронных часов, собранных по широкоизвестной схеме на микросхемах K176IE12 (K176IE18), K176IE13, K176ID2 (K176ID3). К часам устройство подключают четырьмя проводами, в самих часах ничего изменять не потребуется.

Схема устройства приведена на рис. 1. Каскад на транзисторе VT1 — узел автоматической коррекции. В момент переключения минут на коллекторе транзистора формируется плюсовой перепад напряжения, обнуляющий счетчик DD1 и устанавливающий DD2 методом параллельной загрузки в состояние 8. Из образцового сигнала частотой 1024 Гц, снимаемого с вывода 11 микросхемы K176IE12 часов, счетчик DD1 формирует сигналы управления

переключением с помощью дешифратора DD3 светодиодов HL1—HL9 с частотой 16 Гц на выводе 4 и сигналы управления направлением счета счетчика DD2 с частотой 1 Гц и скважностью 2 (меандр) на выводе 14 DD1. В изучении принципа работы устройства помогут приведенные на рис. 2 осциллограммы на выводах счетчика DD2.

Как упоминалось выше, импульсом коррекции часов (с вывода 10 микросхемы K176IE12) происходят обнуление счетчика DD1 и запись в буферные регистры счетчика DD2 двоичного кода, соответствующего числу 8 (со входов D1—D8). При этом загорается светодиод HL9.

После воздействия импульса коррекции счетчик DD2 находится в состоянии 8, на его входе U (вывод 10) низкий уровень. Поэтому с каждым фронтом импульса плюсовой полярности на выводе 15 DD2

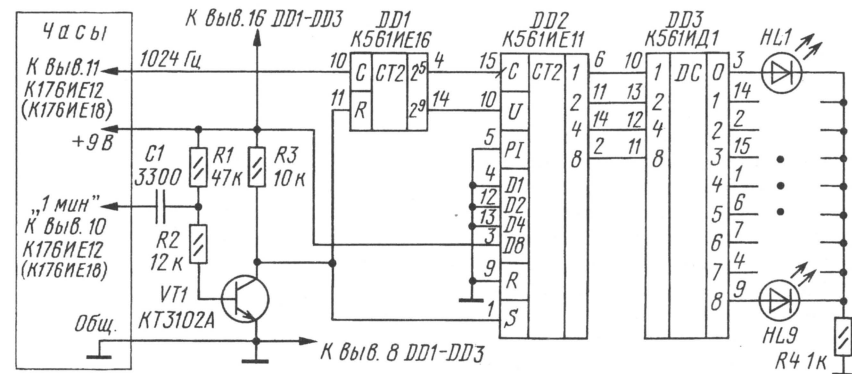


Рис. 1

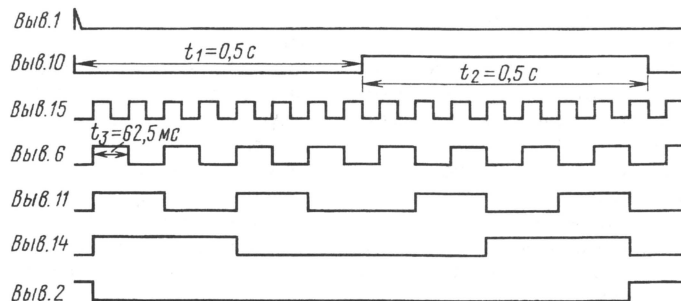


Рис. 2

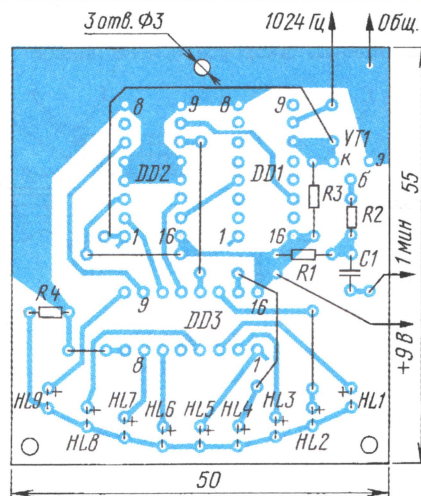


Рис. 3

его состояние уменьшается на единицу.

При этом поочередно зажигаются и гаснут светодиоды HL9—HL1 (наподобие "бегущего огня"), вызывая имитацию "качания маятника" в одну сторону.

После воздействия на счетный вход (вывод 15) DD2 восьми импульсов плюсовой полярности зажигается светодиод HL1, на входе управления направлением счета счетчика DD2 низкий уровень сменяется высоким. Поэтому в течение следующих восьми импульсов состояние счетчика DD2 будет увеличиваться на единицу, вызывая "качание" в обратную сторону.

После зажигания светодиода HL9 высокий уровень на выводе 10 DD2 изменится на противоположный, описанный процесс повторится. В результате все девять светодиодов, расположенных дугообразно, будут переключаться по принципу, описанному автором в статье "Бегущие огни" с автореверсом ("Радио", 2003, № 11, с. 52), создавая эффект "качания маятника" с периодом 1 с.

Устройство собрано на печатной плате (рис. 3) из односторонне фольгированного стеклотекстолита.

Электронные предохранители с применением герконов

О. СИДОРОВИЧ, г. Львов, Украина

В статье автор предлагает ряд оригинальных электронных предохранителей для низковольтных цепей, выполненных с использованием реле или реле и тиристоров. Возврат предохранителей в исходное состояние осуществляется кнопкой.

Как известно, геркон (герметичный контакт) представляет собой баллон из стекла, в который впаяны контакты из сплава с большой магнитной проницаемостью. Если геркон поместить в магнитное поле, то возникающая в зазоре магнитная сила притягивает контакты, которые замкнутся после того, как эта сила превысит механические силы упругости контактов [1]. Если катушку, намотанную на корпусе геркона, подклю-

На рис. 1 показана конструкция самодельного герконового реле. Стекланный корпус геркона 1 служит каркасом для обмотки 2 катушки реле. Щечки 3 катушки, представляющие собой текстолитовые шайбы с вырезами для выводов, приклеивают по краям геркона КЭМ-3 эпоксидным клеем 4. Чертеж щечки дан на рис. 2. Обмотка катушки содержит 60 витков провода ПЭВ диаметром 0,3 мм (для тока срабатывания

протекает ток, ограниченный параллельным соединением сопротивлений обмотки реле К1 и цепи индикации, состоящей из светодиода HL1 и резистора R1. Свечение светодиода HL1 говорит об отключении предохранителя. Для запуска предохранителя необходимо кратковременно нажать на кнопку SB1.

Ток срабатывания предохранителя выбирают не более 1 А исходя из максимально допустимого тока для герконов КЭМ-3. Чертеж печатной платы предохранителя показан на рис. 4.

На рис. 5 представлена схема еще одного варианта электронного предохранителя. В его состав, кроме герконового реле К1, выполненного в соответствии с рис. 1, входит трингистор VS1. Устройство запускается кратковременным нажатием кнопки SB1. При этом открывается трингистор VS1 и по цепи: плюс источника питания, трингистор VS1, обмотка реле К1, нормально замкнутые контакты К1.1, нагрузка — протекает ток. При уменьшении сопротивления нагрузки, т. е. при возникновении токовой перегрузки или короткого замыкания, увеличивается ток через обмотку реле К1, контакты К1.1 которого размыкаются, размыкая цепь трингистора VS1. Трингистор VS1

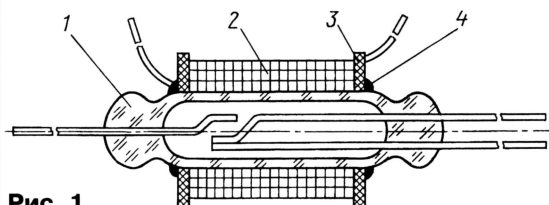


Рис. 1

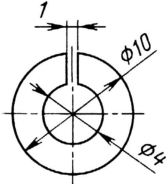


Рис. 2

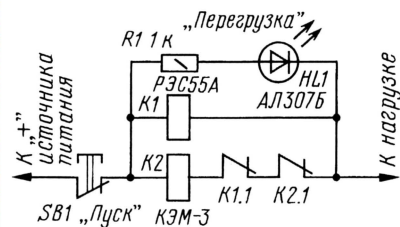


Рис. 3

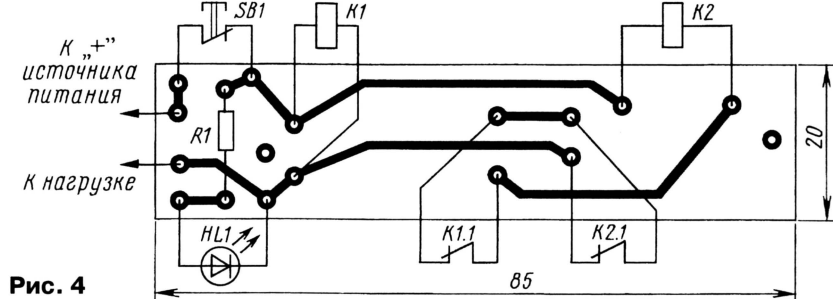


Рис. 4

динить в разрыв цепи, ток через которую необходимо контролировать, то геркон можно использовать в качестве элемента электронного предохранителя, объединяющего в себе датчик тока (катушка) и устройство отключения цепи (контакты). Рассмотрим электронные предохранители на базе геркона КЭМ-3, имеющие такие параметры: время срабатывания — 1,5 мс; время отпускания — 2 мс; максимальный коммутируемый постоянный ток — 1 А; максимальное сопротивление контактов — 0,15 Ом; наработка на отказ — 10^6 циклов.

Отсюда видно, что быстроедействие геркона выше, чем у обычного реле и уж тем более выше, чем у плавких вставок. У плавкой вставки ВП1-1, например, по техническим условиям оно равно 0,1 с при четырехкратной перегрузке. Для описываемых ниже электронных предохранителей необходимо герконо-

1 А). Сопротивление обмотки настолько мало, что им можно пренебречь.

На рис. 3 представлена схема простого электронного предохранителя, выполненного на таком реле (К2). Кроме того, в его состав входит герконовое реле заводского изготовления РЗС55А (К1). В нормальном режиме ток нагрузки проходит по цепи: входная клемма ("+" источника питания), замкнутые контакты кнопки SB1, обмотка реле К2, нормально-замкнутые контакты К1.1 реле К1, нормально-замкнутые контакты К2.1 реле К2. При возникновении токовой перегрузки резко возрастает ток через обмотку реле К2, что вызывает срабатывание его контактов К2.1, которые размыкают цепь тока. К реле К1 подводится почти все напряжение питания, реле срабатывает и размыкает цепь обмотки реле К2 контактами К1.1. Таким образом, разрывается цепь тока перегрузки, и через аварийную нагрузку

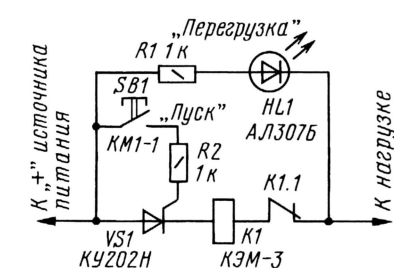


Рис. 5

закрывается, отключая тем самым источник питания от нагрузки. При этом загорается светодиод HL1, свидетельствуя об отключении предохранителя. Для его повторного запуска необходимо кратковременно нажать кнопку SB1. Падение напряжения на предохранителе определяется в основном падением напряжения на трингисторе VS1 (около 1,5 В при токе 1 А). Чертеж печатной платы предохранителя дан на рис. 6.

Блок питания для домашней лаборатории

А. ПАТРИН, г. Кирсанов Тамбовской обл.

Блоки питания мы описывали много, и несмотря на это, предлагаем еще один. Он несложен в изготовлении, собран на современных микросхемах, обеспечивает большой ток нагрузки и возможность регулирования выходного напряжения в широких пределах.

Каждый радиолюбитель знает, как необходим в домашней лаборатории стабилизированный источник питания. Сейчас в продаже появилось очень много малогабаритных радиоэлементов, в том числе и импортных, что позволяет создавать компактные конструкции, освобождая тем самым место на рабочем столе. Немало радиолюбительских блоков питания (БП) собрано на микросхемах КР142ЕН12, КР142ЕН22А. Но беда в том, что нижний предел регулировки выходного напряжения при использовании этих микросхем получается не ниже 1,2...1,3 В. Радиолюбителям иногда необходимо и меньшее напряжение, например, 0,5...1 В. Я встречал много радиолюбителей, которые искали БП с интервалом регулирования 0...30 В и током не менее 3...5 А, хотя нижний предел выходного напряжения на практике им не требовался и столь большой ток тоже. Но... такова психология человека, все брать и делать "про запас".

Цель статьи — предложить несколько технических решений, позволяющих строить БП на упомянутых микросхемах с регулируемым выходным напряжением от нуля. При разработке конструкций были поставлены следующие цели: минимум деталей не дорогих и не дефицитных, простота в налаживании и управлении.

На рис. 1 показана схема одного из вариантов БП для домашней лаборатории с интервалом регулирования выходного напряжения 0...30 В и допустимым током нагрузки 3...4 А. Выпрямленное входное напряжение подается с диодного моста на сглаживающий конденсатор С1 и с него через микросхему DA1 и мощный составной транзистор (VT1, VT2), служащий для увеличения допустимого тока нагрузки, на выход стабилизатора. Резисторы R3 и R5 образуют делитель напряжения, входящий в управляющую цепь. Выходное напряжение зависит от сопротивления переменного резистора R3, увеличиваясь с увеличением его сопротивления.

При обычном включении (если левый по схеме вывод переменного резистора R3 соединен с общим проводом) напря-

жение на выходе стабилизатора рассчитывают по формуле

$$U_{\text{вых}} = U_{\text{вых.мин}} (1 + R3/R5),$$

где $U_{\text{вых.мин}}$ — упомянутое выше минимальное напряжение стабилизации, равное 1,2...1,3 В.

Чтобы обеспечить регулирование выходного напряжения от нуля, на левый (по схеме) вывод переменного резистора R3 подано напряжение -1,25 В, стабилизированное стабилитроном VD1.

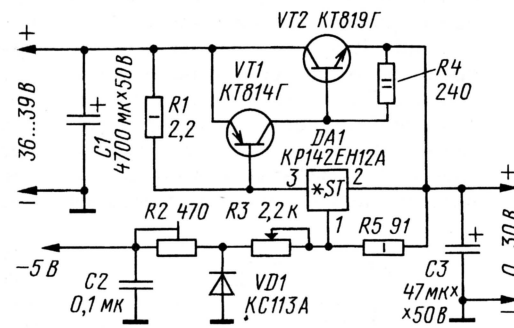


Рис. 1

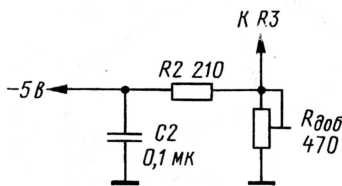


Рис. 2

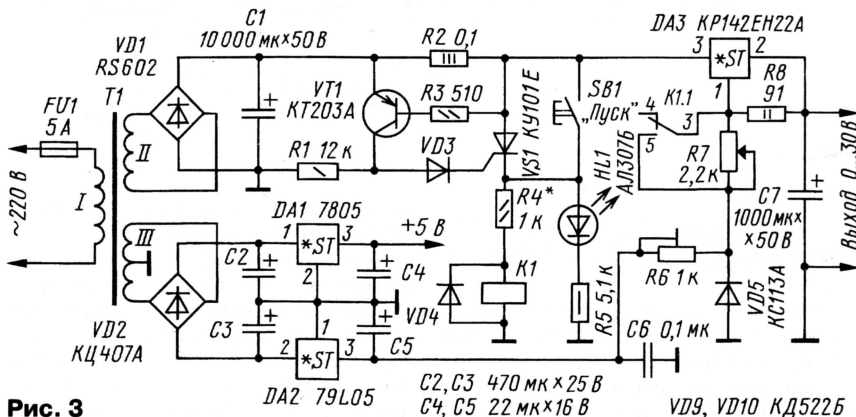


Рис. 3

Оно получено из напряжения -5 В, взятого в авторском варианте от отдельной обмотки сетевого трансформатора, выпрямленного диодным мостом КЦ407А

и стабилизированного микросхемой 79L05.

Микросхема КР142ЕН12А (DA1) довольно широко распространена среди радиолюбителей. Она представляет собой регулируемый стабилизатор напряжения компенсационного типа [1, 2], имеет интервал выходного напряжения от 1,2 до 37 В, допустимый ток нагрузки до 1,5 А, встроенные цепи защиты от перегрева и перегрузки по току. Микросхема выполнена в корпусе КТ-28-2 (аналогичен импортному TO-220). Ее можно заменить микросхемой LM317 без каких-либо изменений в схеме рис. 1. Если у радиолюбителя нет стабилитрона КС113А (VD1), вместо него можно установить подстроечный резистор R_{доб.}, в соответствии со схемой рис. 2. Источник отрицательного напряжения в этом случае обязательно должен быть стабилизированным.

Транзистор VT2 и микросхему DA1 (см. рис. 1) необходимо закрепить на теплоотводах. Теплоотводящий фланец микросхемы DA1 электрически соединен с выводом 2, поэтому, если микросхема DA1 и транзистор VT2 располагаются на одном теплоотводе, они должны быть изолированы друг от друга. В авторском варианте микросхема DA1 была установлена на отдельный небольшой теплоотвод, который гальванически не связан с транзистором VT2 и его теплоотводом. Мощность, рассеиваемая микросхемой с теплоотводом, не должна превышать 10 Вт.

Расположение деталей не критично, но для получения хорошей температурной стабильности необходимо применить термостабильные резисторы и располагать их подальше от источников тепла. Общая нестабильность выходного напряжения зависит от многих факторов, но обычно не превышает 0,25 % после прогрева. После выхода устройства на стабильный тепловой ре-

жим минимальное выходное напряжение 0 В устанавливают резистором R2 (см. рис. 1) или R_{доб.} (рис. 2). Желательно, чтобы эти резисторы были много-

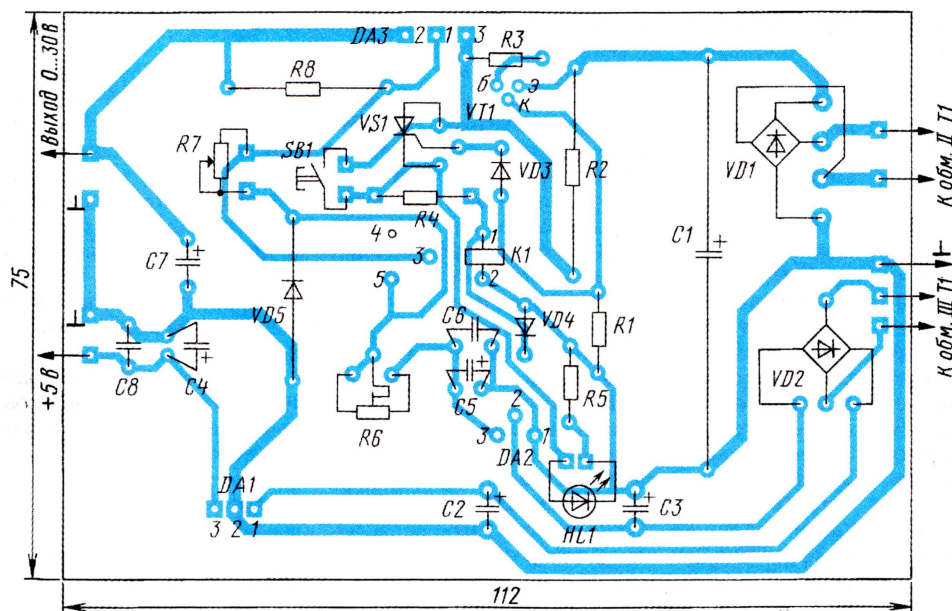


Рис. 4

обратными подстроечными, из серии СП5.

Ток нагрузки микросхемы KP142EH12A ограничен 1,5 А. В настоящее время выпускают и продают микросхемы с аналогичными параметрами, но на больший ток нагрузки. Это LM350 (3 А), LM338 (5 А). Они позволяют обойтись без дополнительных элементов (транзисторы VT1 и VT2 на рис. 1). Данные этих микросхем можно найти на сайте National Semiconductor [3].

Есть микросхемы, рассчитанные на еще больший ток нагрузки. Импортные микросхемы LT1083, LT1084, LT1085 могут работать при пониженном напряжении между входом и выходом (до 1...1,3 В) и обеспечивают на выходе стабилизированное напряжение в интервале 1,25...30 В при токе нагрузки 7,5; 5 и 3 А соответственно. Отечественный аналог KP142EH22 имеет максимальный выходной ток 7,5 А. При таком токе режим стабилизации гарантирован при напряжении вход—выход не менее 1,5 В. Микросхемы имеют встроенную защиту от превышения допустимого тока нагрузки и тепловую защиту от перегрева корпуса. Эти стабилизаторы обеспечивают нестабильность выходного напряжения при изменении выходного тока от 10 мА до максимального значения не хуже 0,1 % на вольт [4].

На рис. 3 показана схема БП для домашней лаборатории, собранного на микросхеме KP142EH22A (DA3). Сетевое напряжение понижает трансформатор T1. Если БП предполагают использовать на полную нагрузку (30 В и 7,5 А), то его мощность должна быть не менее 270...280 Вт, а вторичная обмотка II рассчитана на ток не менее 7,5 А.

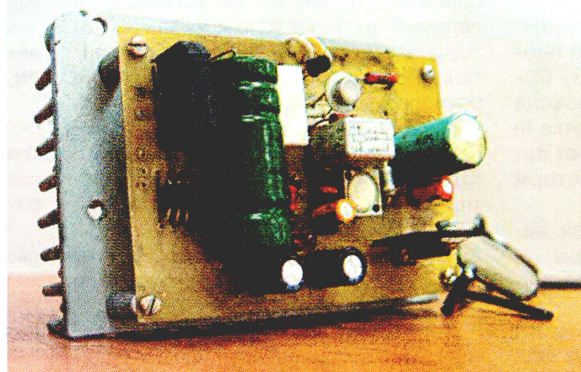


Рис. 5

Обмотка III — вспомогательная, она нужна для получения напряжения -5 В, обеспечивающего регулировку выходного напряжения основного стабилизатора от нуля, как описано выше. Но если уж есть выпрямитель напряжения -5 В, автор счел целесообразным дополнить устройство и выпрямителем +5 В, поскольку при разработке некоторых радиолюбительских устройств необходимо двуполярное питание. Эти вспомогательные напряжения выпрямлены диодным мостом VD2 и сглажены конденсаторами C2, C3 и стабилизированы микросхемами DA1, DA2. Выход +5 В был использован для блока индикации на микросхеме KP572PB2A.

Основной выпрямитель собран на диодном мосте VD1 и сглаживающем конденсаторе C1. Далее в цепь нагрузки включен узел защиты [5], содержащий транзистор VT1, тринистор VS1 и реле K1. При превышении током нагрузки допустимого значения (примерно 7 А) падение напряжения на резис-

торе R2 становится достаточным для открывания транзистора VT1. Через него и диод VD3 протекает ток, открывающий тринистор VS1, срабатывает реле K1, своими контактами K1.1 замыкающее резистор R7 цепи управления стабилизатором. Напряжение на выходе стабилизатора, а следовательно, и на нагрузке становится равным нулю. Об аварийном режиме сигнализирует загоревшийся светодиод HL1. После устранения причин перегрузки устройство включают нажатием кнопки SB1 "Пуск". Ее контакты замыкают тринистор, выключая его.

Этот узел защиты БП работает безотказно, и я его применил во многих своих конструкциях, хотя способов или схемных решений системы защиты великое множество и описаны они были как в журнале "Радио" [6], так и в другой радиотехнической литературе. Выбор схемных решений защиты — на любителя.

Оксидный конденсатор C7 нужен для снижения выходного сопротивления БП на высоких частотах, он также понижает напряжение шумов и пульсаций. Если этот конденсатор танталовый, то его номинальная емкость должна быть не менее 22 мкФ, если алюминиевый — не менее 150 мкФ. Увеличение емкости конденсатора C7 не запрещается. Если он расположен на расстоянии более 15 см и соединен с БП проводом сечением менее 1 мм², на плате между выводом 2 стабилизатора DA3 и общим проводом ставят дополнительный оксидный конденсатор емкостью не менее 10 мкФ.

Емкость конденсатора фильтра C1 можно выбрать приблизительно, из расчета 2000 мкФ на 1 А выходного тока. Он должен быть на напряжение не менее 50 В. В авторском варианте БП работает с ограничением тока до 5 А. Для снижения температурного дрейфа выходного напряжения резистор R8 должен быть либо проволочным, либо металлофольговым, с допуском не хуже 1 %. Подобные же требования предъявляются и к переменному резистору R7. Их температурный коэффициент сопротивления не должен быть более 30 ppm/°C (3·10⁻⁵). В авторском варианте применен резистор R8 СПП—3А с допустимым отклонением от номинала не более 5 %. Если в наличии не окажется стабилитрона KC113A, можно применить узел, схема которого показана на рис. 2.

Мощность P , рассеиваемую на стабилизаторе DA3, можно рассчитать по формуле

$$P = (U_{вх} - U_{вых}) I_{вых}$$

где $U_{вх}$ — напряжение на входе стабилизатора (выпрямленное); $U_{вых}$ — напряжение на выходе стабилизатора (на нагрузку); $I_{вых}$ — выходной ток (ток нагрузки).

Например, входное напряжение, подаваемое на микросхему, равно 39 В, выходное напряжение на нагрузке — 30 В, ток нагрузки — 5 А. Подставляем значения в формулу и получаем мощность, рассеиваемую микросхемой, 45 Вт. Видим, что крайне невыгодны режимы работы БП с малым выходным напряжением и большим током, поскольку мощность, рассеиваемая на стабилизаторе, может оказаться очень большой, даже недопустимой для микросхемы. Это следует иметь в виду при работе с БП.

В данной конструкции, учитывая работу с неполной нагрузкой, применен сетевой трансформатор ОСМ-0,1УЗ мощностью 100 Вт. Магнитопровод — ШЛ25/40-25. Первичная обмотка содержит 734 витка провода ПЭВ-2 диаметром 0,6 мм. Обмотка II содержит 90 витков провода ПЭВ-2 диаметром 1,6 мм. Обмотка III содержит 46 витков (с отводом от середины) провода ПЭВ-2 диаметром 0,4 мм.

На рис. 4 представлен чертеж печатной платы БП. Ее размеры — 112×75 мм. Она закрепляется четырьмя винтами на игольчатом теплоотводе. Внешний вид собранной платы БП показан на рис. 5. Микросхема DA3 изолирована от теплоотвода тепло-

проводящей прокладкой и прижата к нему стальной пружинящей пластиной. Конденсатор C1 составлен из двух параллельно соединенных конденсаторов K50-24 или аналогичных емкостью 4700 мкФ на номинальное напряжение не ниже 50 В (на фотографии один конденсатор отпаян для улучшения обзора платы). Можно заменить конденсатор K50-6 10000 мкФ на 50 В или аналогичный импортный. Конденсатор должен располагаться как можно ближе к плате, а провода, соединяющие его с платой, быть как можно короче. Конденсатор C7 — K50-6 или Weston. Блокировочный конденсатор C8, включенный параллельно C4, на схеме не указан, но отверстия в печатной плате под него есть. Он может понадобиться при питании разных ВЧ или цифровых устройств. Подойдет конденсатор емкостью от 0,01 до 0,1 мкФ на напряжение не менее 10...15 В.

Диодный мост RS602, рассчитан на максимальный ток 6 А. Допустимо использовать и другие, аналогичные по параметрам. Мост можно заменить четырьмя отдельными диодами, рассчитанными на ток не менее 10 А. Если не располагать диоды отдельно от печатной платы, ее придется переделать. Диоды могут быть КД203А, КД203В, КД203Д или КД210А, КД210Г. Транзистор КТ203А (VT1) можно заменить на КТ361Г.

Сопrotивление резистора защиты по току R2 (см. рис. 4) рассчитывают по формуле

$$R2 = 0,7 / I_{макс}$$

где $I_{макс}$ — ток срабатывания узла защиты, равный или меньший максимально

допустимого тока микросхемы стабилизатора.

Автор установил порог срабатывания защиты 5 А. При этом $R2 = 0,7/5 = 0,14$ Ом. Хочу отметить, что при токе 7,5 А микросхема ни мной, ни повторившими конструкцию радиолюбителями не эксплуатировалась. В узле защиты БП применено реле РЭС10 паспорт PC4.524.302. Здесь тоже допустимо использовать другие маломощные реле.

БП начинают работать сразу после сборки. После прогрева резистором R2 (см. рис. 1), $R_{доб}$ (см. рис. 3) или R6 (см. рис. 4) выставляют 0 В на выходе при установке переменного резистора R7 в положение, соответствующее минимальному его сопротивлению.

ЛИТЕРАТУРА

1. Нефедов А., Головина В. Микросхемы KP142EH12. — Радио, 1993, № 8, с. 41, 42.
2. Бирюков С. Микросхемные стабилизаторы напряжения широкого применения. — Радио, 1999, № 2, с. 69—71.
3. <http://www.national.com/catalog/AnalogRegulators_LinearRegulatorsStandardNP_PositiveVoltageAdjustable.html>.
4. LT1083/LT1084, LT1085 7.5A, 5A, 3A Low Dropout Positive Adjustable Regulators. — <<http://www.linear.com/pc/downloadDocument.do?navid=H0,C1,C1003,C1040,C1055,P1281,D3741>>.
5. Морохин Л. Лабораторный источник питания. — Радио, 1999, № 2, с. 35, 36; № 8, с. 56.
6. Нечаев И. Защита малогабаритных сетевых блоков питания от перегрузок. — Радио, 1996, № 12, с. 46.

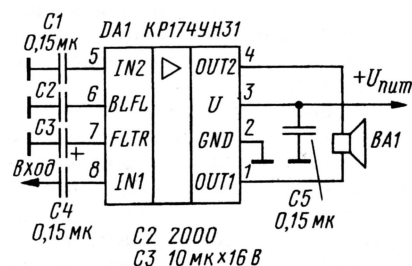
Редактор — В. Поляков, графика — Ю. Андреев, фото — автора

Простой УМЗЧ на микросхеме KP174УН31

И. ФЕДОРОВ, г. Санкт-Петербург

В радиолюбительской практике нередко встает вопрос о конструировании простого УМЗЧ малой мощности (до 1 Вт). Чаще всего для этих целей используют микросхемы К174УН4А или К174УН4Б. К сожалению, они обладают рядом недостатков — минимальным напряжением питания 5,4 В (что делает невозможным их применение в конструкциях с меньшим $U_{пит}$) и сравнительно большим коэффициентом нелинейных искажений. Это, в свою очередь, затрудняет их использование в малогабаритных радиоприемниках из-за низкого качества звучания передач.

Вышеперечисленных недостатков в значительной мере лишен усилитель



тель, собранный на другой отечественной микросхеме — KP174УН31 (см. рисунок). Устройство содержит минимальное число внешних компонентов и не нуждается в налаживании. Кроме того, усилитель обладает меньшим коэффициентом гармоник и допускает изменение питающего напряжения от 2,1 до 6,6 В (по ТУ). Правда, при уменьшении $U_{пит}$ максимальная выходная мощность снижается с 1,2 Вт до нескольких десятков милливатт. Допустима работа микросхемы в стереофоническом режиме.

Усилитель не критичен к типам примененных деталей. Следует отметить, что для нормальной работы усилителя сопротивление динамической головки не должно быть меньше 8 Ом. Собранный по приведенной схеме УМЗЧ успешно работает в самостоятельно сконструированном радиоприемнике уже около года.

Редактор — В. Поляков, графика — Ю. Андреев

Шар: красный или зеленый?

Д. МАМИЧЕВ, Смоленская обл., Починковский р-н, п/о Шаталово-1

Известно, что пересечение в пространстве двух пучков света различного цвета не приводит к их смешению. На экран или в глаз наблюдателя попадает свет цвета источника. Известно также, что прозрачный шар является собирающей линзой. Эти два факта и легли в основу описываемой ниже конструкции. Если стеклянный шар (рис. 1) одновременно подсвечивать двумя разноцветными светодиодами, то для одного наблюдателя (1) в окрестностях главной оптической оси весь шар будет казаться красным, а для другого наблю-

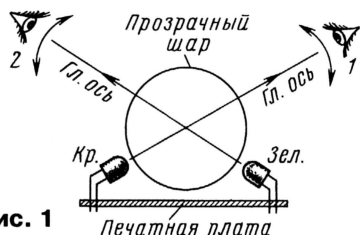


Рис. 1

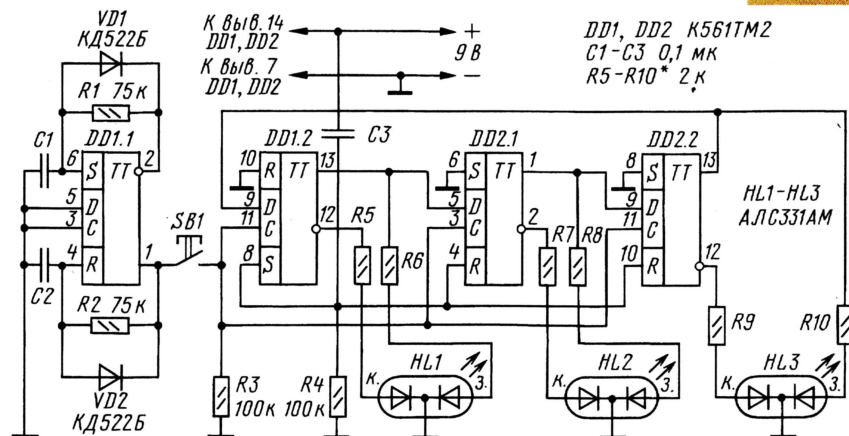


Рис. 2

дателя (2) — зеленым. За пределами главных осей шар светиться не будет вообще. Если добавить светодиодов, разместив их по кругу, то соответственно увеличится число цветов шара по различным направлениям. Еще более интересный вариант можно реализовать, если одноцветные светодиоды заменить многоцветными. Схему такой установки можно использовать при конструировании различных СДУ или при создании различного рода мигалок, при разработке фокусов или игр. Об одном варианте такой игры далее.

На страницах журнала неоднократно описывалась игра "Красный или зеленый" ("Радио", 1988, № 12, с. 55; 1986, № 6, с. 34; 1985, № 9, с. 54). В предлагаемом варианте число играющих в одном цикле увеличено до трех, угадывание цвета происходит после его "выпадения".

Схема устройства изображена на рис. 2.

Игроки по очереди нажимают и отпускают кнопку SB1. В результате после каждого хода один из трех светодиодов светит зеленым светом (остальные — красным). Автор хода, зная "свой" цвет, пытается угадать цвет любого из соперников. В случае успеха он получает балл. Вторым пытается угадать тот, чей цвет угадывал автор. После этого следующий по очереди делает свой ход. Побеждает тот, кто набирает больше баллов в серии ходов. Во время игры участники размещаются вокруг шара с интервалом примерно в 120°.

Теперь о схеме самого устройства. На триггере DD1.1 собран генератор, ра-

изображены на рис. 3. Детали светильника подбирают из различных использованных пластиковых емкостей, пробок, крышек, авторучек. Соединяют их с помощью клея. Остальные радиодетали, кроме кнопки и выключателя, монти-



Рис. 3

руют на плате размерами 30×55 мм из односторонне фольгированного гетинакса (рис. 4). Межплатное соединение осуществляется с помощью семи проводов, связанных в жгут, который пропускают через корпус стойки светильника, изготовленный из авторучки. Вместо стеклянного шара Ø2...4 см можно использовать прозрачный резиновый шар — "попрыгунчик" или пластиковый, заполненный жидкостью (различные брелоки). Вместо микросхем К561ТМ2 подойдет К176ТМ2, вместо АЛС331АМ можно использовать L-239EGW. Настройка собранного уст-

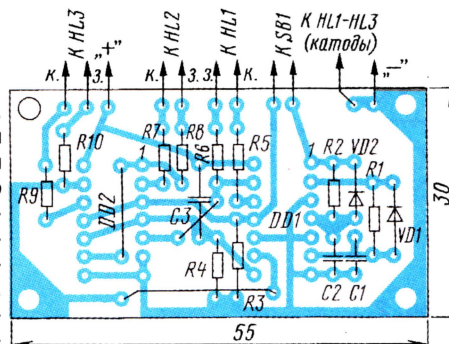


Рис. 4

ботающий на частоте около 100 Гц. Триггеры DD1.2—DD2.2 соединены в кольцевой счетчик. После включения питания, благодаря цепи C3R4, триггер DD1.2 устанавливается в единичное состояние (горит зеленый кристалл светодиода), остальные — в нулевое состояние (светодиоды горят красным). После замыкания кнопки SB1 логическая единица, записанная в DD1.2, начинает "передвигаться" по триггерам DD2.1—DD2.2 и вновь DD1.2 с каждым тактовым импульсом генератора. После отпущения кнопки логическая единица остается в одном из триггеров, указывая тем самым выпавший "зеленый шар".

В заключение — несколько слов о конструкции игры. Светодиоды смонтированы на отдельной плате в форме круга (размеры подбираются по форме светильника). Возможные варианты

ройства сводится к подбору резисторов R5—R10 для одинакового свечения светодиодов и их ориентировки на плате для установки направлений свечения шара. Основная плата с органами управления и батареей монтируется в отдельном от светильника футляре.

Редактор — В. Поляков, графика — Ю. Андреев, фото — автора

Прибор для проверки мощных полевых транзисторов

В. ВАСИЛЬЕВ, г. Георгиевск, Ставропольский край

В последние годы в широкой продаже появились мощные полевые транзисторы с индуцированным каналом, обладающие хорошими электрическими характеристиками. Они все чаще вытесняют биполярные транзисторы в источниках вторичного питания и усилителях. Как правило, эти устройства содержат двухтактный выходной каскад и требуют использования пар транзисторов с близкими параметрами.

Для оперативной проверки и подбора пар полевых транзисторов с индуцированным каналом *n*- и *p*-типа предлагаю простой измерительный прибор, схема которого приведена на рис. 1. С его помощью можно оценить остаточный ток стока $I_{C\text{ост}}$ закры-

В режиме проверки остаточного тока затвор соединен с истоком, т. е. транзистор закрыт. У хорошего транзистора остаточный ток стока очень мал и напряжение $U_{СИ}$ практически равно напряжению источника питания $U_{ПИТ}$. При повышенном остаточном токе стока напряжение $U_{СИ}$ будет ниже $U_{ПИТ}$. При необходимости значение остаточного тока стока можно вычислить по формуле

$$I_{C\text{ост}} = (U_{ПИТ} - U_{СИ})/R_3.$$

В случае межэлектродного пробоя измеренное напряжение $U_{СИ}$ может снизиться вплоть до нулевого значения. Напряжение источника питания измеряют нажатием на кнопку SB1 "Вкл" до подключения транзистора к гнездам прибора.

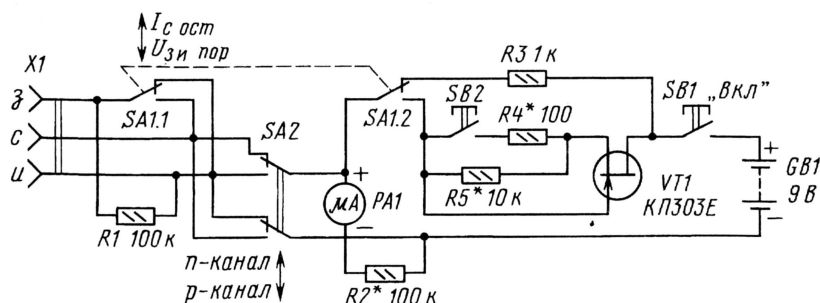


Рис. 1

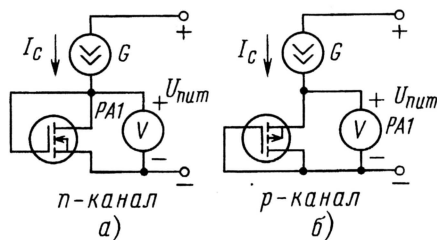


Рис. 2

того транзистора, определить отсутствие пробоя между электродами, измерить пороговое напряжение $U_{ЗИ\text{пор}}$ и также оценить в первом приближении крутизну сток-затворной (проходной) характеристики *S*. Отсчет показаний производится при нажатой кнопке SB1 "Вкл" по шкале встроенного вольтметра или мультиметра, если прибор выполнен в виде приставки к нему.

В этом приборе измерение порогового напряжения производится при токе стока 250 мкА, который задает источник тока, собранный на полевом транзисторе VT1. Источник, обладая большим внутренним сопротивлением, принудительно задает требуемый ток стока проверяемого транзистора, при этом вольтметр показывает напряжение $U_{ЗИ}$, соответствующее заданному току. Эквивалентные схемы измерения порогового напряжения полевых транзисторов с каналом *n*- и *p*-типа приведены соответственно на рис. 2, а и рис. 2, б. При нажатии на кнопку SB2 отдаваемый источником ток возрастает до 10 мА. Значение $U_{ЗИ1}$, полученное в этом случае, используется для приближенной оценки крутизны проходной характеристики:

$S = (I_{C1} - I_{C\text{пор}})/(U_{ЗИ1} - U_{ЗИ\text{пор}})$. Измерение $U_{ЗИ\text{пор}}$ можно производить и при более высоком значении I_C , например, при 500 мкА. Для подбора пар транзисторов это практически не

имеет значения, зато позволяет точнее определить крутизну проходной характеристики, а также снижает требования к внутреннему сопротивлению вольтметра.

Как иллюстрация сказанного, на рис. 3 показаны начальные участки реальных транзисторов с индуцированным каналом *n*-типа КП707В и IRF640N. Там же показано, как найти на характеристике точку, соответствующую $I_{C\text{пор}}$ и $U_{ЗИ\text{пор}}$. Аналогично на характеристике откладывают и значения I_{C1} и $U_{ЗИ1}$.

Вольтметром PA1 в приборе служит микроамперметр М2001 на 100 мкА с добавочным резистором R2. Отклонение стрелки на всю шкалу соответствует напряжению 10 В. Можно использовать микроамперметр другого типа со шкалой на 100 мкА либо готовый вольтметр, но его внутреннее сопротивление должно быть достаточно большим, по крайней мере, более 50 кОм, чтобы не вносить заметной погрешности в измерения. Переключатели SA1, SA2 — П2К с фиксацией либо тумблеры МТ-3. Кнопки SB1, SB2 — П2К без фиксации либо КМ-1-1. Резисторы — МЛТ. Источником питания служит батарея "Крона". Корпус и гнезда для подключения транзистора могут быть любыми.

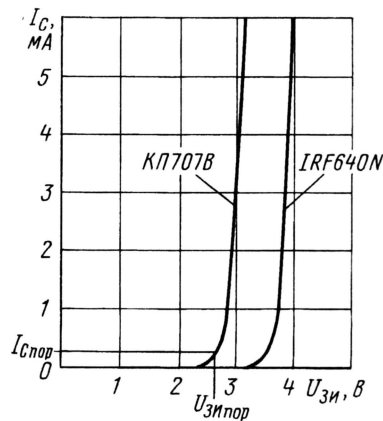


Рис. 3

Налаживание прибора сводится к подбору резисторов R5 и R4 в цепи истока полевого транзистора VT1 для получения тока соответственно 250...500 мкА и 10 мА. Ток можно измерять, подключив миллиамперметр между точкой соединения резистора R5 с затвором VT1 и минусом источника питания. Кроме этого, необходимо подобрать добавочный резистор R2 для получения требуемого предела измерения вольтметра.

Реликвии — 80 лет!

В этом году любительская радиосвязь в нашей стране отметила 80-летие. Выход в эфир из Нижнего Новгорода радиостанции R1FL послужил хорошим стимулом для энтузиастов любительской радиосвязи, и вскоре в эфире уже зазвучали их полугалегальные или нелегальные позывные — ведь государственной регистрации любительских радиостанций и присвоения им позывных сигналов в то время еще не было. Она появилась лишь в 1926 г.

Документальных свидетельств освоения в нашей стране коротких волн, увы, сохранилось совсем немного. Это в основном публикации в журналах "Радиолучитель" и "Радио — всем". А вот "живых" QSL-карточек советских радиостанций, относящихся к началу периода, найти практически невозможно — время и, в частности, война сделали свое дело, уничтожив многие радиолучительские архивы.

В редакции журнала "Радио" есть лишь несколько QSL 1928 и 1929 гг. Как выглядели карточки более раннего периода, можно увидеть на некоторых сайтах зарубежных радиолучителей, но и на них в основном есть QSL за 1927 г. и позже. И крайне редко встречаются (буквально единицы) карточки лишь конца 1926 г.

И вот на сайте <http://www.qslcollection.co.uk/> коротковолновика из Великобритании Дэвида Джонса (G4DHF) была обнаружена советская QSL-карточка радиостанции Нижегородской радиолучительской лаборатории, работавшей тогда в эфире позывным NRL. Она датирована 14 декабря 1925 г. (по почтовому штемпелю Нижнего Новгорода). Это была действительно находка! Более того, QSL подписана самим В. Петровым.

"Каким-таким Петровым? Чем он знаменит?" — спросит современный читатель. Известно ведь, что первая любительская радиостанция использовала

позывной R1FL ("Россия первая Федор Лбов"). И как-то за рассказами и, особенно, за последующими пересказами фамилия Петрова выпала из истории зарождения радиолучительства в нашей стране. А между тем ключевые сло-

Если вспомнить, что Владимир Михайлович Петров был не только радистом, но и радиоинженером — сотрудником Нижегородской радиолучительской лаборатории, то его помощь профессионала для радиолучителя Федора Лбова действи-

тельно была громадной. Не говоря уже о том, что именно он был оператором и проводил связи. Есть все основания полагать, что именно он установил у нас первую любительскую радиосвязь на КВ, но, к сожалению, история этих подробностей не сохранила. В журнале "Радиолучитель" у В. Петрова в дальнейшем было несколько публикаций с описанием конструкций радиоприемной аппаратуры, но в целом о нем, к сожалению, известно немного. Учился в гимназии, он посещал кружок физики, а с 18 лет уже работал в Нижегородской лаборатории — сначала у В. Вологодина, а затем и М. Бонч-Бруевича (!). У последнего он, в частности, занимался проверкой и испытаниями радиоламп, которые изготавливались по заказам из-за границы. Ну и работал на коллективной радиостанции радиолучительской лаборатории NRL...

Сказанное ни в коей мере не умаляет вклада в историю радиолучительства Федора Лбова, сумевшего получить разрешение Губисполкома на постройку любительского передатчика, а лишь отдает должное незаслуженно забытому россиянину — одному из первооткрывателей отечественной любительской радиосвязи на коротких волнах.

Редакция благодарит Дэвида Джонса (G4DHF), любезно разрешившего воспроизвести в нашем журнале фотографию уникальной карточки из его коллекции, и Николая Гончарова (RA3TT), предоставившего информацию о В. Петрове.

U. S. S. R. NIJNI-NOVGOROD RADIALABORATORY.

Reception.		Transmission.	
Date	29/12 GMT 1450	Date	29/12 GMT 1450
To Radio		To Radio	QRH 43-44
Ur. f. to sigs	QRM, QRN, QSS	Ur. f. to sigs	QRM, QRN, QSS
QRM	QRM, QRN, QSS	QRM	QRM, QRN, QSS
QRM	QRM, QRN, QSS	QRM	QRM, QRN, QSS
RECEIVER	O V 2	RECEIVER	O V 2
Remarks: modified Reims		Remarks: modified Reims	
λ 12-150 mts		λ 12-150 mts	
AERIAL.	COUNTERPOISE.	AERIAL.	COUNTERPOISE.
1 wires 50 long 18 high.	1 wires 15 long 10 high.	1 wires 50 long 18 high.	1 wires 15 long 10 high.
Remarks: Mini fax fr rpt co = NRL - 1 experimental		Remarks: Mini fax fr rpt co = NRL - 1 experimental	
sta fr tests on most qrb = NRL Radio: W. Petroff		sta fr tests on most qrb = NRL Radio: W. Petroff	

A. E. Liversay Esr
Stanton Hall
Hornsea
Lincs

ПОЧТОВАЯ КАРТОЧКА.

Stoke St. Milburgh
Ludlow Salop.
England

Отправитель: РАДИОЛАБОРАТОРИЯ.
нижний-новгород. W. Petroff.

If not delivered please return. В случае недоставки прошу возвратить.

ва о его роли прозвучали уже в статье Федора Лбова в журнале "Радиолучитель" о первом выходе в эфир R1FL:

"Громадную помощь в "возне" с передатчиком оказал В. М. Петров, с которым мы все время работаем вместе; он ведет всю работу ключом".

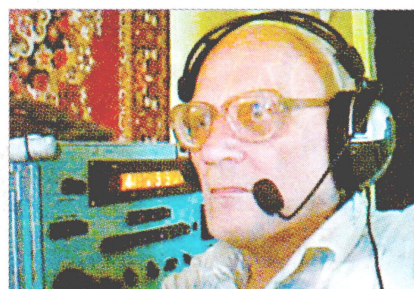
Главный контекст ультракоротковолновиков

Проходящие одновременно международный УКВ "Полевой день" на призы журнала "Радио" и чемпионат России по спортивной радиосвязи на УКВ без всяких сомнений являются главными спортивными событиями года для ультракоротковолновиков страны. Они имеют несколько разные программы, но естественным образом дополняют друг друга, привлекая ежегодно все больше и больше участников. "Полевой день — 2005" не был исключением. Отчеты об участии в нем прислали 779 спортсменов, что почти на 10 % превышает прошлогодний показатель. Прирост, скажем прямо, заметный, и произошел он в основном за счет участников из России и Украины. В определенной мере этому способствуют стабильное положение о соревнованиях, оперативное подведение итогов, хорошие деловые отношения с организаторами украинского УКВ чемпионата и обмен данными между судейскими коллегиями.

Заметим, что число субъектов Российской Федерации, которые были представлены в "Полевом дне — 2005" перевалило за отметку "50". Это также не может не радовать организаторов этих соревнований. Особо хочется подчеркнуть активность радиоловителей Сибири и Дальнего Востока. Громадные расстояния и малая плотность "радиоловительского населения" этих регионов всегда ставили под сомнение целесообразность их участия во всероссийских и международных соревнованиях по радиосвязи на УКВ. Тем большего уважения заслуживает стремление радиоловителей, находящихся

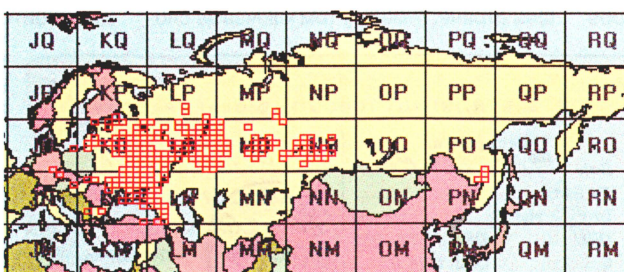
в удаленных от основной массы ультракоротковолновиков частях страны, осваивать радиосвязь на УКВ.

Следует также отметить, что "Полевой день" все больше становится "многодиапазонным". Хотя большинство участников по-прежнему используют в основном диапазон 144 МГц, заметно возросла активность на диапазонах 430 и 1260 МГц. В этом году, например, число спортсменов, которые заявили только в однодиапазонном зачете на 430 МГц, увеличи-



Владимир Глазунов (UA0COD) — один из "немолодых" участников "Полевого дня — 2005". Ему недавно исполнилось 70 лет!

Страна	Число участников	Страна	Число участников
Армения	10	Россия (азиатская часть)	343
Беларусь	6	Россия (европейская часть)	313
Болгария	3	Россия (Калининград)	1
Венгрия	1	Турция	2
Грузия	3	Украина	69
Казахстан	8	Чехия	2
Латвия	2	Эстония	1
Литва	4		
Молдова	11		



Вот так выглядит "география" участников "Полевого дня — 2005". Всего были "закрыты" 214 квадратов WW лоатора.

лось по сравнению с прошлым годом почти вдвое (с 13 до 25)!

Кроме россиян, в соревнованиях приняли участие ультракоротковолновики из 13 стран (см. таблицу). Приятно отметить, что впервые поступили отчеты из всех стран Балтии, а также из всех стран СНГ (кроме Азербайджана), которые находятся в реальной зоне проведения радиосвязи с Россией на УКВ.

Абсолютными победителями по подгруппам стали:

— "один оператор — все диапазоны" — Виктор Иванин (UX0IB);
— "один оператор — диапазон 144 МГц" — Георгий Теньшов (RZ6LJ);

— "один оператор — диапазон 430 МГц" — Дмитрий Козлов (UA3PTW);

— "один оператор — диапазон 1260 МГц" — Сергей Жутяев (RW3BP);

— "несколько операторов — все диапазоны" — команда UU7J, в составе которой были Андрей Котовский, Юрий Яворский и Андрей Казанцев.

Победители в многодиапазонных зачетах отмечены плакетками, а в однодиапазонных — медалями.

Мы поздравляем победителей "Полевого дня — 2005" и благодарим всех, кто принял участие в этих соревнованиях и прислал в редакцию свои отчеты. Нельзя не назвать

и тех, кто уже не первый год оперативно подводит итоги "Полевого дня". Это — Эдуард Дергаев (UA4NX), Кирилл Прусский (UA4NAL), Владимир Суворов (UA4NM), Вадим Сергеев (UA4NC), Георгий Лошкарев (UA4NFD), В. Козеродов (RW4NW).

Краткие итоги для всех участников приведены далее, а полные итоги (с результатами проверки отчетов) можно найти на сайте журнала в разделе CQ DE R3R.

Результаты участников международных соревнований "Полевой день — 2005" по странам и территориям мира (место, позывной, подтверждено радиосвязей, подтверждено очков)

Армения SOSB 144 1 EK6FB 9 1163 2 EK6MG 9 1163 3 EK6RCO 9 1163 4 EK6ROO 9 1163 5 EK6RSE 6 746 6 EK6DZ 4 680 7 EK6RAO 4 320 8 EK6GB 4 200 9 EK6RCS 2 117 Беларусь SOSB 144 1 EU7SR 21 12726 2 BW6AW 5 1575 3 BW6PW 2 490 SOMB 1 BW6FS 49 47382 2 BW7LA 37 35143 MOMB 1 BW6WF 28 15546 Болгария SOSB 144 1 LZ1SAM/P 36 11020 SOMB 1 LZ5QD/P 39 12882 MOMB 1 LZ1KWT 152 166775	Венгрия MOMB 1 HG6Z 279 94822 Грузия SOSB 144 1 4L1FP 5 1344 2 4L7T 5 1162 Казахстан SOSB 144 1 UN7CL 32 16564 2 UN7Y 32 12030 3 UN7EAN 20 9516 4 UN7CDE 2 250 SOMB 1 UN7CAN 34 38228 MOMB 1 UN1EW 42 49911 2 UN7EX 44 49673 3 UN7EFV 18 8226 Латвия SOSB 144 1 YL2OW 13 6142 MOMB 1 YL2AO 64 74995 Литва SOSB 144 1 LY2SA 40 14792 2 LY2BUU 43 8581 3 LY3UE/P 26 3804	Молдова SOSB 430 1 ER2RU 13 718 SOSB 144 1 ER2AN 7 495 2 ER2GT 6 154 3 ER2ID 5 138 SOMB 1 ER1DAM 7 1136 2 ER2DAM 12 698 3 ER2BAF 15 608 4 ER2FAG 6 596 5 ER2AS 12 554 6 ER2AW 7 128 MOMB 1 ER2KAE/P 57 27443 Российская Федерация (азиатская часть) SOSB 430 1 RA9MD 85 16720 2 RAOWIH 27 15880 3 RV9MF 80 14680 4 RV9MO 52 14508 5 RA9MW 63 10612 6 RA0AR 2 1408 7 RU9MB 48 728	SOSB 144 1 RX9FB 50 21284 2 UA9UDC 48 20405 3 RU9UG 58 16611 4 UA9OOD 32 16611 5 RX9AN 45 14548 6 UA9MGC 50 14328 7 UA9SL 21 14289 8 UA9HQ/P 27 13177 9 UA9MAZ 66 12233 10 RA9UU 33 10482 11 UA9TC 39 10154 12 RU9MG 52 10083 13 UA9SAN 27 10047 14 RA9CRZ 25 9623 15 RA9CCU 32 9520 16 RA9UKW 39 9353 17 UA0WCV 28 9350 18 UA9SP 31 9036 19 RA9YOB 27 9021 20 RV9OT 42 9004 21 RA9SF 25 8898 22 RX9UAT 40 8733 23 UA9UHT 22 8444 24 UA9CFH 14 8009 25 UA9OOT 35 7823 26 RA9SHG 29 7739 27 UA9MNB 52 7084 28 RA9SSR 17 6492	29 RA0CZ 25 6388 30 RA9ANT 30 6350 31 RA9SAV 17 6103 32 RN9AL 26 5861 33 UA9MGR 37 5832 34 RA9AQA 32 5469 35 RA9SK 17 5430 36 UA9MDW 16 5406 37 UA9UJZ 33 5263 38 UA9FG 25 4845 39 RA9UAD 25 4583 40 UA9TA 18 4389 41 RA9MLA 22 4368 42 RK9UC 11 4305 43 RA9FLC 34 4220 44 UA9ZBK 11 4112 45 UA9MQA 27 4079 46 RU9MR 47 4064 47 UA9AE 26 4008 48 UA9MW 35 3948 49 RA9OBD 18 3878 50 RX9AFQ 24 3842 51 RN9ATT 25 3634 52 UA9AOU 21 3607 53 RU9VA 27 3584 54 UA9MR 48 3456 55 UA9YIM 8 3453 56 RV9FM 25 3311 57 RW9MI 14 3292	58 RA9YDW 13 3180 59 UA9NB 31 3173 60 RK9AJ 12 2812 61 RA9ADW 13 2776 62 UA9CAG 8 2680 63 UA9MMZ 26 2574 64 UA9MQJ 37 2505 65 RA9SBU 11 2452 66 UA9CP 8 2354 67 UA9CU 14 2336 68 RA9UGX 22 2259 69 RU0AQ 18 2245 70 RX9CUM 13 2235 71 UA9CJH 18 2152 72 UA9ALA 2 2138 73 RA9SVZ 11 2134 74 RA0CFV 17 2114 75 UA9WL 17 2087 76 UA9ORM 11 2022 77 RK9FBE 23 2002 78 RA9UNF 18 2001 79 RA0CDF 16 1788 80 RA9MKC 35 1785 81 UA9WDC 14 1742 82 RA9ADD 10 1736 83 RA0CBZ 16 1694 84 RW9HAY 8 1690 85 RZ0AM 12 1620 86 RA0CBS 12 1592
--	---	---	--	---	--

87	RK9AA	14	1585
88	RK9FAB	19	1542
89	RA0MKR	9	1532
90	RA0APR	16	1510
91	RK9AI	13	1483
92	UA0COD	11	1460
93	RA0CFF	13	1412
94	UA9FPQ	7	1388
95	RA0CCK	5	1356
96	UA9SSR	12	1353
97	UA0AIS/O	4	1328
98	UA0ALP	12	1301
99	UA9OIE	23	1235
100	RU9SR	7	1195
101	RA9OCQ	22	1177
102	RA9SUJ	14	1161
103	RA9UWJ	13	1150
104	RV9UF	6	1142
105	RA9FGW	13	1127
106	RV9UG	6	1071
107	RU9GQ	12	1029
108	RA0CDV	3	1022
109	UA9OR	5	960
110	RA9ARQ	8	954
111	UA9SSM	11	954
112	UA9MCD	27	899
113	UOAL	10	884
114	RV9CQ	12	803
115	UA0CNA	5	778
116	UA9OF	17	760
117	RA9FLW	14	747
118	RV9SA	5	746
119	RV9AZ	4	713
120	RA9FFF	5	708
121	RA9FFP	11	691
122	UA9CEM	8	672
123	RV9CQY	8	657
124	RA9CJE	9	647
125	RA0CEL	7	622
126	RA0CCZ	7	596
127	RK9CWH	11	563
128	RA9UFT	7	543
129	UA9JF	10	541
130	RA9MIR	29	511
131	RU9WA	6	500
132	RZ9OO	2	494
133	RK9CHN	7	456
134	RK9ADE	8	443
135	RA0CDS	6	432
136	RV9CQZ	6	426
137	UA9MCZ	17	368
138	RA9ANE	4	354
139	UA9CS	7	339
140	UA9FDN	7	313
141	UA9FBO	3	309
142	UA9MCS	20	292
143	RA0COP	3	282
144	RA9MDJ	7	260
145	UA9OZ	8	252
146	UA9JFH/P	6	137
147	RA9M/P	4	126
148	UA9CEB	4	120
149	RA9YDA	1	91
150	RA9CIL	3	90
151	UA9JNT	6	75
152	UA9JBA	5	42
153	UA0CMO	1	28
154	UA9OFH	1	26

SOMB

1	RV9AE	91	65532
2	UA9NN	85	63154
3	UA9UMR	90	47345
4	RK9SA	65	46904
5	RU9TR	60	42432
6	RA9NA	44	35203
7	RK9AT	45	33114
8	UA9OK	69	27032
9	RA9YHK	62	27002
10	RU9TO	49	26571
11	RA9SSO	43	25375
12	RV9WL	48	25336
13	RV9MV	46	25244
14	UA9YHU	49	24954
15	UA9FAD	28	24724
16	UA9OND	69	24611
17	RA9MJ	71	24458
18	UA0WBR	54	23357
19	RA9OAS	76	22489
20	UA9YKJ	39	21964
21	RZ9FR	39	21946
22	RV9UV	60	21182
23	UA9MAR	56	21181
24	RA9SG	39	21132
25	UA9SCL	44	20337
26	UA9MBQ	76	19473
27	RA9MK5	63	19468
28	RK9UT	37	19220
29	UA9HK	16	17970
30	UA9ACA	40	17934
31	UA9FDZ	48	17760
32	RA9SDB	48	17452
33	RV9MA	72	17279
34	RK9UB	39	16917

MOMB

1	RK9MYM	71	64193
2	RU9UXU	114	60557
3	RK9FWH	73	51514
4	RK9MXH	67	49692
5	RK9MMW	82	47002
6	RV9OZZ	99	46530
7	RZ9AWJ	74	43447
8	RZ9AT	72	41482
9	RV9FWB	48	37745
10	RK9YWK	37	36839
11	RK9FWT	65	36743
12	RK9MUA	97	36545
13	RK9UZZ	73	33032
14	RK9FXJ	43	28952
15	RZ9UWZ	56	25012
16	RK9YD	42	24301
17	RA9UWT	63	23146
18	RZ9MXM	53	21462
19	RK9UZZ	46	20012
20	RA9FF	44	18059
21	RZ9AWK	41	16949
22	RK9FYR	30	15628
23	RA9FRV	44	14975
24	RK9UWT	35	13712
25	RK9FXM	39	12728
26	RZ9OWM	33	12548
27	RK9AXC	42	12249
28	RK9FWW	23	11532
29	RK9OZX	38	10816
30	RN9WMM	18	9998
31	RK9SWA	24	8908
32	RK9UWW	24	8606

33	RK9MZZ	44	6820
34	RZ9MYL	39	6613
35	RV9XO	6	4924
36	RK9SWY	16	4701
37	RK9AWZ	24	4381
38	RK9LWC	5	4314
39	RZ9AWW	25	4118
40	RA9UWM	12	4008
41	RZ9OXA	21	2943
42	RK9AYN	18	2593
43	RZ9MXI	22	2111
44	RV9SUZ	18	1745
45	RK9SUZ	13	1315
46	RK9YXO	9	538
47	RK9JXA/P	4	441
48	RK9MXI	2	103

Российская Федерация (Калининградская область)

MOMB			
1	RK9WA/P	99	66566

Российская Федерация (европейская часть)

SOSB 1296			
1	RV9BP	19	99080
2	UA6HNE	60	24000
3	RA3DR/C	26	23340
4	RK3VY	6	13360

SOSB 430			
1	UA3PTW	50	120672
2	RA3GES	26	60596
3	UA3OW	54	55172
4	RA3ZG	27	48872
5	RA6LRG	19	24532
6	UA6BRA	22	16656
7	RN3QR	7	15832
8	UA3BX	40	9144
9	UA6AQN	6	8192
10	RA4LO	3	1468

SOSB 144			
1	RZ6LJ	109	85127
2	RK3AF	121	79266
3	RA3QTT	72	59696
4	RA3EC	108	54548
5	RU1AA	62	53746
6	RV9AZ/3	80	52954
7	RN3AC/3	73	47815
8	UA3RBO	84	47487
9	RU3AA	87	39516
10	RV6A/P	60	36839
11	RU3DD	85	35905
12	RK3DUR	80	34430
13	UA4NX	57	34349
14	RA3IM	53	34128
15	UA3ALX	63	34071
16	RV3TJ	45	32783
17	RU3ACE	73	31597
18	UA6LGO	61	31562
19	RA3EL	59	30690
20	UA3QCB	55	30670
21	UA3PC	57	29582
22	UA6LMW	75	29110
23	RN3OX	44	28763
24	RK3AJ	62	25883
25	RV9ZO	54	25409
26	RA3XAL	52	24379
27	UA4FQO	40	24308
28	RU3DX/3	48	23015
29	RU1AS	31	22498
30	RA1TM	35	21673
31	UA6IK	32	21360
32	RV6MAE	66	21131
33	UA6MP	28	20497
34	RV3RA	39	19672
35	UA4RF	46	18851
36	RZ6AUL	35	18201
37	UA4HK	37	17535
38	RK6LEC	50	17274
39	RV4NQ	24	17204
40	RN3AP	42	16454
41	RU3EC	33	16242
42	RA1QFY	26	15631
43	UA3DEE	42	14718
44	RA3LBW	26	14452
45	RA6DE	50	14112
46	RK6CG	39	13364
47	RK6MF	31	12197
48	RA3YO	28	11773
49	RV3QX	19	11016
50	UA6AVQ	40	10871
51	RV6APY	30	10784
52	UA3WT	28	10762
53	RV6MA	35	10531
54	RA4AR	17	10489
55	RK4HXH	42	10406
56	RK4HXI	37	9860
57	RU1AT	19	9806
58	RA6HY	25	9622
59	RA1ARM	18	9060

60	RV4PUC	33	8839
61	UA1COA	14	7849
62	RK6LZS	22	7312
63	UA1AMT	15	7255
64	RV4HW	22	7042
65	UA4PKM	32	6634
66	RA4PD	25	6441
67	RV3ADE	30	6341
68	UA3VFI	12	6072
69	UA3ECX	16	5966
70	RA4PTI	34	5961
71	UA6YCI	17	5891
72	RV3QVJ	13	5884
73	UA4BI	15	5740
74	RK6DG	22	5477
75	RZ3AF	19	5378
76	UA3RUF	30	5210
77	RV4HUM	24	5158
78	RV4PU	27	4667
79	RK3RG	26	4522
80	RA4PUT	29	4484
81	RV6Y	13	4279
82	RZ3GP	16	4158
83	RV4PKJ	27	4130
84	RV3AJ	15	3631
85	RA4PKB	25	3605
86	RU1AU	8	3500
87	RV3VT	8	3486
88	RA3ZCV	12	3474
89	RK6BZ	13	3320
90	UA4PO	24	3277
91	UA3RGX	27	3181
92	RV4PJD	20	2983
93	UA4PQG	20	2960
94	UA4PUS	14	2871
95	RN3RDU	18	2854
96	UA3RSG	18	2730
97	RV3RS	33	2690
98	RA4LNZ	13	2566
99	RZ6AOV	11	2556
100	UA4PJ	21	2479
101	UA3RDR	22	2445
102	RU3ER	11	2412
103	RV4PKI	18	2385
104	UA4PMO	14	2356
105	UA4POB	18	2044
106	RV3AC/3	2	1889
107	RV3DJU	13	1860
108	RV6FPQ	4	1750
109	UA3ROW	15	1746
110	UA3EFX	6	1744
111	UA4CAJ	5	1712
112	RA4NCX	6	1644
113	UA3ZCG	10	1608
114	RA3NY	3	1562
115	RA6XP	6	1548
116	RA3PS	5	1534
117	RV4HPR	10	1439
118	UA4FEL	6	1310
119	UA3EGE	8	1266
120	RV6FSO	11	1111
121	RA4HTJ	10	1107
122	UA6EM	8	964
123	RA4FLZ	8	928
124	UA3VGD	2	904
125	UA6FB	4	904
126	UA4NO	10	826
127	RV4HO	8	825
128	RN3RFH	12	823
129	RA4NAS	10	822
130	RA3RHW	23	781
131	UA4AGM	7	714
132	UA3NFG	1	700
133	RN3RCH	14	651
134	UA4PIE	7	640
135	RA6FOO	8	627
136	RA3WRV	6	604
137	RA4NHY	7	580
138	RN3RM	13	539
139	RV4PJQ	9	446
140	RA3VKE	1	420
141	RA4LNV	3	412
142	RA6FRZ	5	366
143	RA6JUA	2	358
144	RK6BQ	3	316
145	RN3ZHH	4	240
146	RU3MS	1	190
147	RA4PH	9	177
148	RA6HCY	5	175
149	UA4FDC	3	161
150	RV4WN	2	154
151	RA4PTB	4	136
152	UA3RFB	12	133
153	UA4PKO	6	109
154	UA4FLJ	1	28
155	RA4FC/P	0	

Формирователь кода для синтезатора радиостанции "Маяк"

И. МОГИЛЕВСКИЙ (РАЗРС), г. Новомосковск Тульской обл.

В настоящее время рынок приемопередающей техники заполнен УКВ радиостанциями импортного производства. Но из-за высокой стоимости эти аппараты доступны немногим радиолюбителям. Альтернативой в такой ситуации стало использование отечественных промышленных УКВ радиостанций, например, "МАЯК" и "ТРАНСПОРТ", перестроенных для работы в любительском диапазоне 2 метра. Низкая стоимость и простота конструирования дополнительных узлов для указанных моделей сделала их поистине популярными изделиями. Одна из таких доработок — предмет этой статьи.

Радиостанции 16P22B-1, 16P22C-1 "Маяк" существуют в одно- и многоканальном вариантах. Число рабочих каналов не превышает восьми, что явно ограничивает возможности их использования. Описываемый ниже узел формирования кода рабочей частоты, а проще говоря, переключатель каналов, предназначен для управления синтезатором частоты радиостанций "Маяк", перестроенных для работы в пределах любительского диапазона 2 метра. Число формируемых узлов каналов — 80.

Синтезатор частоты в радиостанциях указанных моделей построен по схеме с однопетлевой ФАПЧ и предназначен для формирования высокочастотных сигналов гетеродина приемника и возбуждения передатчика с частотной модуляцией. Шаг перестройки частоты синтезатора — 25 кГц. Его делители с фиксированным и переменным коэффициентами деления выполнены на счетчиках 564IE15. Управляют частотой синтезатора (коэффициентом деления ДПКД) посредством параллельного двоично-десятичного кода. Для расчета числа, записываемого в ДПКД при формировании рабочей частоты, справедливы следующие формулы:

— в режиме приема

$$N_{\text{пр}} = (F_{\text{раб}} - 10700)/25 - 5000;$$

— в режиме передачи

$$N_{\text{пер}} = N_{\text{пр}} + 428,$$

где $F_{\text{раб}}$ — рабочая частота канала, кГц.

При изменении кода изменяется коэффициент деления ДПКД и, следовательно, выходная частота синтезатора.

На плате синтезатора радиостанции "Маяк" предусмотрена колодка для распылки перемычек и записи в ДПКД кода рабочей частоты. Входы предустановки счетчика ДПКД разделены на четыре группы и обозначены по старшинству разрядов: А, В, С, D, где А — старший разряд, D — младший. Сигналы управления частотой,

представленные в двоично-десятичном коде, могут иметь следующие значения: А = 0110 или 1010; В = 0000 — 1001; С = 0000 — 1001; D = 0000 — 1001.

Собственно формирователь кода (см. схему на рисунке) выполнен на шести реверсивных счетчиках DD6—DD11, управляемых RS-триггерами. Счетчики разбиты на две группы: DD6—DD8 формируют код частоты для режима приема, а DD9—DD11 — для режима передачи в диапазоне 144...146 МГц. Счетчики в группе соединены синхронно-каскадно, что позволяет увеличивать вес старшего разряда только после завершения счета счетчика предыдущего, младшего разряда. На входах предустановки счетчиков соответствующим включением диодов VD1—VD10 записаны коды частоты 144000 кГц. В микросхемах DD6—DD8 — 332 для режима приема, в DD9—DD11 — 760 для режима передачи.

Выходы счетчиков подключены к управляющим линиям ДПКД синтезатора радиостанции через транзисторные переключатели VT1—VT24. Транзисторы питаются непосредственно с линий переключения приема и передачи на плате синтезатора. Коллекторы транзисторов VT1—VT12, объединенные через токоограничивающие резисторы R5—R16, подключены к линии приема +9 В RX (через вывод 1), а коллекторы VT13—VT24 через резисторы R17—R28 — к линии передачи +9 В TX (вывод 26).

Выходы формирователя промаркированы согласно схеме радиостанции, по мере увеличения порядности D1—D4, C1—C4, B1—B4. Их подключают к одноименным выводам на плате синтезатора.

Управление счетчиками выполнено на двух RS-триггерах, собранных на элементах микросхемы DD1. Кнопками SB1 и SB2 изменяют число, формируемое счетчиками с шагом в единицу. При нажатии на кнопку SB1 на тактовый вход счетчиков с выхода триггера DD1.1—DD1.2 по-

ступит положительный перепад напряжения, на входах управления счетом присутствует лог. 1, снимаемая с инверсного выхода второго триггера DD1.3—DD1.4. Число, записанное в счетчики DD6 и DD9, увеличится на единицу, формируя в группах коды для рабочей частоты радиостанции 144025 кГц. При последующих нажатиях коды управления синтезатором будут увеличиваться, формируя рабочие каналы с шагом 25 кГц. При увеличении кодов до граничных значений счетчики переключаются в начальное состояние элементами DD12.1, DD12.2, служащими ограничителями счета. Когда коды достигнут последнего значения (для диапазона 2 метра — частота 146000 и, следовательно, код: для приема — 412, для передачи — 840), положительный перепад напряжения с выхода DD12 обнулит счетчики по входу R.

При нажатии на кнопку SB2 с выхода триггера DD1.3—DD1.4 на тактовые входы счетчиков также поступит положительный перепад напряжения, но с инверсного выхода того же триггера на управляющих входах счетчиков будет присутствовать лог. 0. Записанные в группах счетчиков значения кода уменьшатся на 1. При последующих нажатиях коды будут уменьшаться до минимального значения, установленного в счетчиках.

Индикация номера рабочего канала — статическая, на счетчиках DD2, DD3 и преобразователях кода DD4, DD5, управляющих индикаторами HG1, HG2. При достижении номера канала, находящегося на границе диапазона, счетчики индикатора обнуляются одновременно со счетчиками кода. Двухразрядный номер канала отображают светодиодные индикаторы HG1, HG2.

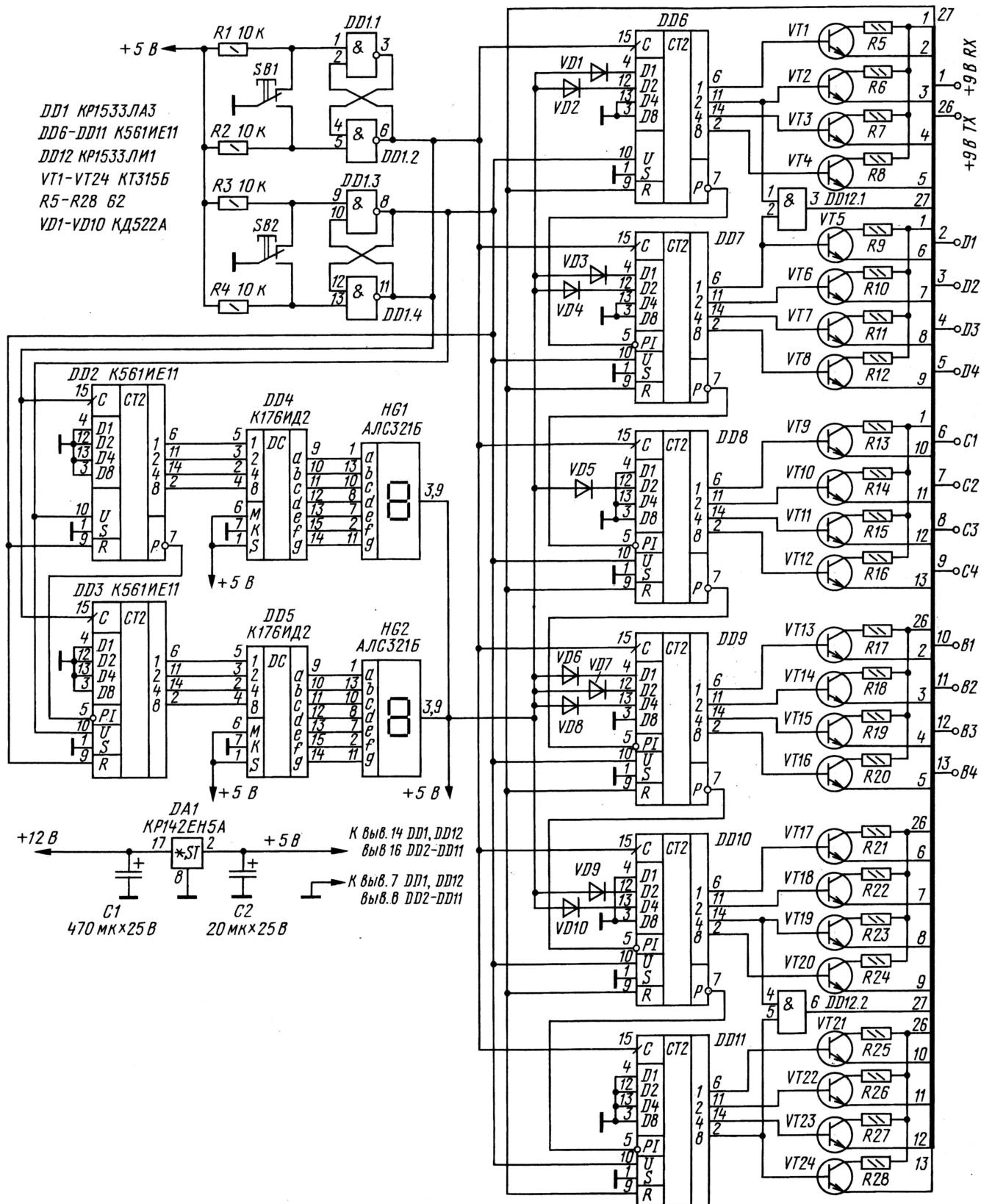
Формирователь питается от радиостанции через стабилизатор на микросхеме DA1.

Конструктивно устройство выполнено на двух печатных платах. На одной располагают счетчики формирования кода частоты и транзисторные переключатели, на второй — счетчики номера канала с преобразователями кода и индикаторами, а также кнопки управления. Вторую плату устанавливают на переднюю панель радиостанции.

В конструкции применены конденсаторы К50-35, резисторы — МЛТ-0,125.

Правильно собранный формирователь начинает работать сразу и в налаживании не нуждается. На синтезаторе частоты радиостанции следует установить перемычками значение А = 0 (0110) и соединить выходы формирователя кода с одноименными входами синтезатора. Выводы 1 и 26 формирователя подключают к линиям управления синтезатора, на которых присутствует лог. 1 в режимах приема и передачи соответственно.

В этой конструкции не предусмотрен режим разнесения значений час-



тоты приема и передачи на 600 кГц для работы через репитеры. Это легко сделать, дополнив формирователь переключателем предустановки

счетчиков режима передачи на значение кода соответствующего синтезированию частоты на 600 кГц ниже частоты приема. Индикаторы при

этом будут отображать номер канала, на котором происходит прием сигнала.

Редактор — С. Некрасов, графика — Ю. Андреев

Простой SSB-трансивер на диапазон 80 метров

Этот несложный QRP-трансивер на диапазон 80 метров был разработан Дэвидом Форсманом (WA7JHZ) [1]. В его основе лежат высокочастотный лестничный кварцевый фильтр и два активных балансных смесителя на микросхемах SA612A [2]. Они обеспечивают значительное усиление сигнала, поэтому для постройки трансивера осталось добавить УРЧ и УМЗЧ в канале приема, усилитель мощности в канале передачи и ГПД. Основные трудности при таком построении трансивера вызывает коммутация прием/передача, поскольку необходимо переключать входы и выходы двух балансных смесителей. Кроме того, необходима коммутация антенны и цепей питания. В [1] автор использовал несколько переключателей, объединенных механически, что упростило электрическую схему, но усложнило изготовление трансивера, кроме того, механическим переключателем неудобно пользоваться при оперативной работе в эфире.

Стивен Вебер (KD1JV) пошел в этой разработке дальше и в трансивере, выполненном по такой же структурной схеме, применил электронные пере-

ключатели, что позволило управлять режимами прием/передача одной кнопкой (клавишей), расположенной на корпусе микрофона [3]. Для переключения кварцевого фильтра между входами и выходами балансных смесителей SA612A он использовал строенный аналоговый мультиплексор, 74HC4053. Кроме того, для повышения стабильности частоты он применил значительно более сложный ГПД.

Принципиальная схема аппарата показана на рис. 1. Рассмотрим его работу в режиме приема, когда переключатель прием/передача SA1 разомкнут и электретный микрофон BM1 отключен. На инвертирующем входе (вывод 2) ОУ DA2.2, служащего компаратором, действует напряжение высокого уровня, подаваемое через резистор R1. На выходе компаратора (вывод 1) — низкий уровень, который через диод VD1 поступает на управляющие входы электронных ключей микросхемы DA6, и они установлены в положение, показанное на схеме. Транзисторы VT2 и VT3 закрыты. Напряжение на коллекторе VT3 отсутствует, и транзисторы VT5—VT7 передающего тракта обесточены.

Сигнал от антенны через двухзвенный выходной фильтр передатчика L1L2C43—C46 и последовательный контур L3C41 поступает на базу УРЧ, собранного на транзисторе VT4. Поскольку напряжение сигналов от антенны значительно меньше порога открывания диодов VD4, VD5, они также не влияют на работу приемного тракта. Если же при сильных мешающих сигналах эти диоды будут вносить интермодуляционные искажения, автор рекомендует включить вместо каждого из диодов VD4, VD5 по два таких же диода последовательно. Последовательный контур L3C41 имеет невысокую добротность, тем не менее его целесообразно подстроить на среднюю частоту диапазона подбором числа витков катушки L3 или подстроечным конденсатором, присоединенным параллельно C41.

В УРЧ вместо обычно используемого транзистора 2N3904 автор применил лучший, малошумящий транзистор 2N5088. Несмотря на отсутствие колебательного контура в его коллекторной цепи транзистор дает значительное усиление. С нагрузки R14 сигнал поступает на вход (вывод 1) первого смесителя — микросхемы DA4. Другой ее вход (вывод 2) замкнут на общий провод переключателем DA6.2 и конденсатором C7. Гетеродинная часть микросхемы не использована как генератор — на вывод 6 подано напряжение от

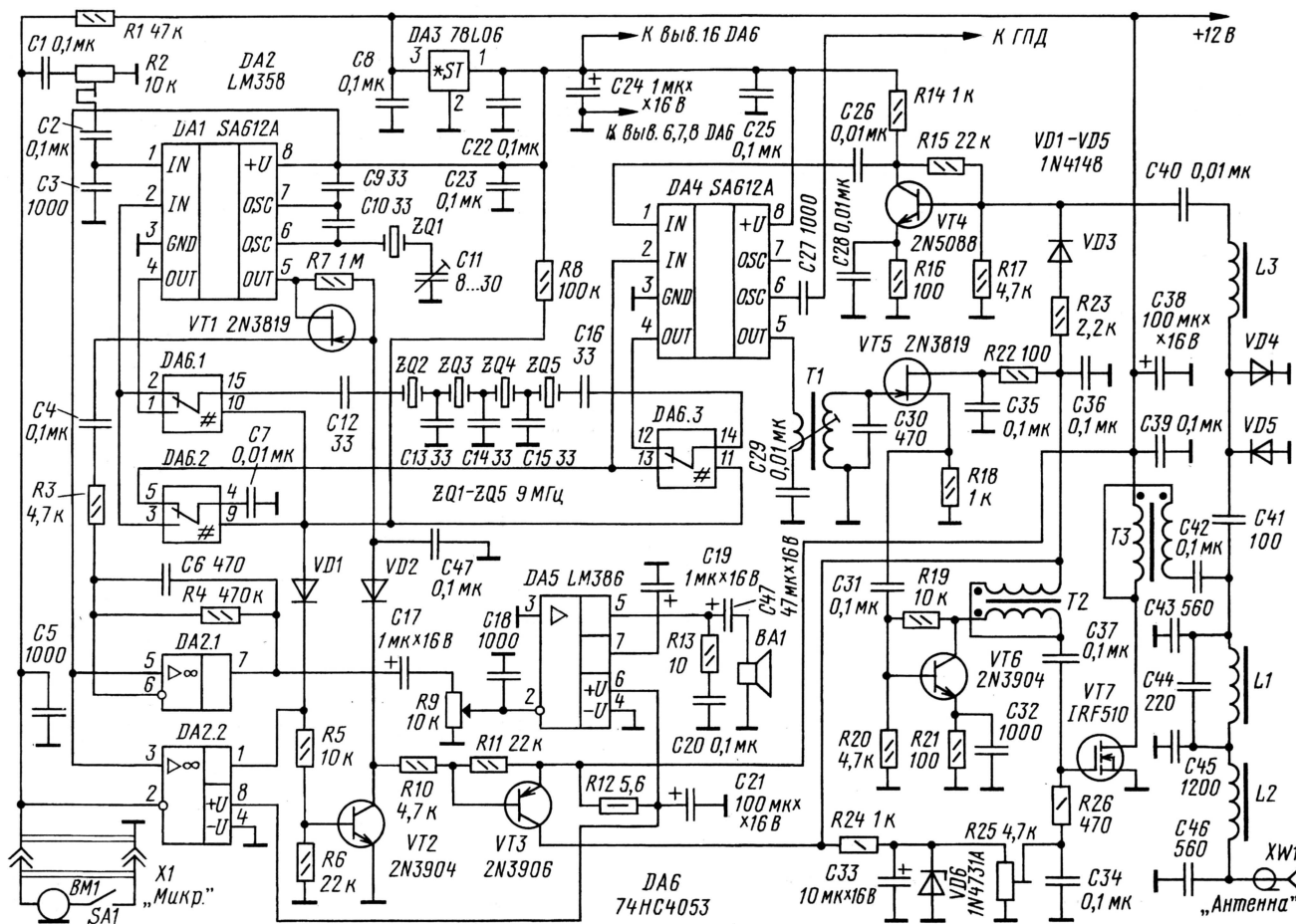


Рис. 1

внешнего ГПД, перекрывающего полосу частот 5,2...5,5 МГц.

С выхода первого смесителя (вывод 4 DA4) сигнал ПЧ с частотой 9 МГц через ключ DA6.3 поступает на лестничный кварцевый фильтр, собранный на резонаторах ZQ2—ZQ5 и конденсаторах C12—C16. Намоточных изделий (катушек) в тракте ПЧ нет. Отфильтрованный сигнал через ключ DA6.1 проходит на вход (вывод 2) второго смесителя — микросхемы DA1. На ней же собран и второй гетеродин на частоту 9 МГц. В него входят кварцевый резонатор ZQ1 и емкостный делитель C9C10, обеспечивающий положительную обратную связь. Совместить частоту гетеродина со скатом АЧХ кварцевого фильтра позволяет подстроечный конденсатор C11.

Выделенный вторым смесителем сигнал ЗЧ с вывода 5 DA1 через открытый транзистор VT1 и цепь R3C4 поступает на вход предварительного УЗЧ, собранного на ОУ DA2.1, далее на регулятор громкости R9 и оконечный УМЗЧ, выполненный по стандартной схеме на широко распространенной МС DA5 серии LM386. Звук воспроизводит динамическая головка BA1 с сопротивлением звуковой катушки 8...16 Ом.

При переходе на передачу замыкают переключатель SA1 и постоянное напряжение на инвертирующем входе (вывод 2) компаратора DA2.2, поделенное резистором R1 и сопротивлением микрофона BM1, становится меньше напряжения на неинвертирующем входе (вывод 3), равном 6 В. Напряжение на выходе компаратора (вывод 1) становится высоким, переключая коммутатор DA6 и открывая транзисторы VT2 и VT3. Транзистор VT1 при этом закрывается, отключая УЗЧ приемника DA2.1. Через открытый транзистор VT3 поступает питание на транзисторы VT5 и VT6 передающего тракта и открывающее напряжение смещения на мощный транзистор оконечного каскада VT7.

Звуковой сигнал от микрофона через разделительный конденсатор C1 и регулятор уровня R2 поступает на вход микросхемы DA1, в которой происходит балансная модуляция колебаний кварцевого гетеродина. DSB-сигнал с частотой 9 МГц с выхода микросхемы (вывод 4) через ключ DA6.1 проходит на кварцевый фильтр, который и формирует SSB-сигнал. Последний через ключ DA6.3 поступает на вход (вывод 2) микросхемы DA4, где смешивается с сигналом от ГПД, образуя разностную частоту, лежащую в рабочем диапазоне 3,5...3,8 МГц.

Снятый с выхода DA4 (вывод 5) сигнал усиливает транзисторы VT5—VT7, доводя его мощность до 5 Вт и более. Для межкаскадного согласования использованы трансформаторы на ферритовых магнитопроводах. Трансформатор T1 — резонансный, индуктивность его вторичной обмотки совместно с конденсатором C30 образуют контур, настроенный на среднюю частоту диапазона. Чтобы не шунтировать контур входным сопротивлением усилителя, выбран полевой транзистор (VT5), к тому же включенный истоковым повторителем. Остальные два усилительных каскада — широкополосные.

На выходе передающего тракта применен мощный полевой транзистор IRF510 (VT7), способный работать до частот примерно 14 МГц. Трансформатор T3 — повышающий, он согласует низкое выходное сопротивление усилителя мощности со стандартным сопротивлением фильтра гармоник L1L2C43—C46 и антенного фидера (50 Ом). При работе на передачу ток, протекающий через конденсатор C41, открывает встречно-параллельно включенные диоды VD4 и VD5, поэтому амплитуда ВЧ напряжения на входе УРЧ приемника (VT4) не превышает их порогового напряжения открывания, т. е. долей вольта. Кроме того, ток, протекающий через резистор R23 и диод VD3, от-

снят с выхода второго триггера (вывод 9 DD1.2). В случае, если генератор работает на цифровой логический смеситель или усилитель класса E, такой сигнал вполне подходит, но для аналоговых смесителей, подобных использованному в данном трансивере смесителю на микросхеме SA612A, колебания прямоугольной формы должны быть отфильтрованы и уменьшены по амплитуде. Их фильтрует цепь C8L1C9, при этом форма сигнала приближается к синусоидальной. Данных цепи автор не приводит, указав лишь, что последовательный контур, образованный элементами L1 и C8, должен быть настроен на частоту выходного сигнала, а реактивное сопротивление этих элементов должно быть около 1 кОм. Кон-

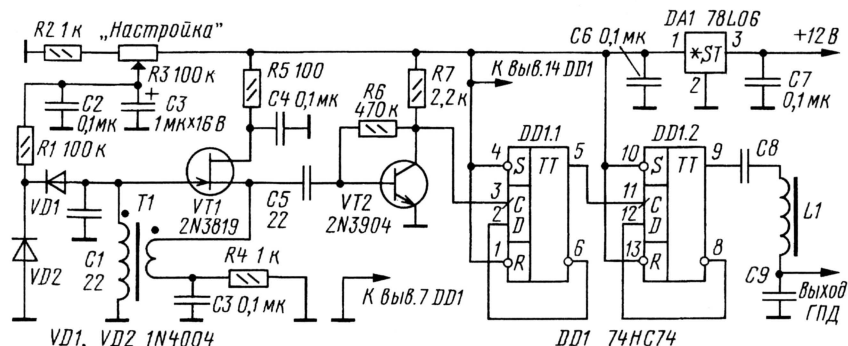


Рис. 2

крывает транзистор VT4 до насыщения, он теряет свои усилительные свойства, поэтому сигнал передатчика не проходит через УРЧ к смесителю DA4. Таким способом и осуществляется автоматическая электронная коммутация антенных цепей.

ГПД трансивера представляет собой отдельный законченный блок, помещенный в металлическую коробку—экран. Схема ГПД приведена на рис. 2. Исходя из своего опыта, автор решил, что простой генератор по схеме Хартли, работающий на сравнительно высокой частоте, дает не худшую относительную стабильность частоты, чем более сложный генератор по схеме Колпица, работающий на низкой частоте. Поэтому вместо традиционного умножения автор применил деление частоты на четыре с помощью стандартных элементов цифровой логики — двух триггеров.

Задающий генератор собран на полевом транзисторе VT1. В его контур входят первичная обмотка трансформатора T1 и конденсатор C1. Частота генерации — вчетверо выше требуемой. Для перестройки генератора по частоте служат диоды VD1, VD2, включенные как варикапы. Закрывающее напряжение на них изменяют переменным резистором R3. Вторичная обмотка трансформатора T1, включенная в эмиттерную цепь транзистора, создает необходимую для возбуждения колебаний положительную обратную связь. С этой же обмотки сигнал подан на буферный усилитель-ограничитель (VT2), возбуждающий двухкаскадный делитель частоты, собранный на триггерах микросхемы DD1.

Выходной сигнал прямоугольной формы с требуемой частотой (5,2...5,5 МГц)

денсатор C9 подбирают так, чтобы получить размах выходного напряжения (удвоенную амплитуду) около 1 В.

Автор очень мало пишет об использованных деталях и, к сожалению, не приводит данных катушек и трансформаторов. Их можно заимствовать из описаний аналогичных конструкций или воспользоваться собственным опытом. В кварцевом фильтре и опорном генераторе использованы распространенные "компьютерные" кристаллы на частоту 9000 кГц. Точность подстройки их частот должна быть не хуже 100 Гц.

Большинство элементов трансивера размещено на печатной плате из односторонне фольгированного стеклотекстолита (рис. 3), однако, как отмечает автор, лучше использовать двусторонне фольгированный материал. Металлизацию со стороны деталей в этом случае не удалять — ее соединяют с общим проводом другой стороны платы, пропаяв с двух сторон "заземленные" выводы деталей. Отверстия для других выводов со стороны сплошной металлизации раззенковывают, чтобы исключить замыкания выводов на общий провод. Прежде чем монтировать детали, необходимо установить несколько перемычек, показанных на рисунке. Развязывающий резистор R12 в первом варианте трансивера отсутствовал, поэтому резистор устанавливают на плате вертикально, одним выводом в отверстие, а другим соединяют с перемычкой, идущей к точке питания +12 В.

На время настройки трансивера вместо микрофона включают резистор сопротивлением 10 кОм. В режиме пе-

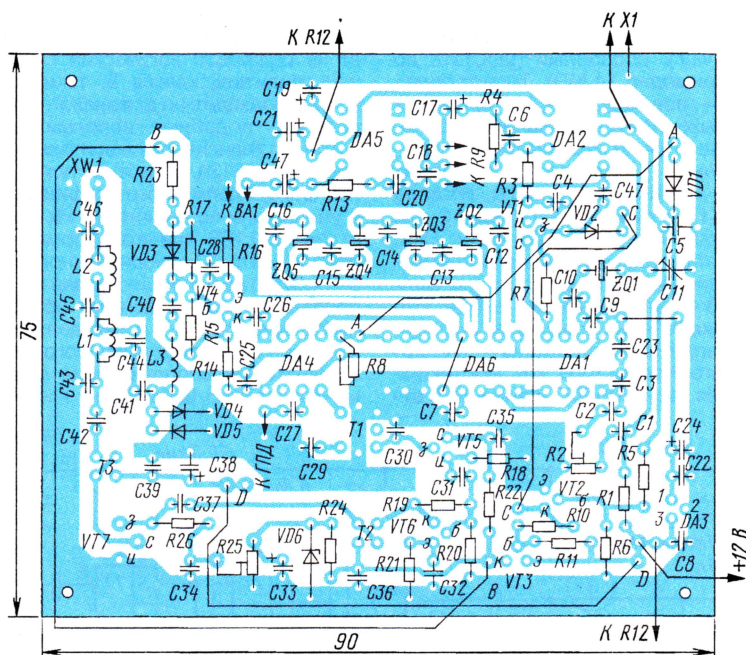


Рис. 3

редачи надо отрегулировать подстроечным резистором R25 напряжение смещения выходного транзистора VT7 так, чтобы его ток покоя был около 5 мА. При большем токе транзистор будет на-

греваться, а при меньшем возможны искажения SSB-сигнала.

Затем следует подать на микрофонный вход (не отключая резистора) сигнал от звукового генератора напряжени-

ем не более 100 мВ. Регулируя подстроечник трансформатора T1 (для намотки этого трансформатора автор использовал стандартную арматуру контуров ПЧ от радиоприемников), добиваются максимума ВЧ сигнала на выходе трансивера (рекомендуем не забыть при этом подключить эквивалент антенны сопротивлением 50 Ом!). Возможно, что при этом понадобится подстроить частоту опорного генератора конденсатором C11, чтобы сигнал попал в полосу пропускания кварцевого фильтра. Изменяя частоту звукового генератора в пределах от 300 Гц до 3 кГц и подстраивая частоту опорного генератора, добиваются "плоской" АЧХ в этом диапазоне.

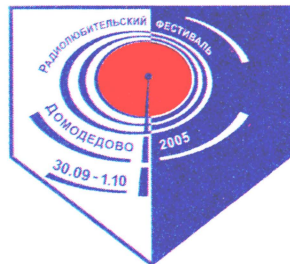
В заключение отметим, что трансивер можно выполнить и на другие диапазоны, изменив соответственно частоту ГПД и ПЧ. Для диапазона 40 м, например, автор считает, что лучше выбрать ПЧ 11,06 МГц, при этом ГПД должен работать в диапазоне от 3,76 до 4 МГц (при этом в рабочий диапазон не попадают гармоники гетеродина).

ЛИТЕРАТУРА

1. <<http://www.qrp.pops.net/idaho.htm>>.
2. **Темперев А.** Двойной балансный смеситель SA612A. — Радио, 2004, № 4, с. 48, 49.

От редакции. Описание этой конструкции публикуется с согласия ее автора — Стивена Вебера (KD1JV).

Редактор — В. Поляков, графика — Ю. Андреев



ПРАЗДНИК НАЗЫВАЕТСЯ "ДОМОДЕДОВО"

Второй год подряд, на стыке сентября и октября, радиолюбители страны собираются на свой фестиваль, проходящий в живописном уголке, недалеко от подмосковного города Домодедова.

Программа фестиваля достаточно насыщена. Среди его мероприятий значились технический КВ-контакт форум, форумы УКВ и клуба "Русский Робинзон", форум по работе с молодежью, в конференц-зале проходили презентации и рассказы о радиолюбительских экспедициях, показывали фильмы о них.

В первый день фестиваля состоялся "круглый стол" "Перспективы развития радиолюбительства и радиоспорта". На нем было рассказано о решениях конференции IARU-2005, проходившей в Давосе, о работе Союза радиолюбителей России с ГКРЧ, РЧЦ и ФАС, о достигнутых договоренностях и планах на будущее.

Интересный и очень полезный для многих радиолюбителей России доклад сделал руководитель Мурманского ре-

гионального отделения СРР Александр Бройтман (UA1ZAO). Он рассказал о решении с руководством региона вопросов установки любительских антенн, отметил возможные "подводные камни" в этом деле и пояснил, как их можно обойти.

Игорь Григорьев (RV3DA) в своем выступлении обратил внимание на необходимость "омоложения" нашего общего хобби, имеющихся в этом направлении деятельных проблем, найденных к части из них решениях и о заделах на будущее.

С развитием в России и за рубежом сетей VoIP любительской радиосвязи Echolink и с ее принципами присутствовавших познакомил Антон Лаухин (RV3DHC). Сегодня в России насчитывается около 15 действующих радиотелевизионных сетей Эхолинк, которыми пользуются более сотни ультракоротковолновиков. Сеть Эхолинк, позволяющая связываться практически с любой точкой мира (где имеется радиотелевизионная станция, может исполь-

зоваться как для повседневных радиосвязей, так и для связи в чрезвычайных ситуациях (как это было при ликвидации последствий урагана Катрина в США). Действие системы докладчик продемонстрировал со сцены, используя носимую станцию и созданный на время фестиваля радиотелевизионный канал.

По завершении "круглого стола" президент СРР Р. Томас рассказал о работе СРР и о достигнутых договоренностях с ГКРЧ, РЧЦ и ФАС в части разработки нового Регламента любительской радиослужбы в России.

На прошедшем в первый день фестиваля УКВ форуме рассматривались вопросы развития в России сетей Эхолинк, использовании радиолюбительских спутников для науки и образования, организации дней активности на УКВ и радиоэкспедиций выходного дня. Также на этом форуме затронуты вопросы возрождения очного чемпионата РФ и дипломной программы. На техническом КВ-контакте форуме обсуждали различные конструкции антенн.

Но, пожалуй, самым интересным и актуальным стал форум по работе с молодежью. Да и проходил он дольше всех — 3,5 часа. Ни для кого не секрет, что подавляющее число активных радиолюбителей России — это люди в возрасте 25 лет и старше. Но, к сожалению, не многие имеют представление, как тяжело привлечь и удержать в радиолюбительстве молодежь, найти для ее обучения помещения и финансирование, грамотно разработать учебные программы.

Сегодня молодежь повально интересуют мобильная связь и Интернет. Более того, придя в радиолюбительскую среду (на коллективные радиостанции при Домах творчества или СЮТ), большая часть молодых людей со временем уходит (в среднем по России — до 85—90 %), не найдя в радио привлекательных сторон. Именно поэтому участники форума совместными усилиями обсуждали пути и методы изменения сложившегося положения.

В самом начале форума наработками в части привлечения финансовых средств, общения с местными органами власти и работе со средствами массовой информации поделился заместитель начальника детской коллективной радиостанции RK3DYB клуба "Ровесник", г. Щелково Московской области,

хранению в коллективах молодого контингента. Так, например, Виктор Ефремов (UA3RA) рассказал, что в коллективе RX3RXX Тамбовского областного дворца творчества детей и молодежи практикуются радиоэкскурсии выходного дня по программе "Острова внутренних водоемов России". Такие выезды (и летом, и зимой) очень заинтересовали молодежь. Они не требуют особых затрат, это в основном питание и GSM, а из аппаратуры — трансивер, простая антенна и электрогенератор.

Несколько дальше пошел коллектив домодедовского клуба юных моряков "Морской радист", который работает под эгидой комитета по делам культуры, молодежи и спорту Домодедовского района Московской области. В клубе ребята весь учебный год учатся азам

тельное зрелище, вызвавшее массу эмоций у своих зрителей, закончилось победой команды "IOTA". До позднего вечера среди некоторых участников фестиваля проходило его обсуждение.

Утром следующего дня начался показ презентаций, фильмов и слайд-шоу о прошедших радиоэкскурсиях, порой экстремальных, в различные уголки Земли. Огромный интерес присутствовавших на этом мероприятии вызвали слайд-шоу о путешествии в географический центр СССР (RP9J), о котором уже писал наш журнал, и видеофильм о поездке на остров Шалаурова (R0K) — один из последних "New One" в российской Арктике. Также с живым интересом был просмотрен видеофильм об экспедиции по Ладожскому озеру (UE1NLO), посвященной 60-летию Победы в ВОВ, и еще около десятка рассказов и презентаций о проделанных радиоэкскурсиях.

Состоялась и презентация музея фирмы РКК, содержащего более 150 единиц хранения, среди которых редчайшие радиоприемные и радиопередающие устройства времен второй мировой войны.

Между рассказами и просмотрами видео проходили награждения победителей различных соревнований по радиосвязи на КВ, а в конце мероприятия были награждены победители по программам клуба "Русский Робинзон". Лучшей российской экспедицией по программе IOTA была признана экспедиция RIOIMA (остров Мотыкиль, AS-170), лучшей экспедицией по программе RFFA — RA9SC, лучшей RRA экспедицией — RZ4HZW/p, лучшей экспедицией по программе RMA — RK0BWW/p. Также экспедиции были отмечены и в других номинациях: за работу с максимального числа островов (40 островов) по программе RIIA — RZ4HZW/p, за максимальное число QSO с островов по программе RIIA — UE3YMI/p, самой экстремальной экспедицией года названа экспедиция RIOCM. Робинзоном года стал Виктор Синявин (RN1NU).

Но не только форумами, презентациями и награждениями были увлечены участники фестиваля. Многие из них проверили свои знания в радиолюбительской викторине DX/IOTA/CONTEST (QUIZ), попытались удачу в CW и SSB "pile-up" и посоревновались в УКВ минитесте, результаты которых были оглашены вечером на традиционном банкете под живую музыку. Победителем QUIZ'a стал Евгений Шаблыгин (RA3AA), лучше всех принимал позывные в телефонном "pile-up" Дмитрий Антипов (UA1OMX), а в телеграфе — Валерий Петров (RW3GU). Лучший результат в УКВ минитесте показала москвичка, администратор интернет-сайта фестиваля, Елена Бойченко (RV3ACA).

Праздник закончился. Его участники разбегались, чтобы встретиться вновь в эфире, провести массу экспедиций, поучаствовать в десятках соревнований и через год вернуться в Домодедово — на фестиваль 2006 года.

Фотоотчет о фестивале см. на 2-й странице обложки.



UA3AO показал фотографии телеграфных ключей из своей коллекции и продемонстрировал в работе полуавтоматический механический ключ-виброплекс.

Дмитрий Воронин (RV3DUT). Их коллектив сумел достичь заметных высот в данных вопросах, участвуя в различных областных конкурсах учебных программ, которые проводятся ежегодно в рамках федеральной целевой программы патриотического воспитания населения (такие же конкурсы проводят во всех субъектах РФ). Создав учебные программы, они два года подряд занимали первые места в конкурсе программ в направлении "Радиолюбительство" и получали на работу с молодежью суммы, достаточные на создание приличной базы для коллективной радиостанции. Кстати, таких программ в Московской, как и в любой другой, области заявляют всего 1—2 организации, поэтому шанс на получение грантов очень велик. Для привлечения интереса молодежи, коллектив еженедельно дает оперативную информацию о своей деятельности в местные печатные СМИ, заинтересовалось клубом и местное телевидение.

Многие из присутствовавших на форуме руководителей детских кружков поделились своими решениями по со-

морского дела и радиосвязи, а летом их ждет морская радиоэкскурсия с участием в IOTA Contest и различными экскурсиями по славным местам северо-запада России. Причем затраты родителей на такие выезды очень малы — большую их часть финансирует комитет.

Затронули на форуме и вопросы методического обеспечения коллективов. Участники приняли решение о подготовке сборника методических пособий по радиолюбительству для организаций детского дополнительного образования.

Финальную черту форума подвел присутствовавший на нем президент СРР Р. Томас (RZ3AA), ответивший собравшимся на некоторые вопросы по молодежной политике СРР и выразивший готовность максимально помочь в развитии обучения молодых радиолюбителей.

Завершением первого дня фестиваля стал товарищеский футбольный матч между командами "DX-CONTEST" и "IOTA". Судьей встречи выступил известный украинский радиолюбитель Георгий Члиянц (UY5XE). Очень увлека-

СОГЛАСОВАНИЕ КВАРЦЕВЫХ ФИЛЬТРОВ

Правильно рассчитанный и построенный кварцевый лестничный фильтр дает хорошее совпадение реальных характеристик с результатами расчетов [1—3]. Однако иногда ранее измеренная амплитудно-частотная характеристика (АЧХ) кварцевого фильтра после его включения в аппаратуру существенно искажается. Искажения заключаются в основном в чрезмерном увеличении неравномерности затухания в полосе пропускания фильтра. Бывают случаи, когда наблюдается и сдвиг центральной частоты и изменение полосы пропускания фильтра.

Чтобы разобраться в причинах возникновения искажений АЧХ, обратимся к статье [1], излагающей принципы построения кварцевых лестничных фильтров на одинаковых резонаторах. Согласно формулам (2), (4), и (5) (см. [1]) резонансные частоты всех звеньев правильно построенного фильтра, если рассматривать каждое из них в отдельности, должны быть одинаковыми. В реальной же аппаратуре кварцевый фильтр включают между узлами, обладающими, как правило, некоторой выходной и входной емкостями. Она-то и расстраивает обычно крайние звенья фильтра. Даже незначительная емкость, подключенная к входу или выходу кварцевого лест-

ничного фильтра, заметно увеличивает неравномерность АЧХ в полосе пропускания. Еще хуже, когда фильтр в аппаратуре подключают длинными экранированными проводами. Емкость даже короткого отрезка такого провода может достигать десятков пикофарад.

На рис. 1 показано, как влияет емкостная нагрузка на АЧХ четырехрезонаторного кварцевого фильтра. Кривая 1 — АЧХ фильтра, включенного между сопротивлениями, рассчитанными по формулам (9) (см. [1]). Неравномерность АЧХ достигает 1 дБ, что незначительно превышает расчетное значение. Если к выходу этого фильтра подключить конденсатор 47 пФ, то неравномерность АЧХ возрастет до 5,5 дБ (кривая 2 на рис. 1). Увеличится и затухание в полосе пропускания фильтра. Кривая 3 дает представление об изменении АЧХ фильтра, когда к его входу и выходу подключены конденсаторы емкостью 47 пФ. В этом случае неравномерность АЧХ достигает 10 дБ.

Если при включении кварцевого фильтра нельзя обойтись без экранированных соединительных проводов, их емкость нужно нейтрализовать, включив параллельно им катушки индуктивности. Индуктивность катушки (в микрогенри) можно определить по формуле $L \approx 25300/f^2C$, где f —

центральная частота полосы пропускания (в мегагерцах); C — паразитная емкость (в пикофарадах).

Если значение паразитной емкости точно неизвестно, индуктивность нейтрализующей катушки подбирают экспериментально. Для этого рассчитывают ожидаемое значение индуктивности L , подставляя в вышеприведенную формулу приблизительное значение паразитной емкости C . Затем к фильтру подключают подстраиваемую катушку, индуктивность которой близка к рассчитанному значению L . Изменяя индуктивность этой катушки, добиваются наименьшей неравномерности АЧХ в полосе пропускания.

На рис. 2 показана АЧХ кварцевого фильтра с подключенными к входу и выходу конденсаторами 47 пФ и нейтрализирующими катушками индуктивности. Кривая 1 представляет АЧХ при оптимальных индуктивностях нейтрализирующих катушек. Кривая 2 соответствует АЧХ того же фильтра при неполной нейтрализации паразитных емкостей (L — слишком велика), кривая 3 — при индуктивной паразитной нагрузке (L — меньше оптимальной). Из рисунка видно, что если нет возможности подстраивать нейтрализирующую катушку индуктивности, лучше выбирать значение L несколько выше оптимального.

Искажения АЧХ могут быть вызваны и несоответствием сопротивлений нагрузки фильтра их расчетным значениям. На рис. 3 показано влияние отклонения сопротивления на выходе фильтра от его расчетного значения. Кривая 1 представляет собой АЧХ четырехрезонаторного фильтра при сопротивлении нагрузки, равном 1,37 кОм (расчетное значение — 1,36 кОм). Кривая 2 снята при сопротивлении нагрузки 680 Ом, кривая 3 — при сопротивлении 2,7 кОм. Рис. 3 наглядно показывает, что уменьшение сопротивления нагрузки слабо влияет на неравномерность АЧХ, но заметно сужает полосу пропускания фильтра. Увеличение сопротивления нагрузки сверх расчетного значения ведет к существенному возрастанию неравномерности АЧХ и расширению полосы пропускания.

**В. ЖАЛНЕРАУСКАС (UP2NV),
мастер спорта СССР
международного класса**

г. Каунас
Литовской ССР

ЛИТЕРАТУРА

1. Жалнераускас В. Кварцевые фильтры на одинаковых резонаторах. — Радио, 1982, № 1, с. 18—21, № 2, с. 20—21.
2. Жалнераускас В. Кварцевые фильтры с переменной полосой пропускания. — Радио, 1982, № 6, с. 23—24.
3. Жалнераускас В. Выбор резонаторов для кварцевых фильтров. — Радио, 1983, № 5, с. 16.

РАДИО № 7, 1983 г. ♦

Рис. 1

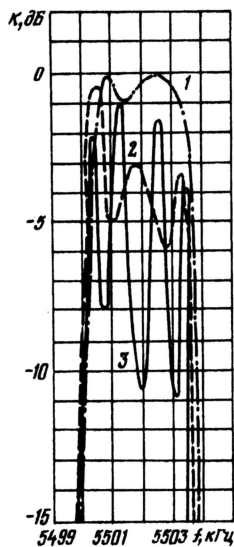


Рис. 2

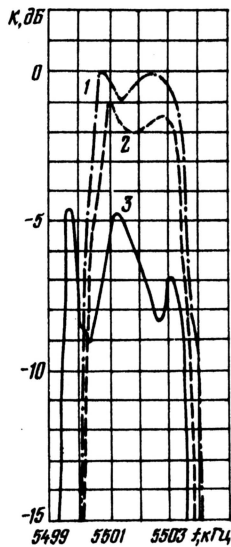
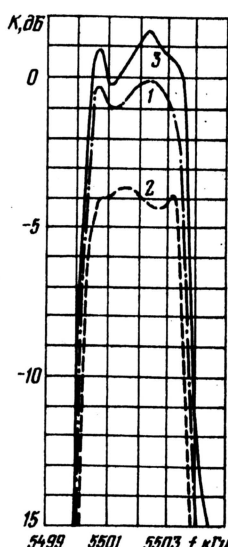


Рис. 3



Усилитель промежуточной частоты с улучшенной симметрией

Владимир РУБЦОВ (UN7BV), Астана, Казахстан

Для оптимального согласования входных и выходных сопротивлений и получения противофазных сигналов в устройствах с кольцевыми балансными диодными смесителями приходится применять высокочастотные трансформаторы, достаточно трудоемкие в изготовлении. Противофазный сигнал можно получить и без трансформатора, используя так называемый парафазный каскад. Однако коэффициент усиления такого каскада меньше единицы. Кроме

применение этого каскада в УПЧ приемника показало, что его усиление недостаточно высоко. Чтобы его повысить, нижний по схеме транзистор был заменен усилителем, показанным на рис. 2, а верхний — на рис. 3. Каждый из них обладает усилением 1000...3000 (в зависимости от коэффициентов усиления транзисторов), имеет хорошую устойчивость (благодаря отрицательной обратной связи) и отличаются они лишь тем, что выполнены на транзисторах различной

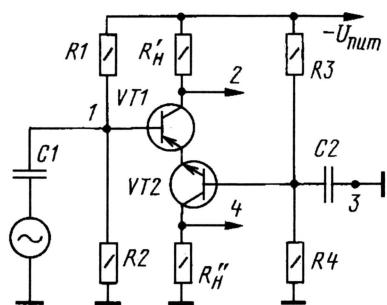


Рис. 1

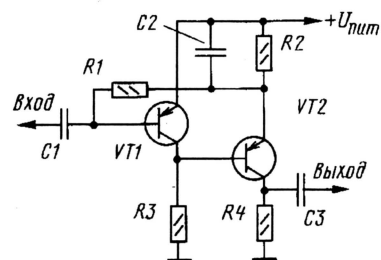


Рис. 2

того, выполненный на биполярном транзисторе, он не будет обладать полной симметрией. Решить эти проблемы можно с помощью предлагаемого в этой статье усилителя промежуточной частоты с улучшенной симметрией и большим коэффициентом усиления. За основу был взят каскад, схема которого приведена на рис. 1 (Основы полупроводниковой электроники. — М.: Сов. Радио, 1958). Он обладает улучшенной симметрией из-за применения транзисторов с разной структурой (n-p-n и p-n-p). На этой схеме цифрами 1 и 3 обозначены входы (прямой и инверсный) и цифрами 2 и 4 — выходы (инверсный и прямой). Инверсный вход на этом рисунке соединен с общим проводом. Ток эмиттера, коэффициент усиления по току, напряжению, входное сопротивление этого каскада отличаются от аналогичных параметров каскада на одиночном транзисторе коэффициентом 2.

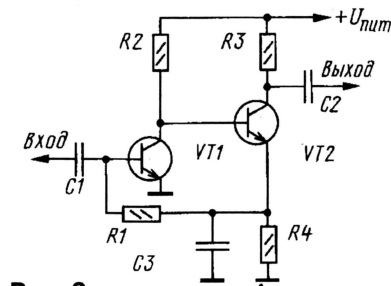


Рис. 3

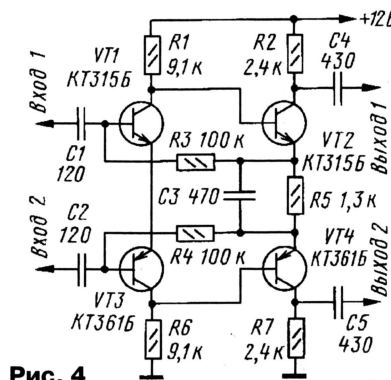


Рис. 4

структуры (n-p-n и p-n-p). В результате простого объединения этих двух усилителей получился усилитель, показанный на рис. 4, обладающий свойствами всех трех (рис. 1—3) одновременно. Резистор R5 (рис. 4) — общий для обеих цепей отрицательной обратной связи по постоянному току. По переменному току он зашунтирован конденсатором C3, чтобы не уменьшать общий коэффициент усиления (по переменному току). Этот усилитель обладает улучшенной симметрией выходных сигналов, высокой устойчивостью и большим коэффициентом усиления (2000...6000). Он был применен в однодиапазонном приемнике и показал очень хорошие результаты. В сравнении с несколькими другими аналогичными конструкциями этот приемник выигрывал по многим показателям, в частности, по чувствительности, уровню шума, устойчивости.

Редактор — С. Некрасов, графика — Ю. Андреев

RAINBOW TECHNOLOGIES

Партнерский форум компании Rainbow Technologies

Компания Rainbow Technologies уже более 12 лет работает на рынке электроники и электронных технологий и имеет четыре офиса в России (Москва, Санкт-Петербург, Екатеринбург, Новосибирск), а также представительства в Белоруссии и Украине.

Во второй половине октября этого года прошел Партнерский форум компании, на который собралось более 100 представителей отечественных предприятий, научных организаций и средств массовой информации. Большинство приглашенных составили директора, главные инженеры и ведущие инженеры-разработчики известных российских предприятий. Основной целью форума являлось ознакомление его участников с новейшими разработками компаний-производителей и методиками внедрения современных технологических решений в промышленные и бытовые системы.

На встречу с представителями инженерного корпуса России приехали топ-менеджеры и ведущие технические специалисты зарубежных компаний-производителей, таких как National Semiconductor (компоненты для построения импульсных источников питания), Atmel (перспективные семейства микроконтроллеров), Radiocrasts (радиоканальные устройства ISM-диапазона), International Rectifier (силовые приборы), ROHM (силовые компоненты и их управляющие элементы, микросхемы памяти, ИК приборы, элементы радиочастотных систем), Toshiba (микроконтроллеры для силовых систем и систем отображения информации).

Особый интерес вызвали доклады специалистов компании Rainbow Technologies по компонентам систем беспроводной передачи данных (DAI Telecom, Fargo Telecom, Atmel, Maxim-Dallas, Telecontrolli, National Semiconductor) и о собственных инженерных и программных разработках.

Следует отметить, что во всех докладах отдельное внимание было уделено средствам разработки и отладки систем на основе рассматриваемых в ходе лекций компонентов. Эта информация поможет разработчикам сократить время проектирования и будет полезна службам маркетинга и комплектации.

В конце каждого блока докладов проводились круглые столы, на которых участники могли в неформальной обстановке поговорить с докладчиками. Такой формат общения позволял участникам напрямую решить многие вопросы с представителями зарубежных фирм. Интерес к этим дискуссиям был столь велик, что они зачастую не укладывались в рамки отведенного времени, но программа мероприятия была составлена так, что обсуждение шло без ущерба для следующих выступлений.

НА ЛЮБИТЕЛЬСКИХ ДИАПАЗОНАХ

Соревнования

"Молодежные старты"

Начиная со следующего года вместо летних и зимних "дней активности" редакция журнала "Радио" будет проводить зимние соревнования "Молодежные старты". Даты и время их проведения остались неизменными, а в положение внесены некоторые изменения. Самое принципиальное — это введение зачета радиосвязей, проведенных телеграфом и цифровыми видами.

В 2006 г. зимние соревнования будут проходить с 9 до 15 UTC 22 января. К участию в этих соревнованиях приглашаются коротковолновики всех стран мира. Зачетное время (указывается в отчете) — любые четыре часа непрерывной работы по выбору участника, но отчет надо предоставить за все связи, проведенные в соревнованиях. Виды работы — PHONE (SSB, AM, FM), CW, DIGITAL (все — RTTY, PSK-31 и др.). Использование DX-кластера разрешается.

Соревнования проводятся на всех KB и УКВ диапазонах. Рекомендуется воздерживаться от работы в PHONE и CW — DX-окнах. При работе DIGITAL надо придерживаться принятого для данного вида связи частотного расписания. Связи через УКВ релитеры также идут в зачет.

Зачетные классы: SOMB JR (один оператор — все диапазоны — молодежь), MOST JR (несколько операторов — все диапазоны — молодежь), SWL JR (наблюдатели — молодежь), SOMB (один оператор — все диапазоны — взрослые), MOST (несколько операторов — все диапазоны — взрослые), SWL (наблюдатели — взрослые).

Молодежной (JR) считается радиостанция, оператору которой в текущем календарном году исполнилось (исполнится) 18 лет или он моложе. Для 2006 г. — это участники 1987 г. рождения и позже. Радиостанция с несколькими операторами считается молодежной, если все ее операторы соответствуют данному критерию.

Молодежным радиостанциям в зачет идут все радиосвязи, а остальным участникам — только радиосвязи с молодежными радиостанциями. Наблюдателям в зачет идут наблюдения за работой молодежных радиостанций. Повторные связи разрешены на разных диапазонах, а на одном диапазоне — разными видами работы (FONE, CW, SSB).

Общий вызов для молодежных радиостанций: "Всем, работает молодежная радиостанция...". При работе в CW и DIGITAL передается вызов следующего вида: "CQ DE JR RK3DXW, RK3DXW PSE K".

Контрольные номера состоят из RS(T), имени и QTH. Операторы молодежных радиостанций, кроме этого, должны сообщать свой возраст. При работе CW и DIGITAL передается фраза вида: "MY AGE IS 10". У коллективных радиостанций свое имя и возраст сообщает оператор, проводящий в данный момент радиосвязь.

За каждую радиосвязь с молодежной радиостанцией начисляют 5 очков, за радиосвязи с остальными радиостанциями — 1 очко. Наблюдатели получают 1 очко за одностороннее наблюдение (принят один позывной и переданный номер) и 3 очка — за двухстороннее. Множителя в этих соревнованиях нет. Окончательный результат получается как сумма очков за радиосвязи по всем диапазонам. Зачет только общий — по всем диапазонам и видам работы.

Все JR участники, приславшие отчет, получают контест-дипломы журнала "Радио". Отдельно будут отмечены JR участники, показавшие лучшие результаты по видам работы (независимо от места, занятого в общем зачете).

Отчеты желательно представлять в электронном виде и в формате Cabrillo. Бумажный отчет составляют в хронологическом порядке проведения радиосвязей со строкой отчета: время (UTC), диапазон (МГц), вид работы, позывной корреспондента, переданный и принятый контрольные номера. Очки просчитывать не обязательно. Адрес для отправки бумажных отчетов: 107045, Москва, Селиверстов пер., 10, редакция журнала "Радио", а электронных — contest@radio.ru.

Срок отправки отчета за зимние соревнования — не позднее 21 февраля 2006 г.

Дипломы

Р-6-К. Этот диплом выдает "Союз радиолюбителей России". Он присуждается за QSO с любительскими радиостанциями всех шести континентов мира (Азии, Африки, Европы, Океании, Северной Америки, Южной Америки). С каждым континентом достаточно провести по одному QSO. Есть четыре различных диплома: MIX — за QSO, проведенные различными видами излучения; PHONE —



за QSO, проведенные только телефоном; CW — за QSO, проведенные только телеграфом; DIGITAL — за QSO, проведенные только цифровыми видами связи. Зачисляются радиосвязи начиная с 9 марта 1946 г.

Заявку на диплом Р-6-К составляют на основании QSL, полученных в подтверждение проведенных QSO. Данные о QSO указываются в следующем порядке: континент, позывной сигнал радиостанции корреспондента, дата проведения QSO, вид модуляции, диапазон. Данные о QSO располагаются в заявке в алфавитном порядке названий континентов.

Заявка заверяется двумя радиолюбителями или представителем регионального или местного отделения CPP. QSL-карточки прилагают к заявке не требуется. Стоимость диплома для радиолюбителей России — 49 руб.

Оплату производят переводом на расчетный счет CPP. В переводе необходимо указать кто (позывной) и что оплачивает. Банковские реквизиты CPP:

Получатель платежа CPP
Расчетный счет 40703810938050100730
в Сбербанке России г. Москва Марьино-рошинское ООБ
№ 7981 г. Москва
Корр. счет 30101810400000000225
БИК 044525225
ИНН 7733001209

Наблюдателям диплом Р-6-К выдают на аналогичных условиях.

"Россия". Этот диплом CPP выдают за связи с любительскими радиостанциями 50 областей, краев и республик Российской Федерации (далее по тексту — "областей"). В зачет идут QSO, установленные на KB диапазонах 160, 80, 40, 20, 15 и 10 метров начиная с 12 июня 1991 г. Возможные варианты выполнения условий диплома: MIXED — за QSO различными видами излучения, CW — за QSO только телеграфом, PHONE — за QSO только телефоном; DIGITAL — за QSO, проведенные только цифровыми видами связи.

Отдельный диплом выдается за проведение связи с 50 областями РФ на каждом из зачетных диапазонов — 160, 80, 40, 20, 15 и 10 метров.

К каждому диплому выдают наклейки: за QSO с радиостанциями 75 областей РФ, за QSO с радиостанциями всех областей РФ. За QSO с радиостанциями всех областей РФ каждым видом модуляции выдается отдельная малая накладка.



За связи с радиостанциями 75 областей РФ на каждом из пяти диапазонов (80, 40, 20, 15, 10 метров) выдается отдельная большая накладка. Всего требуется провести 375 связей (75 областей на пяти диапазонах). При этом для различных диапазонов списки зачетных областей, с которыми проведены QSO, могут отличаться.

Заявку на получение диплома "Россия" составляют на основании QSL-карточек, которые получены в подтверждение проведенных радиосвязей. При выполнении условий диплома "Россия" в течение 24 часов во время проведения Russian DX Contest диплом выдается без предоставления QSL-карточек. Для радиолюбителей России стоимость диплома — 100 руб., стоимость наклейки — 50 руб., малой накладки — 1200 руб., большой накладки — 2400 руб. Оплату диплома производят почтовым переводом на расчетный счет CPP.

Наблюдателям диплом "Россия" выдается на аналогичных условиях.

В июльском номере журнала был рассказ о радиоэкспедиции "Победа — 60" в географический центр СССР. По итогам ее работы памятным дипломом с почетным номером № 1 награждена редакция журнала "Радио", которая 30 лет назад стала инициатором проведения радиолюбительских мероприятий, посвященных подвигу нашего народа в Великой Отечественной войне.





СОДЕРЖАНИЕ ЖУРНАЛА ЗА 2005 г.

Первое число после названия статьи обозначает номер журнала, второе — страницу (начало статьи). Материалы рубрик "Обмен опытом" и "Дополнение к напечатанному" ("Наша консультация", "Обратите внимание") включены в соответствующие тематические разделы содержания.

НАУКА И ТЕХНИКА. ВЫСТАВКИ

Три сферы деятельности академика А. Л. Минца.	1	6
(К 110-летию со дня рождения). А. Шмелев	1	69
"ИнфоКом-2004", "НАТЭкспо-2004". С. Мишенков	1	4
Радиолюбители и космос	4	8
Три домашних кинотеатра. В. Меркулов	4	5
7 мая исполняется... 110 лет радио и 60 лет Дню радио!	4	5
С. Мишенков	5	6
Первая Всесоюзная радиовыставка. С. Мицин	6	7
Мобильные персональные медиацентры. В. Меркулов	6	17
Hi-Fi SHOW & HOME THEATRE 2005 в Москве. В. Меркулов	7	4
Возрождение традиций. Всероссийская выставка научно-технического творчества молодежи	8	2-я с. обл.
Новые мультимедийные решения в Ганновере. В. Меркулов	8	9
	9	9

РЕТРО

Проводники с укорочением в антеннах. К. Харченко	1	8
Синтезатор панорамно-объемного звучания радиолы "Синиус-315-пано". А. Пиорунский, Н. Павлов	2	5
Омметр с линейной шкалой. В. Конягин	3	7
Влияние КСВ на работу радиостанции. Я. Лаповок	4	62
Переносный аппарат для точечной электросварки. В. Папенин	7	7
Расчет и изготовление плоских катушек. Ю. Янкин	8	7
Подавление радиопомех. С. Лютов	9	6
Простой среднеквадратичный. Б. Григорьев	10	6
Ферритовые кольца в спортивной аппаратуре. Ю. Мединец	11	6
Т. Томсон	11	63
Выбор резонаторов для кварцевых фильтров. В. Жалнераускас	11	67
Согласование кварцевых фильтров. В. Жалнераускас	12	6
Устойчивость усилителя и естественность звучания. А. Витушкин	12	6
В. Телеснин	12	6

ВИДЕОТЕХНИКА

Построение каналов изображения видеомагнитофонов. Применяемость микросхем предварительных усилителей. Ю. Петропавловский	1	10
Современные видеомагнитофоны фирмы LG, устройство ЛПМ. Ю. Петропавловский	2	7
Регулировка и ремонт стереофонических видеомагнитофонов. Ю. Петропавловский	4	11
Видеокамеры с малогабаритными БВГ, особенности конструкций и ремонт. Ю. Петропавловский	7	12
Ремонт БВГ и взаимозаменяемость многоголовочных верхних цилиндров. Ю. Петропавловский	8	11
Устройство и ремонт видеокамер SONY, лентопротяжные механизмы К, О, О', У. Ю. Петропавловский	9	12
Видеокамеры SONY с механизмом В. Ю. Петропавловский	11	13
Проблемы ремонта видеотехники и использование ее узлов радиолюбителями. Ю. Петропавловский	12	11
Простая антенна МВ и ДМВ. В. Поляков	1	13
Комбинированная телевизионная антенна. Испытание готовых антенн, доработка выбранных, самостоятельное изготовление. И. Потачин	3	8
Способ быстрого изготовления телевизионной антенны. В. Солонин	6	9
Телевизионный антенный усилитель с большим динамическим диапазоном. И. Нечаев	9	11
Устройство коммутации телевизионных антенн. И. Коротков	2	10
Антенный переключатель, управляемый ПДУ. Н. Сакевич	11	10
Подъемное устройство для ТВ антенны. В. Куприн	12	14
Удвоение числа переключаемых программ в телевизорах 4УСЦТ. И. Коротков	1	14
Замена строчного трансформатора ТВС-110ПЦ16П на ТВС-110ПЦ15. А. Сличенков	1	15
Джойстик управляет видеоигрой в ТВ. В. Катарлов	1	16
Вариант усовершенствования субдуглы синхронизации разверток. В. Лавренко	2	13
Простой кодер PAL/NTSC для генератора "Электроника ГИС-02Т". Г. Гузенков	3	11
Генератор телевизионных сигналов на микроконтроллере. Г. Накаряков	6	10
ГИС-3. С. Рюмик	8	14

Устройство автоматического выключения телевизора. В. Попов	3	12
Проверка ПДУ. Г. Михайлов	4	15
Проверка пультов ДУ. В. Небольсин	8	17
Видеотракт гибридного телевизора DVB-T. Б. Хохлов	5	9
"Удлинитель" для пультов дистанционного управления (к статье "Многокомнатная видеоаудиосистема", опубликованной в "Радио", 2004, № 3, с. 14, 15, 24). Ю. Петропавловский	5	12
Установка MCH-501-8 в телевизоры Рекорд-ВЦ311. И. Москвин	7	10
Ремонт и доработка телевизоров... FUNAI — TV-1400MK7, FUNAI — TV-2000MK7, FUNAI — TV-2008CLP	7	15
С. Морозов	7	16
...АМВА — VX-T147, FUNAI — TV-2100. И. Коротков	7	16
...Рубин — 55FS10T. Г. Воронин	7	16
Однокристальные ТВ процессоры VCT48/49хл. А. Пескин, А. Спирняк	10	8
Версии процессоров, структурная схема, тракт ПЧ	10	8
Демодулятор и процессор сигналов звука. Усилители видеосигналов и видеопроцессор	11	8
Каналы дисплейной обработки и разверток. Микроконтроллер управления	12	8
Карты памяти в современных бытовых устройствах. В. Меркулов	10	12
Подключение динамических микрофонов к бытовым видеокамерам. А. Шаронов	12	15

Дополнения к статьям

Нечаев И. Активная антенна МВ-ДМВ (Радио, 1998, № 4, с. 6—8). Режимы транзисторов по постоянному току	1	74
Латченков Н. Автоматический таймер для телевизора (Радио, 2000, № 3, с. 8—10). Печатная плата	2	46
Малород Д. Тестирование строчной развертки при малом напряжении питания (Радио, 2003, № 10, с. 7—10). Замена диода 1,5KE350	4	46
Бутов А. Устройство понижения громкости звука во время рекламы (Радио, 2004, № 4, с. 14, 15). О чертеже печатной платы	9	52

ЗВУКОТЕХНИКА

Минимизация шумов предварительных усилителей. О некоторых особенностях проектирования малошумящих усилителей при существенно реактивном импедансе источника сигнала. (Продолжение статьи. Начало см. в "Радио", 2004, № 12). С. Агеев	1	16,
см. также 2—16, 3—16		
Транзисторный усилитель мощности без обратной связи. (Окончание статьи. Начало см. в "Радио", 2004, № 12). К. Мусатов	1	20
УМЗЧ с параллельной ООС. Л. Зуев	2	14,
см. также 3—14, 4—16		
Ламповые УМЗЧ с трансформаторами ТАН. С. Комаров	5	16
УМЗЧ на "телевизионных" лампах с трансформаторами ТН.	12	20
С. Комаров	12	20
Трехканальный УМЗЧ для автомобиля. В. Горев	7	18
УМЗЧ на микросхеме ТA8215. Д. Захаров	8	18
УМЗЧ мощностью 320 Вт на микросхеме STK4231. И. Коротков	11	16
Повышение мощности усилителя на микросхеме TDA7294. А. Чивильча	11	18
Переносная стереомагнитола как активная АС для компьютера. А. Пахомов	1	23
Простая АС для компьютера. И. Коротков	10	15
Автоматный блок звукоусиления на основе входного модуля микшерного пульта. Э. Кузнецов	5	20
Подключение дискового плеера к автомобильной магнитоле. М. Сапожников	6	15
Измерение электроакустических характеристик громкоговорителей. К. Филатов	6	16
Hi-Fi SHOW & HOME THEATRE 2005 в Москве. В. Меркулов	7	17
Регулятор громкости и тембра с управлением от ПДУ. А. Добрыжинский	9	16
Линеаризация каскадов усиления напряжения без ООС. М. Кулиш	12	16
Регулировка канала записи магнитофона современными средствами. Компьютер и проигрыватель компакт-дисков как генераторы испытательных сигналов. С. Пермяков	9	20
	10	17



Дополнения к статьям

Потачин И. Темброблок с фиксированными настройками (Радио, 2003, № 9, с. 17). Печатная плата	1
Косенко С. Импульсный блок питания для УМЗЧ (Радио, 2004, № 3, с. 16, 17; № 5, с. 20—22). Как рассчитать трансформатор Т1 на ином магнитопроводе	2
Мусатов К. Импульсное подмагничивание в кассетном магнитофоне (Радио, 2004, № 9, с. 20—23). О формуле для расчета амплитуды напряжения на записывающей головке, об увеличении диаметра провода обмоток трансформаторов Т1 и Т2	3
Демьянов А. Акустическая система "VERNA 100-10" (Радио, 2004, № 8, с. 15—17). Размеры труб фазоинверторов, типы конденсаторов и резисторов разделительных фильтров, использование головки H422SEAS	3
Шихатов А. Схематехника автомобильных усилителей (Радио, 2002, № 2, с. 17—19). О регуляторах частот среза ФВЧ и ФНЧ кроссовера усилителя для работы с сабвуфером	8
Бацунов В. УМЗЧ в режиме класса В с комбинированной ООС (Радио, 2003, № 12, с. 16—18). Предварительный усилитель	12

РАДИОПРИЕМ

Новости эфира. П. Михайлов	1
см. также 2—20, 3—22, 4—22, 5—25, 6—21, 7—24, 8—22, 11—22, 12—24	24
Увеличение дальности приема на УКВ. П. Любимов	2
Улучшение радиоприема в УКВ диапазоне. В. Томин	10
УКВ ЧМ приемник прямого преобразования на К174ПС1. Э. Сакевич	5
Синтезатор частоты для УКВ радиоприемника. М. Озолин	12
Система цифрового звукового радиовещания DAB.	
Современное состояние. Л. Кацнельсон, Л. Козлова	3
Приемник-радиоточка. Ю. Степанян	4
О действующем объеме антенны. В. Гаврилов	6
Измерение частоты приема. В. Степанов	8
Устойчивость УЗЧ к радиочастотным помехам. О. Шмелев	9
Что такое DXing?... П. Михайлов	10

Дополнения к статьям

Нечаев И., Лукьянчиков Н. Антенный усилитель УКВ ЧМ радиоприемника (Радио, 2001, № 1, с. 16)	
Об использовании усилителя в приемнике с низковольтным питанием	2
Рейтинг СВЧ транзисторов для усилителя	2
Пахомов А. Стереодекoder с входным фильтром КСС (Радио, 2002, № 12, с. 14—16). Емкость конденсаторов С7 (рис. 1) и С1, С2 (рис. 4). Микросхема DD1 — К564КТ3	2
Озолин М. Дистанционное управление УКВ радиоприемником (Радио, 2004, № 7, с. 23, 24)	
О подключении кнопок SB3—SB5 на рис. 2	2
Печатные платы передатчика и приемника	4
Назначение кнопок на панели управления	5
Озолин М. Цифровая шкала настройки УКВ радиоприемника (Радио, 2004, № 6). Печатная плата измерителя частоты	3
Мартынов С. Экономичный радиоприемник (Радио, 2003, № 12, с. 19—22). О катушке L8, резисторах R47, R51, R55	6
Наумов А. Радиомикрофон (Радио, 2004, № 8, с. 19, 20). Печатная плата	10

МИКРОПРОЦЕССОРНАЯ ТЕХНИКА

АЦП с интерфейсом RS-232. М. Марков	2
Моделирование устройств на микроконтроллерах с помощью программы ISIS из пакета PROTEUS VSM. А. Максимов	4
см. также 5—31, 6—30	30
Аналоговое управление в микроконтроллерном устройстве.	
А. Долгий	4
Программируемый речевой информатор. Д. Фролов	7
Как запрограммировать FLASH РПЗУ. С. Рюмик	7
Программатор FLASH РПЗУ. С. Рюмик	9
Микроконтроллерный определитель выводов транзисторов.	
В. Краснов	10
Доработка генератора на PIC16F84A и AD9850. И. Нечаев, А. Долгий	8
Сотовый телефон — "электронная книга". С. Дмитриев	11
Усовершенствованный реверсивный счетчик. А. Долгий	11
Микроконтроллерная система дистанционного управления.	
А. Баширов	11
Программатор FLASH-памяти 28F256A. В. Мельник	12

Дополнения к статьям

Кулешов С. Генератор на PIC16F84A и AD9850 (Радио, 2004, № 3, с. 26—29). О подключении выводов питания микроконтроллера и сопротивлений резисторов R3—R6	1
---	---

Ранцевич А. Проектирование автоматизированной системы контроля доступа (Радио, 2003, № 6, с. 19—21). О нумерации выводов порта P2 микроконтроллера	3
Балахтарь А. Программатор с питанием от LPT-порта для КР1878ВЕ1 (Радио, 2004, № 1, с. 29, 30). Вывод 1 DD1 должен быть соединен с выводом 20	4
Чибышев Д. Часы-будильник-термометр с ИК ДУ (Радио, 2004, № 1, с. 26—28). Микросхема DA2 — МС34063	5
Рюмик С. Декодеры команд джойстиков от игровых видеоприставок (Радио, 2004, № 6, с. 32—34). Конденсатор C2 должен быть подключен к проводу питания +5 В	6
Кулешов С. Манипулятор с датчиком ускорения (Радио, 2004, № 5, с. 30, 31). Подбор константы pause	8
Краснов В. Микроконтроллерный определитель выводов транзисторов (Радио, 2005, № 8, с. 30, 31). Печатная плата	12
Фролов Д. Программируемый речевой информатор (Радио, 2005, № 7, с. 26—29). О соединении контактов вилки XP1 ("LPT") и розетки XS1 ("FLASH") программатора	12

КОМПЬЮТЕРЫ

Переносная стереомагнитола как активная АС для компьютера.	
А. Пахомов	1
Простая АС для компьютера. И. Короткий	10
Как соединить сотовый телефон с компьютером. Р. Александров	1
Обновление прошивки FLASH-памяти привода CD-RW. А. Горячий	1
Быстродействующая оптронная развязка для RS-232. А. Долгий	3
АЦП с интерфейсом USB. С. Кулешов	5
Работа в Интернете под MS DOS 6.22. Д. Панкратьев	6
Адаптер порта IrDA для компьютера. Л. Рязанцев	7
Как переписать DVD на жесткий диск. И. Кузнецов, Н. Кузнецов	8
Переходник питания АТХ—АТ. М. Феоктистов	8
"Разгон" видеокарты. В. Кисляков	9
Регулятор частоты вращения вентилятора. А. Сорокин	10
Преобразователь интерфейса USB—RS-232 на микросхеме FT232BM. И. Хуртин	10
Как превратить карманный компьютер в генератор ЗЧ. Л. Захаров	11

ИЗМЕРЕНИЯ

О питании мультиметров от сетевого блока питания. А. Бутов	1
Импульсный БП с акустическим выключателем для мультиметра.	
А. Кавыев	6
Измеритель мощности — приставка к цифровому мультиметру.	
И. Нечаев	2
Приставка к мультиметру для измерения мощности. И. Нечаев	11
Автономный делитель частоты для мультиметра M890G. А. Кавыев	7
Ремонт цифровых мультиметров с бескорпусными АЦП.	
Д. Турчинский	10
Ремонт комбинированного прибора 43101. П. Мартыничук	8
Прибор для проверки полевых транзисторов "ПППТ-01". С. Косенко	1
Индикатор для проверки кварцевых резонаторов. С. Коваленко	2
Приставка для измерения индуктивности в практике радиобиблиотек.	
С. Беленецкий	5
Цифровой вольтметр для лабораторного БП. В. Бочарников	8
Делитель частоты диапазона 0,1...3,5 ГГц. И. Нечаев	9
Прибор для проверки оксидных конденсаторов. В. Васильев	10
Пробник конденсаторов на микросхеме MAX253. Б. Соколов	11
Оценка эквивалентного последовательного сопротивления конденсатора. И. Нечаев	12

Дополнения к статье Кичигина А. "Малогабаритный двухлучевой осциллограф-мультиметр" (Радио, 2004, № 6, с. 24—26)	
Изменение полярности включения светодиода HL1, о проводе первичной обмотки трансформатора Т1 (ПЭЛШО 0,31)	7
О слове конфигурации при программировании микроконтроллера и включении между его выводами 6 и 20 резистора сопротивлением 4,7...10 кОм	12

ПРИКЛАДНАЯ ЭЛЕКТРОНИКА

Индикатор включенной нагрузки. С. Горенко	1
Автомат управления стиральной машины. И. Потачин	1
Автомат плавного включения ламп накаливания. И. Нечаев	1
Телефонный охранный сигнализатор. А. Матанцев	1
Телефонный сторож для абонентов АТС с тональным набором номера.	
В. Баев	2
"Записка" по телефону. Г. Алехин	1
Сигнализатор превышения времени телефонного разговора.	
А. Бутов	2
Счетчик времени телефонных разговоров. А. Аветян	11
Блокиратор межгорода. Э. Малиновский	3
Автомат—регулятор громкости сигналов телефонного аппарата.	
А. Бутов	5
"Магнитофон" для телефона. И. Нечаев	6
Охранная система с оповещением по сотовому каналу. С. Кудряшов	6

Регистратор вторжения в помещение с контролем по телефону.

Ю. Фонов	7
Многофункциональный телефон станет удобнее. Ю. Быковский	7
Коммутатор телефонных линий. Р. Ершов	9
Устройство автодозвона. И. Забелин	10
Терморегулятор с трехфазным питанием. В. Секриеру, Е. Мунтяну	1
Управление бытовым прибором с помощью радиозвонка. А. Кашкаров	2
Еще раз о доработке электронных часов. В. Кириченко	21
"Источник питания трехфазного электродвигателя от однофазной сети с регулировкой частоты вращения". (Возвращаясь к напечатанному в "Радио", 2003, № 12, с. 35). Н. Бородин	29
Кодовый замок на двух микросхемах. Р. Липин	32
Искатель трассы и места повреждения контура защитного заземления. Л. Компаненко	2
Блок управления вентилятором микроволновой печи. А. Исаев	2
Электронные часы-будильник включают освещение. И. Нечаев	2
Световое табло, управляемое компьютером. В. Рубашка	2

Приемник для радиоуправляемой игрушки. А. Мартемьянов	3
Регулятор хода радиоуправляемой модели. И. Цаплин	11
ИК "сторож" для дачи. Б. Савченко	3
Полуавтоматический диктор-информатор. А. Ознобихин	3
Экономичный цифровой термометр. А. Вакуленко	3
Многоточечный термометр. А. Балахтар	4
Металлоискатель различает металлы. Л. Джугурян	3
Автомат—коммутатор нагрузки на оптоэлектронном реле. Л. Компаненко	4
Таймер для капельной полвки. И. Коротков	4
"ИК шлейф" в сторожевом устройстве. А. Кашкаров	4
Регулятор мощности на полевых транзисторах. И. Нечаев	4
Система сигнализации для людей с ослабленным слухом. В. Митрофанов	5
Преобразователь напряжения для люминесцентной лампы. И. Нечаев	5
Радиопеленгатор. Ю. Виноградов	6
Термостат для улья. В. Кустиков	6
Малогабаритный термостат. И. Нечаев	10
Тринисторный пускатель с реверсом. В. Нарыжный	6
О питании светильников с лампами на 12 В. В. Захаров	6
Экономичный модулятор для радиомаяка. Ю. Виноградов	7
Автоматическая водокачка. Б. Порохнявый	7
Бездроссельный стабилизатор для водяного насоса. Б. Порохнявый	8
Коммутатор водяного насоса и клапана. И. Коротков	10
Автоматизация водоснабжения индивидуального дома. М. Муратов	11
Автомат защиты холодильника. С. Безюлев	7
Электронные квартирные звонки.	8
...на одном транзисторе. А. Гулин	8
...на двух транзисторах. Д. Яковлев	8
...мелодичный на четырех микросхемах и одном транзисторе. И. Потачин	8
...на микросхеме УМС и двух транзисторах. Н. Климов	8
...на микросхеме УМС, К174УН7 и двух транзисторах. И. Корнеев	9
...на микроконтроллере АТ89С52 и трех транзисторах. Д. Осипенков	9
...на микросхемах ISD1210P, К174УН7, К561ЛА8 и трех транзисторах. А. Патрин	9
Поиск радиомаяка в диапазоне 433 МГц. И. Нечаев	8
Переговорное устройство из компьютерной активной АС. А. Горячкин	9
"Выключатель освещения на ИК лучах" (Возвращаясь к напечатанному в "Радио", 2004, № 2, с. 46—48). А. Русин	9
Дистанционный ИК выключатель. М. Потапчук	12
Электроника в уюте. А. Рубан	9
Охранный сигнализатор с ИК лучом. М. Озолин	9
Прибор для проверки трехфазных двигателей. В. Нарыжный	9
Датчик включения сетевой нагрузки. Ю. Виноградов	9
"Мигалка" для двух ламп. А. Кирилюк	9
Восстановление работоспособности экспонометра фотоаппарата "Зенит Е". С. Маркин	10
Двухканальный регулятор мощности с ДУ. А. Гончаров	10
Ступенчатый регулятор мощности. К. Мовсум-Заде	12
Таймер—регулятор мощности. Б. Соколов	12
Инвертор—замедлитель вращения трехфазного электродвигателя. С. Коваленко	11
Еще раз о "новой жизни" старых часов. А. Мишаков	11
Микроконтроллер стабилизирует натяжение троса. В. Зоткин	11
"Электронная защелка" для механического замка. Ю. Виноградов	11
Переделка электродвигателя РД-09 на напряжение 30 В. В. Бурков	11
Электропривод с шаговым двигателем ДШ-5Д1МУЗ. В. Секриеру, Е. Мунтяну	12
Блок управления "видеоглазком". С. Овсянников	12

Дополнения к статьям

Володин В. Инверторный источник сварочного тока (Радио, 2003, № 8—10).	40
Чертеж печатной платы блока управления, разработанный читателем А. Мокосеевым	3
Опечатка в тексте	4
Итоги мини-конкурса на замену микросхемы ТДА4718А	12
Тушнов В. Стабилизатор частоты вращения коллекторного электродвигателя (Радио, 2002, № 9, с. 42). Печатная плата	5
Русин А. Выключатель освещения на ИК лучах (Радио, 2004, № 2, с. 46, 47). Замена самодельного трансформатора унифицированным	5
Бутлов А. Автомат включения света (Радио, 2004, № 9, с. 42). Печатная плата	5
Ревич Ю. Терморегулятор для дачного водонагревателя (Радио, 2004, № 11, с. 42, 43). Печатная плата	7
Матанцев А. Телефонный охранник сигнализатор (Радио, 2005, № 1, с. 42, 43). В строке 10051 программы цветом должна быть выделена цифра 1, предшествующая ошибочно выделенной цветом букве Е	7
Таразов А. Высокочастотный блок питания люминесцентной лампы (Радио, 2003, № 5, с. 42). Устранение мигания лампы	8
Петухов В., Белецкий И. Светодинамическая установка (Радио, 2004, № 11, с. 39—42). О выводах элемента DD2.4	8

Володин В. Электронный регулятор сварочного тока (Радио, 2004, № 10, с. 38—40). О принципиальной схеме блока А4 (рис. 12)	8
Виноградов Ю. Радиозлектронная охрана поселка (Радио, 2002, № 5, с. 30—32). О датчике и некоторых других деталях устройства	9
Алехин Г. "Записки" по телефону (Радио, 2005, № 1, с. 46). Печатная плата	10
Нечаев И. "Удлинитель" для пульты ДУ (Радио, 2004, № 5, с. 42). О длине соединительных проводов	11
Потачин И. Автомат управления стиральной машиной (Радио, 2005, № 1, с. 39—41). Замена реле	11
Ознобихин А. Полуавтоматический диктор-информатор (Радио, 2005, № 3, с. 37—39). Печатная плата	11
Джугурян Л. Металлоискатель различает металлы (Радио, 2005, № 3, с. 44—46). Точки подключения отводов катушки L1 необходимо поменять местами	11
Щербаков Н. Счетчик времени телефонных разговоров (Радио, 2003, № 6, с. 40, 41). Печатные платы	12
Бутлов А. Автомат — регулятор громкости сигналов телефонного аппарата (Радио, 2005, № 5, с. 46, 47). Печатная плата	12
Нечаев И. Поиск радиомаяка в диапазоне 433 МГц (Радио, 2005, № 8, с. 44—46). Индуктивность дросселя L1 — 0,33...10 мкГн	12

ЭЛЕКТРОНИКА ЗА РУЛЕМ

Зарядное устройство из блока питания компьютера. В. Эсик	2
Контрольный амперметр. Ю. Виноградов	2
Автомобильный охранный сигнализатор на микроконтроллере. А. Яковлев	3
Диагностический прибор — маршрутный компьютер — часы с календарем. (Возвращаясь к напечатанному в "Радио", 2002, № 1, с. 33—36). Д. Юзиков	3
Модернизация бортовой компьютер. А. Алехин	12
Доработка реле стеклоочистителя. А. Кирсанов	4
Контроль напряжения аккумуляторной батареи. В. Гричко	4
Цифровой тахометр с квазизналоговой шкалой. В. Трошков	6
Высокоскоростной автомобильный стробоскоп. Н. Кука, Г. Птах	7
Автомат—коммутатор фар ближнего света. В. Югнин	8
Измеритель емкости стартерных аккумуляторных батарей. К. Мороз	11
Контроль исправности световых приборов. М. Хаматдинов	11
Что показывает амперметр? А. Лавренов	12

Дополнения к статьям

Касаткин Ф. Реле указателя поворотов для легких мотоциклов (Радио, 2004, № 10, с. 44, 45). Замена стабилизатора напряжения	4
Слепченко В. Блок зажигания бензинового отопителя (Радио, 2003, № 8, с. 47). Изменение полярности включения диодов VD1 и VD2	5
Саури Д. Блок управления стеклоочистителем и омывателем (Радио, 2003, № 9, с. 47, 48). Доработка устройства	7
Практическое применение таймера серии 555 (За рубежом). Замедленное отключение освещения в салоне автомобиля (Радио, 1990, № 11, с. 61, 75). О цепи питания микросхемы 555	9
Потачин И. Приборы для автомобилиста. Измеритель угла ЗСК — приставка к мультиметру (Радио, 2003, № 5, с. 45, 46). О налаживании и расширении пределов измерения приставки	10

ЭЛЕКТРОННЫЕ МУЗЫКАЛЬНЫЕ ИНСТРУМЕНТЫ

Термен Л. С. (1886—1993 гг.). С. Мишенков	8
Терменвокс. Л. Королев	8
Визуализатор высоты тона терменвокса. Л. Королев	10

ИСТОЧНИКИ ПИТАНИЯ

Цифровое устройство защиты с функцией измерения. Н. Заец	1
Усовершенствование защитного устройства. А. Кузема	1
Устройство защиты. О. Петраков	3
Устройство защиты стабилизатора от перегрузки. О. Сидорович	3
Универсальный эквивалент нагрузки. И. Нечаев	1
Модуль мощного стабилизатора напряжения на полевом транзисторе. И. Нечаев	2
Блок питания — зарядное устройство. С. Митюров	2
Доработка блока питания — зарядного устройства. М. Озолин	11
Измерение остаточной емкости гальванических элементов типоразмера АА. И. Подушкин	3
Импульсный источник питания паяльника и дрели. Е. Гайно, Е. Москатов	3
Стабилизаторы напряжения отрицательной полярности на микросхеме КР142ЕН19. С. Каныгин	4
Расчет импульсного трансформатора двухтактного преобразователя. С. Косенко	4
Стабилизатор напряжения 0...15 В с шагом регулирования 1 В. М. Озолин	5
Блок питания на основе преобразователя напряжения для питания галогенных ламп. Н. Янгалиев	5
Электронный предохранитель. И. Нечаев	6
Импульсный ИП в спичечной коробке. Е. Москатов	6
Особенности работы индуктивных элементов в однотактных преобразователях. С. Косенко	7
Стабилизированный преобразователь напряжения 12/220 В. А. Екимов	7
Цифровой вольтметр для лабораторного БП. В. Бочарников	8
Простой источник бесперебойного питания. М. Озолин	8
Стабилизатор переменного напряжения. А. Годин	8
Проектирование импульсного стабилизированного понижающего преобразователя. С. Косенко	9
Лабораторный источник питания с микроконтроллерным управлением. В. Оразов	10
Доработка зарядного устройства. М. Озолин	11
Тринисторный выпрямитель с регулируемым выходным напряжением. Л. Компаненко	11

Итоги мини-конкурса на замену микросхемы TDA4718A	12
Импульсный стабилизированный блок питания мощностью 1 кВт.	
И. Коротков	12

Дополнения к статьям

Косенко С. "Интеллектуальное" зарядное устройство для Ni-Cd аккумуляторов (Радио, 2004, № 5, с. 32—35)	
Доработка устройства с целью гарантированного включения аккумулятора в режим быстрой зарядки	1
Уточнения в тексте статьи	7
Пышкин В. Трехфазный инвертор (Радио, 2000, № 2, с. 35). Выводы 6 и 7 микросхемы DD2 должны быть соединены с ее выводом 10	1
Гайно Е., Москатов Е. Квазирезонансный полумостовой блок питания (Радио, 2004, № 6, с. 35, 36). О применении Ш-образного магнитопровода в трансформаторе Т1	3
Аксенов В. Экономичное устройство защиты аппаратуры от колебаний напряжения сети (Радио, 2003, № 7, с. 25, 26). Печатная плата	6
Горшенин С. Маломощный импульсный блок питания (Радио, 2004, № 8, с. 29). Печатная плата	6
Гизатуллин Ш. Автоматическое зарядное устройство (Радио, 2004, № 4, с. 34, 35). Печатная плата	8
Митюров С. Импульсный блок питания на базе БП ПК (Радио, 2004, № 10, с. 32—34). Повышение надежности работы блока	9
Годин А. Стабилизатор переменного напряжения (Радио, 2005, № 8, с. 33—36). Повышение надежности работы стабилизатора	12
Озолин М. Простой источник бесперебойного питания (Радио, 2005, № 8, с. 32, 33). Числа витков обмоток II трансформатора Т1 и I трансформатора Т2 необходимо поменять местами	12

РАДИОЛЮБИТЕЛЮ-КОНСТРУКТОРУ

Усовершенствование защитного устройства. А. Кузема	1
Последовательное включение низковольтных симисторов. А. Бугов	1
Формирователь звуковых сигналов. О. Борисенко	37
Безопасное управление тринистрами. А. Ладика	2
Устройство защиты. О. Петраков	3
Устройство защиты стабилизатора от перегрузки. О. Сидорович	3
Этапы разработки устройства на ПЛИС. В. Ходырев	4
Расчет вентилируемого ребристого теплоотвода. А. Сорокин	4
Автомат — коммутатор нагрузки на оптоэлектронном реле. Л. Компаненко	4
Реверсивный счетчик импульсов. В. Демонтович	4
Генератор из компьютерной "мышь". А. Бугов	4
Частотный дискриминатор. В. Демонтович	4
Волоконно-оптические кабели. А. Юшин	5
Современные жидкокристаллические дисплеи. М. Марков	5
Применение драйверных микросхем для управления мощными полевыми транзисторами. М. Стрыгин	6
Блок разгона — торможения ротора шагового электродвигателя. В. Демонтович	7
ЭПС и не только... Б. Степанов	8
АЦП KP572PB5 — компаратор напряжения. А. Романчук	9
Указатель положения переключателя. Е. Москатов	9
Управление биполярным переключательным транзистором. В. Володин	10
Таймер с принудительным возвратом в исходное состояние. А. Сергеев	10
Регулятор напряжения с цифровым управлением. Э. Мамедов	12

Дополнение к статье Партина А. "Звуковой модуль на одной микросхеме" (Радио, 2002, № 11, с. 40, 41). Печатная плата	9
--	---

РАДИОЛЮБИТЕЛЬСКАЯ ТЕХНОЛОГИЯ

Заправка картриджей лазерных принтеров. Т. Сугралин	2
Размагничивание монтажных инструментов. А. Бугов	2
Способ компоновки светодиодных односторонних индикаторов поверхностного монтажа. М. Ершов	3
Зажим для монтажа миниатюрных деталей. В. Баранов	3
Настольный сверлильный станок. В. Медведев	6
Электроисковой карандаш из миниатюрного реле. Д. Мамичев	8
Восстановление работы магнитфона. В. Горюнов	37
Улучшение работы сварочного аппарата. К. Мороз	8
Электронное регулирование сварочного тока. Н. Зызлаев	10
Способ подсчета числа витков. В. Захаров	12

СПРАВОЧНЫЙ ЛИСТ

Модули приемников ИК сигналов (TSOP11, TSOP12, TSOP17, TSOP21, TSOP321, TSOP22, TSOP322, TSOP24, TSOP324, TSOP41, TSOP341, TSOP44, TSOP344, TSOP48, TSOP348, TSOP7000, TSOP61, TSOP361, TSOP62, TSOP362, TSOP5700). А. Долгий	1
Мощные высоковольтные транзисторы серии КТ8224. В. Киселев	2
Полевые маломощные транзисторы серии КП523. В. Киселев	4
Маломощные тринисторы серии КУ120. В. Смолянский	2
В. Супрун	2
Симметричные тиристоры серии КУ503. В. Смолянский	3
Диоды Шотки серии КДШ2965. В. Киселев	2
Сборки диодов Шотки серии КДШ297. В. Киселев	3
Диоды Шотки серии КД2970. В. Киселев	4
Микромощные отечественные стабилизаторы (KC106A, KC106F1, KC106B, KC405A, KC405B, 2C168K9, 2C168K-1, 2C175C, KC175C, 2C175K-1, 2C175C-1, 2C182C, KC182C, 2C182K-1, KC182C-1, 2C191C, 2C191K-1, KC191C-1, 2C210C, KC210C, 2C210K-1, KC210C-1). Ю. Виноградов	3
Миниатюрные лампы тлеющего разряда и индикаторы на их основе (бесцолевые NE410/30HB-1, NE410/30G, NE613/HB-1, NE613/30G, NE410/30HB-1+R68 и др., цолевые 1025-11/E10, 1025-12/BA9S, 1025-21/E10, 1025-22/BA9S и др.). А. Юшин	4
AC/DC модули фирмы ROHM (BP5041A5, BP5042A2, BP5085-15, SIP10, SIP12, SIP16)	4
Волоконно-оптические кабели (магистральный серии ОКЛК, зонный серии ДПТ, городской серии ОКЛСТ, объектовый серии ОККТЦ,	

монтажные серии ОК-М, подвесные серии ОПД). А. Юшин	5
Клавишные выключатели со световой индикацией (RA9-0-K, RA9-0-W, RA9-0-G, RA9-2-K, RA9-2-W, RA9-2-G, R59-2-K, R59-2-W, R59-2-G, R59-5-K, R59-5-W, R59-5-G). А. Юшин	5
Диодные оптопары (АОД101Б—АОД101Г, АОД107А, АОД107Б, АОД109А, АОД109Б, АОД120А-1, АОД120Б-1, АОД129А, АОД129Б, АОД130А, АОД133А, АОД133Б, АОД134АС, АОД149А, АОД167А, АОД176А). А. Юшин	6
Однокристалльный АМ радиотракт МК484. А. Воронцов	6

"РАДИО" — НАЧИНАЮЩИМ (ЖУРНАЛ В ЖУРНАЛЕ)

Габаритные огни инопланетян-2. А. Бугов	1
Музыкальная шкатулка с сенсорным управлением. Д. Турчинский	1
Музыкальный кот. А. Гришин	5
Электронная сирена с "мигалкой". М. Озолин	7
Две "мигалки" на двухцветных светодиодах. А. Бугов	7
Регулятор скорости для радиоуправляемых автомобилей. Д. Турчинский	8
Две "акустические" игрушки ("маска" — индикатор, "акустический" тир). Д. Мамичев	9
Имитатор птичьих трелей. Б. Ханнанов	10
Игровой "барабан". Д. Мамичев	10
Новогодние гирлянды... Автомат коммутации гирлянд. М. Озолин	11
Светодиодная матрица. А. Лечкин	11
Комнатная "охота на лис". В. Солоненко	11
Шар: красный или зеленый? Д. Мамичев	12

О добротности катушек, намотанных литцендратом. В. Поляков	1
Простая магнитная антенна. Е. Федотов	2
Простые радиоприемники на микросхеме МК484. А. Воронцов	6
Еще раз про "MANBO". (Возвращаясь к напечатанному). Л. Гуськов	7
Таймерный выключатель для радиоприемника. А. Пахомов	9
Экономичный гетеродинный приемник с низковольтным питанием. С. Коваленко	8
Простой блок УМЗЧ. В. Скубин	9
Простой УМЗЧ на микросхеме К174УН31. И. Федоров	12

Три конструкции на необычном мультивибраторе (охранный сигнализатор, извещатель заднего хода модели автомобиля, квартирный звонок). В. Солоненко	1
Кодовый замок для детского шкафчика. Э. Сакевич	1
Светодиодный фонарь с регулируемой яркостью. И. Нечаев	2
Световой фонарь повышенной экономичности. С. Калужный	9
Преобразователь напряжения для светодиодного фонаря. М. Озолин	10
Тестер для проверки пультов дистанционного управления RC5. С. Людской	2
Электронное пугало. И. Цаплин	2
Электронная секундная стрелка... ..	2
...на двух микросхемах. И. Потачин	3
...на трех микросхемах. А. Мишаков	3
Квартирный звонок на УМС. М. Капурин	3
Ионистор в карманных электронных часах. А. Бугов	3
Необычный ЖК индикатор (счетчик числа посещений, измеритель интервалов времени). С. Рюмик	5
Реле времени для двенадцативольтного паяльника. А. Бугов	5
Устройство для "размотки" катушек реле. Г. Маркелов	8
Датчик-индикатор пульса. А. Гришин	10
Электронная "няня". Д. Панкратьев	7
Сигнализатор для посудомоечной машины. А. Сорокин	10
Дозиметр — приставка к мультиметру. С. Бондаренко	11
Имитатор качания маятника. М. Озолин	12

Звуковые логические пробники. И. Нечаев	3
Звуковой пробник. А. Субботин	8
Пробник для проверки цифровых устройств. В. Гуревич	6
Простые измерители емкости. С. Коваленко	7
Измеритель малых емкостей. В. Каплун	8
Прибор для проверки мощных полевых транзисторов. В. Васильев	12

Устройство защиты радиоаппаратуры от превышения питающего напряжения. И. Нечаев	1
Устройство защиты сильноточной нагрузки от повышенного питающего напряжения. И. Нечаев	7
Полезные забавы (самодельные элементы питания). П. Михайлов	4
Индикатор снижения питающего напряжения. И. Нечаев	11
Индикатор предельного тока. И. Нечаев	8
Звуковой сигнализатор контроля напряжения аккумулятора. Р. Ершов	8
Расчет сглаживающего фильтра выпрямителя. В. Першин	4
Доработка двупольного блока питания. А. Бугов	6
Сильноточный малогабаритный электронный выключатель постоянного тока. И. Нечаев	9
Лабораторный блок питания с защитой на самовосстанавливающихся предохранителях. А. Бугов	10
Электронные предохранители с применением герконов. О. Сидорович	12
Блок питания для домашней лаборатории. А. Патрин	50

КР1006ВВ1 в режиме прерывистой генерации. А. Кашкаров	2
Индикаторы постоянного тока и их применение. Н. Таранов	3
Фоточувствительный генератор на полевых транзисторах. А. Бугов	3
Радиолюбительские расчеты на компьютере. Е. Гайно, Е. Москатов	6
Варианты включения пьезоэлектрического излучателя и мигающего светодиода. А. Кашкаров	8
Творческая мастерская "Самodelки" (волшебный "киндер-сюрприз", сигнализатор изменения температуры). В. Бобровский	2

Кружок радиоконструирования Генической райСЮТ (передатчик и приемник для подводной связи, индикатор удаления). В. Солоненко ...	4
Интересные разработки с "Архимеда" ("вечный" двигатель, электронный антигравитател, агрограф). В. Дронов, В. Верютин ...	11

Дополнения к статьям

Черепанов А. Кружок радиотехнического конструирования (Радио, 2004, № 2, с. 54, 55). О нумерации выводов дешифратора DD3 ...	1
Нечаев И. Звуковой автоответчик (Радио, 2004, № 6, с. 55, 56). О подключении входов ОУ DA2 ...	3
Михеева Ж. Радиоприемник с полевыми транзисторами (Радио, 2002, № 7, с. 57, 58). Самодельный литцендарт для катушки L1 ...	4
Макеев Б., Жебриков А. Малогабаритный осциллограф—пробник (Радио, 2004, № 8, с. 56, 57). Сопротивление резистора R35 — 160 Ом, DA1 — KP140UD1208 (с шиной питания должен быть соединен вывод 7, с общим проводом — вывод 4) ...	4
Гричко В. Металлоискатель (Радио, 2004, № 5, с. 53—55). Номинальное сопротивление резистора R8 — 10 кОм ...	5
Севастьянов П. Телефонная связь между двумя абонентами (Радио, 2004, № 2, с. 53). Замена реле ...	6
Иванов Ю. Малогабаритное переговорное устройство (Радио, 2000, № 1, с. 57, 58). Замена реле ...	7
Пилтакан А. Измерительная мини-лаборатория (Радио, 2000, № 9, с. 56—58; № 10, с. 54—56). Замена трансформатора питания, диодной матрицы KD906A, диода MD217, стабилизаторов 2C920A ...	7
Долгий А. Программаторы и программирование микроконтроллеров (Радио, 2004, № 3, с. 51, 52). Коррекция чертежа печатной платы адаптера DL2TM (рис. 13 в статье) ...	8
Озолин М. "Бегающие огни" с автореверсом (Радио, 2003, № 11, с. 52). Печатная плата ...	11
Бойко М. Мелодичный звонок с генератором случайных чисел (Радио, 2002, № 6, с. 59). Коррекция чертежа печатной платы ...	12

"РАДИО" — О СВЯЗИ (ЖУРНАЛ В ЖУРНАЛЕ)

Наш первый любительский рекорд (к 80-летию выхода в эфир первой российской любительской радиостанции) ...	1
"Радиосвязь в Великой Отечественной". В. Громов ...	5
Sabrillo: формат отчетов за соревнования. М. Хохлов ...	6
Космическая погода для радиолубителей. А. Зайцев ...	6
PSK31. Этика, тактика и методы работы. В. Кононов ...	8
Школа начинающего коротковолновика. Б. Степанов ...	1
Радиолубительские диапазоны ...	1
Соревнования по радиосвязи ...	9

Автономный КСВ-метр. В. Рубцов ...	1
КСВ-метр с автоматической калибровкой. И. Нечаев ...	3
Автомобильный автоматический КСВ-метр. И. Нечаев ...	6
Влияние КСВ на работу радиостанции (Ретро). Я. Лаповок ...	4
Переключатель диапазонов усилителя мощности. В. Кляровский ...	1
Усилитель мощности радиостанции R1ASP. Я. Лаповок ...	2
Усилитель мощности трансивера с встроенным преселектором приемника. Я. Лаповок ...	11
Расчет полосовых усилителей мощности УКВ диапазона. А. Титов ...	5
КПЕ для усилителя мощности. В. Воронин ...	10
Рейтинг СВЧ транзисторов для УРЧ. С. Белый ...	2
Цифровая шкала радиоприемника "Contest-RX". В. Рубцов ...	2
Измеритель мощности — приставка к цифровому мультиметру. И. Нечаев ...	2
Бесконтактный индикатор ВЧ тока. Б. Степанов ...	3
Синтезатор частот для любительской коротковолновой радиостанции. В. Денисов, В. Попов ...	3
Синтезатор частоты для КВ радиостанции. К. Иванов ...	9
Подключение компьютерной гарнитуры. А. Мирущенко ...	3
Синхронный детектор и фазовый селектор боковых полос к радиоприемнику ИШИМ 003-1. В. Андрианов ...	3
Динамический диапазон 93 дБ у трансивера FT-840. А. Шамардин ...	5
Гетеродин диапазона УВЧ. И. Нечаев ...	5
Автоматическая настройка П-контура выходного каскада. Ю. Дайлидов ...	6
"Москит-20" или простой трансивер для походов. А. Долинин ...	7
Простой SSB-трансивер на диапазон 80 метров. И. Нечаев ...	12
Малогабаритный конвертер 2,4 ГГц/145 МГц. И. Нечаев ...	7
Мощный VHF/UHF усилитель. Н. Мясников ...	72
Кварцевый генератор с плавной перестройкой частоты. С. Ременко ...	7
Высокостабильный двухтональный генератор. В. Хмарцев ...	8
Простой преселектор для многодиапазонного приемника. С. Беленецкий ...	9
Однополосный гетеродинный приемник с большим динамическим диапазоном. С. Беленецкий ...	10
Тангента с динамическим микрофоном для носимой радиостанции. И. Нечаев ...	10
Доработка телеграфного контроллера. Ю. Лебединский ...	10
Выбор резонаторов для кварцевых фильтров. (Ретро). В. Жалнераускас ...	11
Согласование кварцевых фильтров. (Ретро). В. Жалнераускас ...	12
Формирователь кода для синтезатора радиостанции "Маяк". И. Могилевский ...	12
Усилитель промежуточной частоты с усиленной симметрией. В. Рубцов ...	60
ICOM IC-7000 — всеволновый трансивер нового поколения ...	12

Еще раз о "балунах" ...	2
EFA — "запыливаемая с конца антенна". Б. Степанов ...	2
Цифровой индикатор положения антенны с сельсином. А. Долгий ...	63
Директорный элемент трехдиапазонной антенны. Э. Гуткин ...	4
На какой высоте над крышей дома установить УКВ антенну? А. Юрков ...	5

Мачта — антенна диапазона 160 метров. Ю. Куриный ...	6
Простая антенна "волновой канал" на диапазон 1296 МГц. И. Нечаев ...	7
"Волновой канал" для НЧ диапазонов. Краткий анализ разных способов укорочения антенных элементов. Э. Гуткин ...	8
Программа определения токов в элементах антенной решетки по заданной диаграмме направленности. А. Хабаров ...	10
Многодиапазонная антенна. И. Логинов ...	11

Дополнения к статьям

Кляровский В. Переключатель диапазонов усилителя мощности (Радио, 2005, № 1, с. 65, 66). О подключении конденсатора C7 (рис. 1) и емкости конденсатора C2 (рис. 2) ...	4
Рубцов В. Автономный КСВ-метр (Радио, 2005, № 1, с. 62—64). Правильные чертежи печатных плат ...	4
Рубцов В. Система голосового управления (Радио, 2004, № 8, с. 72). О диоде VD6 ...	4
Темерев А. Трансивер с кварцевым фильтром (Радио, 2002, № 4, с. 62). О недостающем проводнике на печатной плате ГПД (рис. 6 в статье) ...	9

Дипломы

"Республика Коми" ...	2
"Екатеринбургский автобус — 80 лет", "Города России — 100" (СОРА-100) и "Работал со всеми городами России" (WACORA) ...	2
"Ветераны за мир во всем мире", "Славянцы", "Радио — 110 лет", "Битва за Кавказ" ...	3
"Звездный патруль" ...	4
"Тамбовский волк", "Карелия" ...	9
"Созвездие", "Байкал", "Карелия" (внешний вид "золотого" диплома), P-100-P ...	11
P-6-K, "Россия" ...	12

Новости Союза радиолубителей России ...	11
---	----

Инновации "Лабораторий Белла". А. Голышко ...	1
Инновации "Лабораторий Белла"—2. А. Голышко ...	3
Краткая история коммутации: парадигма каналов. А. Голышко ...	4
Краткая история коммутации: парадигма пакетов. А. Голышко ...	6
Краткая история коммутации: парадигма пакетов. А. Голышко ...	7
Краткая история коммутации: парадигма пакетов. А. Голышко ...	8
Краткая история коммутации: парадигма пакетов. А. Голышко ...	11

Анализаторы спектра серии SA-9x0 от компании LG ...	1
Революционная технология X-Stream ...	2
Лабораторный измеритель MT-4090 от компании "MOTEC" ...	3
Анализаторы сигналов последовательной передачи данных SDA от компании LeCroy ...	4
Цифровые осциллографы с полосой пропускания 100 ГГц ...	5
ВЧ генератор DSG-3000 ...	5
Анализаторы спектра NS-30, NS-132, NS-265, GSP-810, GSP-827 ...	5
Приборы измерения норм качества электроэнергии ...	6
Цифровые микрометры от компании SEW ...	7
Генераторы сигналов специальной формы GCC-05—GCC-120 ...	8
Современные импульсные источники постоянного напряжения и тока ...	9
Измерители RLC WayneKerr 4265, 4270 ...	10
Измерители RLC WayneKerr 4265, 4270 ...	11

НА КНИЖНОЙ ПОЛКЕ

Ковтанюк Ю. С. CorelDRAW 12 на примерах ...	1
Волович Г. И. Схемотехника аналоговых и аналого-цифровых электронных устройств ...	2
Гонсалес Р., Вудс Р. Цифровая обработка изображений ...	5
Телевизионные микросхемы (четырёхтомный справочник) ...	6
Ежов В. Б., Перельман Б. Л. Отечественные полупроводниковые приборы и зарубежные аналоги ...	8
Воронин В. А. Силовые полупроводниковые ключи: семейства, характеристики, применение ...	8
Ратхор Т. Цифровые измерения. Методы и схемотехника ...	8
Вернер М. Основы кодирования ...	8
Ричардсон Я. Видеокодирование. H.264 и MPEG-4 — стандарты нового поколения ...	8
Микросхемы АЦП и ЦАП ...	9
Применение телевизионных микросхем ...	9
Микросхемы для CD-проигрывателей ...	9
Мощные транзисторы для телевизоров и мониторов ...	11
Рязанов М. Г. 1001 секрет телемастера ...	11
Карр Д., Дэвис Д. Карманный справочник радиоинженера ...	11
Зарубежные микросхемы, транзисторы, тиристоры, диоды + SMD (трехтомный справочник) ...	11
Мелешин В. Транзисторная преобразовательная техника ...	11
Лапин А. Интерфейсы. Выбор и реализация ...	11
Сэлмон Д. Сжатие данных, изображений и звука ...	11

Депонированная рукопись

В. Поляков. Фазофильтровый DRM-приемник ...	7
--	---

Редакторы: А. Долгий ("Микропроцессорная техника", "Компьютеры", "Прикладная электроника"), М. Евсиков ("Источники питания"), Б. Иванов ("Радио" — начинающим), Л. Ломакин ("Электроника за рулем", "Радиолубительское конструктору", "Радиолубительская технология", "Справочный листок", "Электромонтажные инструменты"), А. Мирущенко ("Радио" — о связи), А. Михайлов ("Видеотехника"), Р. Мордухович ("Доска объявлений"), С. Некрасов ("Радио" — о связи), В. Поляков ("Радиоприем", "Радио" — начинающим, "Радио" — о связи), А. Соколов ("Звукотехника", "Измерения"), Б. Степанов ("Радио" — о связи), В. Фролов ("Наша консультация").
--

В оформлении журнала участвовали: **Е. Герасимова, А. Журавлев, Ю. Андреев (графика), С. Лазаренко, В. Обьедков.**